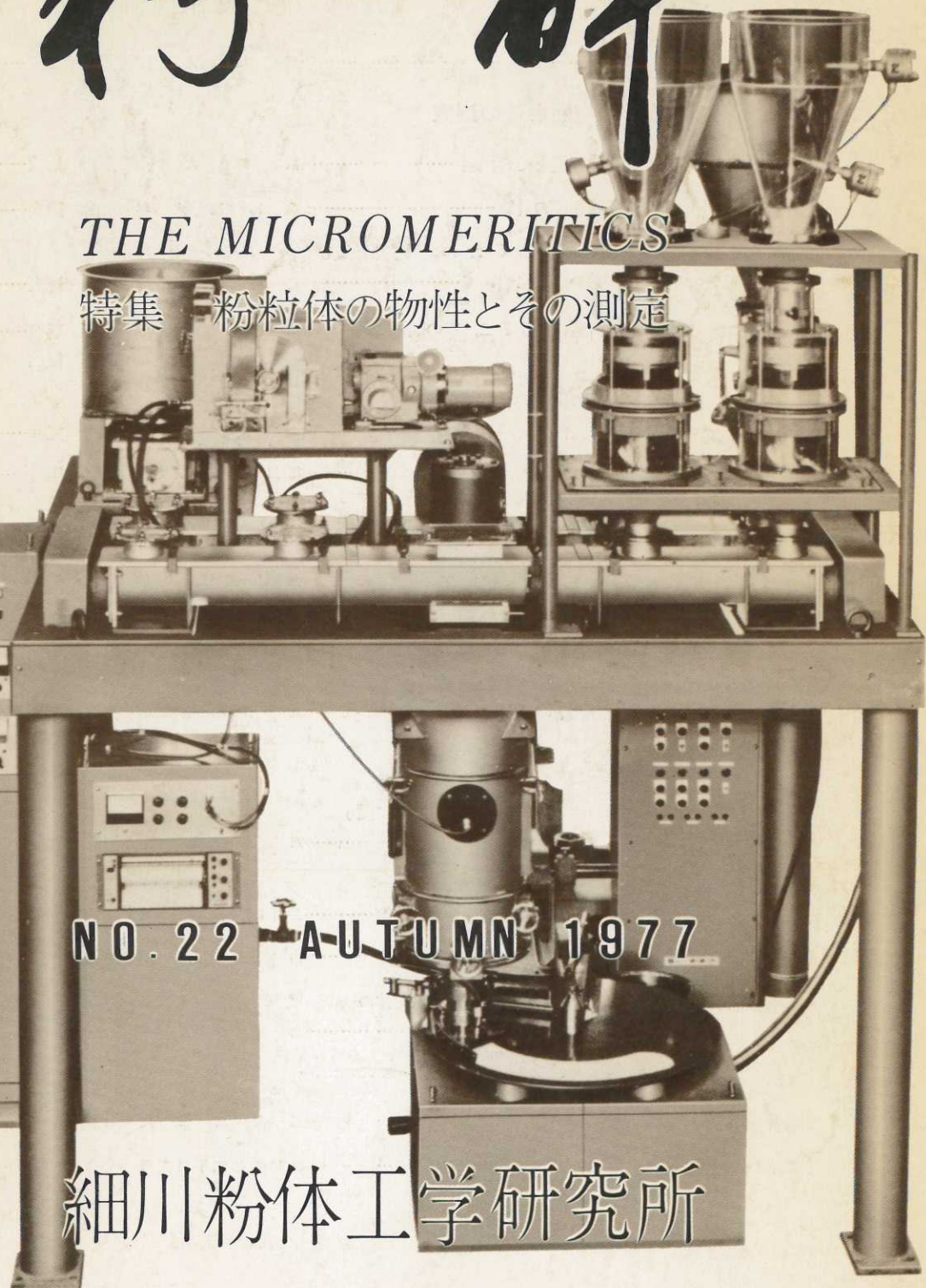


# 粉 碎

THE MICROMERITICS

特集 粉粒体の物性とその測定



N O . 2 2      A U T U M N    1 9 7 7

細川粉体工学研究所

【卷頭言】 見る……………京都市 大学 荒川 正文…… (2)

＜特 集＞粉粒体の物性とその測定

粉体物性の測定とその意義……………京都市 大学 荒川 正文…… (4)

粉体の固結強度の計算……………北海道大学 田中 達夫…… (9)

付着性粉体に対する Carr の流動性指数及び

噴流性指数の意味について……………北海道大学 田中 達夫…… (16)

微粒子の性質に関する二、三の問題(続) ……昭和大学 金庭 延慶…… (18)  
今川 敏二

凝集性粉体の流出

—試作した回転ホッパーについて—……………金沢大学 川合 誠一…… (23)

吊り下げ式付着力測定器の試作と測定……………細川粉体工学研究所 彼谷 憲美…… (32)

藤井 謙治

横山 藤平

【研究報告】 粉体の低濃度垂直空気輸送の加速領域の流れ…九州工業大学 富田 侑嗣…… (39)  
上瀧 具貞  
湯谷 正司

【研究報告】 流動層における分散板用多孔板に関する研究

一分散板上粒子の不動部分の体積について—…九州大学 田中 勇武…… (44)  
葭村 雄二  
篠原 久

【研究報告】 連続粉碎のシミュレーションの基礎に関する

概念的考察と若干の実験……………東京大学 岡野 靖彦…… (52)  
太田 元

【総 説】 ホッパーからの粉粒体の自然流出速度……………長岡工業高等専門学校 五十嵐平太郎… (58)

【総 説】 カオリン鉱物の精製、特性とその利用……………山形大学 高坂 彰夫…… (70)

【参考資料】 ニューマ・エスカレータによる粉粒体の

連続加熱操作について……………北海道大学 篠原 邦夫…… (82)

【隨筆】 粉碎機の系譜……………富山大学 沢畠 耕…… (89)

【参考資料】 試験用ダストの発生方法……………工業技術院 山下 憲一…… (91)

【技術ノート】 フローメトロンの供給精度について……………細川粉体工学研究所 浦山 清…… (105)  
藤井 謙治

<b>【新製品紹介】</b>	産業分野における製造環境の清浄化	
ハイクリーンユニット、ハイクリーンコレ		
クターの有用性……………	ホソカワ環境技術開発部	環境事業部……(107)
<b>【新製品紹介】</b>	ランミックス・システム……………	細川鉄工所 化学システム事業本部……(112)
<b>【新製品紹介】</b>	ホソカワ/マイクロ	
パルスエアLPシリーズ……………	細川鉄工所	第二環境システム事業本部……(114)
<b>【新製品紹介】</b>	ダクト中における火粉検知装置	
ホソカワ/ミクロンルミ・アラーム……………	細川鉄工所	第二環境システム事業本部……(116)
<b>【製品紹介】</b>	大型 ホソカワ/トリット	
キャビネットコレクター……………	ホソカワ環境技術開発部	トライックト事業部……(118)
ホソカワ ニュース……………		(120)

---

<b>新製品ひとこと</b>	レベル制御機 ホソカワ/ミクロン フローレベラー……………	(51)
<b>豆ニュース</b>	第11回粉体工学に関する講演討論会開催 —工学に応用できる粉体物性のつかまえ方と実演—……………	(111)
<b>特許一言メモ</b>	めまぐるしく改正される特許法……………	(22)
	公開特許公報……………	(43)
	特許協力条約……………	(119)

---

#### Original Reports:

- Discharge of Agglomeration Powders ..... S. Kawai ..... (23)
  - On the Development and Measurement of a New Type Tensile Strength Tester ..... Y. Kaya, K. Fujii ..... (32)  
and T. Yokoyama
  - Flow in the Acceleration Region of Dilute Phase Pneumatic Transport of Powdery Materials in Vertical Pipe ..... T. Tomita ..... (39)  
T. Jōtaki and S. Yutani
  - Perforated Plate Distributor of Fluidized Bed  
—Dead Zone Volume of Particles on Distributor— ..... I. Tanaka ..... (44)  
Y. Yoshimura, and H. Shinohara
  - Conceptual Studies and Some Experimental Tests on Simulation Fundamentals of Continuous Grinding ..... Y. Okano ..... (52)  
and H. Ohta
- 

【表 紙】連続混合装置 ホソカワ/ミクロン ランミックスシステム  
(関連記事が112頁に掲載されています)

# 見る

荒川正文\*

Masafumi Arakawa



トルストイの寓話に「人は何で生きるか」というのがある。小学校の4、5年頃に読んだのだからあまりはっきりとは憶えていないが、トルストイ流の人は愛によつて生きるというテーマである。お断りしておくが小学生時代からロシア文学などに凝っていたわけでは決してない。当時、新潮社から日本小国民文庫という全集ものが出版され、かなりのベストセラーであったと思う。【心に太陽をもて】とか【君たちはどう生きるか】とか、そして【世界の謎】、【日本文学選】など、毎月1冊づつ本屋が配達してくれた。うつつをぬかすテレビもなく、塾などというものもなかった子供にとって毎月楽しみに待たれたものである。多分、その中の「世界名作選」に載っていたのだと思う。しかし、ここでは神を説き、人類愛について語るなどという気は全くないし、第一そんな柄ではない。実はこんな問題を出してみようと思ったのである。「人は何で見るか」？「何を？」“もの”をである。何によらず見る対象物をである。そんなことは子供にでもわかると思われるだろう。そういうえば前に述べた小国民文庫の中のどれだったかにこんな話がでていた。

子供が丘の上に立って景色を見ている。空の雲を見たり太陽を見たり、大きな眼をあけてじっと見る。そして今度は目を開じる。こんなことを何度も繰返してから子供は叫ぶ。「そうだ、目があるからなんだ」。子供は丘を駆け下り家に帰って、夕食のときにこの發見を家族に話すのである。「何かが見えるのは目があるからなんだ」。家族はそれを聞いて皆笑う。そんなこと当り前じゃないか。しかしおじいさんだけが笑わなかった。「そうだ目があるから見えるんだ。とても大事なことをお前は自分で見つけた」。少年は後に有名な学者になるが、後々まで、おじいさんが自分の發見を認めてくれた喜びを忘れなかった。

では目があれば本当に見えるのだろうか？もう20年以上も前のことになるが、当時、京大理学部教授佐々木申二先生の講演を聞く機会があった。その中に、暗室で育てた猿の話があった。全く光のない暗室で育てた猿は明るいところに出しても見えないとある。たとえば棒を出しても逃げようとしない。棒で叩くとそれが身体に当るまではケロリとしていて、触れたとたんに悲鳴をあげるそうである。少々可哀そうであるが、これは別に目に故障があるからではなく、目に入ったものを認識できない、つまり見ることができていないのである。考えてみれば当然のことと、肉眼というものは一個のカメラ、それもフィルムの入っていないカメラである。水晶体というレンズを通った対象物の像は網膜というピントグラス上に倒立投影される。網膜上の視覚細胞が光の強弱、波長などを感じ視神経を経て脳細胞にその情報を伝える。網膜に投影された像の情報と対象物に対する認識とがマッチしなければそれは見えていないのである。よく、車中などで考えごとなどしていると前に坐った知人に気がつかなかったりする。目には入っているのだが頭の方が他のことを考えているから見れども見えずになる。ただし、きれいな女の子などだと他の要素、つまり色彩が強烈だと香水の香りがするとか、何か考えごと以上の強い要素が働くからすぐに気がついて、今度は考え方との方がお留守になる。

要するに見るということは単に目に入れるだけでなく、その情報を頭の中で整理し組立てることであり、人は（人に限らないが）生れてからその訓練を自然に受け物も見るようになってきたのである。生れたての赤ん坊は目が見えない。生きるために必要なもろもろの事物を数多くの経験の積みあげの中から貯え、ものを見る目を養っていく。この佐々木先生の講演は実はこれを

イントロダクションとしていろいろの見る道具、顕微鏡や電子顕微鏡、イオン顕微鏡についてのことに移ったが、今でも心に残るお話をあった。

顕微鏡や電子顕微鏡でも同じことである。それがどんな原理、つまり試料と電磁波とのどんな相互作用によって見えるのかがわかっていないければ“もの”は見えないし、見てもその像の意味が理解できない。つまり、本来得られている情報を利用できることになる。だから、これらの道具を使ってものを見るのにも訓練がいる。顕微鏡に限ったことではない。たいていの道具、装置は最終的には肉眼観察に帰してしまう。それが電流計の読みであるか記録紙上の图形であるか、あるいは色の変化になるかはわからないが、いずれにせよ、それらの変化と対象物におこっている現象の関係がわかっていないれば間接的にせよ見て確認ができる。専門家たちはいろいろの測定装置から与えられるチップンカンパンの图形の僅かの変化を見てそこに何がどの位あるかを読みとることができる。もちろん、これらの変化は別に見なくてよい。音でも、触感でも、相手によっては味だったり臭いであったりしてもよいには違いない。しかし、私達はこのような他の感覚でものをチェックしても、その情報を相互に定量的に伝えることに馴れていない。だから、たとえばそのような他の感覚の方がよく変化をとらえられることでも、計測装置というような間接的な手段を通して何とか目で見られるようにしようと努力する。つまり“Seeing is believe”見ることは信じることなのである。誰もが見ることが証拠であり、いくら間接的な写真があっても“空飛ぶ円板”はまだ未確認飛行物体UFOとしてせいぜいインスタントラーメンの商標に使われる運命でしかない。

今、電子顕微鏡で分子が見え、原子が見たかどうかの論争になりつつある。これら電子顕微鏡で見た分子像は、すでにX線回折による構造解析などによって立体的な形がよくわかっているものであり、その構造と電子顕微鏡像がピタリと一致した、だから見たんだということである。つまりわかっているものを見たらわかつていたように見えた、万才!! ということなので少々馬鹿らしいような気がしないでもない。しかし、たとえばX線回折像を解析し書きあげていったものが、肉眼で直接（写真としてであるが）見えるということに意味がある

し、これが前に述べた“見ること”のいわば訓練である。それがやがて、わからないものを見て確めるための基礎になる。

粉体を取扱うとき、私達は一個一個の粒子の形とか大きさを識別しないで集団として見ていることが多い。砂のようにまだ肉眼の分解能の範囲にあるものでも、粉というバルクの状態では個々の粒子に対する意識はもないだろう。「きわめて多数の粒子の集合体」それが“粉”という状態に対する基本的な認識だろうからその中の個々の粒子を仔細に眺め、それらの動きを追うことは通常の取扱いに対しては必ずしも要求されないには違いない。むしろ、鹿を追う獵師、山を見すとということになりかねない。粉体のバルクとしての性質を見失ってしまうことになりかねないのである。しかし、逆に、粉体全体の現象は構成粒子の個々の性質の発現であるのも事実である。巨大なサイロから流出する大量の粉体（粒体でも構わないが）を見るときに、その中の個々の粒子がどのように動き、飛び跳ね、衝突し、付着・凝集するか、それらの動きが全体としての運動にどんな形で関係していくか、粉体の現象のとらえ方にはこのような構成粒子の動きから全体の現象に移るというアプローチも必要である。個々の粒子の動きと全体としての運動、この関係がわかるようになったとき、粉体はじめて人間の目で本当に“見える”ようになるだろう。いろいろの粉体の基礎的性質と現象の関係を確め、それらの知識を貯えてゆくこと、これが粉を見る目を養うことであろうし、粉体物性測定の意義はこの点にあると思う。どんな方法によってもその動きは見えず存在だけがわかるもの——人々はそれを魔性のものと呼ぶ。粉体がもはや魔ものでなくなったのは、その動きのかなりの部分を見るができるようになったからである。しかし、前に述べたように“見る”というのは漠然と目に入れる事ではない。目に入った情報を考え、解析し、そして対象と比較するという操作を繰返し確めてゆくことである。いま、私達には本当に“粉”が見えているだろうか。暗室で育った猿の仲間にはなりたくないものである。

\* 京都大学 化学研究所  
(〒611 宇治市五ヶ庄)  
Tel (0774) 32-3111

## <特 集>

# 粉 粒 体 の 物 性 と そ の 測 定

近年粉体に関する関心が高まり、粉体物性の正体もようやくその外観を表わしてまいりましたが、なおまだ実際の粉体现象を十分説明するには問題点があるように思われます。本特集においては粉体基礎物性が現象とどのようなかかわりあいをもち、どのような意味があるのか、またその物性値をどう推定し、測定したらよいかについて幾つかの提案、報告をまとめてみました。本特集が粉体物性解明の一助となれば望外の喜びであります。

編 集 部

## 粉 体 物 性 の 測 定 と そ の 意 義

荒川 正文\*

Masafumi Arakawa

### 1. まえがき

粉体物性とは何だろうか。本来、物質の性質をそれらを構成する最小単位である原子の構造にもとづいて考えるととき「物性論」的に取扱うという。原子は核とその周囲を廻る電子群によって構成され、化学的な結合とか、材料の変形、破壊の過程とか、電磁気的な性質とか、すべて物質の性質はこれら原子の状態の発現であり、これらの挙動に着目して、それが物質の特性とどのように関係するかを追究するのが物性論である。しかし、いま「粉体物性」といわれているのはそんな深い意味をもっていない。粉体といいう「物の性質」を略して粉体物性といっていることが多い。用語といいうのは使う人達の間で定義され、了解されていればどうでもよいのかも知れないが、漠然とこの粉は凝集性であるとか、粒度がいくらくらいといっても、それらが粉体を構成する物質のどんな性質に基づくのか、粉体の特性にどんな形で関係するの

かというようなことがわからなければ意味がない。そこで、粉体の物性ということを本来の物性論とのアナロジーで考えるならば、粉体に特有の性質、たとえば固体であるのに流動するとか、大きな塊りにくらべて化学的に活性だというようなことが、その粉体の構成単位である粒子の性質とどのように関係するかを考え、整理し、体系づけることにはかならないと思うのである。

### 2. 粉体とは何か

さて、粉体とは物質が示す状態の一つである。一般に材料の物性工学において一つの体系をつくり整理するには次のような順序で考えてゆくことが多い。すなわち、

- 1) 物質が定義された状態をとるための条件を知る。
- 2) その状態の標準的な構造を知る。
- 3) その構造の物性を知る。
- 4) その構造に対する外部条件、外力の効果を知る。
- 5) その他の特殊問題、物質の特性との関係など。

粉体についてもこの順序で考えてゆくとまず粉体の定義をしなければならないが、一般的に“粉”といわれている材料に共通し、私達の日常周辺の環境条件下で感覚的にとらえられる特性を整理すると Table 1 の

\* 京都大学化学研究所  
(〒611 宇治市五ヶ庄)  
Tel. (0774) 32-3111 (代)

Table 1

特 性	固 体		液 体		気 体
	バルク	粉	バルク	ミスト	
1. 物性が等方的である。	△	○	○	○	○
2. 流動性がある。	×	○	○	○	○
3. 流動限界での流動性の変化が大。	×	○	×	×	×
4. 類似物質間の混合ができる。	×	○	○	○	○
5. 粒子の離合集散が可逆的である。	○	○	×	×	×
6. 塑性、加工性がある。	△	○	×	×	×
7. バルクより化学的に活性。	×	○	×	○	×

ようになる。

このように粉体は物質の他の状態にはない特性をもつているが、このような“粉”の共通特性を満足させる条件は

1. 個体の微粒子であること。
2. それがきわめて多数集合していること。
3. 粒子間に適当な相互作用が働いていること。

適当というのはあいまいな表現であるが、これが大きいのは成形体、焼結体などであり、無視できるのは粉塵やエロゾルである。どちらも粉体の一つの限界状態には違いないが、いわゆる“粉”というのは人が軽く触れた程度の力で流動、変形する程度の相互作用力が働いている状態をいうことにする。これらをまとめると私の粉体の定義は次のようなになる。

「粉体とは多数の固体粒子の集合体で、粒子間に適度の相互作用が働いている状態である。」

### 3. 粉体の基礎特性

粉体を以上のように定義するとその挙動を考えるには多数の単位粒子（ここでいう粒子とは集合体を構成する基本単位）の集合体で、各粒子間に相互作用一ポテンシャルエネルギーを考慮しなければならない系の取扱いが参考になる。いま、古典統計力学による液体の分子論的な考え方を借りることにしよう。液体の内部エネルギーEは(1)式のような形で与えられる。

$$E = \frac{2}{3} N_M k T + \frac{2\pi N_M^2}{V_M} \int_0^\infty r^2 U(r) g(r) dr \quad (1)$$

ここで  $N_M$  : モル分子数,  $k$  : ボルツマン定数,  $T$  : 絶対温度,  $V_M$  : モル分子容,  $r$  : 作用しあう分子間距離,  $U(r)$  : 2分子間ポテンシャル,  $g(r)$  : 動径分布関数である。

(1)式の右辺第1項は個々の分子の運動エネルギーの総和で、系全体に含まれる運動エネルギーを示し、第2項は分子間のポテンシャルエネルギーの総和である。

粉体系では、運動エネルギー  $E_d$  は単位体積中の粒子

数  $N$  とすると

$$E_d = \sum_{i=1}^N \frac{P_i^2}{2m_i} \quad (2)$$

すなわち、個々の粒子の質量  $m$  とその運動量  $P$  でできる運動エネルギーの総和である。しかしポテンシャルエネルギー項については全くわからないが、液体とのアナロジーから流動粉体系では、粒子間相互作用力、粒子の充填構造（空隙率）、系の単位体積にある粒子数が関係するであろう。したがって、これらの各変数がきまれば系全体のエネルギーがきまることになる。

ここにあげた粉体の力学現象に関する基本量は、現在一応は測定可能であるが、その意味をあらためて整理してみる。

#### 3.1 粒 度

粉体特性としての粒度の重要性はよく知られているが、その意味は次のようなものである。

- i 運動単位の質量  $m$ 、すなわち  $D_p^3$  である。
- ii 単位体積中に含まれる粒子数  $N$ 、すなわち個々の粒子体積の逆数  $1/D_p^3$  に比例する。
- iii 粒子間相互作用力：後述のように相互作用力は機構によって異なるが粒子径の関数であるものが多い。
- iv 主として粒子の表面特性が関係する現象では比表面積

ここで、粒子径とは必ずしも単粒子ではない。式からわかるように必要なのは“運動単位となる粒子”的大きさである。場合によっては凝集体、成形体、造粒物の大きさであることに注意せねばならない。

#### 3.2 粒子間相互作用力

粒子間相互作用力はよく知られているように次のようなものが考えられる。

- i London-van der Waals 力
- ii 粒子の静電荷によるクーロン力
- iii 粒子間の液膜による付着力
- iv その他の介在物、固結現象など

v 粒子の形状、表面粗度による機械的なカラミ合い  
や巨視的な摩擦力

以上の中で i ~ iii は粒子径および粒子表面間距離の関数である。iv, v は一般にその材料物質系の特性である。

### 3.3 粒子の充填構造

粒子の充填構造は粒子の運動エネルギーと粒子間相互作用力の関係できる2次物性である。しかし、ある粉体系の力学現象をしらべるときに初期状態として規定しておかねばならない基本的な因子であることは前に述べた通りである。

充填状態を完全に定量的に表現することは難しい。しかし、これが広義の粉体の流動現象に関するものでは、粒子の移動し得る空間の存在率と、粒子間相互

作用力の働く粒子接触点の数である。したがって、一般には平均的な値として、粉体の構密度などから求められる空隙率  $\epsilon$  と、それから Ridgway-Tarbuck 式などによって求めた粒子平均接触数  $k_p$  を用いることになる。R-T 式はいろいろの測定者による等大球の充填実験の結果をまとめたものであり(3)式として示される。

$$\epsilon = 1.072 - 0.1193k_p + 0.00431k_p^2 \quad (3)$$

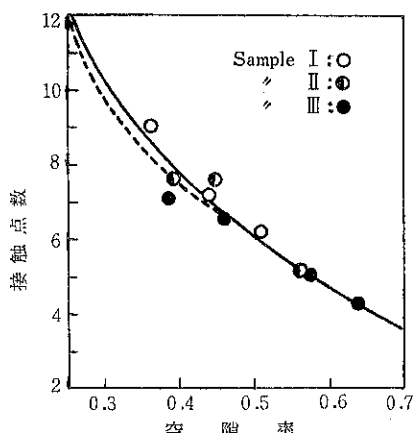
この式は球形粒子であればある程度粒度分布をもつても適用できることが確かめられた<sup>1)</sup>。

### 3.4 粒子の表面特性

粒子表面の性質は、とくに粒子間、粒子と分散相との間の相互作用に対して影響が大きい。通常の大気中では粒子表面に吸着・凝縮した水分が付着・凝集力の主因となることが多いが、このような水分の吸着性についても粒子表面の性質が関係する。また粉体粒子の化学的性質、固結、焼結、反応性、溶解性などに対する粒度の効果は主として表面物理化学の問題である。このように粒子表面の性質は粒子自身の活性、介在物との相互作用などを通して粒子集合体の性質に関係していく。

## 4. 粉体の現象と基礎的性質

以上、粉体の現象に共通する基礎的性質として、1) 粒度、2) 粒子間相互作用力、3) 粒子充填構造、4) 粒子表面の性質をあげることができる。これらは、実際にはいろいろな仮定や困難な問題が多いが、直接または間接に測定可能な量である。したがって、粉体の特性に対するこれら基礎的性質の寄与がわかっていれば、粉体現象の制御ができる。すなわち、ある材料処理プロセスにおける個々の操作に対して最も適当となるような基礎



実線：R-T式による。点線：Smithの実験  
円形は分布のある系での実測値（荒川）

Fig. 1 球形粒子の空隙率と接触点数の関係

Table 2 材料をなぜ粉にする？

目的	材料										
	鐵 鋼	超硬 合金	燒 結 材 料	セラ ミック ス	セ ン タ ン ク リ ー ト	充 填 材 料	複 合 材 料	塗 料	医 薬 品	飼 料	食 品
輸送のために	○	○	○	○	○	○	○	○	○	○	○
混合のために	○	○	○	○	○	○	○	○	○	○	○
成形のために	○	○	○	○	○	○	○	○	○	○	○
均質化のために	○	○	○	○	○	○	○	○	○	○	○
反応のために	○	○	○	○	○	○	○	○	○	○	○
分離のために	○	○	○	○	○	○	○	○	○	○	○

粉体の基礎物性はどう関係する？

基礎物性	目的			
	粒 度 は ?	粒 子 間 力 は ?	空 隙 率 は ?	表 面 活 性 は ?

的性質を与える粉体材料設計をおこなえばよい。そして、粉体物性の測定の意義はまさにこの点にあるはずである。

実際の工業界で粉体材料が広く取扱われているのは Table 1 に示したような特性の利用である。これらの粉体特性が固体材料の取扱いにどのように生かされているか、たとえば Table 2 に幾つかの例をあげておこう。

また、これらの粉体の特性がどのような基礎的特性に関係しているかもあわせて示してある。この表で○印の大きさはその強さか大きさの目安である。

以上、粉体の特性のなかでも重要な流動性を対象とした議論を進めてきたので、液体論とのアナロジーを用いている。したがって静止した粉体層や、粒子間隔の充分大きいエロゾルのような状態では(1)式の右辺のどちらかの項は無視してよいことになる。しかし、さらに一步進めて、たとえば固体の破壊に関する物性論的な取扱いや結晶の転位の役割などを粉体層に拡張するというような試みは当然なされてよい。それらを含めて、個々の粒子の動きの観点から粉体現象の解明を進めるのも、粉体工学の体系化に対する重要なアプローチであると思う。

## 5. 二、三の粉体特性に対する基礎的性質の寄与

### 5.1 粉体の流動性<sup>2)</sup>について

振動粉体層の流動<sup>3)</sup>と、オリフィスからの流動特性<sup>4)</sup>、粉体の混合、偏析に対する粒子表面の寄与<sup>5)</sup>などについて、筆者は 2、3 の実験をおこなってきたが、ここでは簡単な説明を記すにとどめておく。詳細は文献を参照されたい。

Fig. 2 は、グラファイト粉体を振動させ、振巾による電気抵抗（上図）と流動度（下図）の変化の対応を示す。粉体層の電気抵抗は粒子の接触状態に関係するから、その振巾による変化と流動性が対応するのは粉体の流動度が粒子接触数すなわち空隙率に関係することを示している。パラメータの記号は粒度と粒子形状で II が最も細かく番号の増すほど大きい。これらの粒子は不規則形状であるが、S は球状黒鉛であり、流動性がよい。

Fig. 2において振巾 0.2 mm 以上の領域の電気抵抗の変化  $R_0/R_x$  と流動度  $\phi$  の関係は、Fig. 3 のようになり、次の実験式が成立する。

$$\phi = a \exp\left(-b \frac{R_0}{R_x}\right) \quad (3)$$

ここで、 $R_0$  は静止状態におけるグラファイト層の電気抵抗で、 $a$ 、 $b$  は定数である。振動時の電気抵抗  $R_x$  が無限大のとき  $R_0/R_x$  は 0 であるが、これは試料粒子が完全に分散して相互に接觸していないことを意味する

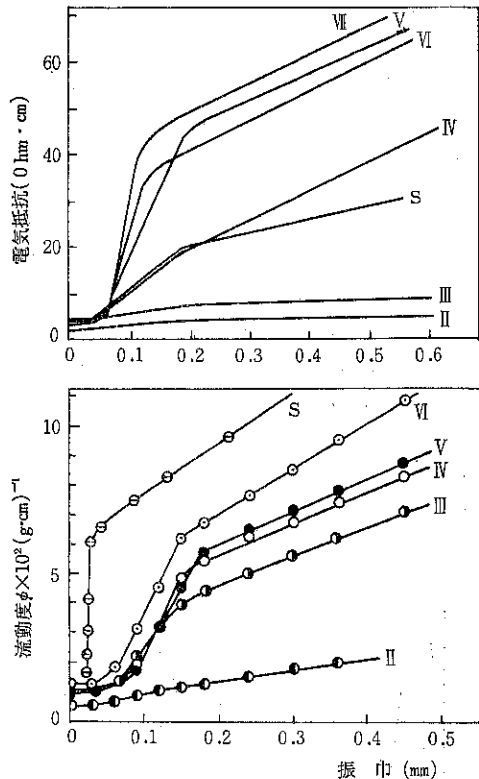


Fig. 2

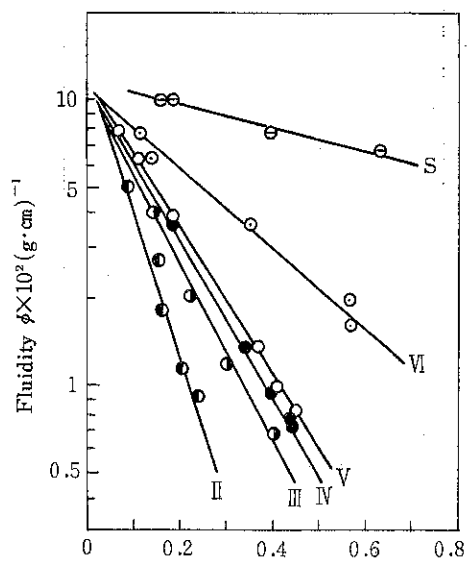


Fig. 3

から、このときの流動度  $\phi$  は試料の種類に関係ない一定値  $a$  となり、これが装置定数であることを示している。一方各直線の勾配  $b$  は試料粒度が大きいほど、ま

た、球形粒子ではとくに小さく、振動強さが流動性の増加にあたえる効果が少いことを示している。すなわち定数 $b$ は試料の流動性に関する定数で粒度、粒子形状などの基礎的性質に關係することがわかる。

また(3式)の  $R_0/R_x$  を  $V_0/V_x$  ( $V_0$  は固体の、 $V_x$  は溶融状態のある温度における分子の自由体積) と書き変えると、溶融ガラスや高分子の粘度の温度依存性に関する粘度式(熱運動による分子の自由体積の増加を考える)と同じ形となることは興味がある。

Fig. 4(b)に示したように他の粉体層でも攪拌抵抗は振動の強さ(振巾)によって Fig. 2 と同様の変化をする。しかしオリフィスからの流速には(a)のように振動の効果はほとんどなく、この実験に用いた 60Hz ではむしろ流出速度(g/sec)を減少させる方にはたらく。これは振動による容器内の粒子の充填効果が空隙率の減少をまねくためと考えられる。

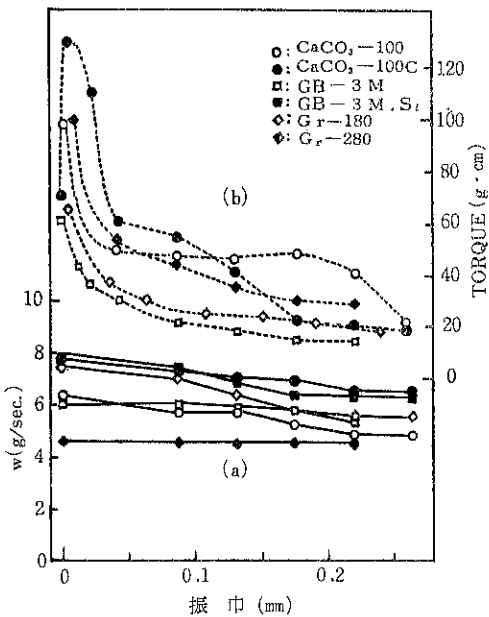


Fig. 4

## 5.2 粉体の偏析と粒子表面の性質

粒度 100 μm 位のガラスピーブズ (GB703)、石灰石粉砕物 (Ca150) および黒鉛末 (Gr) を 70 μm 位の網をはった円筒に充填した層をつくり、その上に 20 μm 位

の炭酸カルシウム粉を載せて振動を加えると、粗粒子層を通過して下の網目から落下する。その通過重量の時間的増加を測定すると偏析のしやすさがわかる。重質炭酸カルシウム S Z と、それを脂肪酸処理して表面を疎水性にした S Z-P についてこれらの粉体層の通過量の時間的増加を測定した。実線は表面に脂肪酸処理を施し疎水性にした S Z-P である。点線の親水性の炭カル S Z は、GB, Ca の親水性表面粒子中では S Z-P より通過しにくいかが、表面が疎水性黒鉛粉体層では逆に S Z-P の方が通過しにくくなる。すなわち、表面が親水性同志、または疎水性同志の粒子間では親和性が強く通過性が悪い。すなわち偏析しにくいことを示している。

粒子表面の性質が偏析に關係する例である。

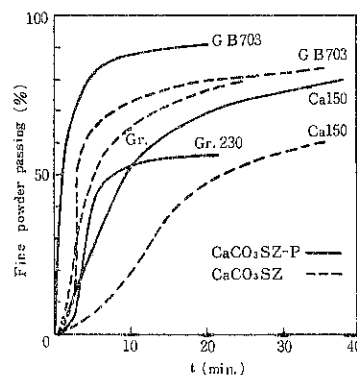


Fig. 5

## 6. あとがき

粉体のいろいろの現象を支配するもっとも基礎的な因子とそれが關係する 2, 3 の例をあげた。実際の粉体系ではその取扱いは、もっと複雑になるであろうが、いろいろのファクターの中で、どれが最も支配的かと見きわめて現象を追求することが必要であろう。

## 参考文献

- 1) 荒川、西野：材料, 22, 658 (1973)
- 2) 荒川：材料, 23, 504 (1974)
- 3) 荒川、西野：材料, 20, 776 (1971)
- 4) 荒川、西野：材料, 24, 654 (1975)
- 5) 荒川、西野：材料, 21, 562 (1972)

# 粉体の固結強度の計算

田中 達夫\*

Tatsuo Tanaka

## 1. はじめに

袋詰して貯蔵中によく固結を起こす食塩、ミルクその他の食品、アンモニウム塩などの肥料や硝酸塩のような火薬は直接クレインのもととなり、また輸送中のパイプの壁に付着形成する各種粉体や、北海道における石炭ストーブの集合煙突内壁の遊離カーボンの固着などは日常遭遇するきわめて厄介な現象である。またある高温ガスの中におかれた懸吊粒子の濃度センサーが、その表面での粒子の固結のために働らなくなることもあり、とくにこのタイムスケールが何ヵ月という長期になると、適当な温度設定が可能にならぬ限り、センサーのテスト自体に思わず長期間を要するというトラブルも起こる。

このような一種の付着現象——とくに接触粒子間に形成される固体橋による——に対してはそれぞれの分野で昔から多くの実験的研究が行われ、特定の物質に対しては関係する因子を変えて付着強度の測定が行われておらず、また粉体による空気中の水分の吸着のメカニズムに対しても最近研究が行われている。

筆者ら<sup>1)</sup>は前にこのような固体橋の生成を熱と物質移動が同時に起こっている場合をモデル化することにより、主として粒子間にできる固体橋の強さをその最狭部の大きさの項で表わすような理論的試みを発表したが、この稿では、このような基本的な考え方を実在の物質の実験値と比較し、果して長期間にわたって出現する固結強度がどのていど理論的に予測できるのか、またどのような因子が判つていればよいかなどを考察してみたい。

あらかじめこのような固結強度を予測しうるならば、固結を防止あるいは破壊するための方策によって防結も

可能になるであろうし、逆に造粒操作に対しては積極的に固結強度を調節することもできよう。

## 2. 固体橋形成のモデル

### 2.1 幾何学的計算

Fig. 1 に示すように粒径の等しい球 (R を半径) が一点で接触しており、その間に体積  $V_c$  の水が水膜として存在するものとする。この水の表面張力や毛管力による付着力の計算や実験は従来からかなり多く行われている。簡単のために水膜と空気の境界線を半径  $r$  の円で近似するものとし、このときの水膜の体積  $V_c$ 、固液接觸面積  $S$ 、気液接觸面積  $A$  を、球の半径  $R$  と角度  $\theta$  をパラメータとして計算すると次のようになる。

$$S = 4\pi R^2(1 - \sin\theta) \quad (1)$$

$$r = R(1 - \sin\theta)/\sin\theta \quad (2)$$

を用い、かつ Fig. 1 (b) によって

$$A = 4\pi \int_0^\theta (R+r)\cos\theta - r\cos\alpha \, r d\alpha \\ = 4\pi R^2 \{(1-\sin\theta)/\sin\theta\} (\theta \cdot \cot\theta + \sin\theta - 1) \quad (3)$$

$$V_c = 2 \left[ \int_0^\theta \pi \{(R+r)\cos\theta - r\cos\alpha\}^2 r \cos\alpha d\alpha \right. \\ \left. - \int_{\theta}^{\frac{\pi}{2}} \pi R^3 \cos^3\theta d\theta \right] = 2\pi R^3 \left[ (1-\sin\theta)\cot^2\theta \right. \\ \left. - \left(\frac{1-\sin\theta}{\sin\theta}\right)^2 \cot\theta \left(\theta + \frac{\sin 2\theta}{2}\right) \right. \\ \left. + \frac{(2+\cos^2\theta)\sin\theta}{3} \left\{1 + \left(\frac{1-\sin\theta}{\sin\theta}\right)^3\right\} - \frac{2}{3} \right] \quad (4)$$

(1), (3), (4)式の相互関係を  $\theta$  をパラメータとして計算の結果、Fig. 2 のようにほぼ直線をえたので

$$S/4\pi R^2 = 2.7 \times (V_c/2\pi R^3) \% \quad (5)$$

$$\therefore S \approx 10 V_c \% \quad (5)$$

$$\text{また } A/S = 1.5(V_c/2\pi R^3)^{0.22} \quad (6)$$

やや大胆にすぎる仮定であるが、粒子の表面に付着する水分が毛管吸引力により粒子の各接点 (配位数  $k_0$ ) に均等に集まつくると考えると、それぞれの接点は二つ

\* 北海道大学工学部合成化学工学科

(〒060 札幌市北区北13条西8丁目)

Tel (011) 711-2111

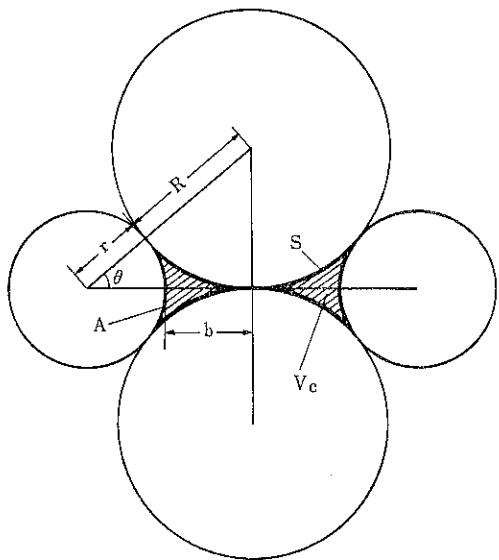


Fig. 1 (a)

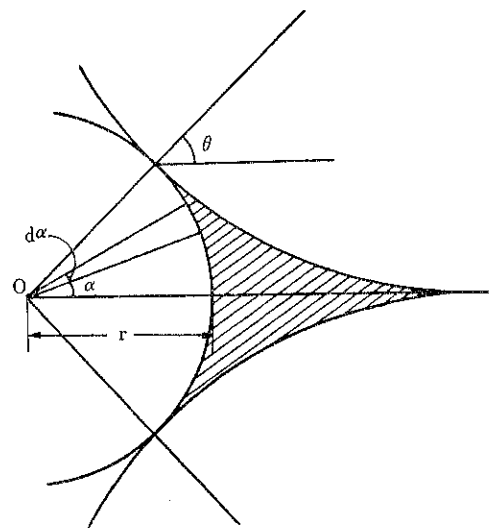


Fig. 1 (b)

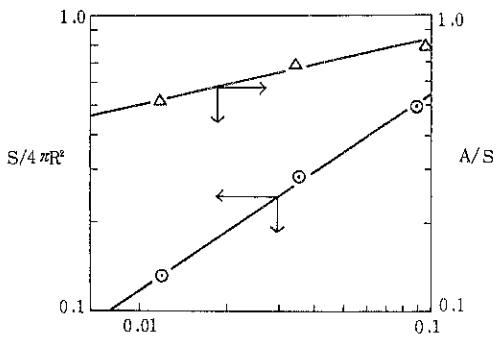


Fig. 2

の粒子に共有されることを考え

$$V_c = 2V/k_0 \quad (7)$$

$V_c$ は1箇の粒子のもっている水分の全体積である。配位数  $k_0$ についてRumpf<sup>(2)</sup>により  $k_0 \approx \pi/\epsilon$  が成立つ。よって

$$\begin{aligned} A/S &= 1.5(\epsilon V/\pi^2 R^3)^{0.22} \\ &= 1.5\{(\epsilon/\pi) \cdot (V/(4/3)\pi R^3 r) \cdot (4/3)r\}^{0.22} \\ &= 1.5(4\epsilon/3\pi)(a'/100)r^{0.22} \\ &= 0.45(\epsilon r a')^{0.22} \end{aligned} \quad (8)$$

ここに  $\epsilon$  は粒子層の空隙率、  $a'$  は粒子の比重、  $a'$  は水分の重量百分率となっている。 $\epsilon \approx 0.4 \sim 0.6$ 、  $a' \approx 0.8 \sim 2.0$  に対して

$$A/S \approx 0.4(a')^{0.22} \quad (8')$$

また Fig. 1 に示す液橋の最狭部の半径  $b$  は

$$b = (R+r)\cos\theta - r$$

より  $(b/R) = 1 - (1 - \cos\theta)/\sin\theta$

やはり  $\theta$  をパラメータとして  $(b/R)$  と  $(V_c/R^3)$  の関係を求めるとき、近似的に次式が成立つ<sup>1)</sup>。

$$b/R = 0.82(V_c/R^3)^{0.25} \quad (10)$$

したがって、もし液体が蒸発して結晶固体が  $V$  の容積だけ析出したときの固体橋の最狭部半径も

$$b/R = 0.82(V/R^3)^{0.25} \quad (10)$$

## 2.2 热と物質移動による固体橋の形成

初期水分量  $V_{c0}$  とする。Fig. 1 (a)において固液接触面積  $S$  を通して両方の固体から水の中へ溶解が起こるものとする。飽和固体濃度を  $C_s$  として

$$\frac{dw}{dt} = k_d \cdot S(C_s - C) \quad (11)$$

$w$  は溶解した固体重量、  $t$  は時間、  $k_d$  は溶解速度定数 ( $\text{cm/sec}$ )、  $C$  ( $\text{g/cm}^3$ ) は水の中の固体濃度である。一方、気液接觸面積  $A$  を通して熱が外部から流入し、水分の乾燥が起こるものとする。その速度は次式で表わされる。

$$-dV_c/dt = kA(H_w - H) \quad (12)$$

$k$  は物質移動係数 ( $\text{cm/sec}$ )、  $H$  は絶対湿度、  $H_w$  はその温度における飽和湿度 (−) である。前報<sup>1)</sup>では便宜上  $-dV_c/dt = kV_c\%$  のような減率乾燥の形を仮定したが、本稿では一般的に上のよう改める。

$$\text{ここで } C = w/V_c \quad (13)$$

$$\text{微分して } dw/dV_c = C + V_c(dC/dV_c) \quad (14)$$

(11), (12) 式から

$$-\frac{dw}{dV_c} = \frac{k_d S(C_s - w/V_c)}{kA(H_w - H)} \quad (15)$$

(14), (15) 式より

$$C + V_c (dC/dV_c) = X(C - C_s) \quad (16)$$

$$\text{ここに } X = k_d S / k A (H_w - H) \quad (17)$$

とおいた。この中で  $A/S$  は前項(8)'式により、厳密には水分の変化により、すなわち時間的に變るものであるが、もともと  $V_c$  の量はそんなに大きくはないので、近似的に  $X$  は一定、すなわち初期水分  $V_{c0}$  によってきまるものとする。

初期条件を  $V_c = V_{c0}$ ,  $C = 0$  として(16)式を解くと

$$\frac{V_c}{V_{c0}} = \left\{ \frac{X C_s - (X-1) C}{X C_s} \right\}^{\frac{1}{X-1}} \quad (18)$$

$C = C_s$  に達した瞬間に固体の溶解はとまるので、この時間  $t$  までに溶解した固体量を  $w_s$  とすると  $C_s = w_s/V_c$  である。ゆえに(18)式で  $C = C_s$  とおき

$$\frac{V_c}{V_{c0}} = \frac{w_s}{C_s V_{c0}} = X^{\frac{1}{1-X}} \quad (19)$$

これ以上水分がなくなると、溶解した固体の一部は結晶析出するので、その密度を  $\rho$  とすると、最終的な固体の体積  $V$  は(19)式を用いて

$$\frac{V}{R^3} = \frac{w_s}{\rho R^3} = \frac{C_s V_c}{\rho R^3} = \left( \frac{C_s V_{c0}}{\rho R^3} \right) X^{\frac{1}{1-X}} \quad (20)$$

(10)式により、析出固体最狭部径  $b$  は

$$\frac{b}{R} = 0.82 \left\{ \left( \frac{C_s V_{c0}}{\rho R^3} \right) X^{\frac{1}{1-X}} \right\}^{0.25} \quad (21)$$

ここで変数を水分に変換するため、配位数と空隙率の関係  $k_0 = \pi/\epsilon$  を使って

$$\frac{V_{c0}}{\rho R^3} = \left[ \frac{V_{c0}(k_0/2)}{(4/3)(\pi R^3)r} \left( \frac{4\pi}{3k_0/2} \right) \right] = \frac{8\epsilon}{3} \left( \frac{a'}{100} \right) \quad (22)$$

$r$  は固体の比重、 $a'$  は初期水分重量パーセントである。よって

$$\frac{b}{R} = 0.82 \left\{ \frac{8\epsilon}{3} \cdot C_s \cdot \left( \frac{a'}{100} \right) X^{\frac{1}{1-X}} \right\}^{1/4} \quad (23)$$

ここでもう一度  $X$  に返り、(17)の  $X$  をより便利な形にしておく。

(8)'式を用い、かつ簡単に  $H_w = 0.02$ ,  $H = 0$

(これは  $25^\circ\text{C}$  で湿度 0 の空気と接触した場合に相当する) すると

$$\begin{aligned} X &= k_d / 0.02k \times 0.4(a')^{0.22} \\ &= (1/8) \times 10^3 (k_d/k) \cdot (a')^{-0.22} \end{aligned} \quad (24)$$

すなわち  $X$  は物質移動（溶解と乾燥）速度の比と初期水分量によって定まる値である。

### 2.3 粒子層の固結強度

Fig. 3 のように半径の等しい球が空隙率  $\epsilon$  をもって充填されているときの固結強度は次のように導かれる。単位面積（層の切断面）に並ぶ粒子の個数は  $[(1-\epsilon)/\pi R^2]$ ,

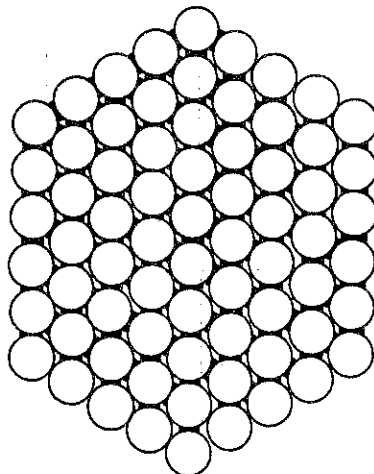


Fig. 3

1 箇の粒子は近傍の粒子と  $k_0$  個の共有接觸点をもつので、その接點における力（付着力）を  $H_z$  (kg) とすると粒子層の強度  $\sigma$  ( $\text{kg}/\text{cm}^2$ ) は

$$\sigma = \frac{1}{2} \frac{(1-\epsilon)}{(\pi/4)D_p^2} \cdot \frac{k_0}{2} \cdot H_z \quad (25)$$

最初の  $1/2$  は力の方向係数である。 $D_p$  は粒子直径 (cm)。配位数  $k_0$  は空隙率  $\epsilon$  の関数であり、前述のようにほぼ  $3.1/\epsilon = k_0$  で近似されるので

$$\sigma = \frac{(1-\epsilon)}{\epsilon \cdot D_p^2} \cdot H_z \quad (26)$$

一方、接點における付着力  $H_z$  は、このような結晶析出固体橋の場合、その最狭部径  $b$  と、再結晶した粒子層の実効の強度  $\sigma_z$  から次のように表わされる。

$$H_z = \pi b^2 \sigma_z \quad (27)$$

(26), (27)式を組合せ(26)式を用いることにより

$$\begin{aligned} \sigma &= \frac{(1-\epsilon)}{\epsilon D_p^2} \cdot \pi (0.82)^2 \frac{D_p^2}{4} \left\{ \frac{8\epsilon C_s}{3} \left( \frac{a'}{100} \right) X^{\frac{1}{1-X}} \right\}^{1/4} \\ &= 0.085 \left\{ (1-\epsilon) / \sqrt{\epsilon} \right\} \cdot \left( C_s a' X^{\frac{1}{1-X}} \right)^{1/4} \cdot \sigma_z \end{aligned} \quad (28)$$

となり、粒子径  $D_p$  は無関係になる。ただし  $X$  は(24)式で与えられる。これらの式は何れも次元的に健全な式であるから、 $\sigma_z$  ( $\text{kg}/\text{cm}^2$ ) が判っていれば直ちに粒子層の構造、水分及び物質移動などの値を知って、その粒子層の固結強度  $\sigma$  ( $\text{kg}/\text{cm}^2$ ) が求められる。

### 3. 食塩の固結強度

(28)式により室温における食塩の固結強度を計算する。 $\epsilon = 0.5$  であり、 $\text{NaCl}$  の場合  $C_s = 0.350 (\text{g}/\text{cm}^3)$  はほぼ温度に無関係である。最も重要なものは  $X$  の値、すなわち溶解速度定数と乾燥速度定数である。

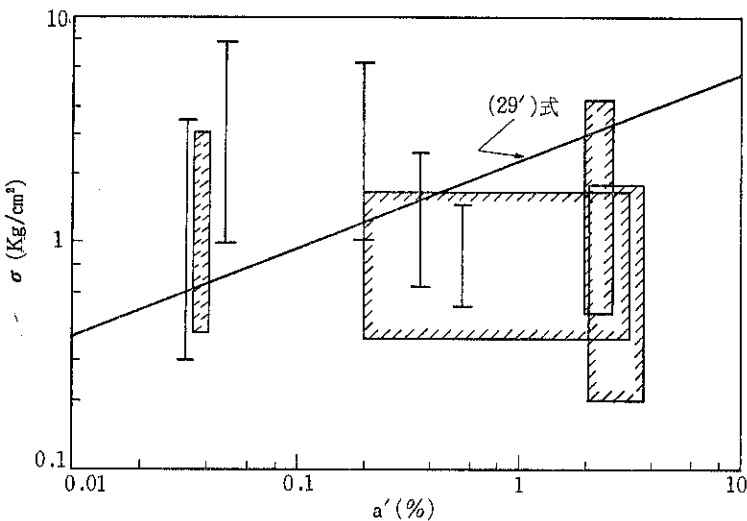


Fig. 4

### 3.1 $k_d$ について

Ranz-Marshall の式 ( $k_d D_p / D_L = 2$ ,  $D_L$  は拡散係数で常温 (25°C) における  $D_L = 3 \times 10^{-5} \text{ cm}^2/\text{sec}$  とすると

$$k_d = 2 \times 3 \times 10^{-5} / D_p (\text{cm/sec})$$

### 3.2 $k$ について

同様に空気中の水蒸気の拡散係数  $D_g = 0.220 \text{ cm}^2/\text{sec}$  とすると

$$k = 2 \times 0.220 / D_p (\text{cm/sec})$$

### 3.3 X の評価

$$X = \frac{1}{8} \times 10^8 \left( \frac{6 \times 10^{-5}}{0.44} \right) (a')^{-0.22}$$

$$= 1.70 \times 10^{-2} (a')^{-0.22}$$

$a' = 0.01 \sim 10.0\%$  の値に対して  $X \ll 1$ 。よって

$$X^{\frac{1}{1-X}} \approx X \text{ とおける。}$$

よって(28式)の  $\sigma$  は一層簡単になり

$$\begin{aligned} \sigma &= 0.085 \left( \frac{0.5}{\sqrt{0.5}} \right) \cdot (0.350)^{\frac{1}{2}} \cdot (1.70 \\ &\quad \times 10^{-2})^{\frac{1}{2}} a'^{-\frac{1-0.22}{2}} \cdot \sigma_z = 0.046 (a')^{0.38} \cdot \sigma_z \end{aligned} \quad (29)$$

### 3.4 $\sigma_z$ の値について

NaCl の単結晶の強さは  $10,000 \text{ kg/cm}^2$  のオーダ<sup>8)</sup> であるが、もちろん粒子間に再結晶して生成した固体橋はこのような微結晶の集合であり、実際の固体橋の強度は著しく小さい。Rumpf<sup>2)</sup>によれば  $\sigma_z = 50 \text{ kg/cm}^2$  であるのでそれを用いる。

ゆえに NaCl の固結強度は、本稿のモデルに従えば

$$\sigma = 2.31 (a')^{0.38} (\text{kg/cm}^2) \quad (29')$$

両対数紙に  $\sigma$  と水分重量パーセント  $a'$  を示すと Fig. 4

のようになる。

### 3.5 実験との比較

増沢<sup>5)</sup>の実験によれば、食塩、並塩、精製塩の 30 kg 包装からの 620 g 包装、保存条件 3 カ月～20 カ月、粒度 (50% 径) 250～480 μ の 3 種類の塩についての  $\sigma$  の測定値がある範囲にわたって報告されている。そのデータを Fig. 4 に水分重量%に対してプロットした。ハッチングで示したのは両軸とも実験の範囲を示したものであって、やや理論値の傾向と一致しない向きもあるが、種々の環境的パラメータを含んだ式と少なくともオーダは充分に一致している。

もともと NaCl の粒子形状は、ここに仮定した球形モデルをあてはめるにはやや無理があり、また微分方程式を解く段階で一つの仮定をした点、すなわち水分の時間的変化の A/S に及ぼす影響を無視したことなどが、水分の  $\sigma$  に及ぼす影響に対し実測値と離れた原因ではないかと思われる。しかし少なくとも簡式で与えられる理論式が含む種々の変数の値をあらかじめ知つていれば、任意の条件に対する粉体の固結強度を概略にでも予知することができるであろう。

たとえば温度に対しては  $C_s$ 、 $k_d$ 、 $k$  などは直ちに関係して  $\sigma$  の値をかえる。 $\sigma_z$  に対しても再結晶の転位点などが判つていれば、それらも関係するであろう。また圧力に対しては理論式における  $(1-\varepsilon)/\sqrt{\varepsilon}$  の項が先ず考えられる。これらによる  $\sigma$  に及ぼす影響について若干の考察を加えてみる。

## 4. 固結環境が $\sigma$ に及ぼす影響

理論式(29)に対するいくつかの環境条件の影響をここで

は定性的に検討し、今後考慮されるべきいくつかの項目を挙げてみよう。

#### 4.1 圧力の影響

包装、貯蔵中に粉体は大きい圧力を受ける。このことは直ちに空間率の減少、したがって式の  $(1-\epsilon)/\sqrt{\epsilon}$  に対する圧力の効果を考えればよいが、しかし一般に多くの材料は実際には粒子同志の接点において変形を起こし、接触面積がモデルで考えられるものよりも著しく大となる筈である。このような弾性及び塑性変形の程度を圧力の関数として導入すればよい。過去の圧縮の実験から<sup>5)</sup>

$$(1-\epsilon) \propto P^{0.15 \sim 0.2}$$

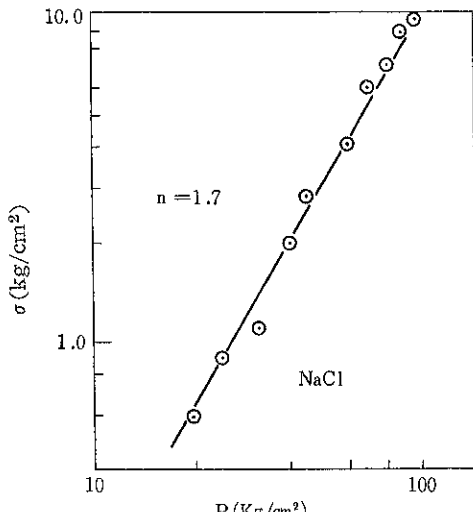


Fig. 5 (a)

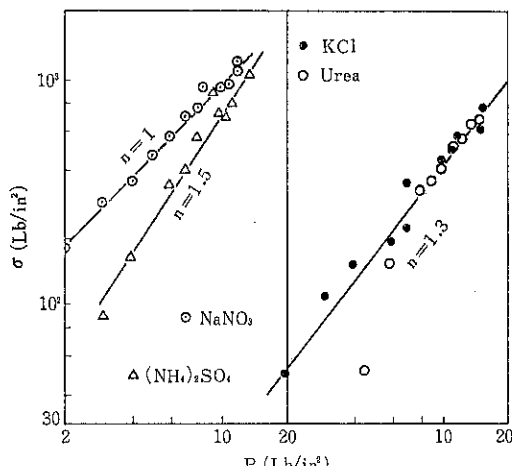


Fig. 5 (b)

計算により  $1-\epsilon=0.3 \sim 0.7$  の範囲で

$$(1-\epsilon)/\sqrt{\epsilon} \propto (1-\epsilon)^{1.7} \propto P^{0.25 \sim 0.34}$$

一方、接触面積  $s$  は弾性変形に対し  $P$  の  $\frac{1}{2}$  乗に、塑性変形に対しては  $P$  の 1 乗に比例するので<sup>6)</sup>

$$s \propto P^{(0.5 \sim 1.0)}$$

この場合、大部分の水は押し出されて接触面の外で固結するので、両方の効果が相乗的に  $\sigma$  に関係すると考えると、

$$\sigma \propto \frac{(1-\epsilon)}{\sqrt{\epsilon}} \cdot s \propto P^{0.85 \sim 1.34}$$

Fig. 5 (a) および Fig. 5 (b) に  $\text{NaCl}$ ,  $\text{KCl}$ ,  $\text{NaNO}_3$ ,  $(\text{NH}_4)_2\text{SO}_4$ , 尿素に関するいくつかの文献<sup>7)8)</sup>による  $\sigma$  v.s  $P$  の実測値のプロットを行ったが、おおむね

$$\sigma \propto P^{1.0 \sim 1.7}$$

の範囲にあって上述の予測にほぼ一致している。

#### 4.2 温度の影響

江崎、杉山<sup>7)</sup>らは食塩の固結現象を実験的に検討し、一定の水分を与えた食塩に対し固結強度が次のような温度による依存性のあることを確かめている。(セミ、ログ紙で直線)

$$\sigma = k_1 \times 10^{(0.0100 \sim 0.00665)t_e} \quad (\text{A})$$

$k_1$  は水分、圧力その他による定数であるが、ここには温度依存性のみ着目する。上式の温度  $t_e$  の範囲は  $10^\circ$

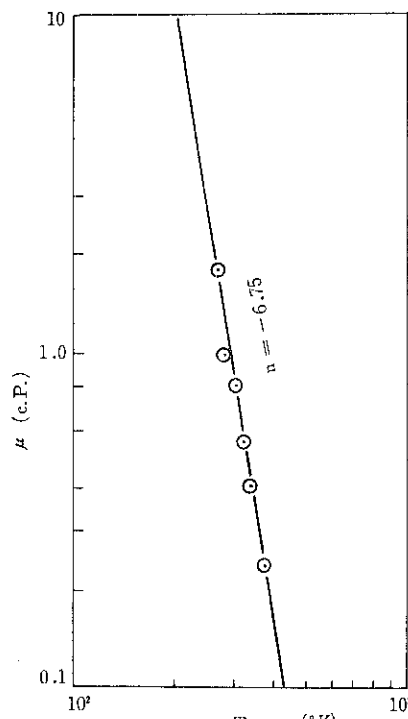


Fig. 6

~80°C.

本稿における理論式(6)において温度が直接関与するのは飽和濃度  $C_s$  であり、また溶解速度定数  $k_d$  と物質移動(乾燥)係数  $k$  に対する影響が見逃せない。さて NaCl の  $C_s$  に対する温度依存性は特別の場合として殆んど無視できるものとしよう(化工便覧 p. 53)。一方、 $k_d$ 、 $k$  に対してはそれぞれ直接拡散係数  $D_L$  および  $D_g$  に比例する。

$$\left. \begin{array}{l} k_d \propto D_L \propto T/\mu \\ k \propto D_g \propto T^{1.75} \end{array} \right\} \quad (B)$$

ここに  $T$  は絶対温度、 $\mu$  は水(溶媒)の粘度である。 $\mu$  の温度依存性は著しく、Fig. 6 のように  $\mu \propto T^{-0.75}$  よって(6)式と(B)式を用いて

$$\sigma \propto X^{\frac{1}{2}} (k_d/k)^{\frac{1}{2}} \propto (D_L/D)^{\frac{1}{2}} \propto T^{3.0} \propto (273+t_e)^{3.0}$$

ちなみに  $t_e$  と  $((273+t_e)/100)^{3.0}$  をセミロガ紙にプロットすると Fig. 7 のように近似的に直線となり、

$$\sigma = k_2 \times 10^{0.0045t_e} \quad (C)$$

がえられ、10のべきは実験値よりやや小さい。ちなみに同氏らの実験値は  $a' = 1.8\%$ 、25°Cで約3.0(kg/cm<sup>2</sup>)を示しており、本稿の理論式による Fig. 4 の値に大変うまく一致している。よって  $k_1$  と  $k_2$  は大体等しいとみてよく、温度依存性はほぼ定量的に説明されている。

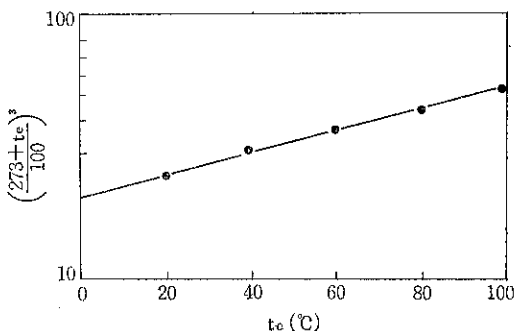


Fig. 7

#### 4.3 水分の影響

Fig. 4 からも分るように  $\sigma$  に及ぼす  $a'$  の影響は必ずしも明確ではない。江崎ら<sup>7)</sup>の報告でも、むしろ  $\sigma$  に最大値があるらしいことを実験値は示しているが、何れにせよ余り大きい変化は認められない。理論式においては  $\sigma \propto (a')^{0.89}$  であってそれほど顕著ではないが、一般に  $a'$  に対して  $\sigma$  は増す形になっている。これは 1つには(6)の微分方程式を  $X$  を一定として近似的に解いたことに原因があるが、一方固結時間とも密接な関係がある。初期水分が多いほど固結には時間がかかる。このため同じ時間で測定されたとしても部分的な固結強度を測ってい

る場合もあるので、とくに水分の多い実験ではやや低い  $\sigma$  を測定していることもある。事実江崎ら<sup>7)</sup>は固結時間の  $\sigma$  に対する依存性を実験的に認めていることによってもこのことが指摘されるのである。

#### 4.4 時間の影響

(5)式と(6)式を関係づけると(12)式より  $-dV_c/dt = k' V_c^{0.887}$  となるが、これを近似的に

$$-dV_c/dt = k' V_c \quad (30)$$

とおく。 $t=t_s$  で飽和点に対しそのとき  $V_c=V_{cs}$  の条件で積分して

$$V_{cs}/V_{c0} = 1 - e^{-k't_s}$$

同様にその時間以後の任意の時間  $t_m$  に対し

$$V_c/V_{c0} = 1 - e^{-k't_m}$$

結晶の析出率  $\zeta$  は

$$\zeta = (C_s V_{cs} - C_s V_c) / C_s V_{cs} = 1 - V_c/V_{cs} \quad (32)$$

(31)式を用い

$$\zeta = 1 - \exp \{-k'(t_m - t_s)\} \quad (33)$$

固結強度  $\sigma$  は理論の項で述べたように、( $\zeta v$ ) の  $1/2$ 乗に比例するので

$$\sigma \propto \zeta^{0.5}$$

$$\propto [1 - \exp \{-k'(t_m - t_s)\}]^{0.5}$$

大変粗っぽく  $t_m \gg t_s$  しかも  $k't_m$  が 1 に比べて充分小ならば、 $\exp$  を展開して高次を省略し次のような近似がえられる。

$$\sigma \propto (k't_m)^{\frac{1}{2}}$$

このような条件が常に成立するとは限らないが、江崎ら<sup>7)</sup>の NaCl の実験によれば、 $\sigma$  は時間  $t$  の平方根に比例しており、たとえば  $a' = 1.7\%$ 、30°Cにおいて  $\sigma = 0.98 t_m^{0.500}$  なる実験式を与えている。 $(t_m(\text{hr}))$

#### 5. まとめ

粉体のプロセスや製品に対し常にトラブルになる粉体の固結強度の予測を可能とするため、簡単なモデルについて幾何学的ならびに物理的な計算を行ってみて、その一般式を NaCl に関する既存の実験値と比較した。理論式には、含有水分百分率のほか、とくに温度に依存する飽和濃度(溶解度)、溶解と乾燥における物質移動係数などを含み、これらに影響を与える温度、圧力、時間等の操作変数の固結強度に及ぼす効果を理論式により定性的に考察したところ、充分とはいえないまでもほぼ実験値の傾向と一致した。とくに検討は行わなかったが湿度 H の効果も理論式に含まれている。

ここには水に対する NaCl の溶解を例としたが、場合によっては酸にとける塩類の再結晶などが固結の原因となるような場合もあり、そのような場合の反応速度や

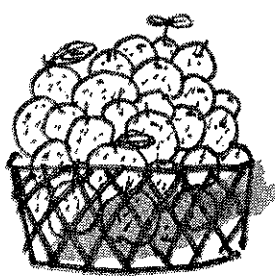
結晶速度、結晶の転移（温度による）などをあらかじめ知ることにより、多くの固結の可能性とその強度を事前に予知する事がほぼ可能であろう。また逆に必要な強度をもたせるために、造粒に際して与えるバインダーとしての水分の量などもこのようなモデルを介して決定することもできると思われる。多くは従前殆んど理論なしのケース・バイ・ケースに実験的に報告されているいろいろの物質の固結強度に対し、このような総合的なモデルの適応性を今後広く調査検討すべきである。

### 主な記号

$a'$	水分重量百分率	(%)	$t_s$	飽和する迄の時間	(sec)
A	気液接触面積 (Fig. 1)	(cm <sup>2</sup> )	$t_e$	温度	(°C)
b	最狭部半径 (")	(cm)	T	絶対温度	(°K)
C	固体濃度	(g/cm <sup>3</sup> )	V	1箇当りの水の容積	(cm <sup>3</sup> )
C <sub>s</sub>	飽和濃度	(g/cm <sup>3</sup> )	V <sub>c0</sub>	1接点当りの水の容積	(cm <sup>3</sup> )
D <sub>p</sub>	粒子直径	(cm)	V <sub>c</sub>	初めの水の容積	(cm <sup>3</sup> )
D <sub>L</sub>	液中の拡散係数	(cm <sup>2</sup> /sec)	v	析出固体容積	(cm <sup>3</sup> )
D <sub>g</sub>	気相拡散係数	(cm <sup>2</sup> /sec)	w	析出固体重量	(g)
H	湿度 (-) : H <sub>w</sub> : 飽和湿度	(-)	X	仰式のパラメータ	(-)
H <sub>z</sub>	接点の付着力	(Kg)	$\alpha$	(Fig. 2)	(rad)
k <sub>0</sub>	配位数		$\theta$	(Fig. 1)	(rad)
k	物質移動係数	(cm/sec)	$\gamma$	比重	(-)
k <sub>d</sub>	溶解速度係数	(cm/sec)	$\rho$	みかけ密度	(g/cm <sup>3</sup> )
P	圧力	(Kg/cm <sup>2</sup> )	$\epsilon$	空隙率	(-)
R	粒子半径	(cm)	$\sigma$	固結強度	(Kg/cm <sup>2</sup> )
r	液膜曲率半径	(cm)	$\sigma_z$	析出結晶の強度	(Kg/cm <sup>2</sup> )
S	固液接触面積	(cm <sup>2</sup> ) (Fig. 1)	$\zeta$	析出率	(-)
s	圧縮による固一固接触面積	(cm <sup>2</sup> )	$\mu$	粘度	(c. p.)
t	時間	(sec)			
t <sub>m</sub>	時間	(sec)			

### 引用文献

- 1) 工藤、倉前、田中：化学工学論文集 2, 625 (1976)
- 2) Rumpf : Chem.-Ing.-Tech. 30, 144 (1958)
- 3) Lowrison : Crushing and Grinding : p. 28, (1974) Butterworths.
- 4) 増沢：粉体工学研究会誌 7, 554 (1970)
- 5) 田中：粉体プロセス入門, 8 (1965) 工学図書
- 6) 大内山、田中 : I & EC. Proc. Des. Dev. 14, 286 (1975)
- 7) 江崎、杉山 : 日本塩学会誌 14, 199 (1960)
- 8) Adams and Ross : Ind. Eng. Chem., 33, 121 (1941)



## 付着性粉体に対する Carr の流動性指数及び 噴流性指数の意味について

田中 達夫\*

Tatsuo Tanaka

1965年 Chem. Eng. Jan. 18に発表された Carr の流動性及び噴流性指数という 2つの経験的インデックスが、その後多くの実際の操作によく適合し、これに基き細川社でパウダーテスターという新しい測定器として開発され、いろいろの方面で使用されているのは周知の事実である。またこの機器に関するいろいろの物質の測定が各方面で行われ、細川社の横山氏<sup>1)</sup>をはじめとしていくつかの研究が発表されており<sup>2),3)</sup>、またその物理的な意味をめぐて何回かの討論が行われてきた。

筆者が始めてこのパウダーテスターについて具体的にお話を伺ったのは、確か昭和46年の粉体工学研究会夏季シンポジウムの席上であり、このときの討論で印象に残ったこと（その時点での筆者の考え）を同誌の378（1969）ページに寄稿している。その後第7回粉体に関する講演討論会（1973）においてやはり細川社の鈴木氏<sup>4)</sup>らの講演に対する烈しい討論があって、そのときにも筆者の考えを開陳し、これに対してたしか神保教授その他の方々から反論があった。そのときの筆者の考えは前と変らず、それは「粉碎」誌（1973）、No. 18、19ページの埋草に掲載されている。

前置きが長くなつたけれども、要は、筆者の当時からの考え方として、流動性指数というのは付着強度に対応したものではないか、一方噴流性指数というのは付着力そのものに對応するのではないかということである。その理由は前にも書いたので省略するが、前々から議論されていた主題は、要するに、この実用的にはかなりよく粉体の流動に関する性質を表わすインデックスの物理的な意義を見出したいということであつて、その後京大の増田氏<sup>5)</sup>らによって、流動性指数の統計学的な正しさが確認されてはいるものの、その物理的な意味が明らかに

なったとはきいていない。

たまたま三輪氏ら<sup>6)</sup>が広範な物質についてパウダーテスターによる豊富な測定値をデータ表として粉碎誌（1971、p. 103）に発表されており、これらを拝借して筆者のかねて考えていたことを検討してみた。

単なる直観による上述の仮定を式でかいてみると次のようになる。三輪らにしたがい  $F_F$  を流動性指数、 $F_f$  を噴流性指数とする。

$$F_F \propto \left[ \left( \frac{(1-\epsilon)}{\frac{1}{4} \pi D_p^2} \right) \cdot \frac{N}{2} \cdot \frac{1}{2} H \right]^{-n} \quad (1)$$

ここで  $\epsilon$  は空間率、 $D_p$  は平均粒径、 $N$  は 1 箇粒子の接点数で配位数とよばれ、隣接粒子と共有する。 $H$  は粒と粒との一接点に働く付着力（Kg）であり、その原因は水による毛管力や静電力、その他何でもよい。右辺の（ ）内は単位面積に並ぶ粒子の箇数であり、 $\frac{1}{2}$  は力の方向指数である。一方配位数は空間率  $\epsilon$  の関数であり、Rumpf<sup>7)</sup>によれば、 $N$  は近似的に  $\epsilon$  に逆比例するから、定数を全部省略して

$$F_F \propto \left[ \frac{(1-\epsilon)}{\epsilon D_p^2} H \right]^{-n} \quad (1')$$

このベキ項は  $F_F$  に対する [ ] 内の付着強度（Kg/cm<sup>2</sup>）の依存性をベキ関数で近似したという意味である。

一方粒子同志の間の付着力  $H$  は前の仮定によって直接噴流性指数と 1 対 1 の対応があるとしたので

$$H \propto (F_f)^{-m} \quad (2)$$

ベキを何れもマイナスにとったのは  $F_F$ 、 $F_f$  ともに付着強度、付着力のそれが大きいほど小さいからである。 $(2)$  を  $(1)'$  に代入して整理すると

$$F_f \text{ (噴流性指数)} \propto \left[ \left( \frac{F_F^{1/n}}{\frac{\epsilon}{1-\epsilon} D_p^2} \right) \right]^{1/m} \quad (3)$$

一般的には

$$F_f = f \left( F_F^\alpha / \frac{\epsilon D_p^2}{1-\epsilon} \right) \quad (3)'$$

\* 北海道大学工学部合成化学工学科

（〒060 札幌市北区北13条西8丁目）

Tel (011)-711-2111

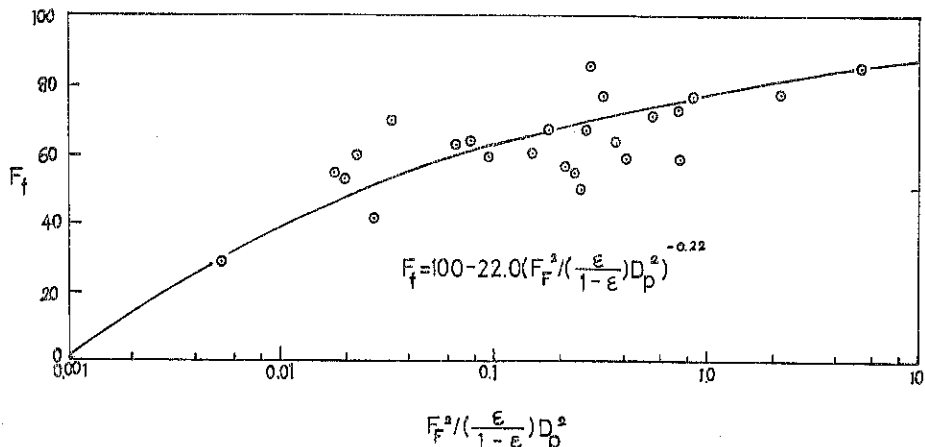


Fig. 1 流動性指數  $F_F$  と噴流性指數  $F_f$  との関係

したがって、もし前述のような仮定が成立つならば、流動性指數  $F_F$  と噴流性指數  $F_f$  の間には (3)' のような関數関係が成立つはずである。幸い三輪ら<sup>6)</sup>の報告にはこの検討を可能にする詳細な実測値が数多く掲載されており、しかもその範囲はあらゆる種類の物質につき、平均粒径  $D_p(\mu) = 4900 \sim 30$ ；真密度 ( $\text{g/cm}^3$ ) = 6.11 ~ 0.90、空間率 = 0.29 ~ 0.88に及び、 $F_F = 26 \sim 99$ 、 $F_f = 29 \sim 86$  であった。このうち、本質的に非付着性である粒径 500  $\mu$  以上の実測値約 10 個は、除外すべきである。実際に付着性が顕著になる 100  $\mu$  以下に対して (3)' 式を検討すべきであるが、試みに 300  $\mu$  以下のデータに対してすべて再計算を行った。

(3)' 式の  $\alpha$  に対し、いろいろの数値を trial して best fit になる関係を求めた結果が、Fig. 1 に示すように次の実験式で表わされる関數関係である。

$$F_f = 100 - 22.0 \left\{ F_F^2 / \left( \frac{\epsilon}{1-\epsilon} \right) D_p^2 \right\}^{-0.22} \quad (4)$$

ここに  $D_p$  の単位はミクロンである。三輪氏ら<sup>6)</sup>は  $F_f$  と  $F_F$  との関係をプロットし、ほとんどその間に規則性はなく大きく散乱した結果を認めているが、最初の仮定に従った半理論的な補正により、かなり面白い相関がある

ことがわかった。(ちなみに、 $F_F$  と  $F_f$  の関係の散乱に寄与しているのは、ここで省略した 500  $\mu$  以上のデータではなく、それらのデータはすべてこの Fig. 1 に含まれている)

このように考えると、Carr の流動性指數及び噴流性指數は、何れも、粉体層の付着強度、接点間の付着力のそれぞれそのものではないが、それらに直接依存する性格をもった経験的指数であるといつてもよいのではないであろうか。しかし厳密には、この指數のうちの何れかが付着性の何れかであることを実証しなければ、眞の証明ではありえない。

#### 参考文献

- 1) 横山、浦山：粉体工学研究会誌 6, 264 (1969)
- 2) 矢野、寺下、山崎：粉碎 [16] 96 (1971)
- 3) 佐藤、井上ら：粉体工学研究会誌 9 90 (1972)
- 4) 鈴木、丸子：粉碎 No. 18, 80 (1973)
- 5) 増田、吉田、井伊谷：粉体工学研究会誌 12, 209 (1975)
- 6) 三輪、清水：粉碎 No. 16, 103 (1971)
- 7) Rumpf : Chem-Ing-Tech. 30, 144 (1958)

## 微粒子の性質に関する二、三の問題(続)

Some properties of micro particle

金庭 延慶\* 今川 敏二\*  
Nobuyoshi Kaneniwa Kanji Imagawa

固体を微細化すると様々な物性値が粒径と共に変化する。中でも溶解性の変化は薬学では重要な課題である。溶解速度と溶解度は、医薬品の消化管内での吸収速度に関係があり利用効率という面から薬効に影響を生じるためである。

粒子径と溶解性についてはすでに本誌で述べたが<sup>1)</sup>、今回は粒子径と溶解度について、粒子径と表面エネルギーについて量的関係を求めて検討する。

### 1. 比表面積と表面自由エネルギー

固体を微細化すると、単位質量当りの表面積である比表面積が増加する。立方体の辺の長さを  $d$ 、密度を  $\rho$  とすれば比表面積は  $6/\rho d$  であるが、 $1/n$  の粒径の場合は  $6n/\rho d$  で  $n$  倍となる。

溶解速度は一般に表面積に比例する<sup>2)</sup>から、 $1/n$  の粒径の医薬品はもとの粒子の  $n$  倍速く溶解し、かつ吸収が良くなることが考えられ医薬品の微細粒子の使用は広く行われている。

固体を微細化することは固体を分散することであるから、この分散系の自由エネルギー  $G$  を考える。内部の自由エネルギー  $G^I$  と表面の自由エネルギー  $G^S$  の和であり

$$G = G^I + G^S$$

で、表面積  $A$  を  $dA$  広げるに必要な仕事は表面張力を  $\gamma$  とすれば  $\gamma dA$  となる。一定温度一定圧下ではこの仕事は表面自由エネルギーの増加となる。 $dG = \gamma dA$  だから  $G^S = \gamma A$  となり

$$G = G^I + \gamma A$$

となる。分散によって体積変化はなく表面積のみが変化するが、分散により表面自由エネルギーは増加する。このため、分散は自発的に進行しないし、不安定である。

微粒子は粒子間の凝集により表面積を減少する傾向を持つことがうなづける。逆に表面張力を減少させる界面活性剤の添加は微粒子を安定に分散させる。

表面積による自由エネルギー変化は  $(\partial G/dA)_{T,P} = \gamma$  であるから表面張力は単位表面積当たりの表面自由エネルギーと考えられるが、これは液体においては成立するが、固体の場合には表面積変化による表面自由エネルギーの変化が生じて一致しないという<sup>3)</sup>。変形を受けた固体の表面張力を  $\sigma$  とすれば、

$$\sigma = \frac{d(\gamma A)}{dA} = \gamma + A \frac{dr}{dA}$$

これは固体表面の分子が自由に動くことができないため、表面に空孔が生じたり、格子定数が変化したりするため  $dr/dA$  が零にならないからであるという。したがって粒子の変形形態により影響するがここでは考えない。

また結晶の各面によって表面張力が異なる。結晶の析出、溶解においては、表面の自由エネルギーが最小となるように現象は進行し、その結果、結晶は一定の形態となる。しかしこの異方性の少ない結晶では、球形に近い形態となるという<sup>3)</sup>。これらのこととは現象が平衡に近い状態で進行するときに成り立ち、粉砕等で生ずる様々な形態は表面のエネルギー状態を複雑とする。角や棱のエネルギーについて検討もされている。

### 2. 粒子径と溶解度

1 で述べたように粒子においては形態が表面張力と関係して問題があるが、ここでは球形で等方的と考える。表面が曲面を成しているときには曲面の内外で圧力差が生じる。粒子の直径  $D$  内部の圧力  $P^I$ 、外部の圧力  $P$  のとき圧力差  $\Delta P = P^I - P$  で、この圧力差によって  $dD$  の直径変化が生じると表面積変化  $dA = -2\pi D dD$  であり、表面張力  $\gamma$  との積  $-\gamma \times 2\pi D dD$  はこのときの仕事である。体積変化  $dV$  は  $\pi D^2 dD$  でこのときの仕事は  $\Delta P dV$

\* 昭和大学薬学部

(〒142 東京都品川区旗の台1の5の8)

Tel (03) 784-1151 内 266

Table 1 液滴の粒子径と水への溶解度比(計算)

液体	クロロホルム	四塩化炭素	エチルエーテル	ベンゼン	n-オクチルアルコール	オレイン酸	n-ヘキサン	n-オクタン
分子量	119.3	153.8	74.12	78.11	130.2	282.5	86.2	114.2
密度	1.498	1.604	0.709	0.889	0.826	0.891	0.659	0.703
界面張力	32.8	45	10.7	35	8.5	15.6	51.1	50.8
直径								
1 cm	1.0000	1.0000	1.0000	1.0000	1.0000	1.0000	1.0000	1.0000
$\times 10^{-1}$	1.0000	1.0000	1.0000	1.0000	1.0000	1.0000	1.0000	1.0000
$\times 10^{-2}$	1.0000	1.0000	1.0000	1.0000	1.0000	1.0001	1.0001	1.0001
$\times 10^{-3}$	1.0004	1.0006	1.0002	1.0004	1.0002	1.0008	1.0011	1.0013
$\times 10^{-4}$	1.0042	1.0069	1.0018	1.0049	1.0021	1.0080	1.0108	1.0134
$\times 10^{-5}$	1.0430	1.0722	1.0182	1.0508	1.0219	1.0832	1.1139	1.1427
$\times 10^{-6}$	1.5250	2.0082	1.1980	1.6428	1.2418	2.2287	2.9409	3.7968
$\times 10^{-7}$	$6.8 \times 10^{-6}$	$1.1 \times 10^{-5}$	6.090	$1.4 \times 10^{-5}$	8.7212	$3.0 \times 10^{-5}$	$4.8 \times 10^{-5}$	$6.2 \times 10^{-5}$
$\times 10^{-8}$	$2.1 \times 10^{-7}$	$1.9 \times 10^{-6}$	$7.0 \times 10^{-7}$	$6.6 \times 10^{-7}$	$2.5 \times 10^{-8}$	$5.1 \times 10^{-8}$	$7.0 \times 10^{-8}$	$8.7 \times 10^{-8}$

$=\pi D^2 \Delta P dD$  で両者は等しく  $(P^I - P) \times \pi D^2 dD = -2\pi D dD$  で変形して

$$\Delta P = \frac{4\gamma}{D}$$

を得る。この式は Laplas の式として知られている。

この圧力差によって粒子の蒸気圧も変化する。圧力の増加は自由エネルギーを増加する。モル容積  $V_m$  = 分子量  $M$  / 密度  $\rho$  とすれば、 $\Delta G = \int V_m dP$  であり、固体の場合、圧力変化による体積変化が無視できるとすれば  $\Delta G = V_m \cdot \Delta P$  である。圧力変化は  $4\gamma/D$  であるから  $\Delta G = 4\gamma V_m / D$  となる。これは粒子径内部の自由エネルギー変化である。固体と平衡状態にある蒸気の自由エネルギー変化は  $\Delta G = RT \cdot \ln(P_D/P_\infty)$  で与えられ両者は等しく、 $4\gamma V_m / D = RT \ln(P_D/P_0)$  で変形すれば

$$P_D = P_\infty \exp\left(\frac{4V_m \gamma}{RTD}\right) \quad (1)$$

が得られる。 $P_\infty$  は平面での蒸気圧、 $R$  は気体定数、 $T$  は温度である。(1)式は William Thomson の式<sup>4)</sup>として知られている。(1)式については様々な実験的証明<sup>5)</sup>が試みられているが、熱力学的に正しいということが応用される理由であるといふ。

(1)式は溶解度  $C$  に対しても同様に適用できると考えられ

$$C_D = C_\infty \exp\left(\frac{4V_m \gamma_{INT}}{RTD}\right) \quad (2)$$

となる。ここでは表面張力ではなく界面張力  $\gamma_{INT}$  である。界面エネルギーは液体について簡単に測定

できる。水との界面張力を用い様々な液体が水中に分散したと仮定して(2)式を使い溶解度比  $C_D/C_\infty$  を計算すると、Table 1 の結果が得られた。ほとんどの液体で直径が  $1 \mu\text{m}$  から著しい増加が見られる。また極性液体の方が非極性液体に比べてやや低くでている。 $0.1 \mu\text{m}$  粒径で前者が 5%、後者が 10% 程度である。また  $0.1 \mu\text{m}$  以下では有機化合物においては無機化合物に比べて著しい増加である。これはあくまで計算上のことであり、また液体についての値であるが、有機化合物については微細化を行い得れば効果が大きいことを示していると考える。分子レベル迄計算したがほぼ完全に溶解している値である。

固体の表面張力を測定する方法として(2)式が利用できて実際行われている<sup>6)7)</sup>。得られた表面張力(実際は界面張力)の値によって  $1 \mu\text{m}$  での溶解度増分を % で Table 2 に示した。かなり大きな値が得られた。無機

Table 2 界面張力と粒子径が  $1 \mu\text{m}$  の時の溶解度増

固体	界面張力	水への溶解度	粒子径が $1 \mu\text{m}$ の溶解度増分
NaCl	300 dyne/cm <sup>2</sup>	35.7 g/100ml	2%
CaF <sub>2</sub>	2500	$1.6 \times 10^{-3}$	25
BaSO <sub>4</sub>	1250	$1.15 \times 10^{-4}$	33
CaSO <sub>4</sub> •H <sub>2</sub> O	370	$2.23 \times 10^{-1}$	7
AgCaO <sub>4</sub>	575	$1.4 \times 10^{-3}$	5.6
SrSO <sub>4</sub>	1400	$1.13 \times 10^{-2}$	29.2
PbF <sub>2</sub>	900	$6.2 \times 10^{-2}$	4.4
PbI <sub>2</sub>	130	$4.42 \times 10^{-2}$	1.6
MgO	1040	$6.2 \times 10^{-4}$	4

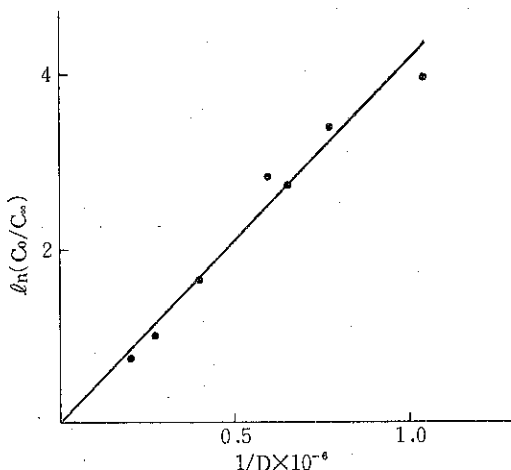


Fig. 1  $\text{SrSO}_4$  の粒子径と溶解度比

化合物の固体では表面張力が極めて大きいために、このような大きな値が得られたと考えられるが、有機化合物においては無機化合物ほど大きな表面張力を持たないために先の有機化合物の液体での結果はほぼ実際に当てはまると考える。

硫酸ストロンチウムに関する実際の測定例<sup>8)</sup>をFig. 1 に示す。かなり良い直線性を示している。医薬品には微粒子を液体中に懸濁した剤形があるが、この剤形の安定性に微粒子の溶解、大粒子上への析出による劣化が大きな影響を与える。これは朝夕、季節による温度変化が促進するようである。このような過飽和状態は温度が一定であればかなり長時間保てるという。

### 3. 粒子径と表面エネルギー

表面積を増加させると熱の吸収を生じる。これは表面エネルギーの増加となる。表面エネルギー  $E^s$  と表面自由エネルギー  $G^s$  との間には Gibbs-Helmholz の式で

$$E^s = G^s + TS^s$$

の関係がある。  $S^s$  は表面エントロピーで  $S^s = (\partial G / \partial T)_P - (\partial r / \partial T)_P$  の関係にあり結局

$$E^s = r - T \left( \frac{\partial r}{\partial T} \right)_P$$

となる。 $(\partial r / \partial T)_P$  は一般に負であり、  $E^s$  は  $r$  より大きい。この  $E^s$  は表面が内部に比べて過剰に持っているエネルギーであり、ミクロ的には次のように考えられる。結晶内部で分子が安定しているエネルギーは、単位結合のエネルギー  $e/2$  と配位している分子数の積で与えられる。内部での配位数を  $n^I$ 、表面での配位数を  $n^S$  とすれば、分子についての表面エネルギー  $e^s = (n^I e - n^S e)/2$  であり、単位表面積当たりの分子数を  $N^s$  とすれば

$$E^s = N^s (n^I e - n^S e)/2 \quad (3)$$

となる。 $n^I e$  は分子についての安定化エネルギー、つまり凝集エネルギーである。

(3)式で表面エネルギーは表面での分子密度と配位数に関係するが、これらは結晶構造によって各面で異なる。これが表面張力の異方性の理由である。Bravais の法則<sup>9)</sup> “多面体結晶の形づくる面は分子密度の最高な面である” というのは、分子密度の最高な面では配位数が最高であって最も表面エネルギーの低い面であると考えられる。実際の表面エネルギーについて例<sup>10)</sup>を Table 3 に示す。有機化合物については妥当な値と考えられるが、金属においてはやや小さいと考えられる。

表面エネルギーが粒子径と共にどの様に変化するかは、微粒子の性質について考えるときに重要である。これを液体について計算すると Table 4～7 の結果を得た。水とエタノールについては表面エネルギーが凝集エ

Table 3 表面張力と表面エネルギー

液 体	$r$ (erg/ cm <sup>2</sup> )	T (°C)	$dr/dT$	$E_s$ (erg/ cm <sup>2</sup> )	$E_s'$ (cal/ mol)
He	0.308	25K	-0.07	0.47	8.7
N <sub>2</sub>	9.71	75K	-0.23	26.7	585
C <sub>2</sub> H <sub>5</sub> OH	22.75	20	-0.086	46.3	1340
H <sub>2</sub> O	72.75	20	-0.16	120	1780
NaNO <sub>3</sub>	116.6	308	-0.050	146	2150
C <sub>7</sub> F <sub>14</sub>	15.70	20	-0.10	45.0	2610
C <sub>6</sub> H <sub>6</sub>	28.88	20	-0.13	67.0	2680
n-C <sub>8</sub> H <sub>18</sub>	21.80	20	-0.10	51.1	2920
Na	202	97	-0.10	289	4002
Ag	879	1100	-0.184	1132	10900
Cu	1300	1535	-0.31	1721	13000
Fe	1880	1535	-0.43	2657	20100

Table 4 粒子径と表面エネルギー

水 分子量 18.02 密度 1.0  
表面エネルギー 120 erg/cm<sup>2</sup>  
凝集エネルギー 5.05 × 10<sup>11</sup> erg/mol

粒子径 (cm)	粒 子 数 (mol <sup>-1</sup> )	全表面積 (cm <sup>2</sup> / mol)	全表面エ ネルギー/ (erg/mol)	表面エネル ギー/ 凝集エ ネルギー
1	$3.44 \times 10^{-1}$	$1.08 \times 10^2$	$1.30 \times 10^4$	$2.57 \times 10^{-8}$
	$\times 10^4$	$\times 10^3$	$\times 10^5$	$\times 10^{-7}$
	$\times 10^{-2}$	$\times 10^7$	$\times 10^4$	$\times 10^{-6}$
	$\times 10^{-3}$	$\times 10^{10}$	$\times 10^5$	$\times 10^7$
	$\times 10^{-4}$	$\times 10^{13}$	$\times 10^6$	$\times 10^8$
	$\times 10^{-5}$	$\times 10^{16}$	$\times 10^7$	$\times 10^9$
	$\times 10^{-6}$	$\times 10^{19}$	$\times 10^8$	$\times 10^{10}$
	$\times 10^{-7}$	$\times 10^{22}$	$\times 10^9$	$\times 10^{11}$
	$\times 10^{-8}$	$\times 10^{25}$	$\times 10^{10}$	$\times 10^{12}$

**Table 5** 粒子径と表面エネルギー

エタノール 分子量 46.086 密度 0.789  
 表面エネルギー 46.3 erg/cm<sup>2</sup>  
 凝集エネルギー 4.325 erg/mol

粒子径 (cm)	粒子数 (mol <sup>-1</sup> )	全表面積 (cm <sup>2</sup> / mol)	全表面エ ネルギー/ (erg/mol)	表面エネ ルギー/ 凝集エ ネルギー
1	$1.115 \times 10^2$	$3.503 \times 10^2$	$1.622 \times 10^4$	$3.75 \times 10^{-8}$
$\times 10^{-1}$	$\times 10^5$	$\times 10^3$	$\times 10^5$	$\times 10^{-7}$
$\times 10^{-2}$	$\times 10^8$	$\times 10^4$	$\times 10^6$	$\times 10^{-6}$
$\times 10^{-3}$	$\times 10^{11}$	$\times 10^5$	$\times 10^7$	$\times 10^{-5}$
$\times 10^{-4}$	$\times 10^{14}$	$\times 10^6$	$\times 10^8$	$\times 10^{-4}$
$\times 10^{-5}$	$\times 10^{17}$	$\times 10^7$	$\times 10^9$	$\times 10^{-3}$
$\times 10^{-6}$	$\times 10^{20}$	$\times 10^8$	$\times 10^{10}$	$\times 10^{-2}$
$\times 10^{-7}$	$\times 10^{23}$	$\times 10^9$	$\times 10^{11}$	$\times 10^{-1}$
$\times 10^{-8}$	$\times 10^{26}$	$\times 10^{10}$	$\times 10^{12}$	$\times 1$

**Table 6** 粒子径と表面エネルギー

ベンゼン 分子量 78.11 密度 0.879  
 表面エネルギー 67 erg/cm<sup>2</sup>  
 凝集エネルギー  $3.38 \times 10^{11}$  erg/mol

粒子径 (cm)	粒子数 (mol <sup>-1</sup> )	全表面積 (cm <sup>2</sup> / mol)	全表面エ ネルギー/ (erg/mol)	表面エネ ルギー/ 凝集エ ネルギー
1	$1.697 \times 10^2$	$5.33 \times 10^2$	$3.57 \times 10^4$	$1.06 \times 10^{-7}$
$\times 10^{-1}$	$\times 10^5$	$\times 10^3$	$\times 10^5$	$\times 10^{-6}$
$\times 10^{-2}$	$\times 10^8$	$\times 10^4$	$\times 10^6$	$\times 10^{-5}$
$\times 10^{-3}$	$\times 10^{11}$	$\times 10^5$	$\times 10^7$	$\times 10^{-4}$
$\times 10^{-4}$	$\times 10^{14}$	$\times 10^6$	$\times 10^8$	$\times 10^{-3}$
$\times 10^{-5}$	$\times 10^{17}$	$\times 10^7$	$\times 10^9$	$\times 10^{-2}$
$\times 10^{-6}$	$\times 10^{20}$	$\times 10^8$	$\times 10^{10}$	$\times 10^{-1}$
$\times 10^{-7}$	$\times 10^{23}$	$\times 10^9$	$\times 10^{11}$	$\times 1$
$\times 10^{-8}$	$\times 10^{26}$	$\times 10^{10}$	$\times 10^{12}$	$\times 10$

**Table 7** 粒子径と表面エネルギー

n-オクタン 分子量 114.2 密度 0.703  
 表面エネルギー 51.1 erg/cm<sup>2</sup>  
 凝集エネルギー  $4.15 \times 10^{11}$  erg/mol

粒子径 (cm)	粒子数 (mol <sup>-1</sup> )	全表面積 (cm <sup>2</sup> / mol)	全表面エ ネルギー/ (erg/mol)	表面エネ ルギー/ 凝集エ ネルギー
1	$3.11 \times 10^2$	$9.76 \times 10^2$	$4.99 \times 10^4$	$1.20 \times 10^{-7}$
$\times 10^{-1}$	$\times 10^5$	$\times 10^3$	$\times 10^5$	$\times 10^{-6}$
$\times 10^{-2}$	$\times 10^8$	$\times 10^4$	$\times 10^6$	$\times 10^{-5}$
$\times 10^{-3}$	$\times 10^{11}$	$\times 10^5$	$\times 10^7$	$\times 10^{-4}$
$\times 10^{-4}$	$\times 10^{14}$	$\times 10^6$	$\times 10^8$	$\times 10^{-3}$
$\times 10^{-5}$	$\times 10^{17}$	$\times 10^7$	$\times 10^9$	$\times 10^{-2}$
$\times 10^{-6}$	$\times 10^{20}$	$\times 10^8$	$\times 10^{10}$	$\times 10^{-1}$
$\times 10^{-7}$	$\times 10^{23}$	$\times 10^9$	$\times 10^{11}$	$\times 1$
$\times 10^{-8}$	$\times 10^{26}$	$\times 10^{10}$	$\times 10^{12}$	$\times 10$

**Table 8** 分子におけるエネルギー比

	1 分子容 球換算径	表面エネ ルギー/ 凝集エネ ルギー
H <sub>2</sub> O	3.85 Å	0.67
C <sub>2</sub> H <sub>5</sub> OH	5.7	0.66
C <sub>6</sub> H <sub>6</sub>	6.6	1.61
n-C <sub>8</sub> H <sub>18</sub>	8.0	1.50

エネルギーの1%となるのは 0.1 μm 以下である。ベンゼンと n-オクタンでは 1 μm 程度で約10倍の比となっている。有機化合物では微粉砕しようとすると固結してしまうものこの辺に理由があるのかも知れない。アボガドロ数に分散したと考えてそのときの比を求める Table 8 のようになつた。極性化合物と有機化合物ではかなりのひらきがあるが、両者の間に1があることはこの簡単な計算でも妥当なことを示していると考える。なおこのときの分子径は原子間結合距離的に考えてほぼ妥当な値である。

極性液体と非極性液体での差は表面での分子の配向等によって極性液体では表面エネルギーが小さく出たものとも考えられる。

#### 4. 医薬品の粉碎

医薬品の粉碎の目標の一つは溶解性的向上にある。これまでに溶解性を増加させる理由として、結晶形の変化や結晶が非晶質化するなどの報告がある。さらに第2の物質を多量に混合して粉碎すると効果がある場合が多いことが報告されている。この理由は未だ充分に判っていないが界面化学的に説明するとすれば次のように考えられるであろう。有機化合物を粉碎すると固結して器壁に付着し易い、これは先の計算において無機化合物よりも表面エネルギーの凝集エネルギーに対する割合が大きいのではないかと思われる結果によって理解できよう。このため微粉砕が困難であるが、第2の物質が多量に存在すると、互いに分散しあい凝集しても対象の医薬品の凝集の割合は低下して微粉になり得る。また第2物質が界面エネルギーを低下する<sup>11)</sup>ことなどが考えられる。

また医薬品は吸収過程が存在するため、第2物質が無害なものであれば薬効を妨げることが無いと考えることにより、多量に第2物質を混合粉碎することが可能となる。また混合粉碎においては非晶質化が著しく進行する場合がある。これは第2物質の分子が医薬品中に拡散して、欠陥を引き起すのかとも考えられる。あるいは、極めて微細な粉碎物となるために結晶性が低下するとも考

えられる。

### 参考文献

- 1) 金庭延慶：粉碎，〔15〕48 (1970).
  - 2) A. A. Noyes, W. R. Whitney : J. Chem. Soc., 19, 930 (1897).
  - 3) R. Schuttleworth : Proc. Roy. Soc. (London), A 63, 444 (1950).
  - 4) W. Thomson : Phil. Mag., 42, 488 (1871).
  - 5) Victor K. LaMer, Ruth Gruen : Trans. Faraday Soc. 48, 410 (1952).
  - 6) M. L. Dundon : J. Am. Chem. Soc., 45, 2479 (1923).
  - 7) ibid 45, 2658 (1923).
  - 8) Enüstün, Turkewich : J. Am. Chem. Soc., 82, 45 02 (1960).
  - 9) 笛木和夫：化学物理，p. 287 (オーム社 1967).
  - 10) Adam : Physical Chemistry of Surface (Interscience 1967).
  - 11) A. シェルドコ； ヨロイド化学，p. 85 (共立出版 1975).
- 

### 特許一言メモ

#### めまぐるしく改正される特許法

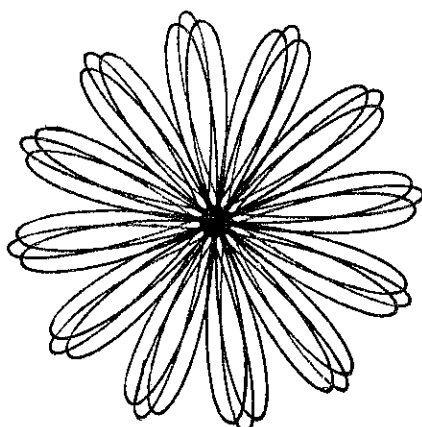
昭和46年1月 出願の公開制度……審査なしでなんでも  
公開公報に掲載されるようになった。  
また、別に料金を払い審査請求手続きを  
しないと審査されないようになった。  
昭和51年1月 物質特許とクレームの多項制が認められ  
るようになった。また、登録商標の使用

---

義務が強化された。

そして、次は特許制度の国際化（特許協力条約； PCT）であり、国をあげて目下その準備中。来年度中（1978年）には発効とか、ここ数ヶ年のうちにでも特許法は  
大きく変貌している (M. N)

---



# 凝集性粉体の流出

Discharge of agglomeration powders

—試作した回転ホッパーについて—

川合 誠一\*

Seiichi Kawai

## § 1. はしがき

粉粒体の流出に関する研究は生産の連続、自動化に伴って近年急速に关心が高まり、多くの報告が提出されている。筆者もさきにホッパーからの粒体の流出実験式を発表し、適用範囲の粒径  $150 \mu$  以下ではその重力流れが不連続となり、ついで閉塞することを報告した<sup>11)</sup>。当時粉体は細くなると内部摩擦係数が大きくなる上、凝集力が無視できなくなるからであると説明した。そのうち粒体の流動性に関して内外で大いに研究が進められてきたけれども、やはり問題が残されていることに変わりがない。まして付着凝集性をもつ粉体についてはなおさらである。その物性解明の困難なことは日常生活で使用する粉体が液体を移しかえるような簡単なわけにゆかないことで誰しも経験するところである。したがってこのような粉体を取扱う現場や実験室における供給方法はおもに振動を与えること、エアーレーションや造粒などの方法が用いられている。しかしながら偏析する恐れや、特別の装置と余分の工程を要するなどいくつかの不利が伴う。幸い粉体を回転しながら流出させると閉塞がかなり回避できることに着目し、新たに凝集性粉体の流出装置を試作した。そしてとかく研究対象よりはずされ勝ちなこれらの粉体が回転ホッパーから流出する傾向と物性の関係について検討した結果を報告する。

## § 2. 粉体の物性値

試料には一連の粒度に分けた石膏（福島県若松産）とガラス粉末および測定した粉体物性値の比較に都合の

よいガラス球（東芝電気製）を用いた。そのほか単一粒径の薄力小麦粉や馬鈴薯澱粉の粉末食品、天秤粘土や滑石の工業原料も準備した。

まず粒径  $D_p$  は光学顕微鏡で粒度分布を測り、体積平均径で算出した。密度  $\rho$  はルシャテリーの比重瓶を用い、また當密度  $\rho_a$  は約 12 cm 上方から例えれば 48 メッシュ缶（細かさによりそれ以下の籠も使用）を通して 25 c.c メスシリンドー中に少量づつ分散堆積させた最粗充填体積  $V_0$  と、これをできるだけタッピングしたときの最密充填体積  $V_c$  より横山ら<sup>15)</sup> の方法にならい、それぞれ最粗密度  $\rho_0$  と最密密度  $\rho_c$  の平均値から求めた。同時に流動性に高度の関係が予測される充填度<sup>8)</sup>  $P = (V_0 - V_c)/V_0$  や圧縮度<sup>12)</sup>  $F = (\rho_c - \rho_0)/\rho_0$  も算出した。

つぎに直接剪断法により内部摩擦角  $\theta$  および凝集力  $C$  を求めた。内径 10 cm、深さ各 2 cm の塗ビ製の上枠と下枠を中心におき、その中へ一定量の粉体を入れる。落し蓋の上に先行荷重として 2 kg の分銅を約一分間のせ、3.15 cm の充填高さに予圧したのち荷重した。荷重量は 0, 100, 190, 375, 525, 700, 1,000 g である。下枠をのせた台車をシンクロナスマーターで引張り、上枠と糸でつないであるバネ秤が剪断のため指示する最高の目盛を読みとった。垂直力  $\sigma$  に対する剪断力  $\tau$  の値を方眼紙にプロットすると摩擦に関するクーロンの式にもとづく図の直線の傾きから  $\theta$  を、截片から  $C$  が求まる。これは下部可動型であるが、上枠が自由に可動できるのでいわゆる上部可動型と同じ特性を有している。したがって測定値が正確であるけれども、取扱いが複雑な三軸試験の値と僅か  $1\sim 3^\circ$  の差に過ぎないといわれている<sup>14)</sup>。剪断速度は普通 60 mm/min. で行ない、20, 8.0, 2.7 mm/min. とも比較した。なお剪断箱が移動する際の摩擦抵抗は空試験で予め調べ、測定の都度差引いた。

\* 金沢大学工学部

(〒920 金沢市小立野 2-40-20)  
Tel. (0762) 61-2101

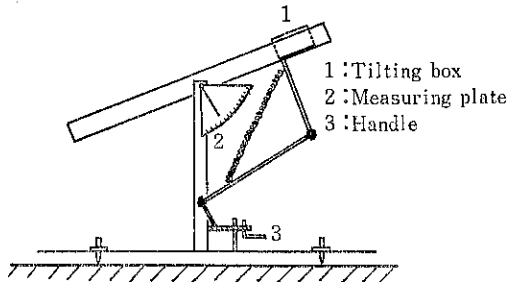


Fig. 1 Apparatus for measurement of angle of repose

しかし本実験では安息角の測定は後述の理由ならびに、操作が簡単で粉体にも適用できる Fig. 1 に示す箱傾斜角法を採用した。最初試料を光沢紙から箱の中に注ぎ入れ、軽く表面を筆の穂先で平坦にした。10°/20 sec. の割で手動で徐々に傾斜させ、上部全体が一度に滑り始めるときの角度を安息角とした。さらにこの方法の信頼度を高めるため箱の寸法についてつぎの実験を行った。はじめに箱をのせる挿の幅から箱のそれを 3 cm とし、長さを変えて石膏とガラス球でテストし Fig. 2 を得た。図より石膏は  $D_p$  が小さくなるにつれ側壁の影響が現われ、 $\phi$  の値が大きくなっている。一方ガラス球は  $D_p$  が大きいと箱の長さにはほとんど関係しないが、 $D_p$  が小さくて箱が短いと摩擦面が少なくなつて早く滑り始める。反対に箱が長い場合には、滑りが前後二度に行われ易いことから 4.7 cm 内外を適当と判断した。さらにこの長さに対し Fig. 3 のように幅をかえてみると、 $D_p$  が

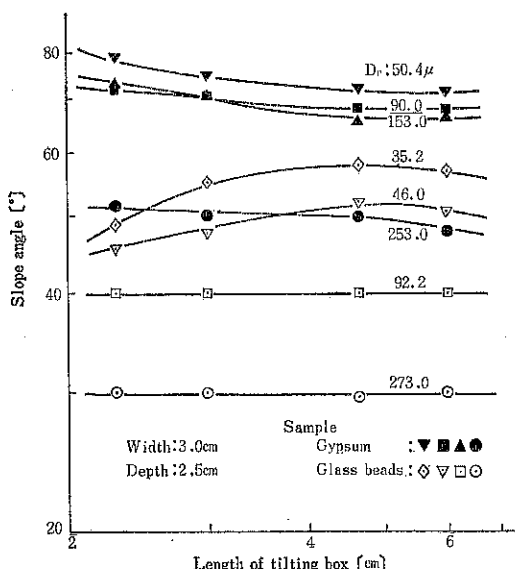


Fig. 2 Effects of length of tilting box

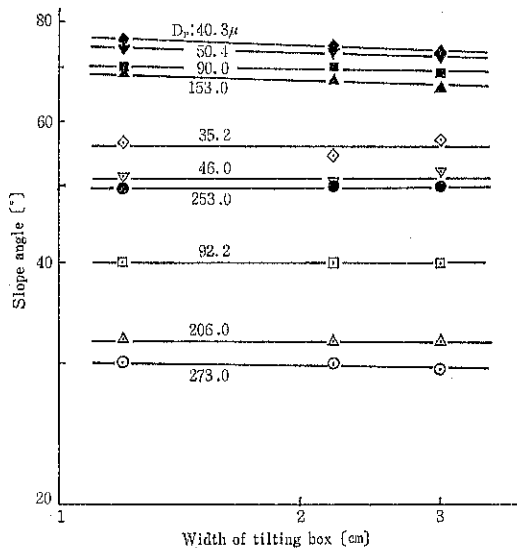


Fig. 3 Effects of width of tilting box

小さい石膏に僅かな影響がみられる程度に過ぎない。それで  $5 \times 3$  cm の林<sup>2)</sup> や  $8 \times 4$  cm の林ら<sup>3)</sup> が選んだ寸法を参考に一応長さの約 0.6 倍を妥当と考えた。深さには特に詳しく測定しなかったが 2.5 cm を用いた。

増温するには試料を薄く抜げた写真用パットを塩ビ製ボックスの中に入れ、この中へウルトラソニックネブライザーから水蒸気を噴霧した。添加水分は乾量基準で含水率  $w$  を算出した。

比表面積  $S$  はブレーンの空気透過装置で測定した。

### § 3. 粉体の流出装置

試作した粉体の流出装置は Fig. 4 の略図に示すよう

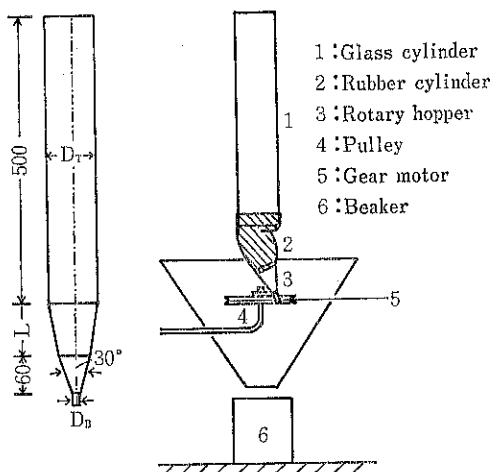


Fig. 4 Experimental apparatus

に粉体を充填するガラス円筒とブーリーで回転しながら粉体を流出させる回転ホッパーおよび両者を接続する厚さ 0.5 mm の興羽ゴムの並ハイカシートで作った接続ゴム円筒からできている。ガラス円筒の内径  $D_T$  は 5.5, 6.5, 7.5, 8.0, 9.0 cm $\phi$  で、亜鉛引鉄板製の回転ホッパーの流出口  $D_B$  は 1.44, 1.73, 2.15, 2.60 cm $\phi$  である。回転ホッパーの先端を 9 cm $\phi$  のブーリーのアームの間にさし入れ、変速モーターを駆動して 0, 40, 60, 75, 90, 100, 110 r.p.m に回転数 N を変えた。流出量を測定するには試料をガラス円筒に充填し、ブーリーが一定回転数になってから秒時計を動かし、5 秒（または 10 秒）ごとにホッパーから流出する粉体をビーカーにうけた。これを上皿天秤で秤量して瞬間流出量  $W_t$  を、さらに 10 回前後の合計から流出量がわかる。この操作を 3~4 回同じ条件で測定したうちのほぼ中間値に近いデータをこの場合の平均流出量  $W$  とした。

つぎに  $D_T$  と  $D_B$  はともに大きくなるにつれ、  $W$  も多くなるが Fig. 5 に示すように  $D_T$  がある範囲を越えると、流下粉体の流出抵抗を増すので  $W$  は少なくなる。この装置では両試料とも  $D_T$  7.5 cm $\phi$  ~ 8 cm の範囲で最大に達している。なお、 $D_B$  が 1.44 cm $\phi$  の場合ガラス球以外はほとんど流出しなかった。

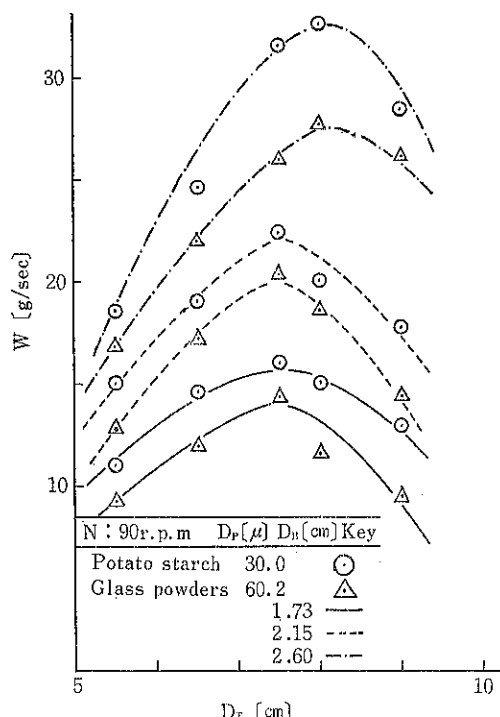


Fig. 5 Effects of diameter in cylinder on the flow rate

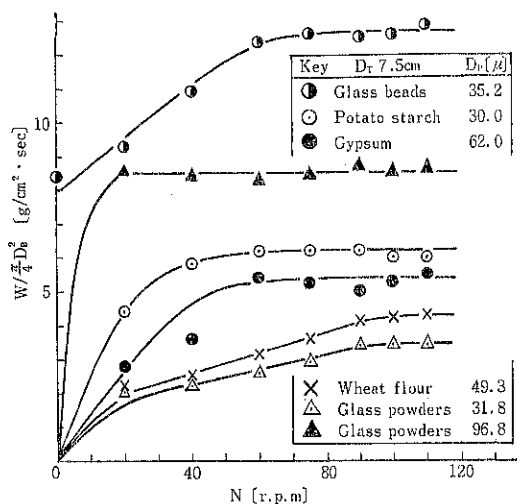


Fig. 6 Relation of the flow rate and revolution speed

Fig. 6において、比較的  $\phi$  が大きい小麦粉、ガラス粉末、滑石、粘土は 90 r.p.m まで  $N$  とともに  $W$  が大きくなるけれども、それ以上速くしても粉体の流下が伴なわないから  $W$  は増加しないことを示している。一方ガラス球や澱粉および 96.8  $\mu$  のガラス粉末のように球形もしくは粒径が粗くてサラサラしている粉体は  $D_B$  の大きさで制限され、すでに 40 r.p.m 付近から一定の  $W$  を示す。ただし石膏は後者の流出傾向に似ている。このことは圧縮度  $F$  が 1.2~1.4 と他の粉体にくらべて一段と大きいため、 $N$  が多くなるほど凝集し易いことになる。したがって小刻みに速く送り出される量と、ゆっくり一回転当たりに比較的多く流出する量とが総体的に大差なく、 $N$  の遅速にさほど左右されないと推測することができる。

ちなみに  $F$  の大小は架橋の難易に関連するほか、 $F$  が大きければ圧縮され易い反面、ときにはフラッシングを起して瞬くうちに流出し終る厄介な性質がある。それゆえ実験に際しては充填した粉体が暫く沈降するのを待って測定し始めた。

つぎに接続ゴム円筒の屈曲で生ずるゴムのひだは充填円筒の粉体圧を減殺することが予想できる。またこの上に乗った粉体はホッパーの回転でゴムのうねりにつれ順次流出口へ送られる。このことは円筒の各位置に置いた色別の約 3 mm $\phi$  の塩ビ粒子をトレーサーとした流出調査から判断でき、いわゆるホッパーの不動部分がないから充填と排出粒子の順序が逆転することはない。それでももし接続ゴム円筒が短いとひだの生成が僅かであるから充填粉体が一度に流下しようとし、反対に長過ぎると回

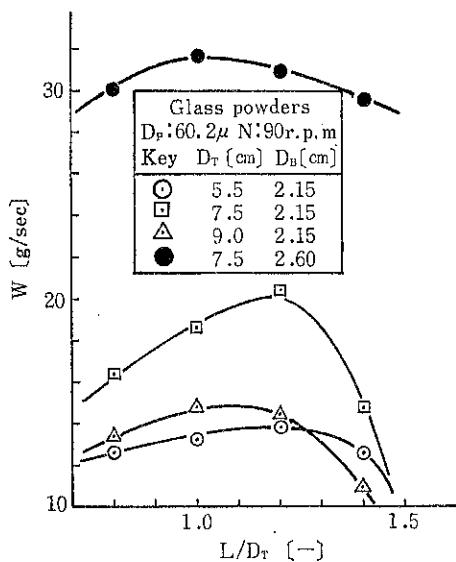


Fig. 7 Flow rate of powder against  $L/D_T$

転ホッパーの傾きが緩いため滞留し易く、ともに  $W$  は少ない。Fig. 7 はその長さ  $L$  が  $D_T$  に対して 1.0~1.2 の範囲が適当であることを示している。

前述の諸条件をいろいろ変えた結果より  $W_t$  の偏差が大で、 $W$  が少いのは  $D_T : 9 \text{ cm}^\phi$ ,  $D_B : 1.73 \text{ cm}^\phi$ ,  $N : 60 \text{ r.p.m}$  であった。反対に良い条件とは  $D_T : 7.5 \text{ cm}^\phi$ ,  $D_B : 2.15 \text{ cm}^\phi$ ,  $N : 90 \text{ r.p.m}$  の場合である。さらに接続ゴム円筒付近の流出状態を観察するため、この部分を厚さ 1 mm の透明なビニールシートで代用し、側面にマノメータにつづいたビニール細管を挿入する。円筒内外の圧力差  $\Delta P$  が減圧または加圧に変わるとたびに写真撮影し、同時に 10 秒ごとの  $W_t$  をプロットすると Fig. 8 となる。その結果良い装置条件では  $\Delta P$  ならびに  $W_t$  の変化が少なく、また鎖線で示すごとく  $W$  も多い。一方不適当な条件では閉塞で生じた負圧の空洞に向って上部粉体層が落盤のようにつぎつぎに落下し、間もなく正圧に変る。この空洞は瞬く間に上昇し、ひだの付近で消失する。また架橋していると言ってもホッパー側面の接目が回転ごとに衝撃振動を与えるとともにホッパーの向きが変るので架橋下側の部分が少しづつ崩れて流出している。そのため次第にアーチが長くな

り、弱まつた途端に破壊されて一度に勢いよく流出する。この際空気を伴うので直ちに負圧に変るが、 $D_B$ ,  $N$  ともに小さくと流出口の一部が塞がり、続いて落下する粉体によって再び架橋状態に戻る。かように架橋、空洞、落盤、正圧と崩壊、流出、負圧をほぼ 30~40 秒の周期で繰返す過程のあらましを知ることができた。

#### § 4. 流出量に影響する物性値の考察

Fig. 9 は粒子径  $D_p$  と種々の物性値の関係を示したもので、 $D_p$  が小さくなるにつれ単位面積中に含まれる粒子数が多くなるため、粉体間に働く接触点の数が増加する。したがって架橋、あるいは吸着した微粉末相互の摩擦增加のため  $\phi$  が大きくなる。つまり  $\tan\phi$ ,  $F$ ,  $\epsilon$ ,  $C$  の値はふえ、 $\rho_a$  が減少するから  $W$  は少くなる。一方  $D_p$  が大きくなると石膏やガラス粉末ではその表面の凹凸の影響が現われ、 $\tan\phi$  や  $\epsilon$  が再び大きくなる粒径がいわゆる臨界粒径と称されている。ただしガラス球ではこのような関係がみられず、40~50  $\mu$  以上ですでに粒体同様に重力流出が可能である。

いま  $D_p : 50.4 \mu$ ,  $w : 10.47\%$  の石膏を乾燥すると Fig. 10 に示すように乾燥前よりいくらか  $W$  は多くなる。これは粉体表面に付着していた微粉末が離脱し、流出する際に隣接する粉体相互のロックを防ぎ、 $C$  が減少する

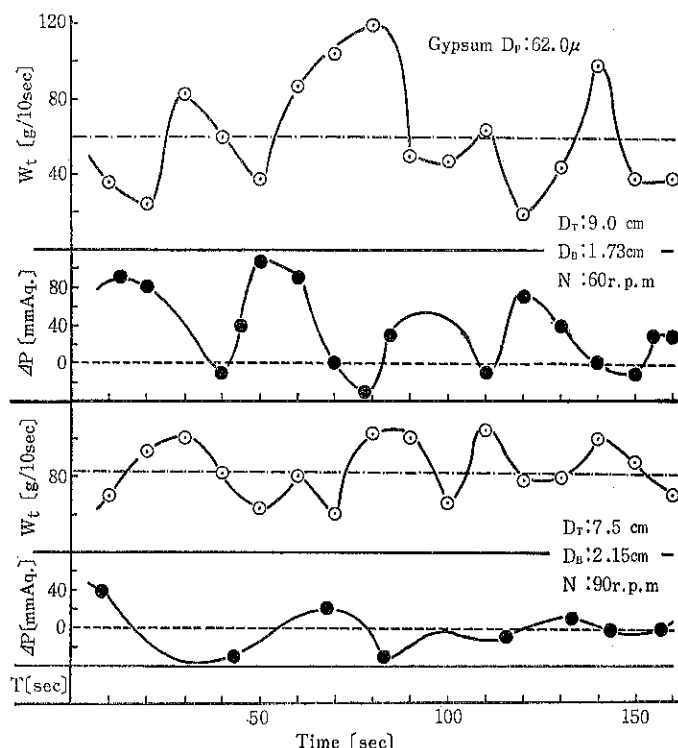


Fig. 8 Constancy of flow rate

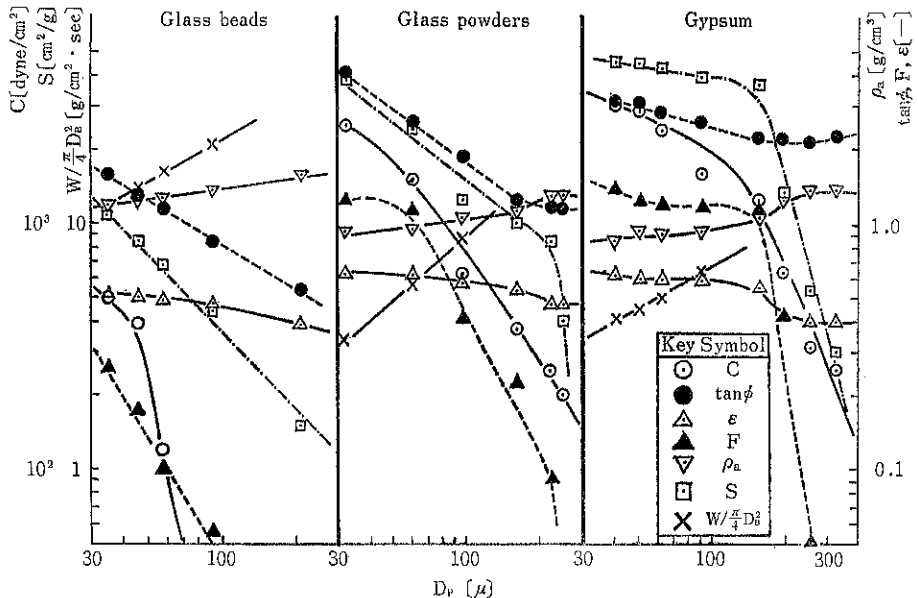


Fig. 9 Relation between powder properties and particle size

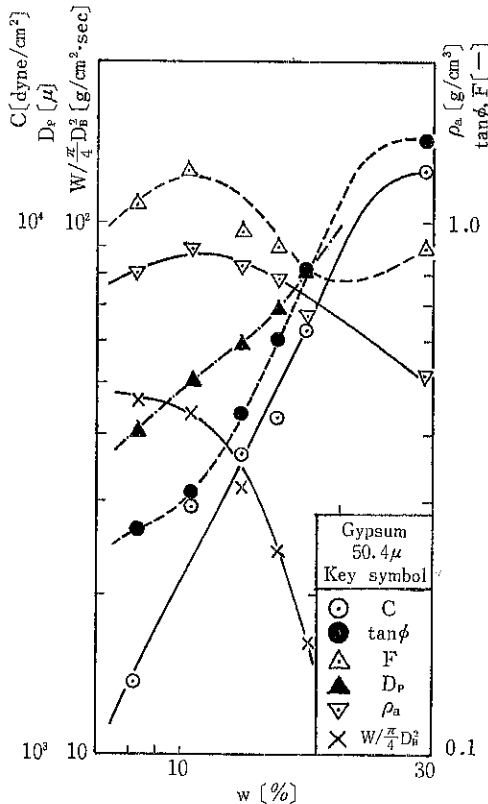


Fig. 10 Relation between powder properties and moisture content

からである。徐々に水分を添加してゆくと互に凝集して多孔性の二次粒子を作り、みかけの  $D_p$  が大きくなると

ともに  $\rho_a$  が減少し、水膜により  $C$  が大きくなる。したがって 15% 台では流動し難くなり、N を増しても流下が伴なわず、かえって  $W$  が少なくなる。17%になると出口への流下が多少不連続になり、20%で遂に流出しなくなる。岡田らも各種澱粉について  $W$  を細かく変えて約 20%まで剪断テストし、 $C$  との傾向がよく似た結果を報告している<sup>9)</sup>。また Shotton らは水膜が粒子間の減摩作用を果し、馬鈴薯澱粉が 24%で最大の  $C$  を示すと述べている<sup>10)</sup>。本実験でもそのような傾向がうかがわれるようである。

なおここに図示しなかったけれども、ガラス球は表面が平滑なため濡れ易く僅かな  $W$  の増加も  $W$  に敏感に響き、すでに 1%内外で流出しなくなる。従って、数回同一試料を剪断テストに使用していると、 $W$  が変化し時間の経過とともに  $\tau$  が小さくなり、これらの測定値をプロットすると直線になり難いことは明らかである。

さて凝集性粉体の流出実験式に關係する変数として当然  $F$  または  $C$  を予期していた。しかしながら Fig. 11(左)に見られるように  $F$  と  $W$  の関係は石膏が一般の傾向からはずれ、殊に  $F$  が小さくなるにもかかわらず  $W$  は逆に減少している。一方  $C$  との関係は同図(右)に示すように滑石および  $C$  の値 : 500 dyne/cm<sup>2</sup> 以下のガラス球が一般的の傾向と異なっている。また、Fig. 12 のように石膏の充填量を少々変えると順次  $\epsilon$  とともに  $C$  の値も変ってゆく。けれどもガラス球に(澱粉も同様)このような結果が現われるのは、恐らく充填後予圧する際上下枠の合せ目の僅かな間隙を小さな球形粒子が潜り抜け、その

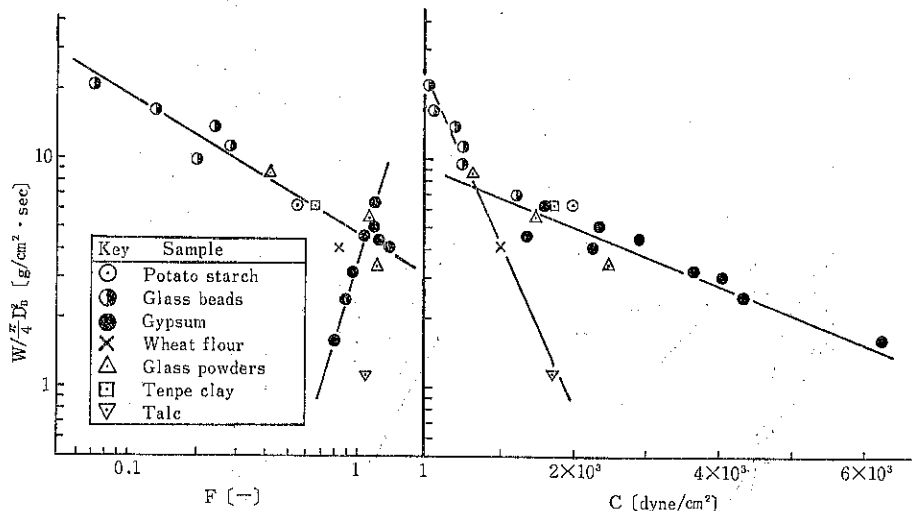


Fig. 11 Flow rate against compressibility and cohesion force

ため断面が滑かとなって互に似たような剪断抵抗にもとづくからと推定することもできる。

つぎに剪断速度については Fig.13 のごとく石膏では  $\theta$  の値はほとんど変わらないが、C は速くても遅くとも幾分大きくなっている。これは剪断面に生ずるかみ合い抵抗が結果的にCとして測定されるわけであるが<sup>8)</sup>、速いときにはこのかみ合いを緩めるには余分の  $\tau$  が必要となる。反対に遅い場合には充填粉末の再配列をする余裕があるため安定度を増し、若干  $\tau$  が大きく現れると理解するのが適切のようである。

最近 105~297  $\mu$ , 53~210  $\mu$  および 44~88  $\mu$  のガラス球を 3 mm/min. の剪断速度で測定したつぎの報告がある<sup>18)</sup>。この報告によると  $D_p$  が大きいなら密充填となって剪断を受けるとき無理にずりを生じ、実際の剪断が行なわれる粉体層が厚くなるから  $\tau$  もまた大きくなるとの見解である。しかるに本実験では Fig.14 に示すように剪断速度に関係なく、上記と反対の結果を得た。このことは剪断面に少数の大きな粒子が並ぶよりも、小さくとも多数の接触点が存在すれば大きい  $\tau$  を示すというのがこれまで大概の研究者の考え方である<sup>1), 9)</sup>ことを考

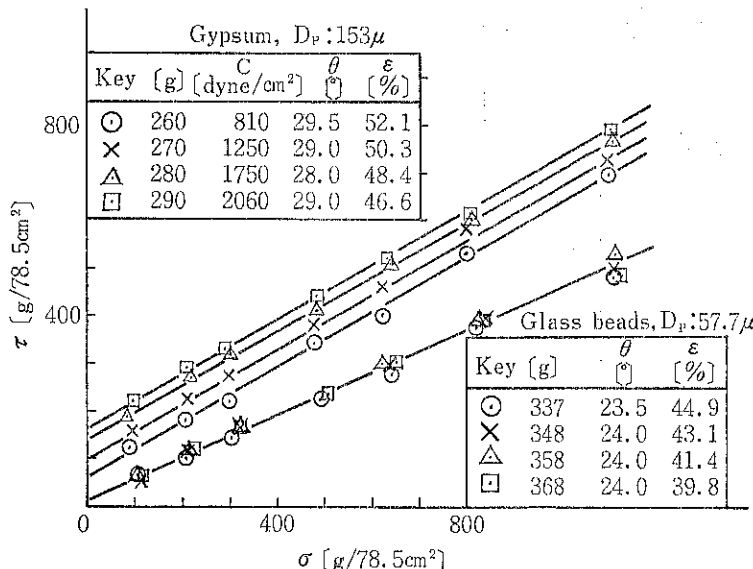


Fig. 12 Variation of  $\tau$  against  $\sigma$  with changing weight of packed powder

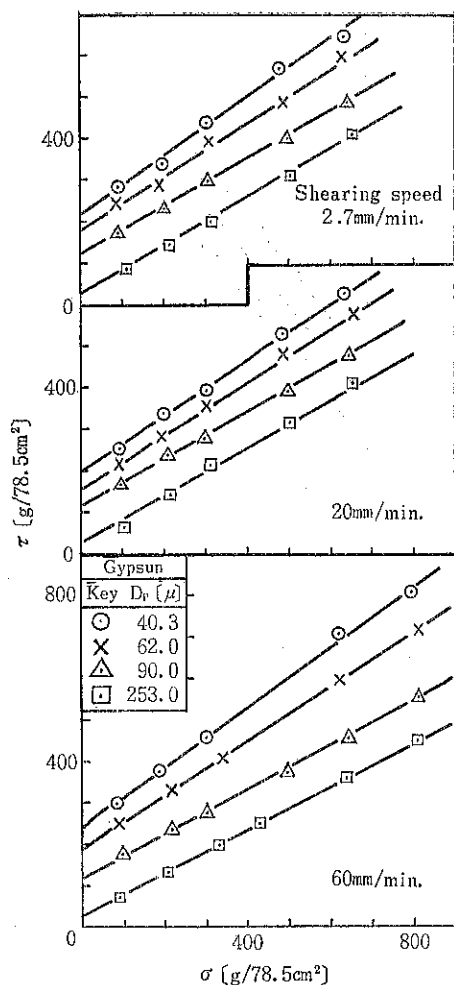


Fig. 13 Variation of Cohesion force on the shearing velocity

慮すると掲載されているような動的と静的の剪断速度によって大小  $D_p$  の順位が逆転するはずがないように思われる。また  $\epsilon$  や  $w$  など全く同じ条件で数回づつ同じテストを繰返すことは随分骨が折れるばかりでなく、得られる結果が不安定なことを指摘する向きもある<sup>7)</sup>。かように剪断試験から求められる  $\mu$  と  $C$  の値に対する疑問や再現性について多分に気がかりな点がある。ところがこれに代る安息角にもまた物理的意味を持たず、1つの対応関係にとどまっており、物性値として流出実験式より除外しても差支えないとの提案がある<sup>4)</sup>。しかしながら粒体の  $\mu$  の項を無視すると、式の精度が悪くなることは以前に報告したように粒子形状が球から遠ざかるほど観測値に対し過大な値が算出される<sup>5)</sup>。ともあれさきに接続ゴム円筒の機能や流出現象の観察のところで触れた通り剪断試験の場合のように強制的に圧縮されることはず考えられない。むしろ本装置の適当条件で流出す

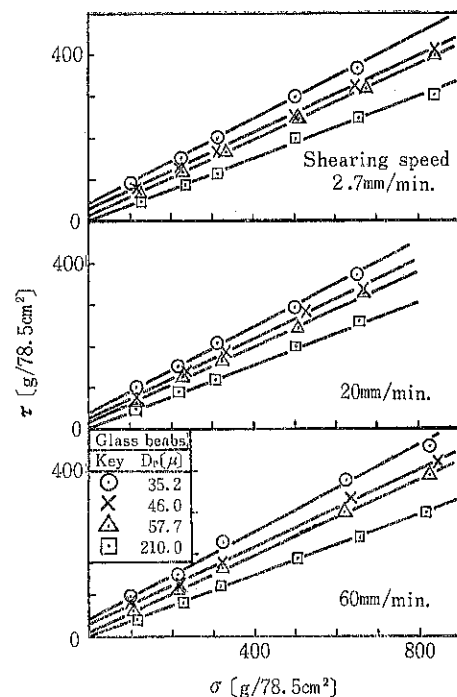


Fig. 14 Relation of  $\tau : \sigma$  on the shearing velocity

る際の粉体相互の接触状態は圧縮、剪断で得られる  $\theta$  よりも、比較的自重で形成される  $\phi$  と  $W$  の関係の方がより実状に添っていることがうなづけるはずである。事実 Fig. 15 は  $W$  に対する  $\mu$  と  $\tan\phi$  のプロットの比較であるが、 $\mu$  の僅かな変化が  $W$  に大きく響き、かつ比例しないものが多い。反対に  $\tan\phi$  はかかる恐れが少なく、

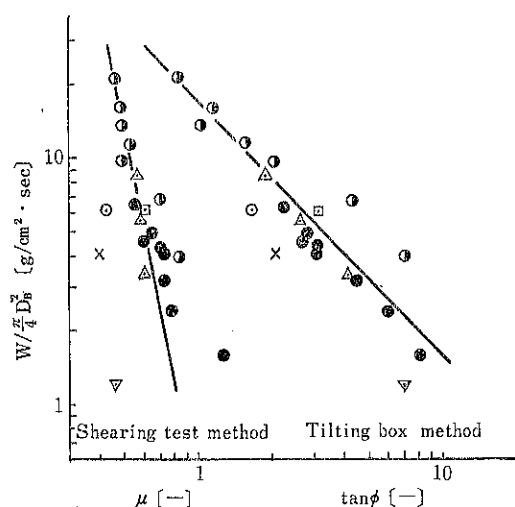


Fig. 15 Comparison of shearing test and tilting box method

流出実験式の有用な変数の一つである。

## § 5. 流出実験式

上述の装置条件や粉体物性値について  $W$  に関する変数を検討した結果、 $D_P$ ,  $D_B$ ,  $D_T$ ,  $\rho_a$ ,  $g$ ,  $\tan\phi$  などが考えられる。そこで  $W/D_P^{2.5} \rho_a \sqrt{g}$  を  $D_T/D_B$  に對し点綴した Fig. 16 より直線関係が得られ鱗数は 1.2 となる。 $W/D_P^{2.5} \rho_a \sqrt{g} (D_T/D_B)^{1.2}$  と  $D_B/D_P$  を Fig. 17 のようにプロットすると同じ勾配をもつ直線群を得る。これらの位置の相異は各粉体の  $\tan\phi$  によるのであるから  $D_B/D_P = 400$  の縦軸の値から  $\tan\phi$  の鱗数が決まる。最後に Fig. 18 に示すように全データを一本の直線上にのせることができ次式が求まる。

$$W = 0.085 D_P^{2.5} \rho_a \sqrt{g} \tan\phi^{-0.8} \left( \frac{D_B}{D_P} \right)^{2.4} \left( \frac{D_T}{D_B} \right)^{1.2} \quad \dots\dots(1)$$

ただし約 200 mesh 以下の凝集性粉体に対し、すでに述べた良い装置条件の場合に限定される。N については粉体の流出促進に重要と考えられるけれども、W との關係が物質によりまちまちであるから前述の C とともに実験式の変数に加えなかった。またこれまで取扱った粉体のうち重曹粉末は針状結晶で  $\phi$  が 85.0° と特に大きく、ゴム円筒部で塊状になると W は極端に少なく、計算値より随分はずれるのでデータに加えることを見合わせた。

増田ら<sup>6)</sup> は  $D_B : 5.12 \text{ cm}$ ,  $N : 120 \text{ r.p.m}$  の Vibra Screw Feeder を用い  $D_P : 68 \mu$ ,  $\rho_a : 1.23 \text{ g/c.c}$  の珪砂が  $100 \text{ g/sec}$  流出するという。この条件を(1)式にあては

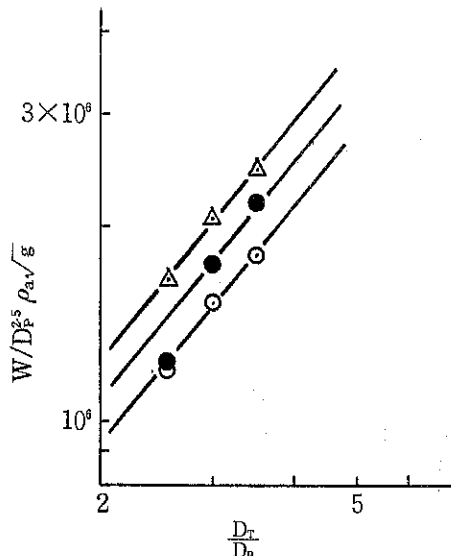


Fig. 16 Log plot of  $W/D_P^{2.5} \rho_a \sqrt{g}$  vs.  $D_T/D_B$

め  $D_T/D_B = 3.49$  において  $W$  を算出すると約 3.5 倍多く流出する。しかし  $100 \text{ V}$  で  $215 \text{ g/sec}$  流出するフロートロンのクリアランス  $2 \text{ cm}$  を  $D_B$  とみなした本装置の  $W$  は  $1/4$  に過ぎなかった。

なお簡単のため Fig. 15, 16, 17, 18 の試料別記号は Fig. 11 に準ずることをお断りする。

## § 6. むすび

凝集性粉体を回転しながら流出させると、かなり閉塞

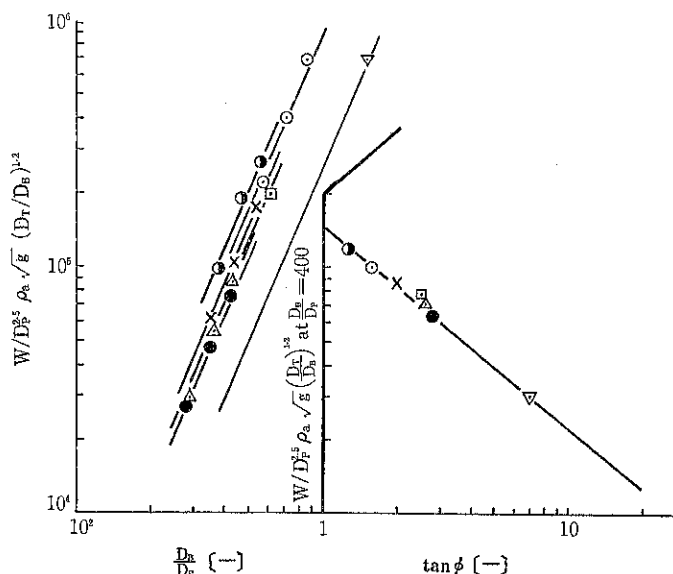


Fig. 17 Determination of power number of  $\tan\phi$

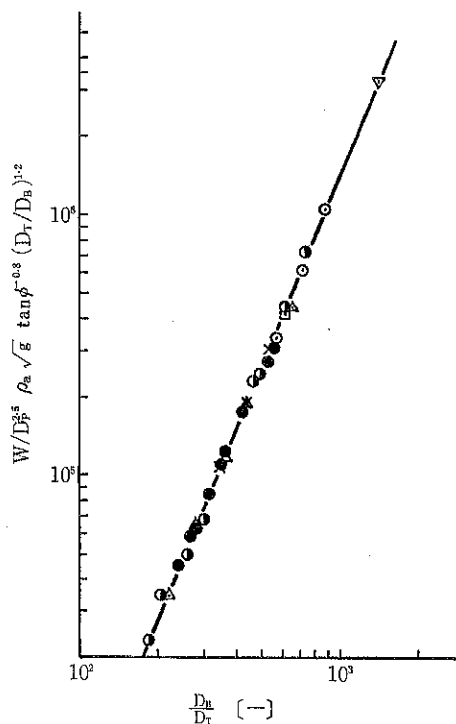


Fig. 18 Summary of all data results in a satisfactory correlation for all materials

が避けられることに着目して回転ホッパーを試作した。この流出状態を接続ゴム円筒部で観察すると架橋、空洞、落盤、加圧と崩壊、流出、減圧を繰返すとき  $W_t$  の偏差が多く  $W$  は少ない。しかし  $D_T$ 、 $D_B$ 、 $N$  など適当な装置条件を選ぶとほぼ定常流出が可能である。当初、流出に必須の因子と考えていた剪断試験から求めた  $\mu$  や  $C$  の値は  $W$  に対応しない場合が多いが、箱傾斜角からの  $\tan\phi$  とは良い関連性が認められた。ガラス球以外は回転を与えないで流出できないが、ある  $N$  以上では  $W$  の増加はみられない。なお流出効果に重要な接続部のゴム円筒は一般性に乏しいとの批判もあるが、理論的にはともかく一考に値する操作法と思う。勿論定量性を一層高めるよう工夫する余地が残っている。

終りに臨み、本実験の測定を行った河合利明、藤井志郎両君に深く感謝の意を表します。

#### 使 用 記 号

$C$	凝集力	[dyne/cm <sup>2</sup> ]
$D_B$	流出口径	[cm]

$D_P$	粒子径	[ $\mu$ ]
$D_T$	ガラス円筒径	[cm]
$F$	圧縮度	[—]
$g$	重力の加速度	[cm/sec <sup>2</sup> ]
$L$	接続ゴム円筒長さ	[cm]
$N$	回転数	[r.p.m.]
$P$	充填度	[—]
$S$	比表面積	[cm <sup>2</sup> /g]
$V_c$	最密充填容積	[cm <sup>3</sup> ]
$V_0$	最粗充填容積	[cm <sup>3</sup> ]
$W$	平均流出量	[g/sec]
$W_t$	瞬間流出量	[g/sec]
$w$	含水率	[%]
$\Delta P$	圧力差	[mmAq]
$\epsilon$	空間率	[—]
$\mu$	内部摩擦係数	[—]
$\sigma$	垂直応力	[dyne/cm <sup>2</sup> ]
$\tau$	剪断応力	[dyne/cm <sup>2</sup> ]
$\rho$	密度	[g/cm <sup>3</sup> ]
$\rho_a$	かさ密度	[g/cm <sup>3</sup> ]
$\rho_c$	最密充填密度	[g/cm <sup>3</sup> ]
$\rho_0$	最粗充填密度	[g/cm <sup>3</sup> ]
$\theta$	内部摩擦角	[°]
$\phi$	安息角	[°]

#### 参 考 文 献

- 1) 荒川正文: 粉体工学研究会誌 臨時号 14 (1966)
- 2) 林尚孝: 材料 20, 753 (1971)
- 3) 林平三郎, 見奈美秀藏: 薬学雑誌 84, 229 (1963)
- 4) 五十嵐平太郎: 粉体工学, 3, 38 (1966)
- 5) 川合清一: 粉体工学 2, 877 (1965)
- 6) 増田, 増田, 井伊谷: 粉体工学研究会誌 7, 479 (1970)
- 7) 最上武雄: 土木学会誌 27, 745 (1941)
- 8) 中島栄一: 高峰研究年報 8, 97 (1956)
- 9) 岡田寿太郎, 安部孝子: 薬学雑誌 83, 39 (1963)
- 10) Shotton E. & Harb N.: J. Pharm. Pharmacol., 18, 175 (1966)
- 11) 田中達夫, 川合清一: 化学工学 20, 144 (1956)
- 12) 種谷真一, 曽根敏麿: 応用物理 31, 483 (1962)
- 13) 種谷, 佐藤, 青木: 粉体工学研究会誌 11, 199 (1974)
- 14) 山田清臣: 土と基礎 13, 89 (1965)
- 15) 横山藤平, 豊立勝二: 材料 18, 515 (1969)

<特集> 粉粒体の物性とその測定

## 吊り下げ式付着力測定器の試作と測定\*

On the Development and Measurement of a New Type  
Tensile Strength Tester

### —測定条件と試料の充填状態について—

彼谷 憲美\*\* 藤井 謙治\*\* 横山 藤平\*\*  
Noriyoshi Kaya Kenji Fujii Tohei Yokoyama

#### Abstract

A new apparatus, the split cell type tensile strength meter adapted the hanging strips instead of the steel balls was developed to evaluate the adhesion force of the powder bed with enough accuracy without requiring delicate and time-consuming operations. For a standardization of the measurement methods which gave the reproducible and steady results, the adhesion force data obtained by this tester were compared with results from other authors and effects of measuring conditions, such as cell depths, filling procedures in the cell and compression times were examined. It was found that the measured values on the tensile strength of packed bed of  $\text{CaCO}_3$  was of the same order as those from other authors and the apparatus was available for practical applications.

The effect of the cell depth on the void of the powder bed was large and the smaller depth of the cell resulted in smaller void. The compression time also affected the void in the smaller depth of the cell.

The comparison of two different filling methods, one was the charging by a spatula into the cell and the other was the filling through the sieve dispersingly was made on the cohesive fine powder  $\text{TiO}_2$  and we obtained lower values of adhesion and void in the case of the sieve fillings.

#### 著者摘要

粉体層の付着性を測定するための、実用的で簡単な、しかも充分な精度をもつ付着力測定器を開発するためにボルト転動を吊下げ式に改良した二分割セル付着力測定器を試作した。

また、この測定器による再現性のある。バラツキの少ない測定値を得るために測定方法を標準化する目的で、従来の測定法の結果と比較し、セル深さ、セルへの投入方法、圧密時間などの測定条件の影響について検討した。

炭酸カルシウムでの測定結果を比較すると、従来の測定値とほぼ同じ値を示し、充分実用可能なことが認められた。またセル深さは空隙率に影響し、セル深さが小さいと空隙率はより小さな値を示すことが判った。さらに圧密時間も、セル深さが小さいときに空隙率に影響する。

セルへの投入方法に関して、スパチュラで投入する場合とフルイを通して分散させて投入する場合について、凝集性の酸化チタン微粉で比較すると、フルイ充填の場合に付着力、空隙率が低くなった。

#### 1. はじめに

粉体プロセスを取扱った際して、最も問題となるものに、流動性、付着性などの粉体の物性がある。最近、この物性をテーマとした各種の討論会やシンポジウムなども催され、多くの人の関心が向けられているものの、実

\* 昭和52年5月11日、化学工学協会第37回研究会、6月1日、粉体工学研究会春期例会、10月6日、化学工学会第11回秋期大会にて講演

\*\* (株)細川粉体工学研究所

(〒573枚方市招提田近1-9) Tel (0720) 57-3721

際に物性を測定するとなると、測定方法、あるいは装置上、むずかしい問題も多い。

筆者らは物性の中でも特に付着性に着目し、工学的な物性測定法として充分に利用でき、また、操作が簡単で実用的に使用できる測定器を開発するため、二分割セルによる粉体層引張強度付着力測定器を改良した装置を試作し、その測定値を従来の結果と比較し更に測定方法を標準化するために、測定条件を変えて試料のセル内充填状態と関連させて検討した。

## 2. 測定装置および測定方法

試作した吊下げ式付着力測定器をFig. 1, 2に示す。

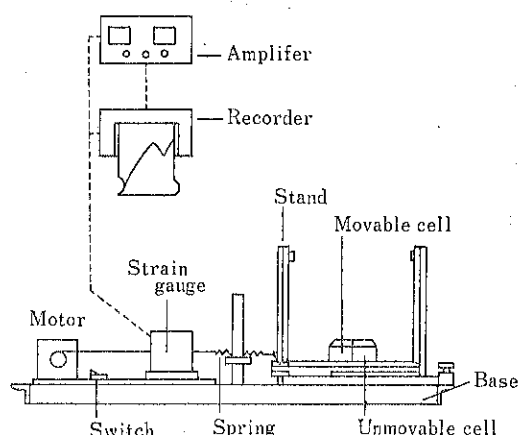


Fig. 1 Schematic figure of apparatus

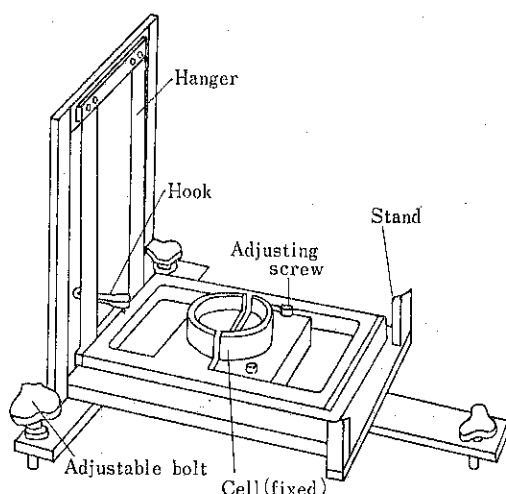


Fig. 2 Details of cell and stand

セルは内径50φ、深さ20 mmで底面にサンドペーパーを貼りつけ、粉体層が滑べないようにしてある。セルの可動部側は支持枠から長さ200 mm、幅30 mm、厚さ

0.2 mm の燐青銅帯板（左右それぞれ2枚、計4枚）で吊下げ、スプリング、ストレインゲージを介してモーターで引張る、一方、固定部側は支持台上で固定されている。なおセルには試料粉体の層高を変えられるように厚さ5および10 mmの底板をとりつけることができる。引張速度はモーターにつけた滑車を変えて調節できるが、今回の測定では1.5 (mm/sec) に一定とした。

従来の2分割セルでは可動セルをボール上に載せて、ころがす、移動機構になっているのに対し、本測定器ではハンガーによる吊下げ構造となっているので転動面での粉体付着がなく、ころがり摩擦の影響を受けない利点がある。

試料は予め、乾燥器で十分に乾燥し、デシケーター中で放冷したものを用いた。測定に際して、固定、可動の両セル先端が接触し、支持枠が水平となるよう調節する。試料のセルへの充填方法は、粉体の圧縮性が異り、充填圧密中に層高が変化するので、事前に予備テストで投入量を決めておく。試料の充填圧密は、接合した固定、可動セルに充填筒を装着し、充填筒内に試料を投入する。さらに圧密用重錘を充填筒に差し込み、定時間圧密する。その後、重錘、充填筒をはずし、セル上面の試料を削り取る。この余剰分の粉体重量からセル充填量を求める。

この付着力測定器ではハンガーのバネ作用が測定値に影響することも考えられるので、試料を充填しないブランクテストで、その影響を調べた。Fig. 3にブランクテストによる可動セル変位—引張力結果を示す。変位は拡

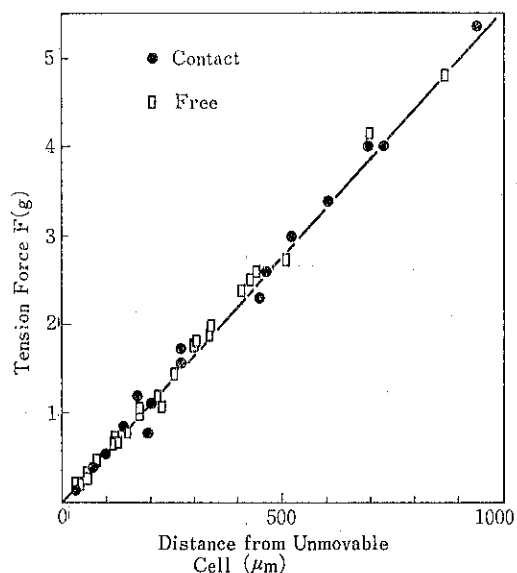


Fig. 3 Tension force of movable cell  
vs. distance from unmovable cell

大投影器により測定した。これより可動セルが固定セルと接触した状態を基点とした変位でも、また可動セルが垂直静止した状態からの変位でも、引張力は原点を通る同一直線で示され、実用上、ハンガーのバネ作用は無視でき、引張力はセルおよび支持枠重量に関係していると考えられる。

### 3. 測定値の整理

測定結果の例をFig. 4に示す。モーターを駆動し、引張力を加えてゆくと、時間と共に引張力が増加し、ある

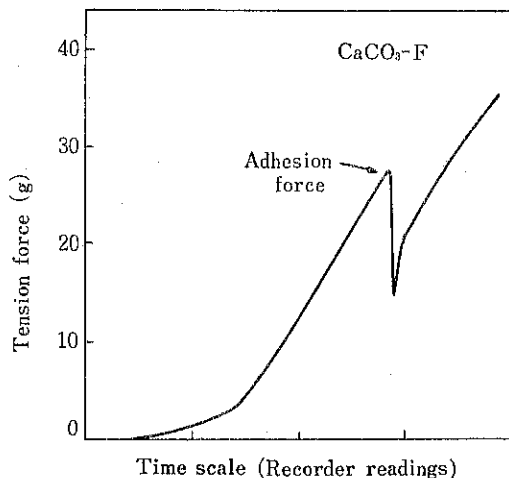


Fig. 4 Typical pattern of adhesion measurement

ピーク値に達すると試料粉体層が破断し、セルが分割する。その時点で急激に引張力は低下するが、引き続き引張力を加えると、可動セルとその試料重量が引張力として検出され、再び応力は増加する。付着力の測定では、このピーク値をセル断面で割った値を粉体層破断強度 $\sigma_z$  ( $\text{g}/\text{cm}^2$ ) とし、これより次の Rumpf の式から付着力 $H(\text{g})$ を求めた。

$$\sigma_z = \frac{9}{8} (1 - \varepsilon) k \frac{H}{\pi D_p^2} \quad (1)$$

ここで $\sigma_z$  : 粉体層破断強度 ( $\text{g}/\text{cm}^2$ )  $\varepsilon$  : 空隙率 (-)  $k$  : 見掛け配位数 (-)  $H$  : 粉体層 1 接触点あたりの付着力 ( $\text{g}$ )、 $D_p$  : 平均径 ( $\text{cm}$ ) である。

また配位数 $k$ については、Ridgwayらが従来の実験結果を広範囲に渡り整理して提案した関係式(2)より、空隙率 $\varepsilon$ から配位数 $k$ を計算した。

$$\varepsilon = 1.072 - 0.1193k + 0.00431k^2 \quad (2)$$

### 4. 測定法の比較

試作した吊下げ式付着力測定器による測定が従来のボ

ール転動式測定器による測定値と相異するかどうか検討する必要がある。過去に測定された同一試料入手することは困難なので、比較的実験結果の多い炭酸カルシウムを試料として平均粒径を変えて測定した。Fig. 5にその測定比較を示す。

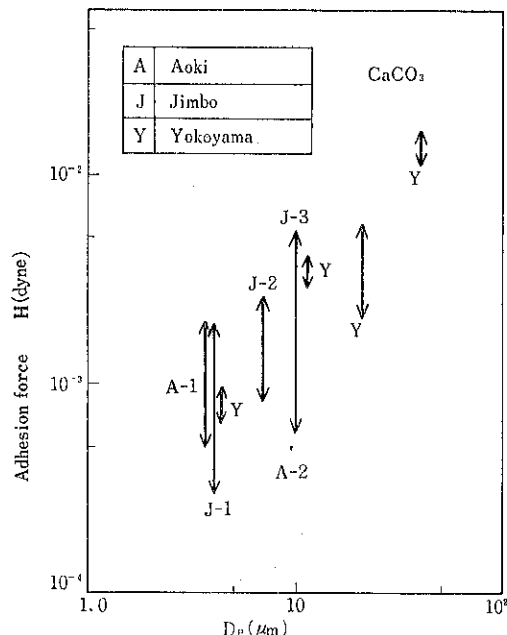


Fig. 5 Comparison of adhesion measurements

ここで記号 A は青木らの、 J は神保らの測定結果であり、 Y は本装置による測定値である。試料の粒度、水分、空隙率など測定条件の違いを考慮すれば、付着力と平均粒径は、粒子径が大きくなると付着力も増大し、ほぼ同じ傾向を示している。したがって、吊下げ式付着力測定器による測定値とボール転動式二分割セルの付着力測定とは、測定値そのものについては大差ない値を示すものと考えられる。

### 5. 測定方法

付着力の測定では同一試料でも、測定値にバラツキが多く、測定条件が異なれば更にバラツキの範囲が広がってくる。これを極力小さくし、再現性のある測定値を得るためにには、装置上、あるいは測定方法などを規格標準化することが望ましい。特に上から試料を充填し、水平方向に引張る二分割セル法では垂直方向に粉体圧が変化するため、セル深さ（粉体層高さ）、投入方法、圧密時間などの相異が付着力測定に影響するものと考えられる。

そこで今回、測定方法を標準化する以前に、測定方法の相異がどのように影響するかを、セル深さ(粉体層高さ)、投入方法、圧密時間について検討した。

### 5.1 セル深さの影響

セルに、厚さの異なる底板をとりつけて、セルの深さを変えて測定した。この場合、圧密時間は10分間で一定とし、圧密荷重を200(g)から1(kg)まで4種類の重錠を使用した。測定結果をFig. 6に示す。粉体層高が大きくなる程、空隙率の変化は減少し、層高が小さくなると圧縮力の影響が大きくなっている。これは層高が大きくなると圧縮力はセル上部の粉体層で保持され、底部へ応力が伝わらないため、空隙率は全体としては小さくならないものと考えられる。

Fig. 7はセル深さをパラメーターに空隙率 $\varepsilon$ に対して付着力Hを示したもので、セル深さが5mmのときは空隙率が変わっても付着力は影響されていない。一方、15~20mmでは空隙率が増加すると付着力は減少し、空隙率の影響が認められる。

### 5.2 投入方法の相異

凝集性の強い微粉を試料とする場合、試料中の水分が少なくとも、大きな塊となっている場合もある。このような場合、試料をセルに充填するだけでも、投入方法によって空隙率が変化することが予想される。一度に試料を投入する場合と、細かく数回に分けて投入する場合とではセル内での充填状態は異なるであろう。

Fig. 8は、凝集性の著しい酸化チタン粉末を、そのま

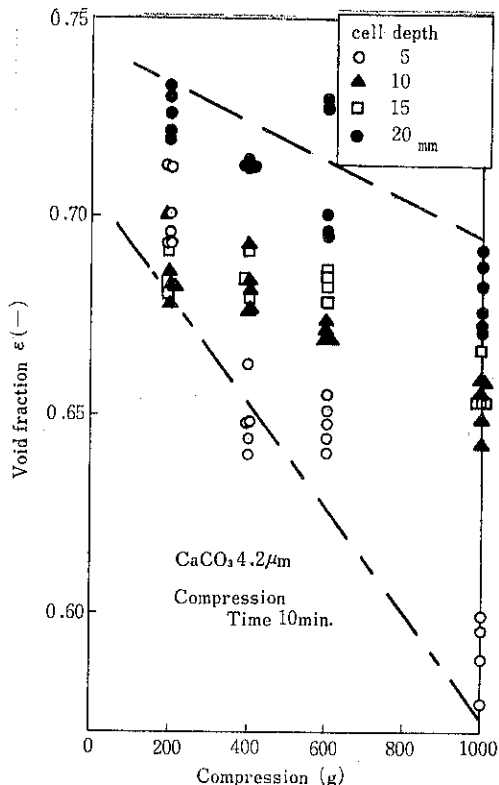


Fig. 6 Relationships between void fraction and compression

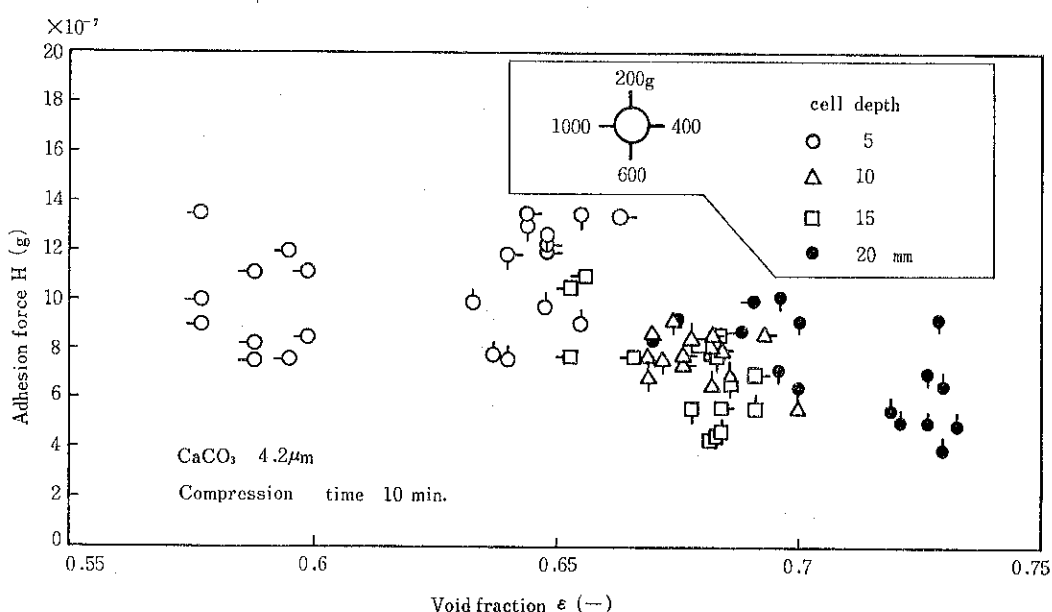


Fig. 7 Relationships between adhesion force and void fraction

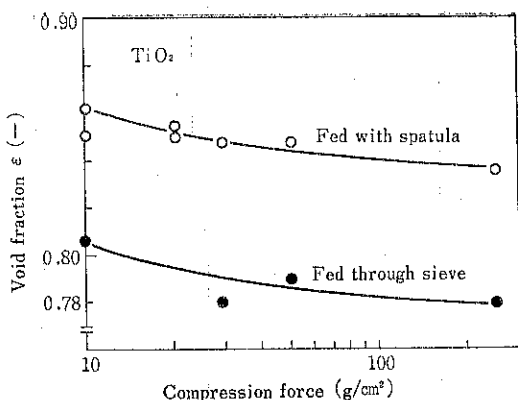


Fig. 8 Effects of feeding methods of powder on void fraction

まスパチュラでセルに投入した場合と、24メッシュの篩を通して均一分散させてセルに充填した場合の圧縮力と空隙率の関係を調べたものである。明らかに篩を通した場合、空隙率が小さく密充填されていることが判る。また、この篩処理の有無を空隙率と付着力の関係で示すとFig. 9のとおりになる。篩処理の測定点が少ないが、スパチュラでそのまま投入した未処理の場合が、多少、付着力の値が大きいようである。なお、ここで白丸と白三角記号は測定者が異っており、各測定点は同一条件5回測定の平均値である。

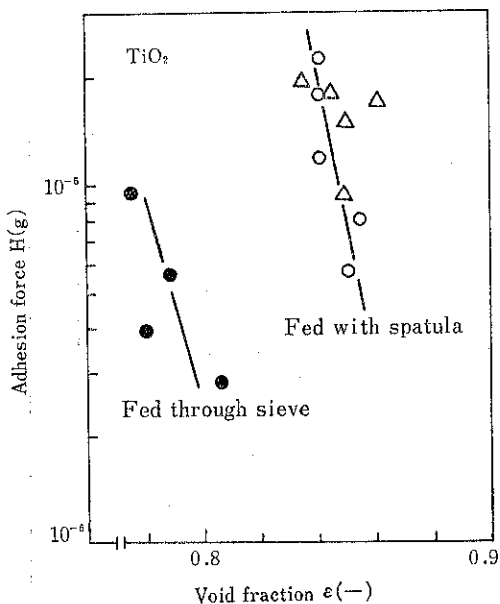


Fig. 9 Comparison of adhesion force

このような傾向は、単に酸化チタン粉末だけに限らず関東ローム微粉（JIS 11種）にも認められ、圧縮力と

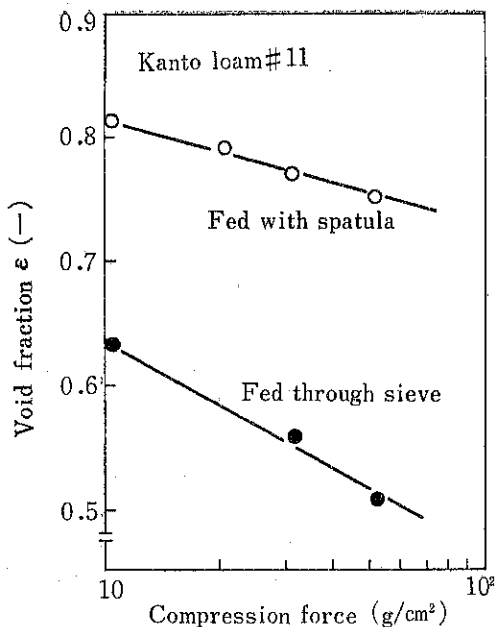


Fig. 10 Effects of preparation on void fraction

空隙率の関係を Fig. 10 に示す。

凝集性の強い試料では、スパチュラでセルに直接投入すると、塊状で投入されるため、その塊と塊の間の空隙が圧密時間中も保持され、セル全体としては空隙率は見掛け上、大きな値となるのに対し、篩を通すと、そこを通過した2次粒子がセル内に均一分散し、空隙率は低い値になると考えられる。したがって篩を通さない未処理の場合、引張破断は、「塊」と「塊」の間で生じ、篩処理では2次粒子間で生じ、その値から付着力が計算されていることも考えられる。そのため、圧縮力を大きくすると、2次粒子同志が圧密され、付着力は見掛け上、「塊」付着に近づくと予想される。Fig. 11は、圧縮力と付着

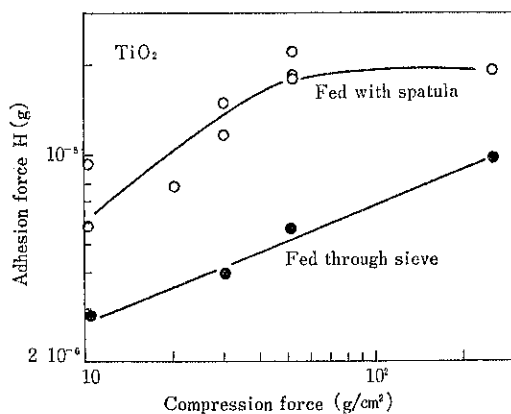


Fig. 11 Effects of compression force on adhesion force

の関係を調べたもので、圧縮力が増えると簡処理の値が未処理の値に接近している。

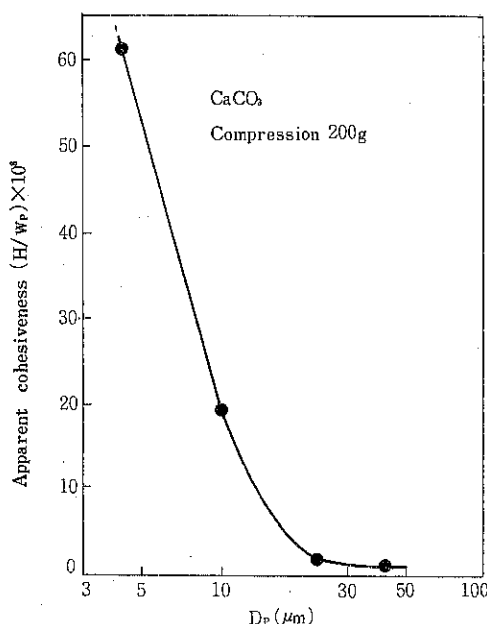


Fig. 12 Relationship between particle size and apparent cohesiveness

このことは凝集性の粉体では、セルへの投入方法によっても測定値が変動し、また一般の粉体でも、粒子径が小さくなると自重 $W_p$ に対する相対的な1接触点あたりの付着力( $H/W_p$ )が増大するため、微粉になるほど凝集性が増え、測定値に影響すると考えられる(Fig. 12)

### 5.3 圧密時間の影響

セル内の試料充填状態に関係する測定条件として、セル深さ、投入方法など以外に圧縮力を加える圧密時間も填充状態に関与し、付着力に影響を及ぼすと考えられる。そこで、空隙率変化の大きいセル深さ5mmと影響の比較的小さい20mmの2条件で圧密時間による変化を調べた。Fig.13は圧縮力を一定とし、セル深さをパラメーターに空隙率変化をプロットしたものです、圧密時間が8~10分間程度で一定値に達している。この場合もセル深さ5mmの測定値が空隙率変化は大きくなっている。

空隙率の圧密時間による影響は認められるものの、付着力についてはセル深さが5、20mmでも圧密時間の影響は明らかではない。(Fig. 14, 15) このように圧密時間により空隙率は変化するが、付着力が変化しない現象は、今回用いた試料の特有の性質かどうか、試料を変えて検討する必要がある。しかしほれ内の試料充填状態から考えると、今回の試料については10分間程度の圧密時

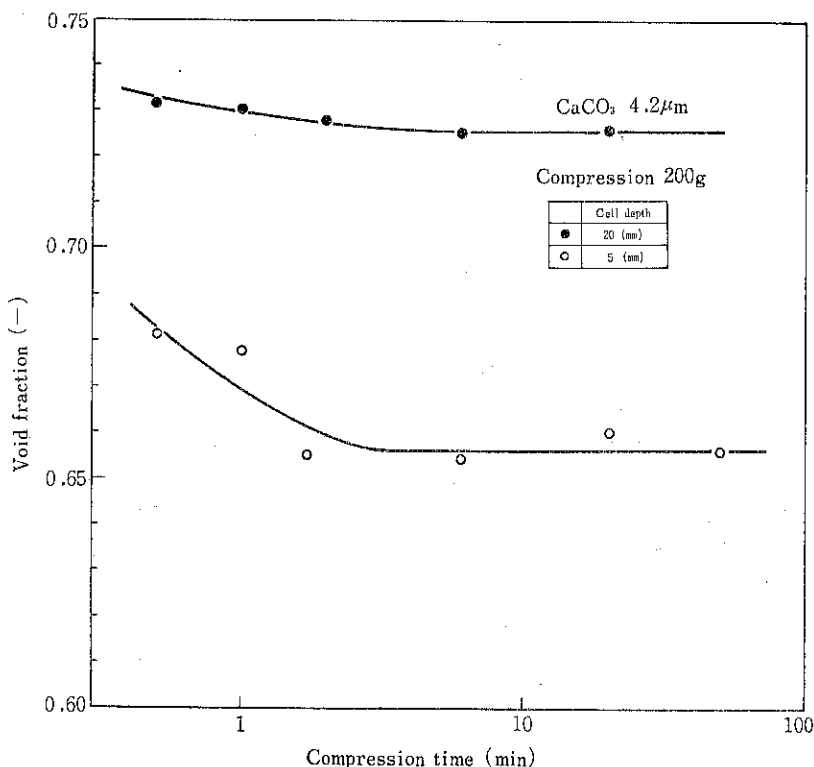


Fig. 13 Effects of compression time on void fraction

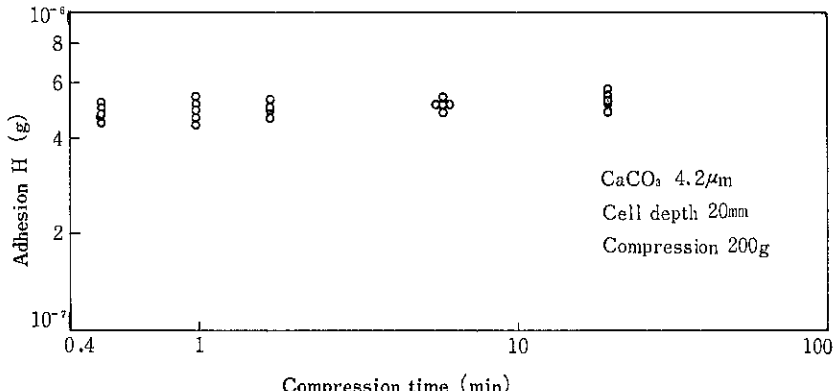


Fig.14 Effect of compression time on adhesion

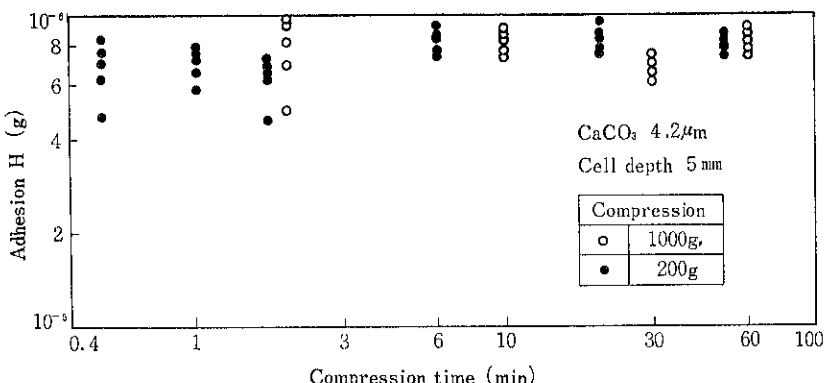


Fig.15 Effect of compression time on adhesion

間が必要であると思われる。

## 6. おわりに

粉体の付着性は粉体を取扱う工業的操縦にとって、重要な特性であり、その値を測定することは意義のあることと考えられる。しかし実際に測定するには、測定値のバラツキ、測定条件の相異などにより信頼できる測定値を得ることは容易ではない。ここでは工学的に十分信頼でき、また手軽に測定できる測定器を開発するため、試作した吊下げ式付着力測定器を用いて、測定条件により測定値がどのように変化するか、特にセル内の試料充填状態と関連して検討した。

測定の結果、圧縮荷重が 200~1000 g (圧密応力、約 10~50 g/cm<sup>2</sup>) の比較的小さい範囲では、均一な圧密が困難であり、セル深さ、即ち粉体層高さ方向で充填状態が異なっていると考えられる。そのためセル深さにより圧縮力に対する空隙率が異なり、圧密時間の影響も変化

している。

また凝集性の強い粉体では、セル深さが 20 mm と大きい場合、試料の投入方法によっても充填状態が相異している。セル深さが小さい場合の試料投入方法の影響は検討されていないが、圧縮荷重が小さい場合、セル深さの影響は大きく、セル寸法の決定には十分注意する必要があると思われる。また試作した吊下げ式付着力測定器では、試料粉体を脆(ぜい)性材と考え、粉体層の破断とともに引張変位が生じると仮定している。しかし凝集性の強い粉体や、水分を多く含む粘着性材料では、粉体層が伸びた点で破断し、Fig.3 に示す変位による力が無視

できなくなる。そのため、この種の材料では変位と破断力の両方を測定し、変位による力を補正しなければならないであろう。

今後、この引張変位の検討も含めて実験を重ね、再現性のある装置構造および測定条件を見い出し、その標準化に努めたい。

## 参考文献

- 1) 彼谷憲美、藤井謙治、横山藤平：化学工学協会第11回秋期大会講演要旨集, p.50, (1977)
- 2) 彼谷憲美、横山藤平：粉体工学研究会春期例会講演要旨集, p. 94, (1977)
- 3) 横山藤平、朝倉進太郎、彼谷憲美：化学工学協会第37回研究講話会講演要旨集, p.50, (1977)
- 4) 神保元二、浅川貞雄、曾我尚人：材料, 17, [177] 540 (1968)
- 5) 青木隆一、綱川浩：材料, 18, [186], 47 (1969)

# 研究報告

## 粉体の低濃度垂直空気輸送の加速領域の流れ

Flow in The Acceleration Region of Dilute Phase Pneumatic Transport of Powdery Materials in Vertical Pipe.

富田侑嗣\* 上滝具貞\* 湯谷正司\*  
Yuji Tomita, Tomosada Jōtaki, Shouji Yutani

### Abstract

The acceleration pressure drop and the acceleration length in vertical pipe flow of pneumatically transported powdery materials are examined theoretically. A theory, based on one-dimensional solids flow model, assumes that the solids are fed into a fully established air flow with zero initial solids velocity. The acceleration pressure drop depends on solids/air ratio, air velocity, solids pipe friction factor and free falling velocity of solid particles. The acceleration length also depends on the same variables except solids/air ratio. The acceleration pressure drop becomes large with decreasing solids pipe friction factor, since the acceleration length becomes longer with decreasing solids friction factor.

### 著者摘要

粉体の低濃度垂直空気輸送における加速領域について理論的に調べた。気流は非圧縮性とし、一次元の運動方程式に基づいて、十分発達した流れに対して、加速区間で余分に必要な付加加速圧力損失と管に沿う圧力こう配が一定になるまでの加速領域の長さを明らかにした。その結果、粉体の管摩擦係数が小さいものほど加速領域は長く、したがって付加加速圧損も大きくなることが示された。

### 1. まえがき

垂直空気輸送装置の計画において配管系の圧力損失特性は重要な問題である。これまでかなりの研究がなされてきているが、粒径の小さな粉体に関するものは比較的少ない。特にいわゆる加速領域の特性については十分に調べられていないというのが現状のようである。

ここでは混入器にエアリフトを使用するような場合の低濃度輸送における垂直管内の加速領域の圧力損失やその長さについて理論的に述べる。

### 2. 理論

#### 2.1 運動方程式

エアリフトを混入器とする場合輸送始端の圧力は、エ

アリフトタンク内の粉体の自重による圧力水頭と等しいので、一般に低く、したがって管内圧力も大気圧よりわずかに大きい程度である。そこで空気の流れは非圧縮性と考えてもよい、このとき垂直管における粉体の一次元定常流の運動方程式は次のようになる。

$$\left( \frac{1}{g} \frac{G_s}{A u_s} \right) u_s \frac{du_s}{dl} = n C_D \frac{\pi d^2}{4} \frac{\gamma_a (u_a - u_s)^2}{2g} - \lambda_m \frac{1}{D} \frac{\gamma_m u_s^2}{2g} - \frac{G_s}{A u_s} \quad (1)$$

ここで、 $G_s$  : 粉体の重量流量、 $u_s$  : 粉体の速度、 $u_a$  : 空気の速度、 $\gamma_m$  : 粉体の輸送比重量、 $\gamma_a$  : 空気の比重、 $C_D$  : 粉体粒子の空気抵抗係数、 $\lambda_m$  : 粉体の管摩擦係数、 $d$  : 粉体粒子の直径、 $D$  : 管径、 $A$  : 管横断面積、 $n$  : 粉体の個数濃度、 $g$  : 重力加速度、 $l$  : 垂直上向き座標、 $C_D$  はレイノルズ数  $R_e = (u_a - u_s)d/\nu$  の関数であるが、粉体の流れはストークス則で与えられる範囲内にあると仮定する。ただし、 $\nu$  : 空気の動粘性係数。

\* 九州工業大学機械工学科

(〒804 北九州市戸畠区仙水町1の1)

Tel (093) 871-1931

すなわち、

$$C_D = \frac{24\nu}{(u_a - u_s)d} \quad (2)$$

更に粉体粒子の浮遊終末沈降速度  $u_{mg}$  もストークス則で算出できるものとする。よって、

$$u_{mg} = \frac{1}{18} \frac{\gamma_s d^2}{\gamma_a \nu} g \quad (3)$$

ここで、 $\gamma_s$ ：粉体の真比重。式(2), (3)を使って式(1)を変形すれば次式を得る<sup>1)</sup>。

$$\frac{d\varphi}{dF_m} = \frac{1}{\varphi} \{-\zeta_D \varphi^2 - \phi_m \varphi + \phi_m (1 - \phi_m)\} \quad (4)$$

ここで、

$$\varphi = \frac{u_s}{u_a}, \quad F_m = \frac{\gamma_s l}{u_{mg}^2}, \quad \phi_m = \frac{u_{mg}}{u_a}, \quad \zeta_D = \frac{\lambda_m u_{mg}^2}{2gD} \quad (5)$$

前述のように空気の流れは非圧縮性としているので、定常流では空気流量が一定であり管内空気速度  $u_a$  も一定である。 $\lambda_m$  は一般には  $u_s$  または  $u_a$  の関数であるが、 $u_a$  の関数とみなす方が種々の点で好都合である。このとき式(4)は  $u_a, u_{mg}, \lambda_m$  をパラメータとする  $u_s$  の  $l$  に関する微分方程式となる。したがって、十分発達した流れでは  $\varphi$  の変化はないので、式(4)で  $d\varphi/dl = 0$  とおくことにより、最終速度比  $\varphi_x$  は  $\varphi_x \leq 1$  を考慮して次式で与えられる。

$$\varphi_x = \frac{-\phi_m + \sqrt{\phi_m^2 + 4\zeta_D \phi_m (1 - \phi_m)}}{2\zeta_D} \quad (6)$$

ここで、粉体の輸送量  $G_s$  は

$$G_s = A \gamma_m u_s = A \left( \frac{\pi}{6} d^3 n \gamma_s \right) u_s \quad (7)$$

で与えられる。定常流では  $G_s$  は一定なので、 $\gamma_m u_s$  は一定である。したがって  $l = 0$  で  $u_s = 0$  とすれば  $\gamma_m$  は無限大となり、 $l = 0$  は特異点となるので連続の式は使えない。これは点  $l = 0$  を粉体の湧出し点とみなしていることによる。

## 2.2 加速域の圧力損失

入口から高さ  $l$  までの全圧力損失を  $\Delta p_T$  とし、このうち空気流の管壁との摩擦損失を  $\Delta p_a$ 、粉体による圧力損失を  $\Delta p_s$  とすると

$$\Delta p_T = \Delta p_a + \Delta p_s \quad (8)$$

とおける。空気流は簡単のため  $l = 0$  で十分発達しているとし加速域の損失を無視すれば、 $\Delta p_a$  は次式で算出できる。

$$\Delta p_a = \lambda_a \frac{l}{D} \frac{\gamma_a u_a^2}{2g} \quad (9)$$

ここで、 $\lambda_a$ ：空気の管摩擦係数。式(1)を次のように書きかえる。

$$n C_D \frac{\pi d^2}{4} \frac{\gamma_a (u_a - u_s)^2}{2g} = \left( \frac{1}{g} \frac{G_s}{A u_s} \right) u_s \frac{du_s}{dl} + \lambda_m \frac{1}{D} \frac{\gamma_m u_s^2}{2g} + \frac{G_s}{A u_s} \quad (10)$$

このとき、 $\Delta p_s$  は上式を  $l$  について 0 から  $l$  まで積分したものである。上式を  $l = 0$  で  $u_s = 0$  の下で積分するとき式を得る。

$$\Delta p_s = \frac{G_s}{A g} \left( \int_0^{u_s} du_s + \int_0^l \lambda_m u_s dl + g \int_0^l \frac{dl}{u_s} \right) \quad (11)$$

上式の右辺第一項は粉体の加速による圧力損失、第二項は粉体の管壁等による摩擦圧力損失、第三項は粉体の上昇のための圧力降下である。式(4), (5)において式(11)を変形すれば次式を得る。

$$\begin{aligned} \Delta p_s = & \frac{m \gamma_a u_a^2}{g} \left\{ \int_0^{\varphi} d\varphi \right. \\ & + \int_0^{\varphi} \frac{\zeta_D \varphi^2 d\varphi}{-\zeta_D \varphi^2 - \phi_m \varphi + \phi_m (1 - \phi_m)} \\ & \left. + \int_0^{\varphi} \frac{\phi_m^2 d\varphi}{-\zeta_D \varphi^2 - \phi_m \varphi + \phi_m (1 - \phi_m)} \right\} \end{aligned} \quad (12)$$

ここで  $m$  は  $G_s / A r_a u_a$  で与えられる混合比である。前述のように  $\lambda_m$  が  $u_a$  の関数であれば  $\zeta_D$  は定数となるので積分の外に出すことができる。このとき式(12)は次のようになる。

$$\begin{aligned} \Delta p_s = & \frac{m \gamma_a u_a^2}{g} \left[ \frac{\phi_m \ln |-\zeta_D \varphi^2 - \phi_m \varphi + \phi_m (1 - \phi_m)|}{2\zeta_D} \right. \\ & \left. - \frac{\phi_m (\phi_m + 2\zeta_D)}{2\zeta_D \sqrt{\phi_m^2 + 4\zeta_D \phi_m (1 - \phi_m)}} \times \ln \right. \\ & \left. \frac{(\phi_m + \sqrt{\phi_m^2 + 4\zeta_D \phi_m (1 - \phi_m)}) \varphi - 2\phi_m (1 - \phi_m)}{(\phi_m - \sqrt{\phi_m^2 + 4\zeta_D \phi_m (1 - \phi_m)}) \varphi - 2\phi_m (1 - \phi_m)} \right] \end{aligned} \quad (13)$$

このようにして、 $\lambda_m, u_{mg}, u_a$  および  $m$  が与えられれば、加速域の圧力損失が求まることがある。

## 2.3 付加加速圧損

等速区間では速度比  $\varphi$  は  $\varphi_x = 1$  となるので式(12)の右辺第一項の加速圧力損失はない。すなわち等速区間内の長さ  $H$  当りの付加圧力損失  $\Delta p_{sF}$  は次式で与えられる。

$$\begin{aligned} \Delta p_{sF} = & \lambda_m \frac{H}{D} \frac{\gamma_m u_s^2}{2g} + \gamma_m H \\ = & \frac{m \gamma_a u_a^2}{g} \left( \zeta_D \varphi_x + \frac{\phi_m^2}{\varphi_x} \right) \end{aligned} \quad (14)$$

空気の流れについては加速域の圧力損失は無視しているので、その場合加速域のため余分に必要な圧力損失すなわち付加加速圧損  $\Delta p_{sac}$  は次式で与えられる。

$$\begin{aligned} \Delta p_{sac} = & \lim_{\varphi \rightarrow \varphi_x} (\Delta p_s - \Delta p_{sF}) \\ = & \frac{m \gamma_a u_a^2}{g} \cdot \frac{2\phi_m}{\sqrt{\phi_m^2 + 4\zeta_D \phi_m (1 - \phi_m)} - \phi_m} \\ & \ln \frac{\{\phi_m^2 + 4\zeta_D \phi_m (1 - \phi_m)\} - \phi_m \sqrt{\phi_m^2 + 4\zeta_D \phi_m (1 - \phi_m)}}{2\zeta_D \phi_m (1 - \phi_m)} \end{aligned} \quad (15)$$

なお空気流の加速域の圧力損失は粉体の場合と異なって速度分布が入口、 $l = 0$ 、での分布から十分発達した流れの分布になるまでの過程に起因するものである。また、上述の計算は $l = 0$ からの輸送管内における損失であって、タンクから輸送管へ入る際の入口損失とは別のものである。更に配管系の圧力損失の計算では管出口でいわゆる速度水頭  $r_a u_a^2 / 2g$  や  $r_m u_s^2 / 2g$  が損失として考慮されるが、これらも加速圧損とは別のものである。たとえば、式(12)における粉体粒子の加速のみに使用される圧力降下は  $r_m u_s^2 / g$  であって、粉体の速度水頭とは異なる。

## 2.4 加速域の長さ

ここで、加速域とは速度や圧力こう配が管下流の十分発達した領域でのそれぞれの値になるまでの領域を意味している。理論的にこれらは無限大の距離を必要とする。しかし実際にはある一定の距離をへて発達した領域となる。したがってこのような現実的な状況に対応させるために、最終的な値のある比率までになる距離として加速域を算出してみよう。この比率をここでは99%と選ぶが、このときその長さは厳密にいえば、速度比 $\varphi$ や圧力損失で異なる<sup>2)</sup>。ここでは実用的に重要な圧力損失に対する加速域の長さ  $l_0$  を求めてみる。

$$\Delta p_s(l_0) - \Delta p_{sf}(l_0) = 0.99 \Delta p_{sac} \quad (16)$$

式(13), (14), (15)を式(16)に代入すると次式を得る。

ln

$$\begin{aligned} & \left\{ \phi_m - \sqrt{\phi_m^2 + 4\zeta_D \phi_m (1-\phi_m)} \right\} \varphi(F_{mo}) - 2\phi_m (1-\phi_m) \\ & = 0.99 \times \\ & - \left\{ \phi_m^2 + 4\zeta_D \phi_m (1-\phi_m) \right\} + \phi_m \sqrt{\phi_m^2 + 4\zeta_D \phi_m (1-\phi_m)} \end{aligned} \quad (17)$$

ここでは  $\varphi(F_{mo})$  は  $F_{mo} = gl_0/u_{mg}^2$  での  $\varphi$  を意味する。

## 2.5 粉体の管摩擦係数

上述の諸量を算出して具体的な値を求めるには粉体の管摩擦係数  $\lambda_m$  が必要となる。この求め方について述べてみる。等速区間の長さ H 当りの全圧力損失  $\Delta p_F$  は式(9), (14)より次のようになる。

$$\begin{aligned} \Delta p_F &= \Delta p_a + \Delta p_{sf} \\ &= \lambda_a \frac{H}{D} \frac{r_a u_a^2}{2g} + m \varphi_x \lambda_m \frac{H}{D} \frac{r_a u_a^2}{2g} + \frac{r_a m}{\varphi_x} H \end{aligned} \quad (18)$$

$\Delta p_a$  は管内を空気のみが  $u_a$  の速度で流れたときの圧損として算出するとすれば、 $\lambda_m$  を求めるには  $m$  等の他に  $\Delta p_F$  と  $\varphi_x$  を必要とする。 $\varphi_x$  は測定より求めるのが一番確実であるが、一般に難しい。以下計算によって求め

る方法を紹介する。等速区間では  $du_s/dl = 0$  であるので、式(10)より次式を得る。

$$n D_p \frac{\pi d^2}{4} \frac{r_a (u_a - u_s)^2}{2g} = \lambda_m \frac{1}{D} \frac{r_m u_s^2}{2g} + \frac{G_s}{A u_s} \quad (19)$$

これは等速区間の単位長さ当りの圧力損失  $\Delta p_{sf}/H$  に等しい。ここで  $\Delta p_{sf}$  を次式で定義される付加圧損係数  $\lambda_z$  で表わしておく。

$$\Delta p_{sf} = (\Delta p_F - \Delta p_a) = m \lambda_z \frac{H}{D} \frac{r_a u_a^2}{2g} \quad (20)$$

式(19)の左辺と、式(20)の右辺を H で割ったものを等しいと置くことにより  $\varphi_x$  が次で求まる。

$$\varphi_x = \frac{1}{1 + (\lambda_z u_a u_{mg} / 2g D)} = \frac{1}{1 + (\lambda_z F_r^2 \phi_m / 2)} \quad (21)$$

ただし  $F_r$  は  $u_a / \sqrt{g D}$  で定義される管フルード数である。

一方式(14), (20)より  $\lambda_m$  は  $\lambda_z$ ,  $\varphi_x$  と次の関係を有する。

$$\lambda_m = \frac{1}{\varphi_x} \left( \lambda_z - \frac{2}{\varphi_x F_r^2} \right) \quad (22)$$

式(22)に式(21)の  $\varphi_x$  を代入することにより  $\lambda_m$  は次式のように与えられる。

$$\lambda_m = \left( 1 + \frac{\lambda_z F_r^2}{2} \phi_m \right) \left\{ \lambda_z (1 - \phi_m) - \frac{2}{F_r^2} \right\} \quad (23)$$

従って、圧力損失  $\Delta p_F$  を測定することにより式(20)から  $\lambda_z$  が求まり、上式より  $\lambda_m$  が求まることになる。

## 3. 計 算

### 3.1 付加加速圧損

Fig. 1 は無次元付加加速圧損  $\Delta p_{sac}/(m r_a u_a^2 / g)$  を  $\phi_m$  に対して、 $\zeta_D$  が  $u_a$  の関数でない場合について  $\zeta_D$

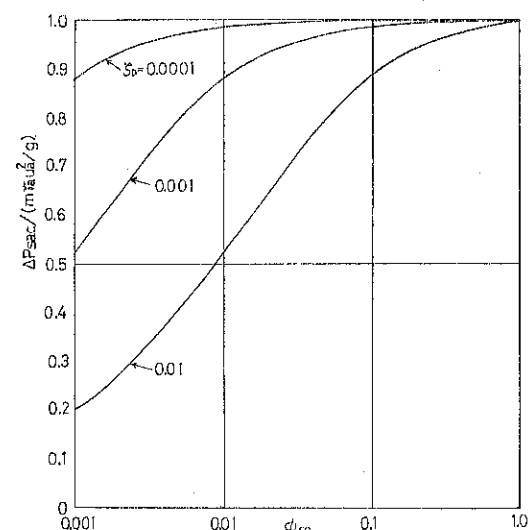


Fig. 1 Non-dimensional acceleration pressure-drop

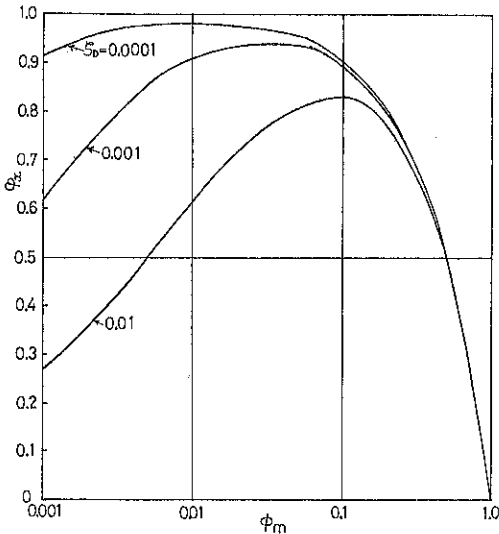


Fig. 2 Terminal velocity ratio

をパラメータとして図示したものである。 $u_a$  が大きいとき、すなわち  $\phi_m \rightarrow 0$  の場合、 $\Delta p_{sac}/(m\gamma_a u_a^2/g)$  は 0 となる。一方、 $u_a$  が  $u_{mg}$  に近づくとき、すなわち  $\phi_m \rightarrow 1$  の場合は、 $\Delta p_{sac}/(m\gamma_a u_a^2/g)$  は 1 となる。粉体の管摩擦係数が 0 の場合、すなわち  $\zeta_D = 0$  のときは  $\Delta p_{sac}/(m\gamma_a u_a^2/g)$  は 1 である。この結果から同じ風速では  $\zeta_D$  が大きいものほど、 $\Delta p_{sac}/(m\gamma_a u_a^2/g)$  は小さいということがわかる。これは  $\zeta_D$  が大きいものほど加速域の長さが短いためと考えられる。 $\zeta_D$  が  $u_a$  の関数のときは、各  $u_a$  ごとに異なる  $\zeta_D$  について計算すればよく、たとえば、 $\zeta_D$  が  $u_a$  の増加につれて減少する場合には、 $\phi_m$  の増加につれ図の  $\zeta_D$  パラメータ群を  $\zeta_D$  の小さい値の曲線から大きい値の曲線へ横切るようになることになるであろう。

粉体を初速度 0 から最終速度まで加速するのに必要な圧力損失は  $\varphi_x m\gamma_a u_a^2/g$  である。Fig. 2 はこれを  $m\gamma_a u_a^2/g$  で無次元化したもの（即ち最終速度比  $\varphi_x$ ）を  $\zeta_D$  をパラメータとして  $\phi_m$  に対して図示している。 $\phi_m$  が大きいとき、すなわち  $u_a$  が小さいときは浮遊速度が占める割合が大きいため付加加速圧損は粉体のこの真の加速圧損より大きくなっていることがわかる。

### 3.2 加速域の長さ

Fig. 3 は圧力降下に対する加速域の計算例を示す。この場合も  $\zeta_D$  が  $u_a$  の関数でない場合を示している。この図から  $\zeta_D$  が大きいものほど加速域の長さ  $l_0$  が短くなっていることがわかる。この結果からわかるように  $l_0$  は極めて短い。この  $l_0$  は粒体の場合と比べてかなり小

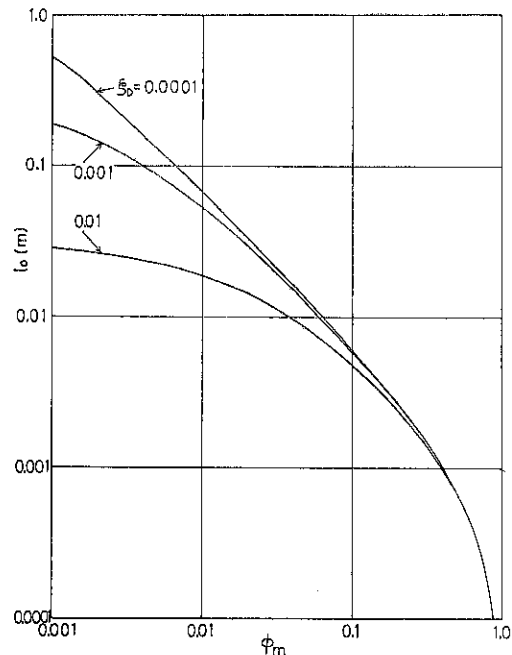


Fig. 3 Acceleration length

さくなっている<sup>2)</sup>。残念ながら本解析と比較しうる明確な実験結果を得ていないので、どの程度実際の長さを示しているかは現時点でははっきりしていない。特に粉体では  $l_0$  が必ずしも一定とならない場合もあり、本解析より長くなる。

## 4. 結 論

粉体の垂直空気輸送の低濃度低速輸送の場合について加速領域の長さと付加加速圧損を理論的に求めた。その結果は粉体の管摩擦係数が小さいものほど加速域の長さが長く、この結果付加加速圧損も大きくなるということが示された。

### 記 号

- A : 管横断面積
- $C_D$  : 粉体粒子の空気抵抗係数
- D : 管径
- d : 粉体粒子の直径
- $F_m$  : 無次元変数 ( $= gl/u_{mg}^2$ )
- $F_r$  : 管フルード数 ( $= u_a/\sqrt{gD}$ )
- $G_s$  : 粉体の重量流量
- g : 重力加速度
- l : 垂直上向き座標
- $l_0$  : 加速域の長さ

$m$  : 混合比 ( $=G_s/Ar_a u_a$ )  
 $n$  : 粉体の個数濃度  
 $\Delta P_a$  : 空気流の管壁との摩擦損失  
 $\Delta P_F$  : 等速区間の長さ H 当りの全圧力損失  
 $\Delta P_s$  : 粉体による付加圧力損失  
 $\Delta P_{sac}$  : 加速域における粉体の付加加速圧損  
 $\Delta P_{sfr}$  : 等速区間の長さ H 当りの付加圧力損失  
 $\Delta P_T$  : 入口から高さ l までの全圧力損失  
 $u_a$  : 空気の速度  
 $u_{mg}$  : 粉体粒子の浮遊（終末沈降）速度  
 $u_s$  : 粉体の速度  
 $\gamma_a$  : 空気の比重  
 $\gamma_m$  : 粉体の輸送管内比重  
 $\varphi$  : 速度比 ( $=u_s/u_a$ )

$\varphi(F_m)$  :  $F_m = g/l_0/u_{mg}^2$  での速度比  
 $\varphi_a$  : 最終速度比  
 $\lambda_a$  : 空気の管摩擦係数  
 $\lambda_m$  : 粉体の管摩擦係数  
 $\lambda_z$  : 付加圧損係数  
 $\phi_m$  : 無次元変数 ( $=u_{mg}/u_a$ )  
 $\zeta_D$  : 無次元変数 ( $=\lambda_m u_{mg}^2/2gD$ )

### 引 用 文 献

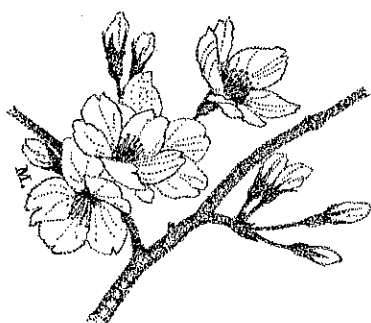
- 1) 上滝, 「粉粒体の空気輸送」(昭和49年), 日刊工業.
- 2) 富田他 2名, 日本機械学会論文集, 42, 364 (昭和51年12月), 3914.

### 特許一言メモ

### 公 開 特 許 公 報

昭和46年以降の出願は、すべて公開されるようになつたが、いまだにおかしいなあと思うこと、それは「公開特許公報」「公開実用新案公報」と公報の一番上に太くかかれていることで、まるで“公開特許”“公開実用新案”などという権利でもあるような錯覚を一般の人与

えてしまうことです。そこで提案をひとつ。単にこういうものが出来ました、ということにすぎないので「特許出願公開公報」「実用新案出願公開公報」というように改称されたら公開公報であることがもっと認識されやすいのでは…… (M. N)



## 研究報告

# 流動層における分散板用多孔板に関する研究

## —分散板上の粒子の不動部分の体積について—

Perforated Plate Distributor of Fluidized Bed

—Dead Zone Volumes of Particles on Distributor—

田中 勇武\*, 萩村 雄二\*, 篠原 久\*

Isamu Tanaka Yuji Yoshimura Hisashi Shinohara

### Abstract

The dead zone volume on the perforated plate distributor of fluidized bed was measured by two methods, these are, the method (1) of measuring the particle mixing ratio by tracer and the method (2) of measuring the fluctuation of pressure by pressure probe.

The dead zone volumes estimated by method (1) fairly agree with ones by method (2).

They are affected by the pitch, the diameter and the number of the hole of distributors.

They decrease and approach to the finite volumes as the increase of superficial gas velocity and mixing time.

The equation by method(2) to estimate the dead volume is shown as follows,

$$V_D = an \left\{ \left( \frac{p^4}{6} - \frac{d^2 p^2}{4} + \frac{\pi d^4}{3} \right) - \sqrt{2} p \left[ \frac{p^8}{6} (\sqrt{2} + \ln(1 + \sqrt{2})) - \frac{dp^2}{2} + \frac{\pi d^8}{34} \right] \right\}$$

where

$V_D$ =dead zone volume on the perforated plate distributor [cm<sup>3</sup>]

$n$ =number of the hole of perforated plate [-]

$p$ =pitch of perforated plate [cm]

$d$ =diameter of the hole of perforated plate [cm]

$a$ =experimental coefficient [1/cm]

in the case of Toyoura sand (particle diameter=178μ, particle density=2.67 g/cm<sup>3</sup>,

$$u_{mf}=3.9 \text{ cm/sec}, \quad a=\frac{1.2}{(d-\sqrt{2}p)} \left\{ 1 + \frac{10}{(u/u_{mf}-1)^2} \right\}$$

$u$ =superficial gas velocity [cm/sec]

$u_{mf}$ =incipient fluidization velocity [cm/sec]

### 著者 摘録

流動層における分散板上に形成される粒子の不動部分の体積を下記の2つの方法を用いて推算した。

(1) トレーサーを用いて、粒子混合状態を測定する方法

(2) 圧力プローブを用いて、圧力変動を測定する方法

\* 九州大学 工学部 化学機械工学科

(〒812 福岡市東区箱崎 6-10-1)

Tel. (092) 641-1101

両実験法によって推算された粒子の不動部分の体積はよく一致した。

粒子の不動部分の体積は、多孔板のピッチ、孔径、孔数の影響を受けることが認められた。また、これらの不動部分の体積は、空塔ガス速度と混合時間を増加させれば、減少するが、ある量の不動部分の体積は、必ず残ることがわかった。

なお、本研究で使用した豊浦砂については、(2)の方法によって、多孔板のピッチ、孔径、孔数、および空気ガス速度が既知であれば、多孔板上に形成される粒子の不動部分の体積を推算できる式が得られた。

## 緒 言

流動層を設計する際に適切な分散板を選定することは、その適否によって流動層の特性が大きく左右されるから、重要であると考えられる。

本報告では、分散板上に存在する粒子の不動部分の体積について検討した。この種の研究としては、数報<sup>1~3)</sup>あるが、まだ精度よく整理されているとはいえない。現在、流動層の分散板としては、多孔板が広く用いられているため、本報告においても、種々の多孔板を用いて、その上に形成される粒子の不動部分の体積を実験的に調べた。すなわち、粒子の不動部分の体積を、2種類の測定方法で求め、各測定値の妥当性を検討し、さらに流速、多孔板種類等の影響を調べた。

## 1. 実験装置および実験方法

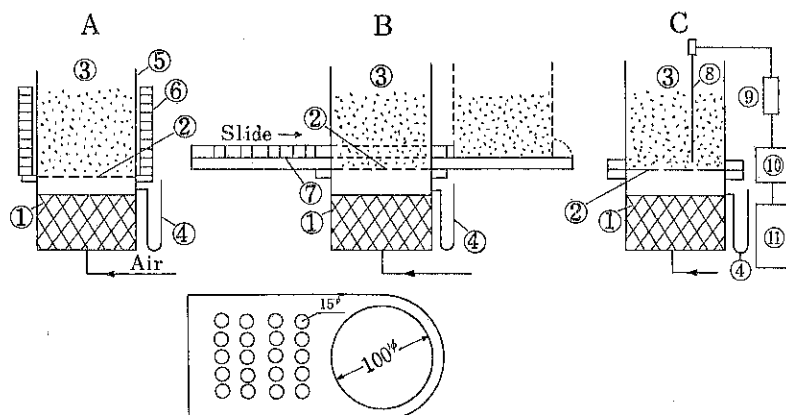
### 1.1 粒子混合法

層内粒子の軸方向における混合状態を測定するため、Fig. 1 中の A の装置を用いた。ここで使用した分散板は、真鍮製多孔板(1 mmの厚さ、正方配列)で Table.

Table. 1 Distributor

Distributor No.	$d[\text{cm}]$	$p[\text{cm}]$	$n[-]$	$m[\%]$
1	0.2	2.0	21	0.84
2	0.1	0.5	317	3.17
3	0.1	0.7	161	1.61
4	0.1	0.9	97	0.97
5	0.15	0.8	121	2.72
6	0.2	1.0	81	3.24
7	0.2	1.2	57	2.28
8	0.2	1.4	37	1.48
9	0.5	4.5	5	1.23
10	0.4	4.5	5	0.8
11	0.4	4.0	5	0.8
12	0.3	3.0	9	0.81

1 中の No. 1 ~ No. 8 である。流動化粒子として用いた豊浦砂は、粒子の静止層高と塔径とが、ほぼ等しくなるように、流動層上部から投入された。ある一定の流速  $u[\text{cm/sec}]$  で粒子を流動化させておき、ある時間経過後、トレーサー粒子(豊浦砂とほぼ物性が等しい粒状ソーダ灰 ( $\rho_s=2.54 \text{ g/cm}^3$ ,  $u_{mf}=3.9 \text{ cm/sec}$ ,  $D_p=182\mu$ )



① Fixed bed ② Distributor ③ Fluidized bed ④ Manometer  
 ⑤ Cylinder ⑥ Ring plate ⑦ Packing seal ⑧ Pressure probe  
 ⑨ Pressure transducer ⑩ Strain meter ⑪ Oscilloscope

Fig. 1 Experimental apparatus

を用いた.) を瞬間に上部より投入する。一定時間  $\theta$ [sec] 混合させた後、流動化ガスの送入を停止する。その後、Fig. 1 の A 中の亜鉛板製円筒⑥を上方へ抜きとり、各セクション(1 cm 間隔)⑥を横に上部から順にスライドさせ、その区間に存在する流動化粒子の量とトレーサー量を測定する。トレーサーの量は  $1/10$  N-HCl を用いる中和滴定によって求めた。この方法で得られる粒子の混合状態は、一旦粒子を静止させた時の状態であるため、気泡などを含んだ実際の流動化時の粒子の混合状態を得るために、Fig. 1 の B の装置を試作した。分散板より 1 cm の高さの面の上下に、図に示すような特殊なフランジを設けた。下面のフランジは固定されていて、その上にゴムシートが張られている。一方、上面のフランジの左側半分に、図に示すように、15 mm 径の穴を 20 個設け、その下面に 200 メッシュの金網を張り、さらに、穴部以外の全部分にゴム製シートを張りつけた。上面のフランジがスライドしやすいように、上下のゴムシート間にグリスが塗られている。横方向に移動させる時に、上分散板 1 cm に存在する粒子群が残り、空気は 15 mm の穴群を通り抜けるように、また、スライド面の間から空気が漏れないように注意した。実験方法は、前述と同様であるが、次の点で異なる。一定時間  $\theta$ [sec] 混合させた時、流動化用空気を止めないで、分散板上 1 cm の高さ以上の塔本体をすばやく横方向にスライドさせ、分散板上 1 cm 以下に残った粒子量とトレーサー量とを測定する。この操作により、分散板上 1 cm の高さ(Grid Zone)における流動化時の粒子混合状態がわかる。

## 1.2 圧力変動測定法

Fig. 1 中の C にその装置の概略を示す。塔頂からピトー管型圧力測定用プローブ(1.8 mmφ)を挿入し、圧力変換器⑨、動歪計⑩、オシログラフ⑪に接続して、層内の圧力変動分布を測定した。測定位置は、上部にとりつけたスケールによって、 $1/100$  mm の精度で半径方向位置と軸方向高さを読めるようにした。分散板には、不動体積部分が生じやすい比較的ピッチの大きい、Table. 1 中の No. 9～No.12 を用いた。

各実験を通じて流動化粒子としては、豊浦標準砂( $\rho_s=2.67 \text{ g/cm}^3$ ,  $u_{mf}=3.9 \text{ cm/sec}$ ,  $D_p=178 \mu$ )を用いた。

## 2. 各測定法による分散板上の粒子不動体積部分の推算式

### 2.1 粒子混合法

Fig. 2 に示すようなモデルを考える。流動層を分散板

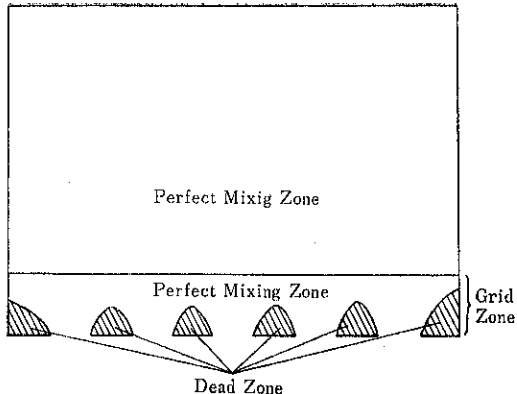


Fig. 2 Mixing model

支配領域(Grid Zone)とそれ以上に存在する粒子層とに分ける。Grid Zone の一部に粒子の不動体積領域(Dead Zone)が存在し、他の部分は、完全混合であると仮定すると次式が導出される。(Appendix (1) 参照)

$$V_D = W_s (1 - c/c_0) / (1 - \varepsilon) \rho_s \{ 1 - (c/c_0) (W_s/W_0) \} \quad (1)$$

## 2.2 圧力変動法

Dead Zone は分散板の孔間に、2 次曲線で示される稜線をもって堆積すると仮定する。その結果、次式を得る。(Appendix (2) 参照)

$$V_D = a n \{ p^4 / 4 - d^2 p^2 / 4 + \pi d^4 / 32 \} - \sqrt{2} p [ p^3 (\sqrt{2} + \ln(1 + \sqrt{2}) / 6 - dp^2 / 2 + d^3 \pi / 24) ] \quad (2)$$

係数  $a$  は、実験的に決められる係数である。

## 3. 実験結果および考察

### 3.1 粒子混合法

Fig. 1 の A の装置により得られた層内軸方向における粒子の混合状態の一例を Fig. 3 に示す。図からわかるように、分散板直上の部分での混合状態が悪く、他の部分は、ほぼ完全混合状態になっていることがわかる。このため、Grid Zone における混合状態を Fig. 1 の B の装置を用いて詳細に検討した。

**3.1.1 混合時間の影響** Fig. 4 にその結果の一例を示す。 $\theta=60 \text{ sec}$  以上になると、Grid Zone における  $c/c_0$  は、一定となることがわかる。しかし、その値は 1.0 より小さい。このことは、混合時間を長くしても、ある量の Dead Zone が存在することを示している。

**3.1.2 空塔速度の影響** 結果の一例を Fig. 5 に示す。図より、 $u/u_{mf}$  が 7～8 以上になれば、 $c/c_0$  が一定になることがわかる。しかし、 $c/c_0$  の値は、1.0 より小さ

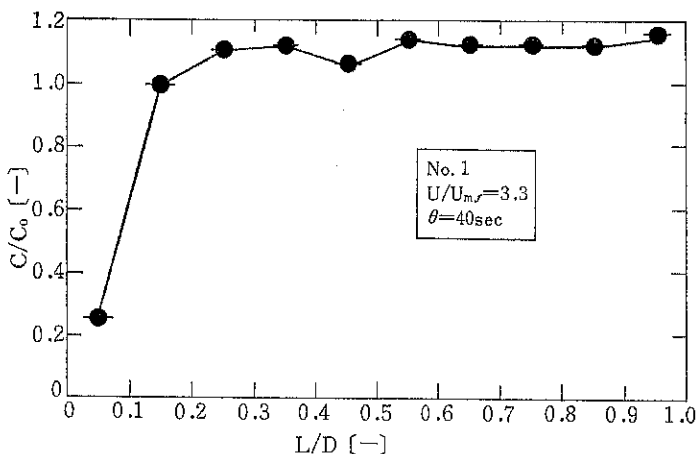


Fig. 3 Effect of height from distributor on mixing ratio

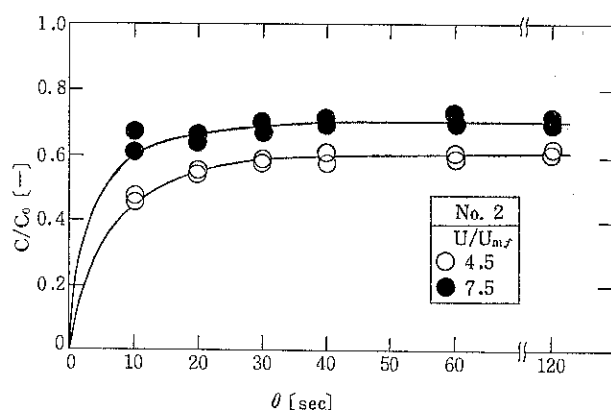


Fig. 4 Effect of mixing time on mixing ratio in grid zone

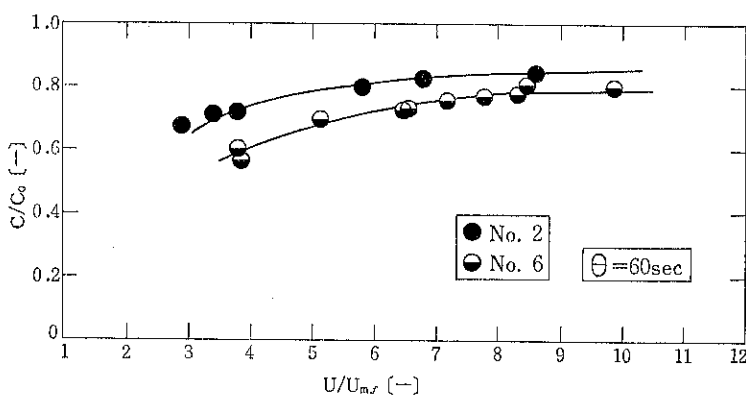


Fig. 5 Effect of superficial gas velocity on mixing ratio in grid zone

い、すなわち、 $u/u_{mf}$  を増加させても、ある量の Dead Zone が、必ず存在することがわかる。

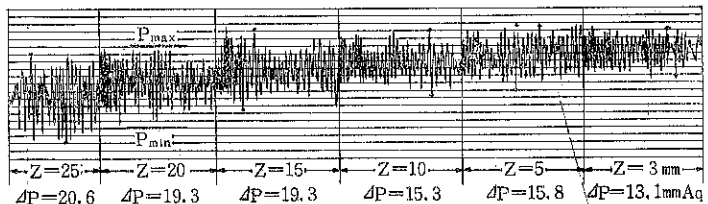


Fig. 6 Pressure fluctuation

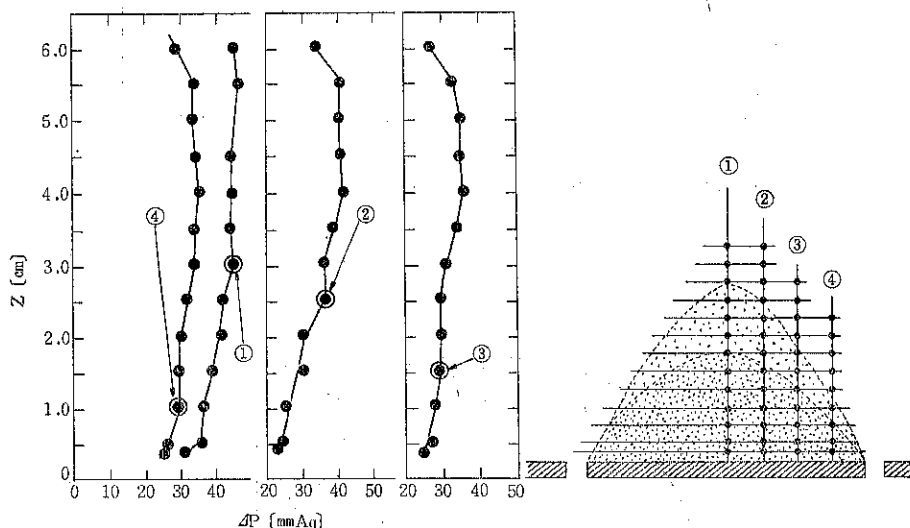


Fig. 7 Effect of height from distributor on fluctuation and measurement point

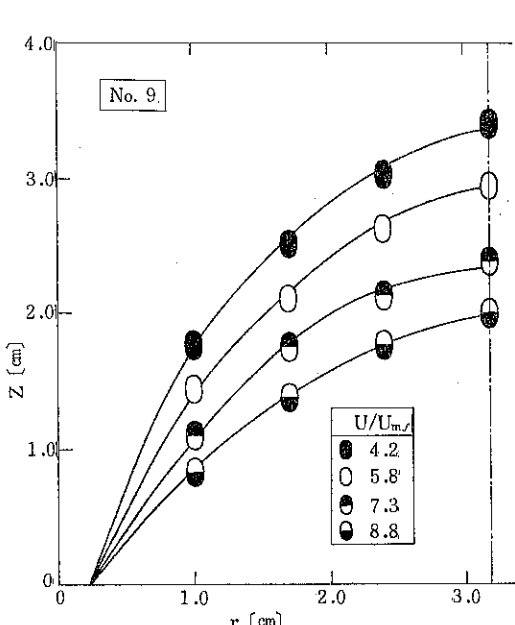


Fig. 8 Dead zone profile measured by fluctuation method

### 3.2 圧力変動法

測定結果の一例を Fig. 6 に示す。この圧力変動の最大値  $P_{max}$  と最小値  $P_{min}$  の差を  $\Delta P$  とする。これと Dead Zone とを関連づけるため、半円筒形装置（図省略）で観察された Dead Zone の形と各位置で測定された  $\Delta P$  の値を Fig. 7 に示す。図中の白丸印で示した圧力変動の変化点が、ほぼ Dead Zone の境界点に対応している。すなわち、Dead Zone では、粒子が静止しているため、ガス圧の変動幅  $\Delta P$  は小さいが、その領域を越えると、粒子が動いている領域に入るので、 $\Delta P$  は大きくなり、その値はほぼ一定となる。このように  $\Delta P$  は粒子が活発に動いているかどうかを判定する指標になると考えられる。このことより、高さ方向に、最初に生じる  $\Delta P$  の変化点を知ることによって、Dead Zone の形状を知ることができると推測される。この圧力変動法を三次元の流動層に応用して得られた Dead Zone の稜線の一例を Fig. 8 に示す。図より、 $u/u_{mf}$  の増加と共に、Dead Zone の高さが小さくなることがわかる。

このようにして得られた Dead Zone 稜線より Eq.(2) 中の係数  $a$  が次のようにして求められた。 $r=d/2$  にお

ける稜線の勾配  $\tan\phi$  を  $u/u_{mf}$  に対して整理すると Fig.9を得る。これを石田ら<sup>1)</sup>にならって、次式で整理した。

$$(dz/dr)_{r=d/2} = \tan\phi = \tan\phi_0 + K/(u/u_{mf} - 1)^2 \quad (3)$$

図の実験点によく合致するように  $\tan\phi_0$ ,  $K$  を決定すると

$$\tan\phi_0 = 1.2, \quad K = 12 \quad \text{を得る。}$$

Eq.(3) と Eq.(A-13) より求められた  $a$  の値を Eq.(2) に代入すれば、Dead Zone の体積が計算される。

Eq.(2) を Table 1 中の No. 1 ~ No. 8 の分散板にも適用できるとして、求められた  $V_D$  の値を Fig.10-a, 10-b 中の実線で示す。図中の各点は、3.1 で得られたデータを Eq.(1) に代入して求めた値を示す。図からわかるように、圧力変動法で得られた Dead Zone の体積は、粒子混合法によって得られた値とほぼ一致する。

のことより、両測定値は、ほぼ妥当であると考えら

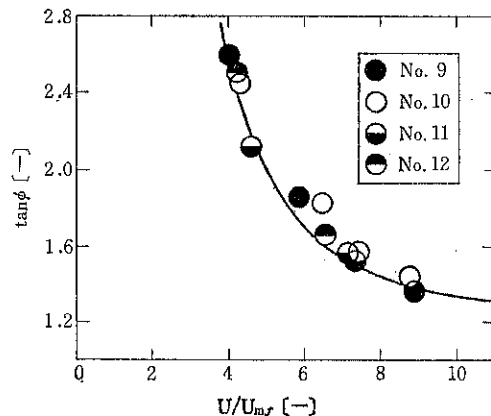


Fig. 9  $\tan\phi$  vs.  $u/u_{mf}$

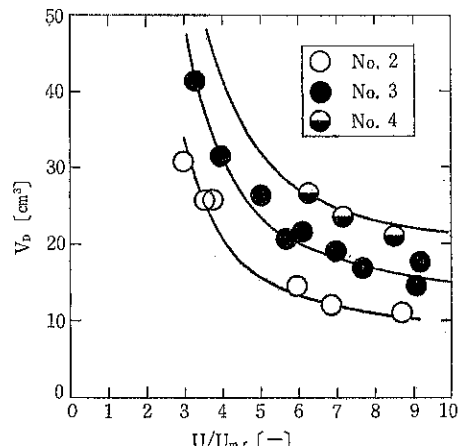


Fig. 10-a Relation between dead zone volumes by mixing method and ones by fluctuation method

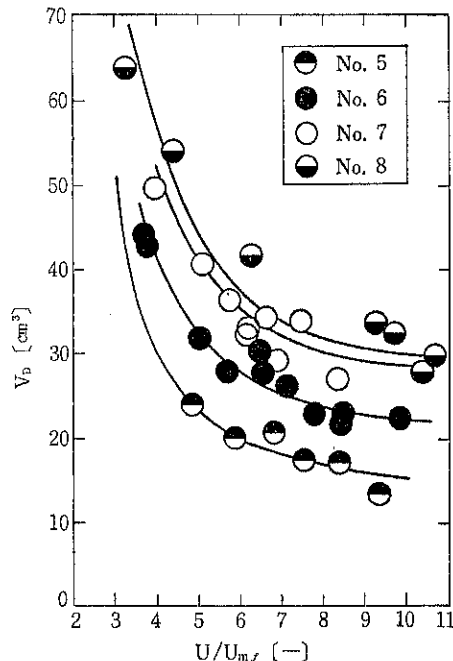


Fig. 10-b Relation between dead zone volumes by mixing method and ones by fluctuation method

れる。本実験では一種の粒子だけを用いたが、他の粒子についてもここで用いた測定法によって、分散板上の粒子の不動体積部分は求められることが予測される。

## 結 言

- (1) Dead Zone の体積は、混合時間を長くしても、ガス流速を速くしても、必ず存在することがわかった。
- (2) 粒子混合法、圧力変動法で測定された Dead Zone の推算値は、互いにほぼ一致した。
- (3) 本研究に使用した豊浦標準砂については、分散板のピッチ、孔径、孔数および流速がわかれば、Dead Zone の体積を推算できる式が得られた。

## Appendix (1)

粒子の收支について

$$W_0 = W_M + W_S = W_M + W_{SM} + W_{SD} \quad (A-1)$$

Grid Zone 中のトレーサー濃度

$$C = \omega_S / W_S \quad (A-2)$$

完全混合領域では

$$\omega_S / W_{SM} = \omega_0 / (W_M + W_{SM}) \quad (A-3)$$

全粒子層が完全混合の場合

$$C_0 = \omega_0 / W_0 \quad (A-4)$$

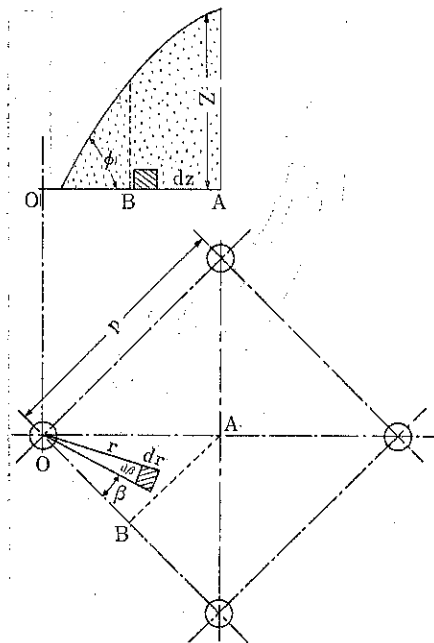


Fig. A-1 Dead zone profile

以上を整理すると

$$W_{SD} = W_S (1 - C/C_0) / \{1 - (C/C_0)(W_S/W_0)\} \quad (A-5)$$

Eq. (A-5) を体積で示すと

$$V_D = W_{SD} / (1 - \varepsilon) \rho_S \quad (A-6)$$

## Appendix (2)

Fig.A-1 に示すように、Dead Zone 穢線を次式の二次曲線で近似する。

$$z = ar^2 + br + c \quad (A-7)$$

境界条件

$$\text{孔のまわりでは } r = d/2 \text{ で } z = 0 \quad (A-8)$$

$$r = d/2 \text{ で } dz/dr = \tan\phi \quad (A-9)$$

Fig.A-1 に示すように、A点で、粒子の不動部分の高さは、最大値をとるので、 $r = p/\sqrt{2}$  で、 $dz/dr = 0$

$$(A-10)$$

Eq. (A-8) を Eq. (A-7) に代入し、c を求めて整理すると

$$z = a(r^2 - d^2/4) + b(r - d/2) \quad (A-11)$$

Eq. (A-11) に Eq. (A-10) を代入して

$$b = -\sqrt{2}ap \quad (A-12)$$

Eq. (A-11) に、Eq. (A-9) を代入し、Eq. (A-12) の関係より、

$$a = \tan\phi / (d - \sqrt{2}p) \quad (A-13)$$

Fig.A-1のような微小体積  $rd\beta dr dz$  を考えて、孔1個あたりの粒子の不動部分の体積を求めると

$$V_D/n = 8 \int_0^{\frac{\pi}{4}} d\beta \int_{d/2}^{p/\sqrt{2}\cos\beta} dr \int_0^z r dz \quad (A-14)$$

Eq. (A-11) を代入して

$$= 8 \int_0^{\frac{\pi}{4}} d\beta \int_{d/2}^{p/\sqrt{2}\cos\beta} r [a(r^2 - \frac{d^2}{4}) + b(r - \frac{d}{2})] dr \quad (A-15)$$

$$= 8 \int_0^{\frac{\pi}{4}} \left[ a(\frac{r^4}{4} - \frac{d^2 r^2}{8}) + b(\frac{r^3}{3} - \frac{dr^2}{4}) \right]_{d/2}^{p/\sqrt{2}\cos\beta} d\beta \quad (A-16)$$

$$= \frac{ap^4}{8} \int_0^{\frac{\pi}{4}} \frac{d\beta}{\cos^4\beta} - \frac{ad^2 p^2}{4} \int_0^{\frac{\pi}{4}} \frac{d\beta}{\cos^2\beta} + \frac{bp^3}{3} \int_0^{\frac{\pi}{4}} \frac{d\beta}{\cos^3\beta} \\ - \frac{bdp^2}{2} \int_0^{\frac{\pi}{4}} \frac{d\beta}{\cos^2\beta} + \left( \frac{\pi}{4} \right) (ad^4/8 + bd^3/6) \quad (A-17)$$

ここで、

$$\int_0^{\frac{\pi}{4}} \frac{d\beta}{\cos^4\beta} = \frac{4}{3}, \quad \int_0^{\frac{\pi}{4}} \frac{d\beta}{\cos^2\beta} = 1, \quad \int_0^{\frac{\pi}{4}} \frac{d\beta}{\cos^3\beta} \\ = \frac{\sqrt{2} + \ln(1 + \sqrt{2})}{2}$$

以上整理すると、

$$\frac{V_D}{n} = a \left( \frac{p^4}{6} - \frac{d^2 p^2}{4} + \frac{d^4 \pi}{32} \right) + b \left[ \frac{p^3}{6} (\sqrt{2} + \ln(1 + \sqrt{2})) - \frac{dp^2}{2} + \frac{\pi d^3}{24} \right] \quad (A-18)$$

Eq. (A-18) に Eq. (A-12) を代入して Eq.(2) を得る。

## 使用記号

$D$  = 流動層直径( $=10\text{cm}$ ) [cm]

$D_p$  = 重量基準50%通過粒子径 [ $\mu$ ]

$d$  = 多孔板孔径 [cm]

$L$  = 静止粒子層高( $=10\text{cm}$ ) [cm]

$m$  = 多孔板開孔比 [%]

$n$  = 多孔板孔数 [-]

$p$  = 孔のピッチ [cm]

$r$  = 孔中心からの距離 [cm]

$u, u_{mf}$  = 空塔ガス速度および流動化開始速度 [cm/sec]

$V_D$  = 粒子の不動部分蓄積体積 [cm<sup>3</sup>]

$W_0, W_M, W_S, W_{SM}, W_{SD}$  = 粒子全保有量、分散板支配領域外にある完全混合状態の粒子量、分散板支配領域にある粒子量、その領域でかつ完全混合状態にある粒子量、その領域にある不動

	粒子量	[g]	レーザー量	[g]
$z$	= 分散板から粒子の不動体積部分の稜線までの高さ	[cm]		
$\varepsilon$	= 空隙率	[—]		
$\theta$	= 混合時間	[sec]		
$\rho_s$	= 粒子の密度	[g/cm <sup>3</sup> ]		
$\phi$	= 分散板と、粒子の不動部分の稜線とのなす角度	[deg]		
$\omega_0, \omega_s$	= 各々、全、分散板支配領域に存在する、ト			

### 参考文献

- 1) 石田愈, 白井隆; 第31年会講演要旨集(化学工学協会), 43 (1966)
- 2) Makishima, S. and T. Shirai; *J. Chem. Eng. of Japan* 2, 124 (1969)
- 3) 牧島信一, 白井隆; 第34年会講演要旨集(化学工学協会) 176 (1969)

### 新製品ひとこと

#### レベル制御機 ホソカワ／ミクロン フローレベラー

従来からの粉体レベルの計測は、おもにホッパーなど容器内の粉体量を計測するのが目的であり、粉体流量や粉体物性の測定ほど厳格でなくとも良いのが普通でした。しかし、粉体プロセスの自動化が進むにつれて容器内の静的レベルの検出だけでなく、動的な状態にある粉粒体のレベル計測やレベルコントロールが必要となってきたています。

弊社では先に連続混合装置、ホソカワ／ミクロン ランミックスシステムを発表いたしましたが、混合槽内で攪拌翼によって流動している粉体のレベルコントロールを目的としてホソカワ／ミクロン フローレベラーを開発しました。

本機は、貯槽内における静止した粉体層のレベル計ではなく、攪拌混合槽内におけるような流動状態にある粉体レベルの制御装置であります。粉体の流動によって受ける検出羽根の傾斜角から粉体レベルを検出し、供給機

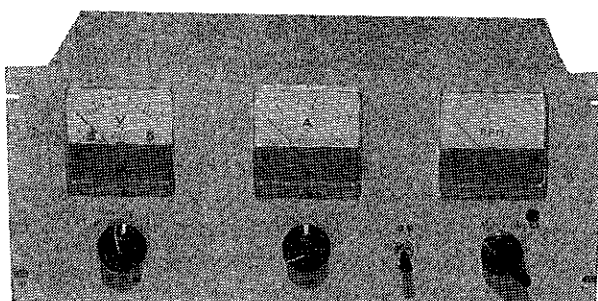
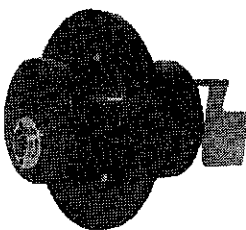
あるいは排出機へ制御信号を送って粉体レベルを精度よく一定に保つことができます。

フローレベラーの特長をまとめると次のような点があげられます。

- 1) 流動状態にある粉体層のレベルコントロールが可能である。
- 2) レベルコントロールの精度が高い。
- 3) 検出部が小型で、装置への取り付けも容易である。

#### 仕様

レベル検出部 寸法	200×100 <sup>b</sup> mm
制御回路 寸法	450×200×220mm
入力電源	100V, 100VA, 50/60Hz



## 研究報告

# 連続粉碎のシミュレーションの基礎に関する 概念的考察と若干の実験\*

Conceptual Studies and Some Experimental Tests on Simulation  
Fundamentals of Continuous Grinding.

岡野 靖彦\*\*, 太田 元\*\*  
Yasuhiko Okano Hajime Ohta

### Abstract

According to a review by the authors, it has been likely thought possible to simulate mathematically a continuous grinding process by combining so-called selection and breakage functions with a retention time distribution of particles.

Usually the former functions are obtained from a batch grinding test, while the retention characteristics from continuous one through free-from-grinding tracers. The authors, therefore, tried to get some more realistic information by conducting a continuous grinding test in which in-mill conditions could be revealed.

Although in a qualitative explanation the results are summarized as follows:

An optimum feed rate inducing a favorite in-mill condition results in a high energy efficiency. On the other hand an extremely low or high feed rate leads to a mixing or a piston flow respectively with no selective discharge of product resulting in an inferior efficiency. Those experimental results seem to suggest that there exists a mutual dependence between grinding and retention characteristics in the continuous ball milling process.

## 1. はじめに

「粉碎」ほど歴史が古くまた多くの製造プロセスの基盤となる単位操作は他に見当らない。

ところが「粉碎」の実験は力は要るし、ほこりまみれになったり、ふるい分け試料が山ほど出てきたりして大変なものである。

したがって種々の条件下での粉碎結果を机上で予測することのできる粉碎シミュレーション技術の達成は大いに望まれるところである。

近年活発に行なわれている粉碎の速度論的研究と電算機の普及および各種トレーサ技術の進歩<sup>1),2)</sup>が、粉碎プロセスのシミュレーションの発展の推進力となっていることは言うまでもない。

すなわち、注目した粉碎機における粉碎の速度過程と粒子の滞留特性とを数式の上で結合させることによってシミュレーションが試みられているのである。

本報ではボールミルによる粉碎を前提として連続粉碎プロセスのシミュレーションに関する研究の動向を展望したのち、それが動機となって行なった若干の基礎的実験の結果について報告する。

## 2. シミュレーションに関する

### 従来の研究

ボールミルによる連続粉碎プロセスのシミュレーションを目指す場合、前述のように当該プロセスを粉碎過程と運搬過程とに分離して注目し、前者に関しては粉碎動力学的な考察を、後者にはプロセス動特性の観点からの考察を適用するというのが、一般的に行なわれる方法で

\* 本報は第33回セメント製造技術シンポジウム（51年11月大阪）における講演の一部と、ドイツセメント協会主催のセメント製造プロセス工学に関する国際会議（52年9月デュセルドルフ）における研究発表<sup>15)</sup>の一部にデータを補充し、検討を加えたものとからなっている。

\*\* 東京大学工学部資源開発工学科  
(〒113 文京区本郷7-3-1)  
Tel (03) 812-2111 (内8120)

ある。ここではこのような思想に関連した従来の研究を展望する。

## 2.1 粉碎動力学または粉碎速度論

ボールミルをはじめ多くの粉碎機がそうであるように、単一粉碎事象が繰り返し起こるような粉碎プロセスにおいては、当該プロセスを速度過程としてとらえること、つまり粉碎プロセスの速度論的考察が必須となる。単位破壊現象の繰り返しとして粉碎プロセスを数学的に記述するために、単位破壊産物の粒度分布、つまり破壊関数  $B(x, y)$  がはじめて提示されたのは、1941年 Brown によってであり、これが今日の解析的粉碎速度論発展の口火となったと言えよう。1947年には Epstein が破壊現象を 2 つの関数、つまり被粉碎体が破壊される確率を表わす選択関数 (selection function) と、破壊された結果どのような粒度分布となるかを表わす破壊関数 (breakage function) との結合によって表現することを提案した。彼は前者については粒度に関係ない一定の確率 ( $\pi$ ) を想定し、後者については破壊前の粒度 ( $y$ ) と破壊後の粒度 ( $x$ ) の比率を唯一の独立変数として関数が正規化されたとした。

この選択関数および破壊関数による考え方はその後多くの研究者、たとえば Sedlatschek ならびに Bass, Theimer, Brenner ならびに Vidmajar, Broadbent ならびに Callcott, Filipov, Gaudin ならびに Meloy や Gardner ならびに Austin らに受け継がれ R I (放射性同位元素) を用いた実験方法および電算機の導入による数値解法の駆使によって、実験的にも理論的にも着実に発展している<sup>8)</sup>。なかんずく、Broadbent ならびに Callcott によるマトリックス表示法は電算機の普及に伴ないリバイバルし、最近その適用を試みる例が多くなっている。

上述のように発展してきた粉碎速度論の分野で今のところ問題となっている点を要約すると次のとくである。

- i) 選択関数  $S(x)$  が  $x$  の単純な関数形にはなりにくいこと。
- ii) 選択関数  $S(x)$  および破壊関数  $B(x, y)$  の時間依存性。一般に  $B(x, y)$  は時間に依存せず、また  $S(x)$  も時間に関係しないとする、つまり 1 次の粉碎速度過程が成立とする場合が多かったが、粉碎時間の経過にともないミル内粒子の粒度分布すなわち粉碎雰囲気が変化することから、最近では  $S(x)$  の時間依存性が問題にされるようになってきている。因みに Huyet は粉碎時間のこのような影響が反映されている経験式を提案した<sup>4)</sup>。

他方、粉碎産物の表面積あるいは各種の粒度（分布）

特性値の時間的変化を主として実験的に把握し数式化するというタイプの粉碎速度論も展開されてきた。たとえば注目した粒度に関する残分量の時間変化を記述したアンドレーエフの式<sup>5)</sup>がとくにソ連圏において実用面に広く適用されている。

## 2.2 粒子のミル内滞留特性

ミル内滞留特性に関する 1 つの因子としてまず「ホールドアップ」、すなわち連続ミルにおいてミル内に保持される被粉碎体の量に注目し系統的な実験を行なった Kelsall<sup>6)</sup> の研究が挙げられる。すなわち、湿式オーバフロー型のボールミルにおいて、たとえばフィードの粒度がホールドアップに及ぼす影響が調べられている。また著者らの実験<sup>7)</sup>によれば、同じタイプのミルにおいてフィード量の変化がホールドアップに及ぼす影響が調べられている。

このホールドアップをフィード量で除すると、被粉碎粒子のミル内滞留時間の平均値が求まることは論を俟たないが、平均値だけでなく、さらに分布の形をも調べるために努力が払われているのは勿論である。

この滞留時間分布はプロセス動特性に関する種々の試験方法の適用によって実験的に求められるが、広く採用されるインパルス応答法の場合、粉碎作用の影響を受けない物質をトレーサとして選ぶのが普通である。たとえば水中のイオン（湿式粉碎の場合）、極微細粒子あるいは特定の化学成分などを利用するのである<sup>6),8)</sup>。また逆に粉碎作用そのものを除去してしまう方法として、軽い材質のボールを用いた非粉碎ミルを使用し、滞留特性に及ぼすフィードの量、粒度あるいは他の機械的条件の影響を調べた研究<sup>9)</sup>もある。

このようにミルのいわゆる混合特性を調査した結果は、一般にミル軸方向の 1 次元拡散モデルによく当てはまると言われている。

## 2.3 連続粉碎プロセスのシミュレーション

被粉碎粒子のミル内滞留特性に完全混合およびピストン流を想定して連続式粉碎の方程式を記せば、それぞれ(1)式および(2)式のごとくである<sup>10)</sup>。

$$P_R(x) = P_F(x)$$

$$+ (W/F) \int_x^{y_{\max}} [dP(y)/dy] S(y) \cdot B(x, y) dy \quad (1)$$

(完全混合の場合)

$$P_R(x) = P_F(x)$$

$$+ \int_0^t \int_x^{y_{\max}} [\partial P(y, t)/\partial y] S(y) \cdot B(x, y) dy dt \quad (2)$$

(ピストン流の場合)

ここで、

$P_F(x)$ ：フィードの粒度分布関数（通過分）

$P_R(x)$ ：産物の粒度分布関数（通過分）

$P(x)$  : ミル内粒子群の粒度分布関数（通過分）

$x, y$  : 粒度

$F$  : フィード量

$W$  : ホールドアップ

$t$  : 時間

$\bar{t}$  : 平均滞留時間,  $\bar{t} = W/F$

$S(x), B(x, y)$  : それぞれ選択関数, 破壊関数

これらピストン流および完全混合は前述の拡散モデルの中に、Bodenstein 数の大小の両極端の場合として包含されることは周知の通りである。現実にはこれらの中間の滞留特性がみられることを前節(2・2)は示唆しているが、実際に粉碎作用を受ける粗大な粒子の滞留時間分布についての情報が不足しているのは問題である。因みに Schöner<sup>11)</sup> は連続粉碎プロセスを対流一拡散一粉碎の組み合わせたプロセスとしてモデル化し、その中で粉碎を伴わない運搬過程は対数正規分布で近似されることを示し、このような場合の拡散モデルの適合性を認めている。また、Mika<sup>12)</sup> はミル軸方向に拡散過程を推定することの意義を電算機シミュレーションによって検討している。さらに Olsen<sup>13)</sup> はミル内の粒子の通過速度分布を表わす行列演算子を導入している。

なお 2・1 節の末尾で触れたアンドレーエフの式を基礎として連続粉碎プロセスをモデル化し諸変数の間の関係をノモグラム化して、設計、管理の実用面に利用することが行なわれてはいるが<sup>14)</sup>、この種の方法では連続粉碎プロセスについて精度の高い普遍的な数学モデルの作成、あるいはそのための基礎に関する情報の獲得は不可能であろう。

### 3. 問題点と若干の基礎的実験

ここでは、上述の展望に伴って著者らに生じた疑問点を掲げ、それを解明すべく、緒についた基礎実験の若干の結果について説明する。

#### 3.1 問題点

連続式ボールミル粉碎プロセスにおいて、ボールミル自体の粉碎機能と被粉碎粒子のミル内滞留特性を別個に論ずることの妥当性はどうであろうか。つまり両者の間には相互依存性があるのではなかろうか。

2・3 節で紹介した Mika<sup>12)</sup> の研究では両者間の相互関係に触れ、滞留特性に拡散モデルを想定すれば、粉碎過程そのものには単純な線形モデルを適用しても、シミュレーション結果は良好であると述べているが、実験データの提示による現実との対比が不十分のように思われる。

また、Olsen<sup>13)</sup> による演算子(2・3 節)は、被粉

碎粒子のミル内滞留特性の粒度依存性すなわち一種のミル内分級特性を表わすものであるが、ミル内を完全混合とみなしている点非現実的と言えよう。

#### 3.2 基礎的実験

3・1 の問題点を究明すべく下記のような実験を行なった。すなわち乾式ボールミルによる連続粉碎プロセスを実験室において実現させ、定常状態におけるミル内の状況を調べることによって、粒子の粉碎現象と滞留現象が同時に進行している条件下での両者の特性を明らかにするような何らかの情報を得られるものと期待したわけである。

##### 3.2.1 装置および方法

使用したボールミルの要目は下記のごとくであり、このボールミルと振動フィーダならびに粉粒体流量計による定量供給装置およびミルディスクチャージ流量の連続測定部とによって実験システムは構成されている。

ボールミル要目：シリンドリカル型 (240 mm  $\phi \times$  240mm)，回転速度 66.7 rpm (臨界速度の 77 %)，目皿板 (開孔率 3 %) による排出方式，装入ボール (20 ~30mm) 12.5 kg

所定の定常状態に達したのちボールミルを停止させミル内部上方の空間に、軸方向に 4 区分された半円筒形のサンプラーを挿入し、ミルを静かに半回転させてミル内容物 (ホールドアップとポール) をサンプラー内に捕収する。すなわちホールドアップをミル軸方向に 4 つに区分して捕捉することにより、ホールドアップのミル軸方向の変化を把握するためである。当該実験システムとサンプリング方法の模式図は別報<sup>15)</sup> に示されている。なお粉碎試料はほぼ整粒された (0.84~1.68 mm 90 %) 石英粒子である。

フィード量を数段階に選んで連続粉碎を行ない、定常状態に達したのち産物とともに上述の方法でミル内粉粒体のサンプルをも採取した。

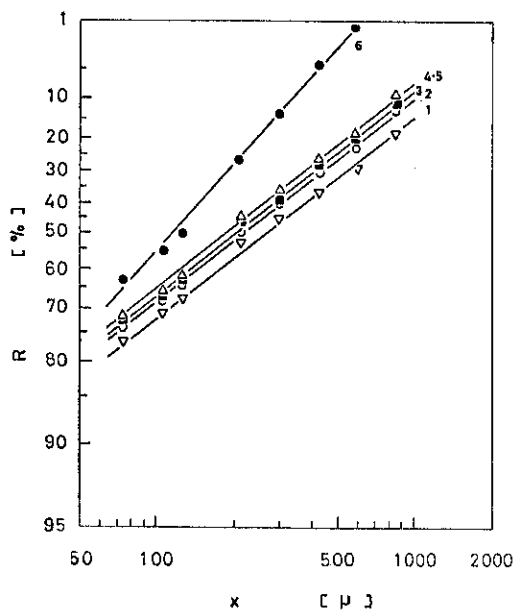
また比較のため同一のミルを用いて回分式粉碎を行なった。とくにそれぞれの連続粉碎に対応させるために粉碎試料装入量をホールドアップ量に、粉碎時間を平均滞留時間 (ホールドアップ量/フィード量) に合わせた回分粉碎に重点をおいた。

■なおサンプルの粒度分析は乾式標準ふるい分け方法によって行なった。粒度分析結果の Rosin-Rammler 線図への適合性は良好であった。

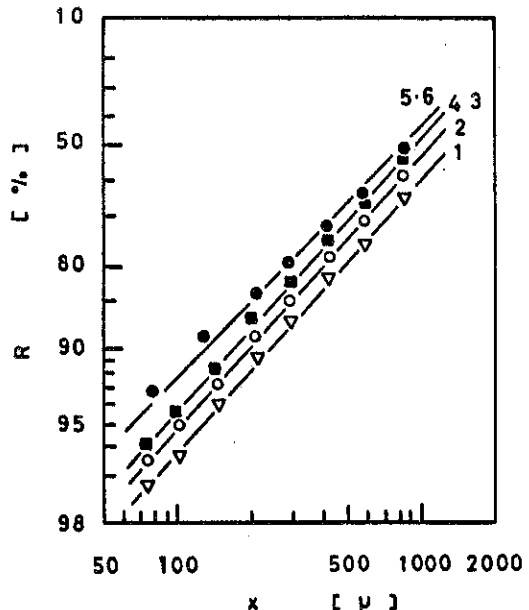
##### 3.2.2 実験結果

代表的な実験結果を Fig. 1 ~ 4 に示す。

Fig. 1 ~ 3 はそれぞれ代表的なフィード量の場合に関

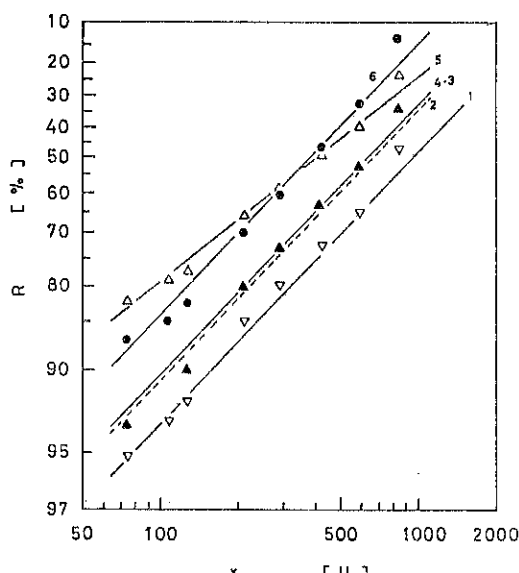


(フィード量 75 g/min の場合)  
Fig. 1 Rosin-Rammler 線図



(フィード量 375 g/min の場合)  
Fig. 3 Rosin-Rammler 線図

する結果であって、図中 1, 2, 3, 4 はミル軸方向に 4 分して採取されたホールドアップのそれぞれにフィード口からディスチャージロットに向って付した番号であり、5 は当該連続粉碎産物、6 は対応する回分粉碎産物を示している。Fig. 4 は今回行なった回分粉碎の結果をまとめ示したものである。



(フィード量 200 g/min の場合)  
Fig. 2 Rosin-Rammler 線図

### 3.2.3 考 察

これらの粒度分布線図を検討することによって、次のように推測することができよう。

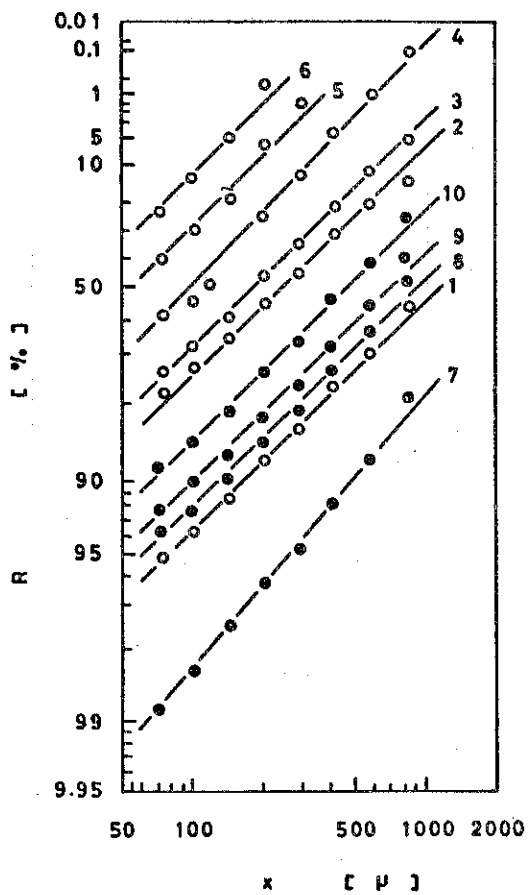
フィード量が少ない場合(75 g/min)と多い場合(375 g/min)の何れにおいても、粒度分布曲線 4 と 5 がほぼ一致していることから、粒度に関する選択的ディスチャージいわゆるミル内分級の効果は見られない。さらに粒度分布曲線 5 と 6 を比較することによって、それぞれの場合にミル軸方向の混合流およびピストン流が推察される。中間的なフィード量(200 g/min)の場合は粒度分布曲線 4 と 5 が著しく異なっていることから、何らかのミル内分級効果が存在するものと思われる。

一方、粉碎エネルギーの観点に立ってこれらの結果を検討してみよう。粉碎における粒度変化とエネルギーとの間の関係式として Charles の式<sup>16)</sup>は良く知られるところである。そこで Bond の法則<sup>17)</sup>を前提とし、粒度分布に Rosin-Rammler 分布を想定して得られる同種の式(3)を利用して、今回の連続式ならびに回分式粉碎試験の結果を、粉碎時間一粉碎エネルギー線図上にプロットしたのが Fig. 5 である。

$$\epsilon = c \left\{ \frac{1}{\sqrt{d'_{f}}} F \left( \frac{n_f - 0.5}{n_f} \right) - \frac{1}{\sqrt{d'_{p}}} F \left( \frac{n_p - 0.5}{n_p} \right) \right\} \quad (3)$$

ここで、

$\epsilon$ : 単位重量のフィード ( $d'_{f}, n_f$ ) を産物 ( $d'_{p}, n_p$ ) まで粉碎するのに必要なエネルギー



回分粉碎の場合

直線 No. 試料装入量 [g], 粉碎時間 [min]

1	826	2
2	"	5
3	"	8
4	"	11.16
5	"	18
6	"	26
7	1590	1.23
8	"	4.25
9	"	5.3
10	"	7

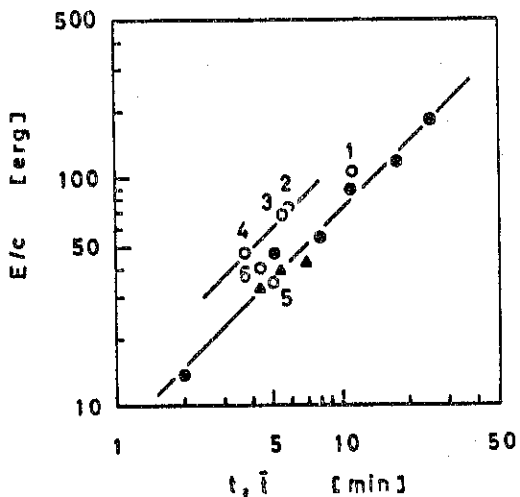
Fig. 4 Rosin-Rammler 線図

$d'_{f, n_f}$ ,  $d'_{p, n_p}$  : Rosin-Rammler 分布におけるパラメータ (添字 f, p はそれぞれフィードおよび産物を意味する)

c : 定数

両対数プロットによる Fig. 5において、結果を近似的に勾配 1 の 2 本の直線で整理している。

これによると、まず回分粉碎の結果は大体下方の直線



●, ▲……回分粉碎結果

1～6……連続粉碎結果

(それぞれフィード量 75, 113, 161, )  
(200, 250, 375 g/min の場合)

Fig. 5 粉碎時間と粉碎エネルギーの関係

上にのる。したがって、試料装入量のかなり広い範囲 (Fig. 4 参照) にわたって、粉碎エネルギーが粉碎時間に比例している。このことは今回の回分粉碎ではもっぱら 0 次の粉碎速度過程が支配的であったことを暗示しているものと思われる。この直線の縦軸切片は単位時間当たりの粉碎エネルギーつまり一種の粉碎エネルギー効率を与える。一方、連続粉碎結果のプロット (図中の 1～6) をみると、大小両極端のフィード量の場合 (図中の 1, 5, 6) は回分粉碎と同一の直線上にのっているが、中間的なフィード量の場合 (図中の 2, 3, 4) は上方の直線上に集まっているが、エネルギー効率が高くなっている。つまり、前記の Fig. 1～3 の結果を粉碎エネルギー効率の観点からみると、Fig. 1 および Fig. 3 では、回分、連続ともに効率は同一であるが、Fig. 2 では連続粉碎の方が効率が高い。この粉碎効率の向上は、流れ特性すなわち粒子の滞留特性の変化 (粒度に関する選択的なディスチャージ効果のあらわれ) に伴なって、粉碎特性そのものの変化——Fig. 2 の 1, 2, 3, 4 の傾斜と Fig. 4 の直線群の傾斜がほぼ一致していることから、とくに選択閾数の変化が考えられる——が生じていることを示唆するものと思われる。

#### 4. おわりに

連続粉碎プロセスのシミュレーションの基礎としてのミル内の粉碎過程と運搬 (滞留) 過程に関する特性は、従来別個に試験、検討されている。本報では連続粉碎の

ミル内の状態を実験的に調べることによって、両者が合わせ起る現実的な条件下で両特性に関する何らかの知見を得ることを試みた。その結果両特性の間には相互依存性のみられる場合があり、両者を全く切り離して論ずることの不適切さを示唆するようなデータが得られた。今後はより多くの実験結果を蓄積した上で解析を進め、この点に関して定量的な検討を行ないたいと思っている。

### 参考文献

- 1) R. P. Gardner and L. G. Austin: "A Chemical Engineering Treatment of Batch Grinding," Proc. 1st European Symposium Zerkleinern, Dusseldorf, Verlag Chemie 217-246 (1962).
- 2) A. Merz and O. Molerus: "Ermittlung der Transportkoeffizienten von Schüttgütern in einen Drehrohr und ihre Abhängigkeit von Korngrösse und Markierungsfunktion," 3rd European Symposium Zerkleinern Paper III-3 (1971).
- 3) L. G. Austin: "Introduction to the Mathematical Description of Grinding as a Rate Process," Powder Technology, 5, 1-17 (1971/1972).
- 4) G. Huyet: "Mathematical Model of Wet Grinding of Ores," XIIMPC (1975) Paper No. 7.
- 5) С. Е. Андреев, В. В. Товаров, В. А. Перов: "Закономерности измельчения и исчисление характеристик транулометрического состава." Москва.
- 6) D. F. Kelsall, K. J. Reid and C. J. Restarick: "A Dynamic Investigation of Continuous Grinding in a Small Wet Ball Mill," AIMM No. 2 21-32 (1966).
- 7) 今泉常正, 井上外志雄, 岡野靖彦: "湿式ボールミル粉砕回路の静特性に関する 2, 2 の考察", 日本鉱業会誌 84 [1960] 433-439 (1968).
- 8) Y. Mori, G. Jimbo and M. Yamazaki: "Flow Characteristics of Continuous Ball and Vibra-tion Mill, Mixing, size distribution, dynamic response of flow rate and applications," 2nd European Symposium Zerkleinern Paper F-1 (1966).
- 9) R. Keienburg, H. M. V. Seebach und F. Strauss: "Einfluss von Durchsatz, Mahlkörperfüllung und Austragswand auf den Mahlgutfüllungsgrad und Mahlgut-Verweilzeitverteilung in Rohr-Mühlen," 3rd European Symposium Zerkleinern, Paper III-4 (1971).
- 10) L. G. Austin, R. R. Kliment and A. N. Beattie: "Solution of Equation of Grinding," 2nd European Symposium Zerkleinern Paper B-4 (1966).
- 11) Von K. Schönert: "Eine mathematische Beschreibung des kombinierten Prozesses "Konvektion-Diffusion-Zerkleinern", 3rd European Symposium Zerkleinern Paper II-1 (1971).
- 12) T. S. Mika: "Application of a distributed parameter model for a continuous grinding mill at steady state," Transactions IMM 239-249 (1975).
- 13) T. Olsen and S. R. Krogh: "A low order model of continuous ball mill grinding," XI IMPC Paper No. 5 (1975).
- 14) Б. И. Кауль, Б. А. Коряков, В. М. Савойский, А. Н. Марюта: "Определение регулировочных характеристик двухстадиального щикла измельчения на НКГОКе," Известия ВЧЗ Горный Журнал, No. 1, 161-167 (1965).
- 15) Y. Okano and T. Imaizumi: "Ball mill - not as a black box," VDZ Kongress (1977).
- 16) R. J. Charles: "Energy Size Reduction Relationships in Comminution," Mining Engineering, Jan. 80-88 (1957).
- 17) 今泉常正: 粉砕理論概説: 日本鉱業会誌, 80 [909] 172-175 (1964).

## 総 説

# ホッパーからの粉粒体の自然流出速度

## Flow Rates of Bulk Solids through Hoppers

五十嵐平太郎\*  
Heitarō Igarashi

### 1. 緒 言

粉粒体貯槽および供給容器の設計・操作においては、粉粒体の力学的挙動に関する知識が不可欠であり、これまで多くの研究がなされてきた。それらの研究を大まかに分類すれば、(i) 粉粒体の応力 (ii) フローパターン (iii) 流出速度となるであろう。これらは互に密接に関係しているが、ここでは (iii) に関する研究のみをとりあげることとする。

オリフィスおよびホッパーからの流出速度に関する研究報告は多数あり、それらのレビューや著書の数も多い(文献 9, 19, 21, 30, 32, 33, 34, 35, 36, 37, 42, 44, 48, 49, 50, 59, 61, 70, 71, 72)。また、最近報告された関連文献もかなりの数にのぼる。

本稿ではホッパーからの流出速度の問題に絞り、既往文献を系統的に整理するとともに筆者の考えの一端を述べ、今後の研究の進展の一助としたい。

粉粒体の流出に関与する物体力としては、(i) 重力 (ii) 振動力 (iii) 遠心力 (iv) 流体抵抗による強制力などが考えられるが、ここでは、重力による大気中の自然流出の場合に限定する。

### 2. 円錐形ホッパー

工業上多く使用されているホッパーは Fig. 1 に示す円錐形ホッパーである。ホッパー壁の角度として、普通、角  $\theta$  が用いられるが、角  $\alpha$  または  $\beta$  も使用される。

#### 2.1 特定条件下における実験データ

Zalogin ら<sup>74)</sup> (1960) は流出速度に及ぼす壁の傾斜角の影響を調べるために、砂および流動性の良い粉粒体

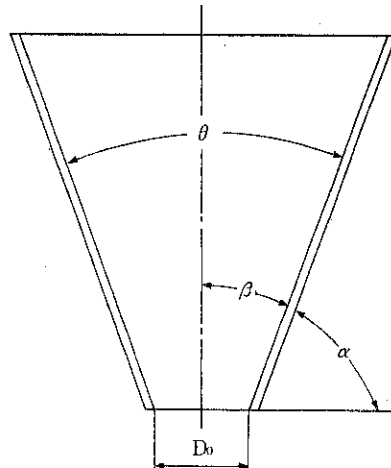
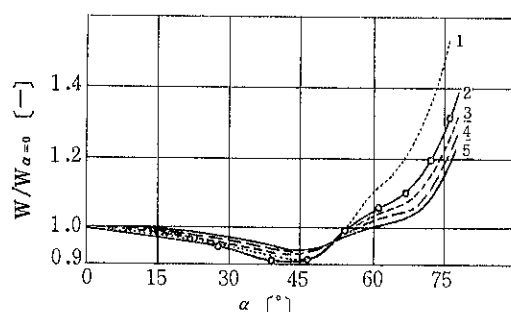


Fig. 1 円錐形ホッパーの諸元



1~5 は  $D_o/D_p=10, 20, 30, 40, 60$  と対応  
Fig. 2 流出速度と壁傾斜角の関係 (Zalogin ら)

を、 $\theta=30, 45, 60, 90, 120^\circ$  のホッパーから流出させ、Fig. 2 に示す結果を得た。横軸の  $\alpha$  は壁の傾斜角、縦軸の  $W, W_{\alpha=0}$  はそれぞれ角  $\alpha$  に対する流出速度、平底容器からの流出速度である。また、パラメータは出口直徑  $D_o$  と粒子径  $D_p$  の比  $D_o/D_p$  である。Zalogin らは、実験に用いた粉粒体の安息角が  $35 \sim 40^\circ$  であるので、それまで一般にいわれていた“壁傾斜角  $\alpha$  が安息角

\* 長岡工業高等専門学校機械工学科

(〒940 長岡市西片貝町 888)

Tel. (0258) 32-6435

より大きくなると流出速度が増加する”という考えは妥当でないと述べている。

Fig. 2 は五十嵐<sup>20)</sup> (1968) の円錐形オリフィスの実験結果と定性的に同じである。五十嵐が用いたオリフィスの肉厚は十分大きないので、Залогин らの結果と同等な比較はできないが、 $W/W_{\alpha=0} < 1$  なる  $\alpha$  の領域が存在することは注目すべき事実である。

Reisner<sup>52) 53) 54)</sup> (1961) は  $D_0 = 22.2 \text{ mm}$ ,  $\alpha = 15, 30, 45, 60, 75^\circ$  のホッパーから比較的粒径の大きい粉

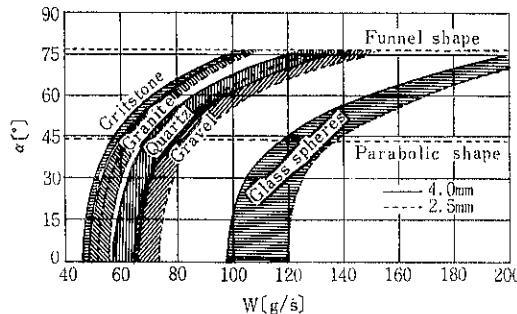


Fig. 3 流出速度に及ぼす壁傾斜角の影響 (Reisner)

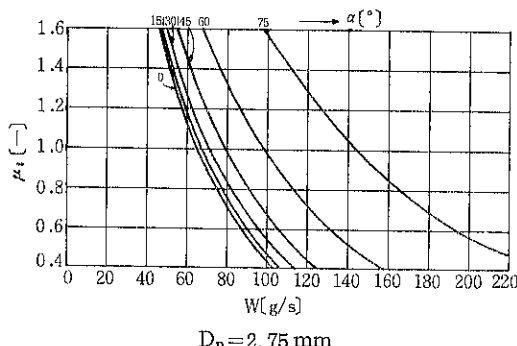


Fig. 4 流出速度に及ぼす内部摩擦係数の影響 (Reisner)

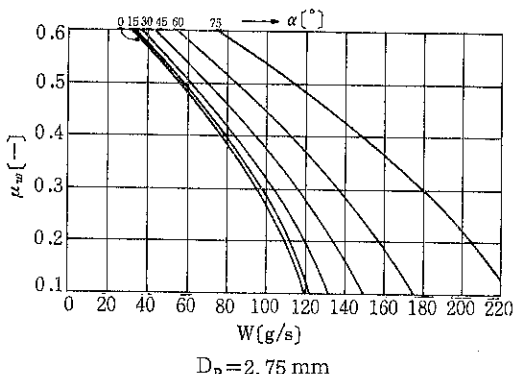


Fig. 5 流出速度に及ぼす壁摩擦係数の影響 (Reisner)

粒体を流出させ、Fig. 3～Fig. 6 を得た。 $\mu_i$ ,  $\mu_w$ ,  $\rho_b$  はそれぞれ内部摩擦係数、粉粒体-壁摩擦係数、見掛け密度である。Fig. 3 から流出速度は同一物質に対しては粒子径が小さいとき大きくなり、また、同一粒子径では球形になると大きくなることが分かる。

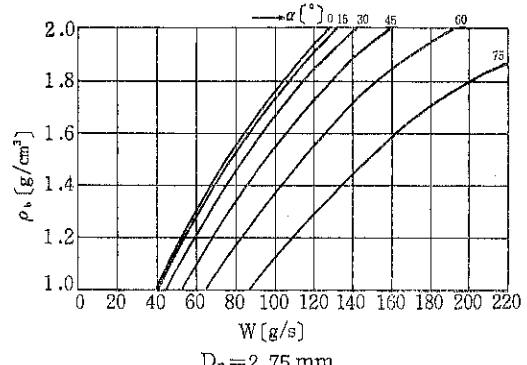


Fig. 6 流出速度に及ぼす見掛け密度の影響 (Reisner)

Fig. 3 を Fig. 2 と比較して気づくことは、Fig. 3においては、Fig. 2 のような  $W/W_{\alpha=0} < 1$  なる  $\alpha$  の領域は存在せず、 $W$  は  $\alpha$  の增加関数となっていることである。Reisner は角  $\alpha$  が安息角  $\phi_r$  より大きくなると  $W$  が増加し始めると述べているが、これは Залогин らの主張と食い違う。

## 2.2 次元解析

ある物理現象に關係する諸因子を選び、これらを適當な無次元積で表わし、Buckingham の  $\Pi$  定理により諸因子の關係を実験的に決定しようというのが次元解析の手法である。ここで問題となることは、どんな因子をどのように組合わせて無次元積をつくるかということである。

ホッパーからの流出速度についての研究を最初に手掛けたのは Deming & Mehring<sup>12)</sup> (1929) である。無次元方程式を次のように表わした。

$$t D_p^{1/2} \rho_b g^{1/2} = f(D_p/D_0, \mu_r, \theta) \quad (1)$$

ここに、 $t$  は与えられた粉粒体を流出させるのに要する時間 [ $T M^{-1}$ ],  $D_p$  は粒子径 [ $L$ ],  $\rho_b$  は見掛け密度 [ $M L^{-3}$ ],  $g$  は重力加速度 [ $L T^{-2}$ ],  $D_0$  は出口直徑 [ $L$ ],  $\mu_r$  は摩擦係数 =  $\tan \phi_r$  ( $\phi_r$  は安息角) [-],  $\theta$  はホッパー開き角 [ $rad$ ] である。(1)式を

$$(D_p/D_0)^{1/2} f(D_p/D_0, \mu_r, \theta) = F(D_p/D_0, \mu_r, \theta) \quad (1)$$

なるおきかえにより変形すると

$$t D_0^{1/2} \rho_b g^{1/2} = F(D_p/D_0, \mu_r, \theta) \quad (2)$$

実験データから関数  $F$  を求め、最終的に得られた式は

$$t = (\mu_r / D_0^{5/2} \rho_b) [34.6 + (67.4 + 444 \sin \frac{\theta}{2}) \times (\frac{D_p}{D_0} + 0.130 - 0.161 \mu_r)] \quad (3)$$

ここに、 $t$  は 100 g 当りの流出時間 [min],  $D_0$  [mm],  $\rho_b$  [g/cm<sup>3</sup>] である。実験は  $\theta=30, 60, 90^\circ$ ;  $D_0=1\sim73$  mm;  $D_p=0.131\sim13.5$  mm;  $\rho_b=0.4\sim6.5$  g/cm<sup>3</sup>;  $\mu_r=0.380\sim1.07$  の範囲にわたって行われたが、(3)式決定のための実験は  $D_0=1\sim15$  mm で行われており、小規模の実験であること、さらに(3)式では g が除外されているので次元が不完全な式であることに注意する必要がある。

Rausch<sup>51)</sup> (1948) は実験条件を広範囲に変えて、無次元積  $W\sqrt{\tan\phi_r}/C_w C_\theta \sqrt{g} \rho_b D_p^{2.5}$  を  $D_0/D_p$  を対して両対数紙上にプロットしてその相関を調べた。 $C_w$ ,  $C_\theta$  はそれぞれ  $\rho_b$  に対する壁効果修正係数、ホッパー角修正係数である。 $C_w$ ,  $C_\theta$  ( $=W/W_{\alpha=0}$ ) の値はそれぞれ、Fig. 7, Fig. 8 から求める。

国井<sup>28)</sup> (1962) は Rausch<sup>51)</sup> の相関図を式に表わし

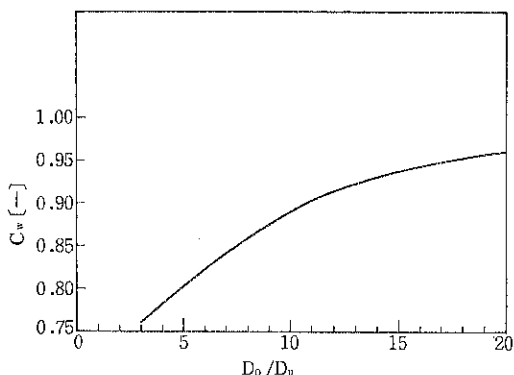


Fig. 7 壁効果修正係数 (Rausch)

$$\frac{W}{C_w C_\theta g^{1/2} \rho_b D_p^{2.5}} = 0.161 \left( \frac{D_0}{D_p} \right)^{2.746} \quad (4)$$

を得た。

Fig. 8において、 $\alpha \geq 20^\circ\sim30^\circ$  に対し  $C_\theta \geq 1$  となっているが、これは Залогин ら<sup>74)</sup>のデータ (Fig. 2) と矛盾する。

Welschof<sup>69) 39)</sup> (1961) は自ら導いたオリフィスからの流出速度式  $W_{\alpha=0}$  に Fig. 7 で与えられる  $C_\theta$  を乗じて

$$W = W_{\alpha=0} \times C_\theta \quad (5)$$

をホッパーからの流出速度式としている。

田中・川合<sup>85)</sup> (1956) は  $D_p > 0.15$  mm,  $\theta < 90^\circ$  のホッパーに適用できる実験式として次式を提出している。  
 $D_p/D_0 < 0.10$  のとき

$$\frac{W}{\rho_b V g D_p^{2.5}} = 0.18 \left( \mu_r \tan \frac{\theta}{2} \right)^{-0.32} \left( \frac{D_p}{D_0} \right)^{-2.70} \quad (6)$$

$0.10 < D_p/D_0 < 0.23$  のとき

$$\frac{W}{\rho_b V g D_p^{2.5}} = 0.10 \left( \mu_r \tan \frac{\theta}{2} \right)^{-0.32} \left( \frac{D_p}{D_0} \right)^{-3.0} \quad (7)$$

実験は  $D_0=3.6\sim11.74$  mm,  $D_p=0.15\sim2.0$  mm,  $\mu_r=0.45\sim1.0$  の範囲で行われた。

Rose & Tanaka<sup>56)</sup> (1959) は付着性粉体に対しても適用できる式として次式を提出している。

$$\frac{W}{D_0^{2.5} \rho_s \sqrt{g}} = 0.16 \left( \frac{D_0}{D_p} - 3 \right)^{0.3} \times f(\theta) \times (Z-5)^{-0.5} \times \exp \left[ -7.7 \times 10^{-6} \times \frac{c}{D_p^{8/3} \rho_s g} \right] \quad (8)$$

ただし

$$\theta/2 < (90 - \phi_r)^\circ \text{ のとき } f(\theta) = \left( \tan \frac{\theta}{2} \right)^{-0.35} \quad (9)$$

$$\theta/2 \geq (90 - \phi_r)^\circ \text{ のとき }$$

$$f(\theta) = [\tan(90 - \phi_r)^\circ]^{-0.35} \quad (10)$$

(8)式の  $\rho_s$  は粒子の真密度,  $Z$  は Heywood によって定義された粒子の形状係数,  $c$  は付着力である。

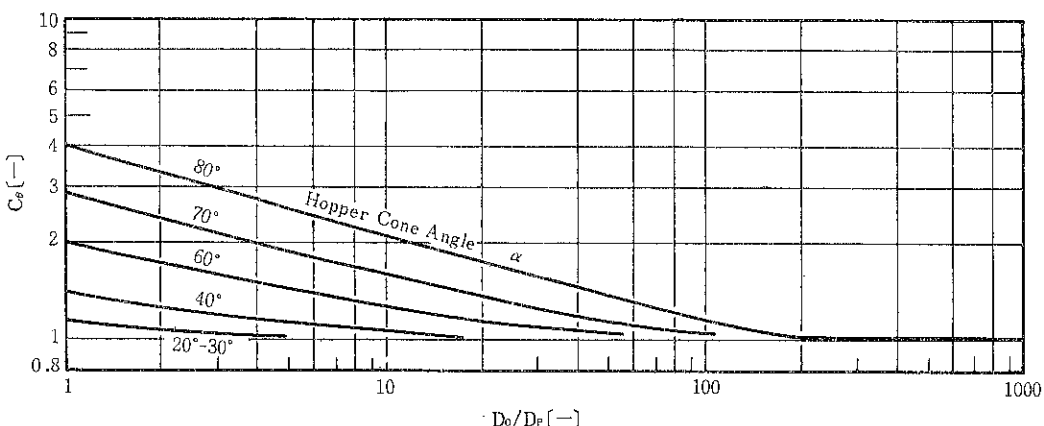


Fig. 8 ホッパー角修正係数 (Rausch, Zenz)

$D_p \geq 0.3$  mm ならば付着力は無視し得るので、(8)式の  $\exp$  の項は 1 とおけるとしている。

$f(\theta)$  を(9), (10)式のように 2 つの領域に分けたのは、 $W$  の  $\theta$  依存性が安息角  $\phi_r$  を境にして変わるという考え方に基くものである。Rose らは  $\alpha < \phi_r$  なるホッパーでは粉粒体は角  $\phi_r$  の傾斜面上を動くとしているが、この考えは正しくない。筆者の実験では、 $\alpha < \phi_r$  においても粉粒体はホッパー壁面上を滑ることが確認された。

Harmens<sup>15)</sup>(1963) は、 $\alpha > \phi_r$  のときは Rose らの式(9)を用い、 $\alpha \leq \phi_r$  のときは  $W = W_{\alpha=0}$  と考え、次式を提出している。

$$\mu_r \tan \frac{\theta}{2} < 1 \text{ すなわち } \alpha > \phi_r \text{ のとき}$$

$$W = W_{\alpha=0} \times \left( \mu_r \tan \frac{\theta}{2} \right)^{-0.35} \quad (11)$$

$$\mu_r \tan \frac{\theta}{2} \geq 1 \text{ すなわち } \alpha \leq \phi_r \text{ のとき}$$

$$W = W_{\alpha=0} \quad (12)$$

Циборовский & Бондзыньский<sup>75)</sup>(1963) は無次元積 ( $\rho_b A_0 \sqrt{2g D_0} / W$ ) ( $D_0/D_p$ ) 対  $D_0/D_p$  を角  $\alpha$  をパラメーターとして普通方眼紙上にプロットして、直線の相関を得て実験式

$$\rho_b A_0 \sqrt{2g D_0} W^{-1} = \left( 78.45 \sin \frac{90^\circ - \alpha}{2} - 2.93 \right)$$

$$\times \left( \frac{D_p}{D_0} + 0.0115 \right) + 1.61 \quad (13)$$

を提出している。 $A_0$  は流出口の断面積で  $\pi D_0^2 / 4$  である。実験は  $D_p = 0.14 \sim 0.71$  mm の砂と  $D_0 = 1.5 \sim 5.0$  mm,  $\alpha = 0 \sim 85^\circ$  のホッパーを用いて行われた。

以上のように、II 定理の適用に際し、様々な無次元積が用いられている。 $W$  に関する無次元積において、長さを表わす因子として、Deming ら、Rausch、田中らは粒子径  $D_p$  を採り、Rose らと Циборовский らは出口径  $D_0$  を採っている。五十嵐<sup>24)</sup>(1977) の運動量理論によれば

$$W / \rho_s A_0 \sqrt{g D_0} = \zeta_h \quad (14)$$

ここに、 $\zeta_h$  は粉粒体の物性および壁の条件により定まる無次元数である。 $(14)$  式は  $W$  に関する無次元積の長さの因子としては  $D_0$  を探るべきことを示している。

### 2.3 流体アナロジー

今木<sup>25)</sup>(1962) は流体オリフィスの流量公式からの類推により

$$W = \frac{\pi}{4} D_0^2 C_d \rho_b \sqrt{2g (k_p D_0)} \quad (15)$$

と表わした。ここに  $C_d$  は流量係数、 $k_p$  は粉粒体圧力に関係する係数である。砂、ガラス球、ナタネ、アワによる  $D_0/D_p = 5 \sim 30$  の実験データを整理して

$$W = 0.036 \left[ \frac{(D_0/D_p)^{0.64}}{(\mu_i \tan \alpha)^{0.9}} \right] \rho_b A_0 \sqrt{2g D_0} \quad (16)$$

を得た。 $\mu_i$  は直接剪断実験により求めた値であり、 $\tan \phi_r$  よりかなり小さな値となっている。 $(16)$  式は  $\alpha$  の増加に対し  $W$  が減少することを示し、これは実験事実に反する。式作成の途中で何かのまちがいがあったものとみられる。

Zenz<sup>73)</sup>(1962) は堰(せき)を越える液体流れに対するアナロジーから流出速度式を求めた。Francis の堰の流量公式を変形すると

$$w_1 \propto \rho_1 h_w^{1/4} \quad (17)$$

となる。ここに、 $w_1$  は単位面積、単位時間当たり堰を流れる液体の質量流量、 $\rho_1$  は液体の密度、 $h_w$  は堰のヘッドである。一方、Rausch<sup>51)</sup> の相關の別形式として、 $w_s \sqrt{\tan \phi_r / C_w C_g} \sqrt{g} \rho_b \sqrt{D_p}$  を  $D_0/D_p$  に対して両対数紙上にプロットすると直線となり

$$\frac{w_s D_p^{0.2}}{\rho_b \sqrt{g} D_0^{0.7}} \left[ \frac{\sqrt{\tan \phi_r}}{C_w C_g} \right] = 0.23 \quad (18)$$

が得られる。ここに、 $w_s$  は単位面積、単位時間当たりの粉粒体の質量流量である。 $(18)$  式を書きかえると

$$w_s = \left[ \frac{0.23 \sqrt{g} C_w C_g}{\sqrt{\tan \phi_r}} \left( \frac{D_0}{D_p} \right)^{0.2} \right] \rho_b D_0^{0.5} \quad (19)$$

$(17)$  式と  $(19)$  式は係数だけのちがいであって同形である。

$(19)$  式を、国井の式(4)と比較するため、書きかえると

$$\frac{W (\tan \phi_r)^{1/4}}{C_w C_g \sqrt{g} \rho_b D_p^{2.5}} = 0.181 \left( \frac{D_0}{D_p} \right)^{2.7} \quad (20)$$

となり、両式はほぼ一致する。

Zenz は  $(19)$  式の係数 [ ] の中味は吟味を要するとして、 $C_w$ 、 $\tan \phi_r$ 、 $D_0/D_p$  をすべて省略して、平底のオリフィスからの流出速度式として

$$w_s = 1.2 \rho_b D_0^{1/2} \quad (21)$$

を得た。ここに、 $D_e$  は Brown<sup>6)</sup>(1960) の empty annulus を考慮した有効オリフィス直径で、 $D_p = D_0 - 1.5 D_p$  とした。 $(21)$  式の各物理量の単位は  $w_s$  [lb/s·ft<sup>2</sup>]、 $\rho_b$  [lb/s·ft<sup>3</sup>]、 $D_e$  [in] である。 $(19)$  式と  $(21)$  式の精度計算を行なったところ、 $(21)$  式の方が優れていることが分かった。ホッパーからの流出速度  $W$  は  $(21)$  式を用いて、 $W = w_s \times (\pi D_e^2 / 4)^{1/2} \times C_g$  とするわけにはいかない。なぜなら、empty annulus はホッパーの傾斜角  $\alpha$  が増加すると減少し、 $D_e$  は  $\alpha$  によって変化するからである。Zenz は、オリフィスに対しては  $(19)$  式よりは精度の高い  $(21)$  式を得たが、 $D_e$  の導入のために、ホッパーに対する式を得るまでに到っていない。

### 2.4 動的アーチモデル

動的アーチモデルによる流出速度式の導出は、オリフィス、ホッパーのいずれに対しても多くの研究者により試みられている。流出口の近傍に動的アーチが形成されるという仮説は実際の現象とかけ離れたものでないこと

は Brown ら<sup>6)</sup>(1960), フィアルコフ ら<sup>34)</sup>(1961), 出光 ら<sup>18)66)</sup>(1966), Perry ら<sup>46)47)</sup>(1967) の実験で明らかにされている。ただその形状、大きさ、周期は複雑であって各種のモデルが提出されているゆえんである。

Johanson<sup>27)</sup>(1965) はホッパー流出口の上に厚さが一様なアーチが動的平衡にあると考え、慣性力と粉粒体応力と重力のつりあい方程式から次式を導いた。

$$W = \rho_b A_0 \sqrt{\frac{D_p g}{4 \tan \beta}} \sqrt{1 - \frac{ff}{ff_a}} \quad (22)$$

ここに、ff はアーチングに対するホッパーの臨界 flow factor, ff<sub>a</sub> は粉粒体の実際の flow factor である。ff の値は Johanson ら<sup>26)</sup>(1964) の文献に線図として与えてあるが、最近 Arnold & McLean<sup>34)</sup>(1976) は Walters<sup>68)</sup>(1973) の壁面応力の理論に基いて ff の解析解を与えており、ff<sub>a</sub> の値は粉粒体の flow function から実験的に求めなければならない。砂やガラスピースのように流動性の良い粉粒体に対しては ff/ff<sub>a</sub> = 0 としてよい。

篠原 ら<sup>60)62)</sup>(1967, 1968) はホッパー出口直上に高さ H<sub>A</sub> の円柱形の動的アーチを仮定し、自由落下法則および質量保存則から

$$\frac{W}{\rho_b \sqrt{g D_p^{2.5}}} = \frac{\pi}{4} \left( \frac{D_p g}{v_A^2} \right)^{1/2} \left( \frac{1-\epsilon_0}{1-\epsilon_A} \right)^{1/2} \times \left( \tan \frac{\theta}{2} \right)^{-1/2} \left( \frac{D_0}{D_p} \right)^{2.67} \quad (23)$$

を導いた。ここに v<sub>A</sub> は高さ H<sub>A</sub> なる A 断面の粉粒体の平均速度、ε<sub>A</sub>, ε<sub>0</sub> はそれぞれ、断面 A およびホッパー出口における空間率である。

田中・川合の式(6), (7)および Rose & Tanaka の式(9)によれば、W の θ 依存性は大略

$$W \propto \left( \tan \frac{\theta}{2} \right)^{-1/2} \quad (24)$$

と表わされる。然るに式(23)では tan(θ/2) の指数は -1/2 となっており、式(24)のそれとかなり異なっている。その相違は次のように考えることにより理解できよう。すなわち、v<sub>A</sub> は

$$W = \pi \left( H_A \tan \frac{\theta}{2} + \frac{D_0}{2} \right)^2 v_A \rho_s (1 - \epsilon_A) \quad (25)$$

により定まるが、この v<sub>A</sub> を式(24)に代入すると W は H<sub>A</sub> の関数となる。H<sub>A</sub> は一定とは考えられず、D<sub>0</sub>, θ, 粉粒体物性によって変わるであろう。すなわち式(24)における W の θ 依存性は見掛け上のものとみなければならない。従って、式(24)は v<sub>A</sub> が解明されない限り、流出速度式として用いることはできない。

長谷川 ら<sup>18)</sup>(1967) は フィアルコフ ら<sup>35)</sup>(1961) がオリフィス上に考えた梢円体アーチと相似形のアーチがホッパー内に生ずると仮定して次式を導いた。

$$W = \frac{\pi}{8} \rho_b D_0^{2.5} g^{0.5} \left[ \left\{ \mu_i \left( 1 + \frac{D_p}{D_0} + \frac{D_p}{D_0} \frac{1 - \mu_i}{\sqrt{1 + \mu_i^2}} \right) \times \left( \sqrt{1 + \lambda^2} - \lambda \right) + \frac{D_p}{D_0} \frac{1}{\tan(\beta/2)} \right\}^{1/2} + \left\{ \frac{D_p}{D_0} \frac{1}{\tan(\beta/2)} \right\}^{1/2} \right] \quad (26)$$

ただし

$$\lambda = \mu_i \left( 1 + \frac{D_p}{D_0} + \frac{D_p}{D_0} \frac{1 - \mu_i}{\sqrt{1 + \mu_i^2}} \right) / \left( 1 + \frac{D_p}{D_0} \right) \tan \frac{\beta}{2} \quad (27)$$

## 2.5 ブロックフローモデル

Shinohara & Tanaka<sup>68)</sup>(1974) はホッパー出口面から自由表面に達する円柱状の粉粒体塊が一体となって間歇的に流出するものと考え、粉粒体塊の運動方程式と振動数から流出速度式を導いた。得られた式は測定困難な因子が複雑な関数で表わされていて実用的ではないが、そこに展開されている理論は付着性粉粒体の流れのメカニズム解明の上で有益な示唆を与えている。

## 2.6 最小エネルギー理論

Brown<sup>7)</sup>(1961) は粉粒体の運動に流体力学の流管の概念を導入し、微小体積要素の位置エネルギーと運動エネルギーの和が粒子の衝突、回転、摩擦により流管に沿って減少し、流出口で最小になると見て流出速度式を導いた。結果は無次元表示により次のように与えられている。

$$\frac{4W}{\rho_b \pi (D_0 - \xi)^2 (g (D_0 - \xi))^{1/2}} = \frac{2(1 - \cos^{1/2} \beta)}{3 \sin^{1/2} \beta} \quad (28)$$

ここに、ξ は empty annulus である。Brown は radial flow を仮定したので、この理論はオリフィス、ホッパーのいずれにも適用できるとしている。

平底容器においては角 β の傾斜面上で粉粒体同士の摩擦が生ずるのに対し、ホッパーでは粉粒体と壁面での摩擦を生ずる。従って、前者においては粉粒体間の摩擦状態、後者においては粉粒体-壁間の摩擦状態が流出速度に関係するはずであるが、Brown の理論はこのことに関しては何の情報も提供していない。これは Brown の理論がエネルギーの総和の変化だけに注目し、その変化のプロセスについては配慮していないためである。

平底容器においては角 β [Brown ら<sup>8)</sup>(1965) はこの角を angle of approach (接近角) と称している]に問題がある。Brown は流動領域と静止領域の境界線 (流動境界線) は直線で近似できるとして radial flow を仮定したのであるが、流動境界線は五十嵐<sup>22)</sup>(1969) の砂を用いた実験では直線にはならず指數曲線となつた。三輪 ら<sup>38)</sup>(1973) の実験においても流動境界線は曲線となり、接近角 β を求めることは困難であった。たとえ、第 1 近似として流動境界線は直線であるとしても、流動境界線は時間とともに変わるので対し流出速度

は変化しないという事実<sup>23)</sup>から考えると、流出速度と接近角は直接的に関係していないように思われる。ホッパーの場合には角  $\beta$  は固定されているのであるからこのような問題はないが、上に指摘した粉粒体一壁摩擦の問題が残る。Brown は二三のデータと理論値と比較して、両者の一致は良好であると述べているが、Miles<sup>24)</sup>(1970) の実験値は Brown の理論値から著しくかけ離れている。

## 2.7 運動方程式による解析

Savage<sup>25)</sup>(1965) は運動方程式の慣性項を考慮して、速度場と応力場を結合させ、流出口における粒子の平均速度  $\bar{u}$  の解として次式を得た。

$$\bar{u} = \left[ \frac{(1+k)gD_0}{2\{(k-1)(m+1)-1\}\sin\beta} \right]^{\frac{1}{2}} \quad (29)$$

ただし

$$k = \frac{1+\sin\phi_i}{1-\sin\phi_i} \quad (30)$$

$\phi_i$  は内部摩擦角である。<sup>(29)</sup>式において、 $m$  はホッパーの形状因子で、二次元流れでは  $m=0$ 、軸対称流れでは  $m=1$  とおく。流出速度は<sup>(29)</sup>式から得られ

$$\frac{W}{\frac{1}{4}\pi\rho_b D_0^{2.5}\sqrt{g}} = \left\{ \frac{(1+k)}{2(2k-3)\sin\beta} \right\}^{\frac{1}{2}} \quad (31)$$

理論値を Deming ら<sup>12)</sup>の実験値と比較したところ、<sup>(31)</sup>式は過大に見積ることがわかった。その理由は解析を進めるに際し、角  $\beta$  を小さいと仮定したことおよび粉粒体一壁摩擦を無視したためであるとしている。

Savage の理論は実験値と合わなかったとはいえ、内部摩擦角が流出速度に及ぼす影響を探りあげた点で、Brown<sup>27)</sup>の理論より一步前進したものといえる。

Savage<sup>28)</sup>(1967) は粉粒体一壁摩擦を考慮することにより先の理論<sup>27)</sup>を更に前進させた。運動方程式を摂動法により近似的に解いて

$$\begin{aligned} \frac{W}{\frac{1}{4}\pi\rho_b D_0^{2.5}\sqrt{g}} &= \left[ \frac{k+1}{2(2k-3)\beta} \right]^{\frac{1}{2}} \\ &+ \frac{\epsilon_p^2 k}{\beta} \left[ \frac{1}{2} \{2(2k-3)(k+1)\beta\}^{-\frac{1}{2}} \right. \\ &\left. - \left\{ \frac{1+k}{2(2k-3)^3\beta} \right\}^{\frac{1}{2}} \right] + \dots \end{aligned} \quad (32)$$

を得た。 $\epsilon_p = (\tan\phi_w)^{\frac{1}{2}}$  で、 $\phi_w$  は壁摩擦角である。<sup>(32)</sup>式による理論値は角  $\beta$  が小さい場合を除けば、Deming ら<sup>12)</sup>の実験値と一致する。

Carleton<sup>10)</sup>(1972) はホッパー内の流れは radial flow であると仮定し、ホッパー出口面における粉粒体要素に働く力は慣性力と重力だけであるとして

$$Q = \frac{\pi}{8} D_0^{2.5} \left( \frac{g}{\sin\beta} \right)^{0.5} \quad (33)$$

を導いた。Q は体積流量である。Q にホッパー出口に

おける見掛け密度を乗せれば流出速度が得られ、W の  $\beta$  依存性は<sup>(29)</sup>式と同じになる。

綱川・青木<sup>26)</sup>(1977) は Holland ら<sup>17)</sup>(1969) が提出した運動方程式を解いて、出口の粒子速度  $u_o$ 、流出速度 W の式として

$$u_o = \left[ \frac{g(D_0 - k_e D_p)}{2(1+m)\sin\beta'} \right]^{\frac{1}{2}} \times [\cos\psi - F(\phi_i, \phi_w, \beta, m, \psi)]^{\frac{1}{2}} \quad (34)$$

$$\frac{W}{\rho_s A_0 \sqrt{g D_0}} = \frac{(1-\epsilon) \left( 1 - k_e \frac{D_p}{D_0} \right)^{1.5+m}}{(\sqrt{2})^{1-m} \sin^{1.5+m} \beta'} \times \int_0^{\beta'} \sin^m \psi [\cos\psi - F(\phi_i, \phi_w, \beta, m, \psi)]^{\frac{1}{2}} d\psi \quad (35)$$

を得た（記号は Fig. 9 参照）。流動粉粒体の応力を Walters<sup>28)</sup>(1973) の理論が適用され、関数 F は<sup>(36)</sup>式のように求められた。

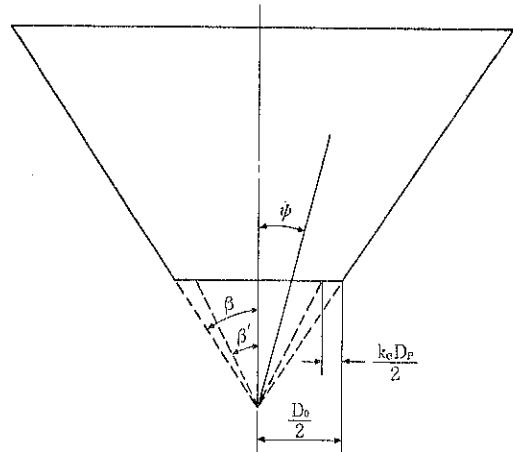


Fig. 9 (35)式の記号の説明図

$$\begin{aligned} F(\phi_i, \phi_w, \beta, m, \psi) &= C[h(\psi) \\ &+ \sin\phi_i \sin 2(\phi - \psi) \times \cos\psi f'(\psi)] \\ &+ C \sin\phi_i h(\psi) [\cos 2(\phi - \psi) \left( 2 \frac{d\phi}{d\psi} - 5 - m \right) \\ &+ \sin 2(\phi - \psi) (m \cot\psi - \tan\psi) - m] \end{aligned} \quad (36)$$

ただし

$$C = D/2k'(K-1) \quad (37)$$

$$D = \frac{\cos\eta(1+\sin^2\phi_i) - 2(\sin^2\phi_i - \sin^2\eta)^{\frac{1}{2}}}{\cos\eta(1+\sin^2\phi_i - 2y \sin\phi_i)} \quad (38)$$

$$\eta + \sin^{-1}(\sin\eta/\sin\phi_i) = 2(\beta + \omega) \quad (39)$$

$$\omega = \frac{1}{2} \left\{ \phi_w + \sin^{-1} \left( \frac{\sin\phi_w}{\sin\phi_i} \right) \right\} \quad (40)$$

$$y(m=1) = 2 \{ 1 - (1-c)^{\frac{1}{2}} \} / 3c \quad (41)$$

$$y(m=0) = \{ (1-c)^{\frac{1}{2}} + \sin^{-1} \sqrt{c} / \sqrt{c} \} / 2 \quad (42)$$

$$c = (\tan\eta / \tan\phi_i)^2 \quad (43)$$

$$k' = \frac{1 - \sin\phi_1 \cos 2(\beta + \omega)}{1 + \sin\phi_1 \cos 2(\beta + \omega)} \quad (44)$$

$$K = (1+m)(ED \cot \beta + D - 1) \quad (45)$$

$$E = \frac{\sin\phi_1 \sin 2(\beta + \omega)}{1 - \sin\phi_1 \cos 2(\beta + \omega)} \quad (46)$$

$$h(\psi) = (f(\psi) + 1) \cos \psi \quad (47)$$

$$f(\psi) = 1 + 2 \tan^2 \phi_1 \quad (48)$$

$$- \frac{2Ek'}{\cos \phi_1} \left[ \left( \frac{\tan \phi_1}{Ek'} \right)^2 - \left( \frac{\tan \psi}{\tan \beta} \right)^2 \right]^{\frac{1}{2}} \quad (49)$$

$$\phi = \frac{1}{2} \sin^{-1} \left[ \frac{2Ek' \tan \psi}{\sin \phi_1 \tan \beta (f(\psi) + 1)} \right] \quad (50)$$

(34)式による粒子速度の理論値は Bosley ら<sup>5)</sup> (1969) の実験値とほぼ合うことが確認されている。また、(35)式による流出速度の理論値は、 $\epsilon$  をパラメーターとするとき Rose & Tanaka<sup>56)</sup> の実験値と合う。しかし、 $\epsilon$  の値が大幅に変えられているので、傾向的な一致であり、絶対値の一致は不十分である。

### 3. くさび形ホッパー

Fig.10に示すような前後面壁が平行で側面が傾斜したホッパーは長方形のスロットを有するので、スロット型ホッパーまたはくさび形ホッパーと呼ばれる。流れは二次元流れとなるので、ときに二次元ホッパーとも呼ばれるが、ここでは、くさび形ホッパーと称することにする。

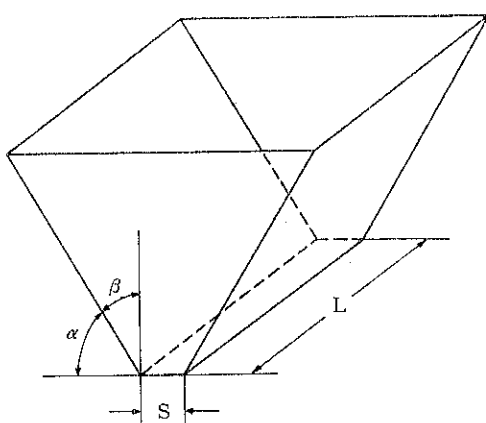


Fig. 10 くさび形ホッパーの諸元

Table 1 くさび形ホッパーからの流出速度  
(S=10mm, L=100mm; 流出速度の単位はg/s)

物 質 名	$D_p$ [mm]	$\rho_s$ [g/cm³]	ホッパー壁の傾斜角 $\alpha$			
			0°	22°	42°	52°
Ottawa sand	0.6~0.8	2.70	400	360	400	425
Clover	1.2~1.4	1.35	140	125	140	160
Molecular sieve	1.7~2.4	1.85	127	110	125	140

### 3.1 特定条件下での実験データ

青木・館野<sup>1)</sup> (1965) は  $D_p=1.075$  mm の相馬標準砂を用いて流出実験を行ない、W 対  $\tan \beta$  を両対数紙にプロットしたところ、 $\pi/4 - \phi_1/2$  を境にして勾配の異なる二本の直線を得た。これを式で表わすと

$$\beta < \pi/4 - \phi_1/2 \text{ のとき } W \propto (\tan \beta)^{-0.42} \quad (50)$$

$$\beta > \pi/4 - \phi_1/2 \text{ のとき } W \propto (\tan \beta)^{-0.11} \quad (51)$$

実験範囲は  $S=5 \sim 22.4$  mm,  $L=20 \sim 50$  mm,  $\beta=10 \sim 50^\circ$  である。

Levinson ら<sup>31)</sup> (1977) は  $S=10$  mm,  $L=100$  mm の実験から Table 1 に示す流出速度 [g/s] を得た。W/W<sub>a=0</sub> は角  $\alpha$  が  $0 \sim 42^\circ$  の間で 1 より小さくなっている。円錐形オリフィスの Залогин ら<sup>74)</sup> のデータ (Fig. 2) と類似している。

### 3.2 動的アーチモデル

Johanson<sup>27)</sup> (1965) は 2.2 節で述べたモデルからくさび形ホッパーに対する流出速度式として

$$W = \rho_b S L \sqrt{\frac{Sg}{2 \tan \beta}} \cdot \sqrt{1 - \frac{ff}{ff_a}} \quad (52)$$

を提出している。

### 3.3 最小エネルギー理論

Brown<sup>75)</sup> (1961) の最小エネルギー理論は、くさび形ホッパーに対しては次式を与える。

$$\frac{W}{\rho_b L (S-\xi) (g(S-\xi))^{\frac{1}{2}}} = \frac{\int_0^\beta \cos^{\frac{1}{2}} \psi d\psi}{\sqrt{2 \sin^{\frac{1}{2}} \beta}} \quad (53)$$

$$\approx \frac{\sqrt{\beta}}{\sqrt{2} \sin \beta} \quad (54)$$

(53), (54) 式の差は高々 1% である。

### 3.4 運動方程式による解析

Savage<sup>57)</sup> (1965) の解析によれば、(29)式において  $m=0$  として  $\bar{u}_0$  を求め、 $W=\rho_b S L \bar{u}_0$  なることを考慮して

$$\frac{W}{\rho_b S L \sqrt{g S}} \left\{ \frac{1+k}{2(k-2) \sin \beta} \right\}^{\frac{1}{2}} \quad (55)$$

となる。

Mróz ら<sup>41)</sup> (1971) は radial flow と Coulomb の降

伏条件の下に、慣性力を考慮した運動方程式から応力、速度場を決定して、くさび形ホッパーに対する流出速度式を得た。この式は複雑な関数の積分を含むため、数値計算によりグラフとして示されている。

Morrison & Richmond<sup>40)</sup> (1976) は Spencer<sup>64)</sup> (1964) および Pemberton<sup>45)</sup> (1965) の流動粉粒体に対する平面応力場理論で考慮されなかった重力および慣性力を考慮した一般理論を展開し、これをくさび形ホッパーからの流出速度の問題に適用して、次式を得た。

$$Q = Q_s \tanh(a^2 Q_s t) \quad (56)$$

ただし

$$Q_s = w_1 \left\{ \left( \frac{R^{n-1}}{R^{2+n}-1} \right) \left[ \left( \frac{2g w_1 \tan \alpha}{1 - 3 \sin \phi_i} \right) \left( \frac{1 - R^{n-1}}{R^n - 1} \right) - \frac{2c \cot \phi_i}{\rho_b (1 - \sin \phi_i)} \right] \right\}^{1/2} \quad (57)$$

$$a^2 = \frac{\sin \phi_i}{w_1^2 \tan \alpha} \left( \frac{R^{2+n}-1}{R^n - 1} \right) \quad (58)$$

$$R = w_1 / w_0, \quad n = 2 \sin \phi_i / (1 - \sin \phi_i) \quad (59)$$

ここに、 $Q$  はスロット半幅  $w_0 = S/2$ 、奥行  $L = 1$  (単位長さ) を通して流出する体積流量、 $w_1$  はホッパー入口の半幅である。 $t$  はホッパーゲートを開いてからの時間を表わし、流出中、粉粒体層の高さは一定に保たれているものとする。

#### 4. 角錐形ホッパー

4つの壁が出口に向かって傾斜したピラミッド形状のホッパーを角錐形ホッパーと称することにする。角錐形ホッパーは実際に用いられているにも拘らず、研究報告は少ない。

今木<sup>25)</sup> (1962) は流体アナロジーにより次の実験式を提出している。

$$W = 5.4 \left( \frac{\mu_i \tan \alpha}{(D_h/D_p)^{0.52}} \right) \rho_b \frac{\pi}{4} D_h^2 \sqrt{2g D_h} \quad (60)$$

ここに、 $D_h$  は次式で定義される円相当直徑である。

$$D_h = \frac{(\text{流れの断面積})}{(\text{浸透長})} \times 4 \quad (61)$$

(60)式において、 $\mu_i$  と  $\alpha$  が与えられたとき

$$W / (\rho_b \frac{\pi}{4} D_h^2 \sqrt{g D_h}) \propto (D_h/D_p)^{-0.52} \quad (62)$$

となる。ところが、円錐形オリフィスに対する国井の式(4)および田中らの式(6)は、それぞれ

$$W / (\rho_b \frac{\pi}{4} D_o^2 \sqrt{g D_o}) \propto (D_o/D_p)^{0.246} \quad (63)$$

$$W / (\rho_b \frac{\pi}{4} D_o^2 \sqrt{g D_o}) \propto (D_o/D_p)^{0.20} \quad (64)$$

角錐形ホッパーにおいても円錐形ホッパーと同様に  $D_h/D_p$  が大きいとき (64)式で定義される無次元流出速度は大きくなることが期待されるのに、(62)式では逆の関係にな

っている。

青木・綱川<sup>23)</sup> (1968) は出口が長方形の角錐形ホッパーからの流出速度の実験式として次式を提出している。

$$W = C \rho_b V g D_p^{2.5} \left\{ \frac{(B-D_p)(L-D_p)}{D_p^2} \right\}^{1.33} \times \left( \tan \frac{\theta}{2} \right)^{-n_1} \quad (65)$$

ここに、 $B$  と  $L$  は出口の縦横の長さ、 $\theta$  はホッパー開き角である。指數  $n_1$  の値は球形粒子の  $20^\circ \leq \theta \leq 80^\circ$  より砂の  $20^\circ \leq \theta \leq 53^\circ$  に対しては  $n_1 = 0.33$  で、円錐形ホッパーにおける田中ら<sup>65)</sup> の値  $n_1 = 0.32$  に近い。(65)式の係数  $C$  は次式で与えられる。

$$\frac{C}{C_0} = \left[ \frac{(B-D_p)(L-D_p)}{(B-D_p)+(L-D_p)} \cdot \frac{2}{\sqrt{BL-D_p}} \right]^{n_2} \quad (66)$$

ここに、 $C_0$  は出口が正方形のときの  $C$  の値を表わし、表面運動角を  $\phi_k$  とすると

$$C_0 = 0.175 (\tan \phi_k)^{-1.3} \quad (67)$$

で与えられる。(66)式の指數  $n_2$  の値はホッパー開き角と粉粒体の種類により異なる値をとる。

(65)式は  $B/L = 1 \sim 6$ 、 $B \times L = 0.61 \sim 16.3 \text{ cm}^2$ 、 $\theta = 20^\circ \sim 80^\circ$  の流出実験データから得られた。

#### 5. 曲線形ホッパー

Daeves & Flachsbart<sup>11)</sup> (1952) は劇場などの狭い入口における群集の流れを研究する目的で、鋼球を用いたモデル研究を行なった。その結果入口形状を適当な曲線形によることにより単位時間当りの通過量は著しく増大することを見い出した。

Table 2 鋼球の流出時間

出 口 形 状	時 間 [S]	割 合 (%)
a	67	100.0
b	55	82.1
c	48	71.7
d	40	59.7
e	33	49.3
f	20	29.8
g	19	28.3

Otte<sup>48)</sup> (1953) は Daeves ら<sup>11)</sup>の定性的な研究を定量的な研究に進めた。Otte は、水平面に対し  $4^\circ$  の角をなす平板上に乗せた直径 5 mm の鋼球 2,000 個が Fig. 11 に示す種々の形状の出口 (その幅はいずれも 20 mm) から流出する時間を測定し、Table 2 の結果を得た。形状 e のように出口を少し丸くすることにより流出時間は形状 a の半分にすることができる。

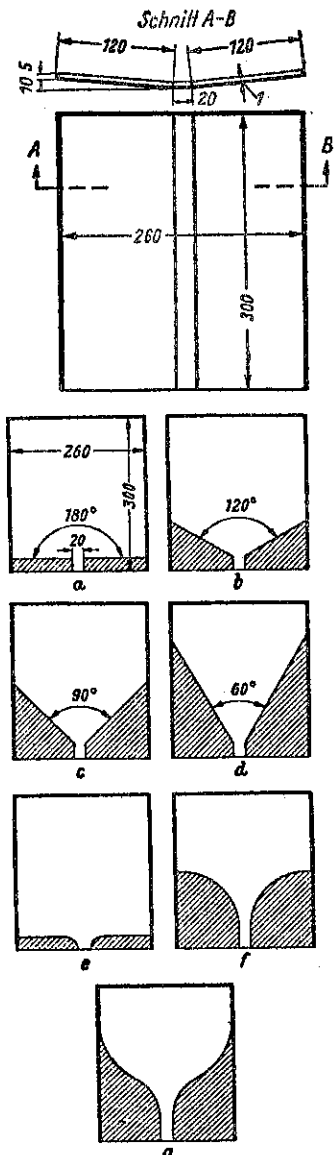


Fig. 11 出口形状が流出速度に及ぼす影響 (Otte)

Daeves らと Otte の研究は、ホッパーからの流出速度の増加のためには出口近傍の縦断面の形状を曲線形にするのが効果的であることを示唆している。

Lee<sup>29)</sup> (1960) はホッパー内の石炭の流动の研究を行った際、Fig.12のような曲線形ホッパーは円錐形ホッパーに比べて流动抵抗が小さいことを見いだし、これを“双曲线ホッパー”と称した。ホッパー壁の流动抵抗を小さくするためには、ホッパー横断面積の鉛直下方への減少率を一定にさせるべきであるとしている。鉛直下方にy座標をとり、ホッパー横断面積をA、距離dy下

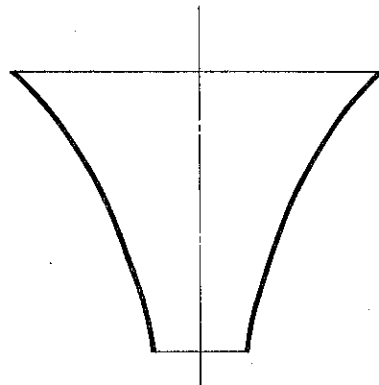


Fig. 12 Lee の双曲线ホッパー

ったときの面積変化高を  $dy$  とすれば

$$-\frac{dA}{A \cdot dy} = C = \text{const.} \quad (68)$$

これを積分して

$$A = A_1 e^{-Cy} \quad (69)$$

ここに、 $A_1$  はホッパー入口の断面積である。

Richmond<sup>55)</sup> (1963) は、最適ホッパー形状はホッパー内のあらゆる場所でまさにアーチを生じようとしているようなホッパーの場合に得られると考え、ホッパー内の粉粒体の応力解析から最適ホッパー形状を求めた。平面ホッパーの場合は、ホッパー出口中心に座標原点をとり、水平方向にx軸、鉛直上方にy軸をとり、 $S/2=x_0$  とすると

$$x = x_0 + \left( x_0 - \frac{C_2}{C_1} \right) (e^{c_1 y} - 1) \quad (70)$$

ただし

$$C_1 = \frac{r_b (1 - \sin \phi_i)}{2c \cos \phi_i} \quad (71)$$

$$C_2 = \frac{C_1 c_w}{r_b} + \tan \phi_w \quad (72)$$

ここに、 $r_b$  は粉粒体の比重、 $c$  は粉粒体同士の付着力、 $c_w$  は粉粒体一ホッパー間の付着力である。軸対称ホッパーの場合は、ホッパー出口中心に座標原点をとり、水平方向にr軸、鉛直上方にz軸をとり、 $D_0/2=r_0$  とすると

$$r = r_0 + \left( r_0 - \frac{2C_2}{C_1} \right) (e^{c_1 z/2} - 1) \quad (73)$$

なる方程式によって最適ホッパー形状が与えられる。

Gardner<sup>18)</sup> (1963) は、“最適ホッパー形状とは、流出を妨げることなくホッパー水平断面の寸法を鉛直方向に最も急速に減少させるような形状である”と定義した。そして、Richmond<sup>56)</sup> が仮定した自由アーチ（応力を生じない面）がホッパー内のいたるところで生ずるということは不可能であるとして、別の仮定を設けて平面ホ

ッパーの最適形状を求めた。

Gardner<sup>14)</sup>(1964)は軸対称ホッパーの最適形状についても報告している。

以上のような種々の曲線形ホッパーからの流出速度がどのようになるかは今後の課題である。

## 6. 結 言

種々の形状のホッパーから粉粒体が重力のみにより流出する際の流出速度に関する既往の研究をアプローチの仕方から分類して、その要点を述べた。

流出速度はホッパーの形状、寸法、壁面粗さ、および粉粒体の見掛け密度（真密度と空間率）、粒子径、内部摩擦係数（形状係数）、付着力など多くの因子に関係している。上に見てきたように、これらの因子の流出速度に及ぼす影響について様々な実験データと理論が提出されているが、ホッパーの設計および操作に十分な情報を与えていとは言い難い。この方面的研究の一層の進展が望まれる。

なお、微粉になると空気流の影響が無視し得なくなり、その評価に関する研究もなされているが、本稿では紙数の関係で割愛した。

### 主 要 記 号

A	: ホッパーの横断面積
A <sub>0</sub>	: ホッパー流出口の面積
C <sub>w</sub>	: 壁効果修正係数
C <sub>θ</sub>	: ホッパー角修正係数
c	: 付着力
D <sub>h</sub>	: 似式で定義される円相当直径
D <sub>0</sub>	: ホッパー流出口の直径
D <sub>p</sub>	: 平均粒子直径
g	: 重力の加速度
k	: $=(1+\sin \phi_i)/(1-\sin \phi_i)$
L	: くさび形ホッパーにおけるスロットの長さ
m	: ホッパーの形状因子（くさび形ホッパーでは $m=0$ 、円錐形ホッパーでは $m=1$ ）
Q	: 体積流量
S	: くさび形ホッパーにおけるスロット幅
u <sub>0</sub>	: ホッパー出口における粒子の速度
ū <sub>0</sub>	: ホッパー出口における粒子の平均速度
W	: ホッパーからの粉粒体の質量流出速度
W <sub>α=0</sub>	: オリフィスからの粉粒体の質量流出速度
α	: 水平面から測ったホッパー壁の傾斜角
β	: 鉛直面から測ったホッパー壁の傾斜角
ε	: 粉粒体の空間率
θ	: ホッパー開き角

$\mu_i$	: 内部摩擦係数
$\mu_r$	: 安息角の正接
$\mu_w$	: 粉粒体一壁間の摩擦係数
$\xi$	: empty annulus (粉粒体が通過しない所の長さ)
$\rho_b$	: 粉粒体の見掛け密度
$\rho_s$	: 粉粒体の真密度
$\phi_i$	: 内部摩擦角
$\phi_r$	: 安息角
$\phi_w$	: 粉粒体一壁間の摩擦角
$\psi$	: 極座標の偏角

### 引 用 文 献

- 1) 青木隆一, 館野英紀: “ホッパーからの乾燥砂の流出について”, 化学工学協会第30年会講演要旨集, 257~258 (1965)
- 2) 青木隆一, 綱川浩: “角錐ホッパーからの粒体の流出速度式について”, 粉体工学研究会誌, 5, 1047~1051 (1968)
- 3) Arnold, P. C., Mc Lean, A. G.: “An analytical solution for the stress function at the wall of a converging channel”, Powder Technology, 13, 255~260 (1967)
- 4) Arnold, P. C., McLean, A. G.: “Improved analytical flowfactors for mass-flow hoppers”, Powder Technology, 15, 279~281 (1976)
- 5) Bosley, J., Schofield, C., Shook, C. A.: “An experimental study of granule discharge from model hoppers”, Trans. Instn Chem. Engrs., 47, 147~153 (1969)
- 6) Brown, R. L., Richards, J. C.: “Profiles of flow of granules through apertures”, Trans. Instn Chem. Engrs., 38, 243~256 (1960)
- 7) Brown, R. L.: “Minimum energy theorem for flow of dry granules through apertures”, Nature, 191, 458~461 (1961)
- 8) Brown, R. L., Richards, J. C.: “Kinematics of the flow of dry powders and bulk solids”, Rheologica Acta, 4, 153~165 (1965)
- 9) Brown, R. L., Richards, J. C.: “Principles of powder mechanics” 135~202, Pergamon Press (1970)
- 10) Carleton, A. J.: “The effect of fluid-drag on the discharge of free-flowing solids from hoppers”, Powder Technology, 6, 91~96 (1972)
- 11) Daeves, K., Flachsbart, O.: “Strömung von

- Menschenmengen”, Z. VDI, 94, 880~881 (1952)
- 12) Deming, W. E., Mehring, A. N. : “The gravitational flow of fertilizers and other comminuted solids”, Ind. Eng. Chem., 21, 661~665 (1929)
  - 13) Gardner, G. C. : “The best hopper profile for cohesive material”, Chem. Eng. Sic., 18, 35~39 (1963)
  - 14) Gardner, G. C. : “The axisymmetric “best” hopper and “best” hoppers integrated with bins”, Chem. Eng. Sci., 19, 283~288 (1964)
  - 15) Harmens, A. : “Flow of granular material through horizontal apertures”, Chem. Eng. Sci., 18, 297~306 (1963)
  - 16) 長谷川猛虎, 川合清一, 上里公平：“粒体のホッパーからの流出について”, 化学工学協会 第1回秋期大会講演要旨集, 151~152 (1967)
  - 17) Holland, J., Miles, J. E. P., Schofield, C., Shook, C. A. : “Fluid drag effects in the discharge of granules from hoppers”, Trans. Instn Chem. Engrs., 47, 154~159 (1969)
  - 18) 出光保夫, 後藤圭司, 田中達夫：“ホッパーからの粒体の流出機構に関する一考察”, 化学工学協会 第31年会講演要旨集, 423~424 (1966)
  - 19) 五十嵐平太郎, 青木隆一：“レビュー “固体の取扱い”, ホッパーからの流出”, 化学工学, 28, 698~704 (1964)
  - 20) 五十嵐平太郎：“水平円形オリフィスからの粉粒体の自然流出速度”, 化学工学, 32, 718~719 (1968)
  - 21) Igarashi, H. : “Gravity flow of non-cohesive bulk solids through a horizontal circular sharp-edged orifice”, Res. Rep. Nagaoka Tech. Coll., 4, 27~39 (1968)
  - 22) 五十嵐平太郎：“平底容器からの砂の二元流出(I)一回分流出のフロー・パターンについてー”, 粉体工学研究会誌, 6, 176~183 (1969)
  - 23) 五十嵐平太郎：“平底容器からの砂の二元流出(II)一マスフローについてー”, 粉体工学研究会誌, 6, 331~336 (1969)
  - 24) Igarashi, H. : “Gravity flow of non-cohesive bulk solids through a conical orifice”, Res. Rep. Nagaoka Tech. Coll., 13, 5~17 (1977)
  - 25) 今木清康：“ホッパー内の流動に関する研究I”, 日本機械学会前刷集”, No. 66 ('62-4, 第39期通常総会学術講演会), 17~20 (1962)
  - 26) Johanson, J. R., Colijn, H. : “New design criteria for hoppers and bins”, Iron and Steel Engineer, October, 85~104 (1964)
  - 27) Johanson, J. R. : “Method of calculating rate of discharge from hoppers and bins”, Trans. Soc., Mining Eng., 232, 69~80 (1965)
  - 28) 国井大蔵：“流動化法” 212, 自刊工業新聞社(1962)
  - 29) Lee, Y. : “Flow of coal in hoppers”, Combustion, 31, 20~27 (1960)
  - 30) Leva, M. : “Fluidization” 156~163, McGraw-Hill Co. (1959)
  - 31) Levinson, M., Shmutter, B., Resnick, W. : “Displacement of velocity fields in hoppers”, Powder Technology, 18, 29~43 (1977)
  - 32) Matthée, H. : “Zur formelmässigen Erfassung von Austragmengen aus Bunkern—Das Verfahren von Jenike”, Berb. Wiss., 13, 333~341 (1966)
  - 33) Miles, J. E. P. : “Some aspects of the flow of particulate materials from hoppers”, J. Soc. Cosmetic Chemists, 21, 53~72 (1970)
  - 34) 三輪茂雄：“粉体オリフィスの設計”, 粉碎, No. 8, 25~30 (1962)
  - 35) 三輪茂雄; 井伊谷鋼一編 “粉体工学ハンドブック” 116~123, 朝倉書店 (1965)
  - 36) 三輪茂雄：“粉粒体工学” 207~221, 朝倉書店(1972)
  - 37) 三輪茂雄：“オリフィスからの粉粒体の流出”, 粉体工学研究誌, 9, 27~32 (1972)
  - 38) 三輪茂雄, 神田正紀：“ホッパー内の粉粒体の流动について一流出角の测定ー”, 粉体工学研究会誌, 10, 324~329 (1973)
  - 39) 森川敬信：“オリフィスおよびノズルによる粒体の流出量の测定”, 粉碎, No. 9, 3~6 (1963)
  - 40) Morrison, H. L., Richmond, O. : “Application of Spencer’s ideal soil model to granular materials flow”, J. Appl. Mech., 43, 49~53 (1976)
  - 41) Mróz, Z., Szymanski, Cz : “Grarity flow of a granular material in a converging channel”, Arch. Mech. Stos., 23, 897~917 (1971)
  - 42) Orr, C. : “Particulate Technology” 156~165, Macmillan Co. (1966)
  - 43) Otte, W. : “Strömung von Menschenmengen durch Engpässe”, Z. VDI, 95, 240~241 (1953)
  - 44) Pariseau, W. G., Fowkes, R. S. : “Bin Hopper Engineering and Bulk Materials Flow ; A state-of-the-art report on empirical and theoretical analyses”, Bureau of Mines Information Circular/1972, BuMines I C 8552, 1~36 (1972)

- 45) Pemberton, C. S. : "Flow of imponderable granular materials in wedge-shaped channels", J. Mech. Phys. Solids, **13**, 351~360 (1965)
- 46) Perry, M. G., Handley, M. F. : "The dynamic arch in free flowing granular material discharging from a model hopper", Trans. Instn Chem. Engrs, **45**, 367~371 (1967)
- 47) Perry, M. G., Rothwell, E., Woodfin, W. T. : "Velocity distributions in the discharge of solids from mass-flow bunkers", Powder Technology, **14**, 81~92 (1976)
- 48) Pilpel, N. : "Flow properties of non-cohesive powders", Chemical and Process Engineering, April, 167~171 (1965)
- 49) Pilpel, N. : "The flow of powders and granular solids", British Chemical Engineering, **11**, 699 ~702 (1966)
- 50) Rao, V. L., Venkateshwaralu, D. : "Gravity flow of bulk solids in bins and hoppers", Chem. Eng. World, **7**, 47~56 (1972)
- 51) Rausch, J. M. : "Gravity flow of solid beds in vertical towers", Ph. D. thesis, Princeton Univ. (1948)
- 52) Reisner, W. : "Beitrag zur Untersuchung der Fließ- und Druckrerhältnisse von gebunkerten Schüttgüttern in Abhängigkeit von der Bunkerform", Bergb. Wiss., **8**, 175~189 (1961)
- 53) Reisner, W. : "The behaviour of granular materials in flow out of hoppers", Powder Technology, **1**, 257~264 (1967/1968)
- 54) Reisner, W. : "Probleme beim Speichern von Schüttgüttern", VDI-Berichte, Nr. 169, 5~9 (1971)
- 55) Richmond, O. : "Gravity hopper design", Mechanical Engineering, **85**, 46~49 (1963)
- 56) Rose, H. E., Tanaka, T. : "Rate of discharge of granular materials from bins and hoppers", The Engineer, **208**, 465~469 (1959)
- 57) Savage, S. B. : "The mass flow of granular materials derived from coupled velocity-stress fields", Brit. J. Appl. Phys., **16**, 1885~1888 (1965)
- 58) Savage, S. B. : "Gravity flow of a cohesionless bulk solid in a converging conical channel", Int. J. Mech. Sci., **9**, 651~659 (1967)
- 59) Schwedes, J. : "Fließverhalten von Schüttgüttern in Bunkern", 107~170, Verlag Chemie, Weinheim/Bergstr. (1968)
- 60) 篠原邦夫, 出光保夫, 田中達夫 : "ホッパーからの粉粒体流出速度式の誘導と既往の実験式との比較", 化学工学, **31**, 718~719 (1967)
- 61) 篠原邦夫 : "レビュー '粉体', 容器内の粉体の挙動", 化学工学, **32**, 752~755 (1968)
- 62) Shinohara, K., Idemitsu, Y., Gotoh, K., Tanaka, T. : "Mechanism of gravity flow of particles from a hopper", I & EC, Process Design and Development, **7**, 378~383 (1968)
- 63) Shinohara, K., Tanaka, T. : "An approximate consideration on the mechanism of gravity flow of particles through an aperture of a storage vessel on the basis of a block-flow model", Chem. Eng. Sci., **29**, 1977~1989 (1974)
- 64) Spencer, A. J. M. : "A theory of the kinematics of ideal solids under plane strain conditions", J. Mech. Phys. Solids, **12**, 337~351 (1964)
- 65) 田中達夫, 川合清一 : "粉粒体がホッパーから流れる速度について", 化学工学, **20**, 144~146 (1956)
- 66) 田中達夫 : "粉体プロセス入門", 1~5, 工学図書 (1968)
- 67) 綱川浩, 青木隆一 : "ホッパーからの粉粒体の流れに関する一考察", 粉体工学研究会春季例会講演要旨集, 28~32 (1977)
- 68) Walters, J. K. : "A theoretical analysis of stresses in axially-symmetric hoppers and bunkers", Chem. Eng. Sci., **28**, 779~789 (1973)
- 69) Welschof, G. : "Beitrag zur Messung der Ausflussmengen körniger Güter mit Blendern und Düsen", Landtech. Forsch., **11**, 138~141 (1961)
- 70) 油谷暢悦 : "オリフィスからの粉粒体の流出速度式 (I) —重力下の場合—", 粉体工学研究会誌, **12**, 289~297 (1975)
- 71) Zenz, F. A. : "How to predict gravity flow rates", Hydrocarbon Process. & Petrol. Refiner, **36**, 162~170 (1957)
- 72) Zenz, F. A., Othmer, D. F. : "Fluidization and Fluid-Particle Systems", 136~147, Reinhold Pub. Corp. (1960)
- 73) Zenz, F. A. : "Use fluid data for solids flow rates", Hydrocarbon Process. & Petrol. Refiner, **41**, 159~168 (1962)
- 74) Залогин, Н. Г., Кенеман, Ф. Е., Воробьев, В. Н. : "О механизме свободного истечения сыпучих тел", Инженерно-Физический Журнал, **3**, 18~22 (1960)
- 75) Циборовский, Я., Бондзыньски, М. : Свободное истечение сыпучего материала через отверстие в конусном днище сосуда, Инженерно-Физический Журнал, **6**, 26~35 (1963)

## 総 説

# カオリン鉱物の精製、特性とその利用

Purification, Properties and Utilizations of Kaolin Minerals

高坂 栄夫\*

Ayao Takasaka

## 1. はじめに

カオリン鉱物、硫酸バリウム、炭酸カルシウム、亜硫酸カルシウム、珪藻土、サテンホワイト、酸化チタン、酸化亜鉛、硫化亜鉛などは白色顔料として重要なものである。

カオリンは古くから使用されてきたが、その性質が研

本稿においては、カオリン鉱物の特性とわが国の製紙工業に使用されている山形県板谷産のカオリン鉱物を例にとりその産出、精製、特性および利用の面などについて述べる<sup>5)6)</sup>。

## 2. 鉱 床

カオリンの大規模な鉱床は米国の Georgia 地方にみ

Table 1 わが国のカオリンの輸入と生産

区分 国別	昭和 50 年			昭和 51 年		
	数量(t)	価格(千円)	円/t	数量(t)	価格(千円)	円/t
米 国	176,905	7,008,690	39,618	268,153	10,612,771	39,577
韓 国	92,738	622,350	6,711	83,869	602,148	7,180
北 朝 鮮	7,770	68,445	8,809	10,833	107,945	9,965
そ の 他	6,976	160,095	—	10,965	329,710	—
合 計	284,389	7,859,580	—	373,820	11,652,574	—
日 本*	298,459	—	—	230,499	—	—

\* 生産 カオリンクレーを含む

究されるにつれて、他の白色顔料にくらべて製紙工業で大量に使用されるようになった<sup>1)</sup>。

わが国においては、近年良質のカオリン資源が乏しくなり、その精製工程が一段と高度化するとともに、精製のための費用もさらにかかるようになった。このため、輸入によるカオリン資源の確保、それに代わる顔料の開発研究も活発に行なわれるようにになった<sup>2)</sup>。

Table 1 はわが国のカオリンの輸入および生産の現状を示したもので、国内需要の不足分を米国、韓国、北朝鮮などからの輸入で賄っている<sup>3)4)</sup>。

\* 山形大学工学部

(〒992 米沢市城南4丁目3-16)

Tel (0238) 22-5181

られる。Georgia カオリンは雲母質片麻岩が自然の崩壊作用を受け、2 次的に沈積して生成されたため、砂粒あるいは摩耗性の不純物が少なく、六角板状の粒子を含有する。

このため、高不透明度、強光沢度のコート紙を生産するのに適している。Georgia カオリンの埋蔵量は巨大で 1 億トンを上回り、100 年以上の供給量を有するといわれている。

この他重要なのは、英國 Cornwall 地方のカオリンである。これは母岩である長石が化学的に風化を受け、生成の過程で母岩鉱物のアルカリ金属は水に溶出して残渣として珪酸アルミニウムすなわちカオリンが残ったものである。この 1 次カオリンは約 80% もの砂粒、雲母、その他付随する鉱物を含むため、これを除去することに

よって製紙用に適した製品が得られる。

この他、チエッコスロバキア、インドなどにも製紙用のカオリンを産出する。

板谷産カオリンの鉱床は、奥羽本線板谷駅南方約4.5kmの地点にあり、鉱体はカオリナイト、セリサイトを主成分とする塊状鉱床で、露天探掘、馬蹄型ベンチカット法により探掘されている<sup>5)6)</sup>。

### 3. 精 製 法

原鉱のまま製紙用その他に供給できる純度や物理化学的諸性質のととのったカオリンは存在しない。このため、原鉱は乾式法または湿式法によって精製される。

#### 3.1 乾式法

乾式法は工程が比較的簡単で低コストの製品を得ることができるが、コーティング用カオリンとしては適当でない。フィラー用として使用する場合でも、処理した製品の性質は原鉱の性質に近いので、所要の白色度、摩耗性の珪砂を含まない原鉱を用いなければならない。

その設備は先に報告した天然ゼオライトの乾式精製法<sup>7)</sup>に類似しているので詳細は省略する。

#### 3.2 湿式法

高級のコーティング用カオリンおよび製紙用のカオリンはすべて湿式法によって精製される。米国の湿式法によるカオリンの製造工程についてはすでに報告されているので<sup>8)</sup>、本稿では板谷産カオリンの湿式精製法について述べる。

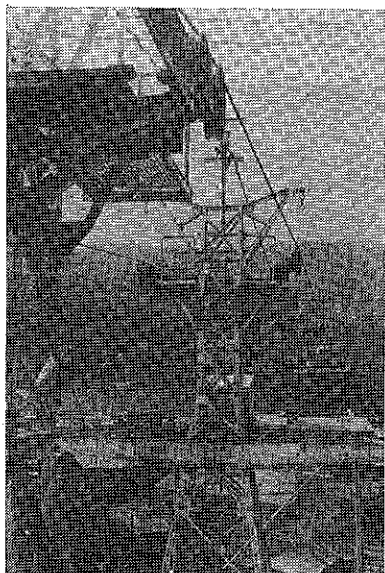


Photo. 1 カオリン鉱物の輸送

鉱床よりケーブル(Photo. 1)によって輸送されてきた原鉱は、インペラブレーカーによって約20mmに粗砕さ

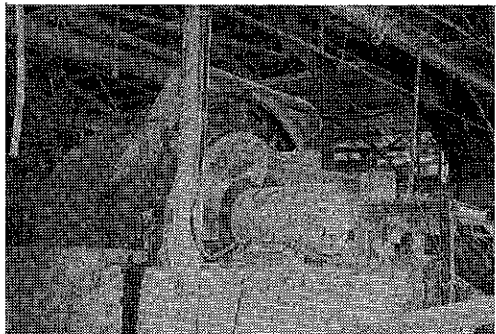


Photo. 2 ボールミル

れる。さらに、水とともにコニカルボールミル(Photo. 2)あるいはロータリスクラバーで懸濁液がつくられる。

カオリンのスラリーは6"サイクロンで270 meshオールパスまで分級され、つぎに、特に $Fe^{2+}$ ,  $Fe^{3+}$ の水溶性塩類を除去するために、アメリカンディスクフィルター

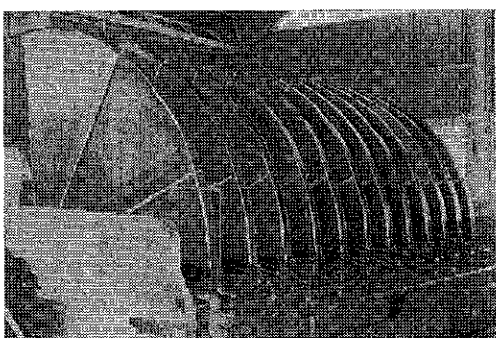


Photo. 3 ディスクフィルター

(Photo. 3)で処理され洗滌される。ケーキは再分散され、つぎに、浮選機(Photo. 4)に導かれ、硫酸鉄が除去される。浮選機から出たスラリーは種々の直徑の液体サイクロンによって分級され、工業的用途に応じて粒度別に区分される<sup>10)~14)</sup>。



Photo. 4 浮選機

分級されたスラリーは酸化または還元漂白される。このため、硫酸、次亜塩素酸ナトリウム、チオ硫酸ナトリウム、ハイドロサルハイトナトリウムなどの薬品が使用される。

カオリンのスラリーは陽イオン交換塔に導かれ、ここで水溶性鉄イオンが除去される。イオン交換塔を出た製紙コーチング用カオリンスラリーは遠心分離機<sup>15)</sup>(Photo. 5, 6) 濃縮タンク、さらにフィルタープレス(Photo. 7)で70%まで濃縮される。

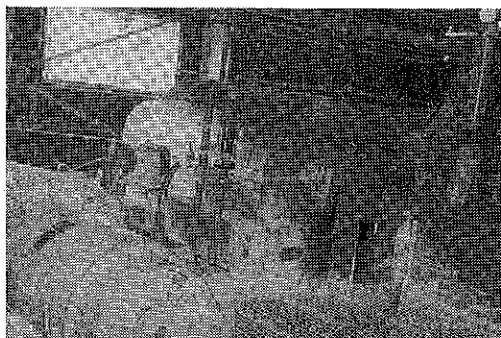


Photo. 5 パード型遠心分離機



Photo. 6 ノズル型遠心分離機

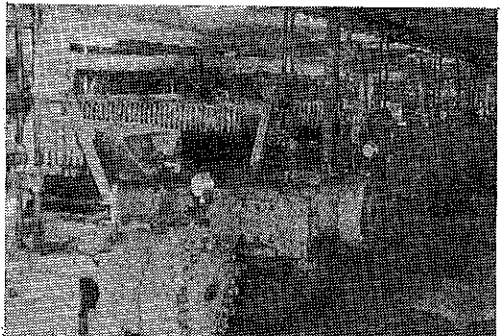


Photo. 7 フィルタープレス

製紙フィラー、ペイントおよびゴム用のものは24~30%までタンク中に濃縮されたものを真空ストリングフィ

ルター(Photo. 8)で固体分濃度約72%まで脱水する。脱水された各カオリンケーキはコンベヤドライヤー(Photo. 9)で製紙コーチング用のものは含水率約3%まで、フィラー用のものは約2%まで乾燥される。

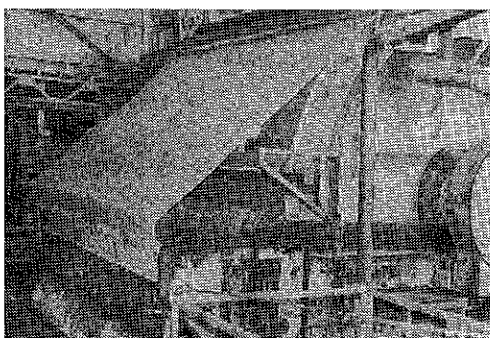


Photo. 8 ストリングフィルター

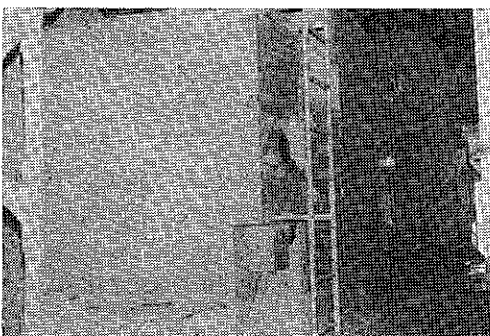


Photo. 9 コンベヤドライヤー

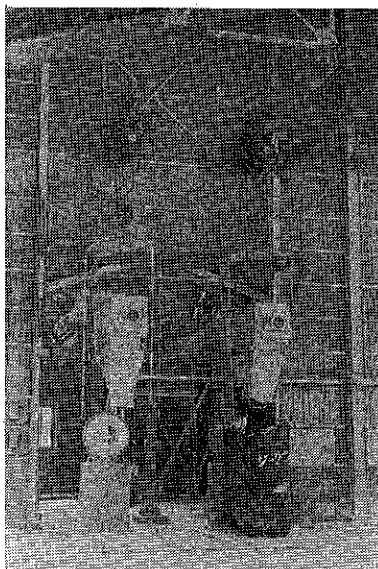


Photo. 10 自動パッカー

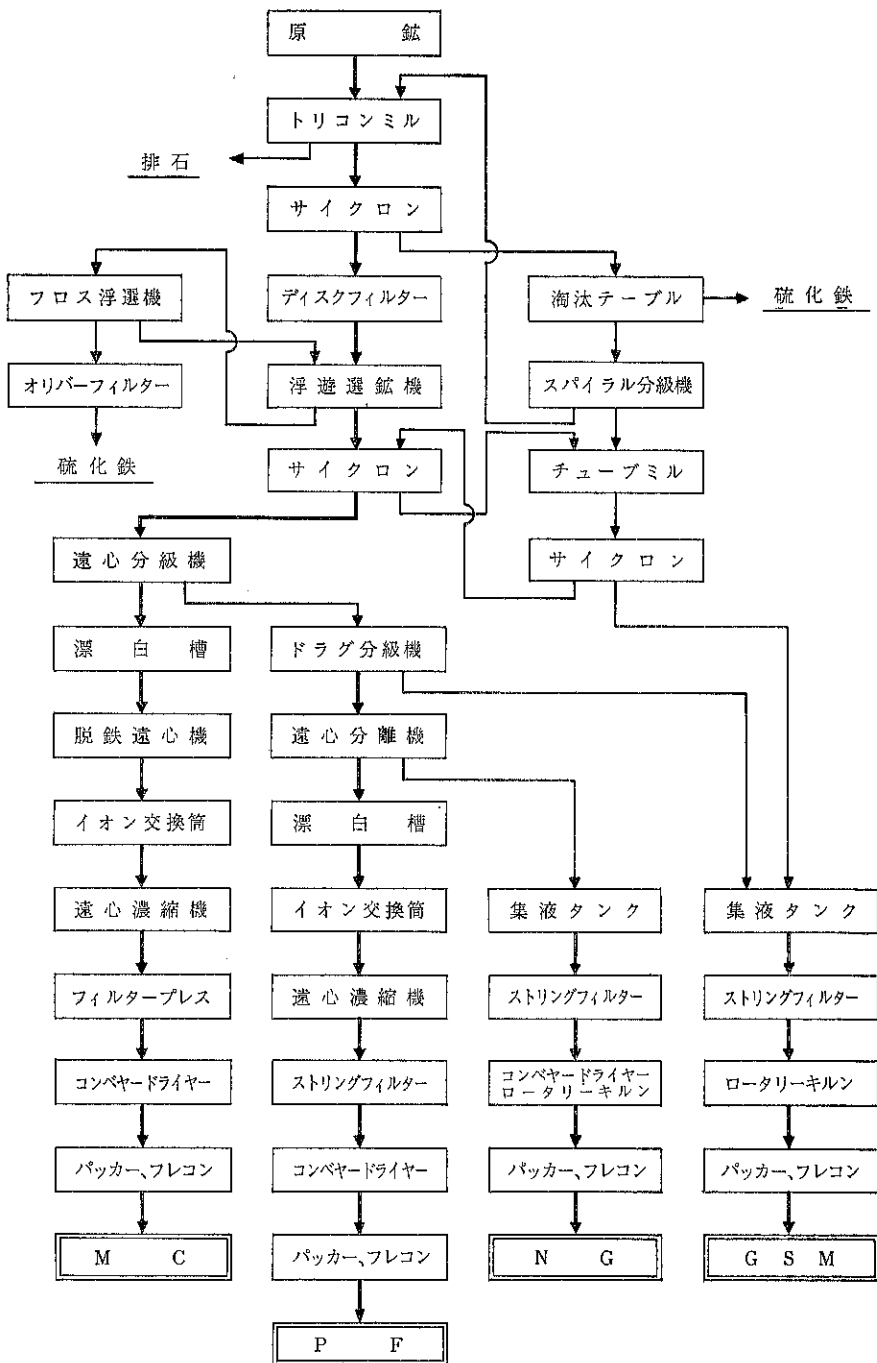


Fig. 1 板谷産カオリンの精製工程

ペイントおよびゴム用のものは含水率が約1%まで回転乾燥機で乾燥される。

乾燥製品は自動パッカーでクラフト袋中に包装するか、容量1トンのコンテナ袋に入れられる。(Photo.10)

消費者への輸送は鉄道またはトラック便で行なわれる。Fig. 1は板谷産カオリンの精製工程を示したものである。

## 4. カオリン鉱物の諸性質

### 4.1 カオリンの形状

カオリン鉱物の1種であるカオリナイトは直径が約2  $\mu\text{m}$  を限界としてその粒子の形状が変化する。2  $\mu\text{m}$  以下のカオリナイトの粒子は微少の六角板状結晶とそれが不規則に集合したものとの混合物として存在する。結晶の厚みは直径の約 $\frac{1}{10}$ である。2  $\mu\text{m}$  以上の粒径のものは六角板状結晶が強固に結合、重畳した集合物からなる。

各国産のカオリンの形状の電子顕微鏡写真は多くの文献にみられる<sup>16)17)</sup>。

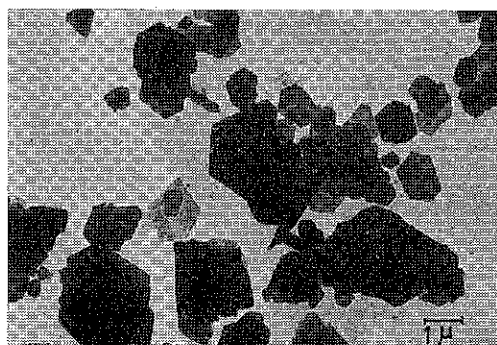


Photo. 11 板谷産カオリン

Photo. 11 は板谷産カオリンの電子顕微鏡写真で、その粒子の大部分は2  $\mu\text{m}$  以下である。この板状形の粒子はコートすべき表面に対して平行に配列される傾向が著しく大きい。

白色顔料の不透明度すなわち隠蔽力は、主として顔料内部の面における光の反射によって決まる。極度に偏平なカオリナイトはこの点で全く理想的である。

直径が2  $\mu\text{m}$  以上の粒子は積層(stack)されていることが多い。これは単一の板状粒子というよりはむしろ殆んど等方性の形態のものとなっている。このstackを工業的規模で剝離し薄くすることが試みられている<sup>18)19)</sup>。

### 4.2 化学組成

カオリン鉱物中のカオリナイトの化学式は  $\text{Al}_2\text{O}_3 \cdot 2\text{SiO}_2 \cdot 2\text{H}_2\text{O}$  で示される。Georgia カオリンおよび他産のカオリン鉱物の代表的な分析値をTable 2に示す。Georgia カオリンの特徴はシリカ分が少なくアルミナの量が多い。不純物としては酸化鉄が0.5%以下、酸化チタンが1~2%である。

最近、国産のカオリンは品質が低下し、シリカ分が多くアルミナ分が少ないものが多くなった。

Table 2 カオリン鉱物の化学組成

組成(%)	1	2	3	4	5
$\text{SiO}_2$	46.5	44.90	46.77	46.44	47.27
$\text{Al}_2\text{O}_3$	39.5	38.35	37.79	37.65	34.72
$\text{Fe}_2\text{O}_3$	0.43	0.56	0.60	1.29	
$\text{MgO}$	Trace	0.24	0.25	0.68	
$\text{CaO}$	Trace	0.13	0.24	0.17	
$\text{K}_2\text{O}$	0.28	1.49			
$\text{Na}_2\text{O}$	0.14	0.05			
$\text{TiO}_2$	1.80	0.02			
$\text{H}_2\text{O}$ (付着)		—	0.06		
$\text{H}_2\text{O}$ (結晶)	14.0	14.20	12.18	13.67	14.63
合計	100.0	100.10	99.84	98.85	98.76

1. カオリナイト理論値
2. 代表的な2次カオリン(米国産)
3. 水ひ1次カオリン(英国産)
4. 国産カオリン
5. "

製紙用のカオリンには遊離の水分と結合水の2種が存在する。遊離の水分は105°Cに加熱すれば除去されるが、結合水は400°C以下では安定で500°C付近から放出する。

市販の乾燥したコーティングカオリンは空気中の水分を吸着する性質が少ない。また、稀薄な酸およびアルカリには侵されない。

### 4.3 結晶構造

カオリナイトの結晶構造はBrindleyによって詳細に研究された<sup>20)</sup>。それによると結晶性の良いカオリナイトは三斜晶系に属し、 $a_0 = 5.14\text{\AA}$ ,  $b_0 = 8.93\text{\AA}$ ,  $c_0 = 7.39\text{\AA}$ ,  $\alpha = 91.8^\circ$ ,  $\beta = 104.5^\circ$ ,  $\gamma = 90^\circ$  の格子定数をもつ。

Fig. 2にカオリナイトの構造ならびにその層の積み重なり方を示す。カオリナイトにおいてAl原子の位置を考えると右型のものと左型のものが存在する。

以上は構造層の規則的な積み重なり方の場合であるが、粘土鉱物のような層状構造のものにはしばしばこの規則的積み重なりの他に変位が不規則に起こっていることが知られている。

経時変化と共にカオリナイトの結晶性は高くなるので、地質時代の新しい本邦産のカオリナイトは外国の古い時代のカオリナイトに比べて結晶性が低い<sup>21)</sup>。

### 4.4 加熱変化

カオリン鉱物の加熱に伴う組成、構造変化については、X線回折、熱重量および示差熱分析などによって研究されている。(Table 3参照)

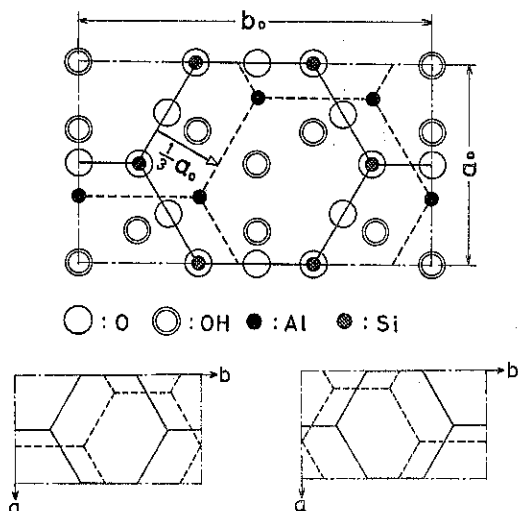


Fig. 2 カオリナイト層の構造と異方性

Table 3 カオリナイトの加熱変化

温度(°C)	組成および変化
20～150	付着水の脱着
400～600	$\text{Al}_2\text{O}_3 \cdot 2\text{SiO}_2 \cdot 2\text{H}_2\text{O}$ が熱分解して結晶水がとれ $\text{Al}_2\text{O}_3 \cdot 2\text{SiO}_2$ が生成する。この反応は吸熱で、比容積が増加する。
850～1050	$\text{Al}_2\text{O}_3 \cdot 2\text{SiO}_2$ 無定形のムライト ( $3\text{Al}_2\text{O}_3 \cdot 2\text{SiO}_2$ ) とトリジマイト ( $\text{SiO}_2$ ) を生ずる。
1350 付近	ムライトの結晶化が始まる。
1470	トリジマイトはこの温度以上では不安定でクリストバライトの形が安定である。
1545	クリストバライトとムライトの共晶を生ずる。その組成は $\text{Al}_2\text{O}_3$ 5.5 %, $\text{SiO}_2$ 94.5 % である。
1745～1790	最終的な融点
2000 付近	$\text{SiO}_2$ が蒸発し $\text{SiO}$ に還元される。その結果純粋なムライトができる。

カオリナイトの脱水反応の反応速度については多くの研究がある<sup>22)23)</sup>。Murray および White<sup>24)</sup>によると  $524^{\circ}\text{C}$  における反応速度は 1 次である。

筆者らが示差熱分析装置を使用して Kissinger の方法で求めた国産カオリナイトの脱水反応は 1 次～1.5 次であった<sup>25)</sup>。

#### 4.5 粒度分布および比表面積<sup>26)</sup>

カオリナイトをコーティング顔料として使用する際、その粒度分布は非常に重要である。

1 cm<sup>2</sup> の光沢コート紙には粒径  $1 \mu$  の粒子ならば約 20

億個のカオリナイト粒子が存在すると言われており、顕微鏡的手段を用いて粒度を測定することは、統計的に考察するとサンプリングに十分注意を払っても困難である。

シャドウイング法を用いた顕微鏡写真でも、殆んど 2 次元に制限された知識しか得られない。このため、真に完全な粒径データが得られるのは立方体状のものを扱う場合に限られるが、カオリナイトの粒子は一つとして 3 次元に等方性のものがない。

このため、実際の場合は Stokes の法則を使用した沈降法が用いられる。懸濁された粒子の沈降速度を測定するために使用されている装置としてはアンドレアゼンビペット、沈降天秤および比重計がある。これらはそれぞれ特長を持っているが、カオリナイトを対象とする場合は測定に長時間を要し、測定し得る粒子の大きさにも限界がある。

筆者らは遠心式光透過法による粒度分布測定装置を開発した<sup>27)28)</sup>。本測定装置によると従来、アンドレアゼンビペット法で数日を要するようなカオリナイトの粒度分布測定が短時間で終了するばかりでなく、自然沈降法による光透過法で測定が困難であったカオリナイトの粒度分布が良好な再現性のもとで測定できるようになった。

Fig. 3 は各國産カオリナイトの粒度分布測定結果の例である。

カオリナイトの比表面積は一般に BET 法によって測定される。吸着ガスとして窒素が広く用いられるが、クリプトンなども利用されている。水蒸気の単分子層を形成する相対圧  $P/P_0$  は 0.19 付近である<sup>29)</sup>。

空気透過法によるカオリナイトの比表面積測定法としては Lea and Nurse 法、Fisher sub-sieve sizer 法、Blaine 法などが用いられているが、わが国では恒圧通気法が一般に用いられている。

#### 4.6 白色度

カオリナイトの大きさおよび有色不純物は白色度に影響する。粗製カオリナイトから得られた微粒子状のカオリナイトは、他の要素が一定であれば粗粒子よりも白色度が大である。しかし米国産カオリナイトは  $0.25 \mu\text{m}$  を限界とし、それよりも細かくなると白色度と隠蔽力が減少すると言われている。

白色度は Hunter 白色度計などによって測定される。ある種のカオリナイトは  $700^{\circ}\text{C}$  以上に加熱するとかなり白色度が向上する<sup>25)</sup>。しかし摩耗性はかなり増加する。

#### 4.7 流動性と噴流性

カオリナイトを取り扱う場合、その流動性と噴流性は特に重要な特性である。パウダーテスター<sup>30)</sup>によるカオリ

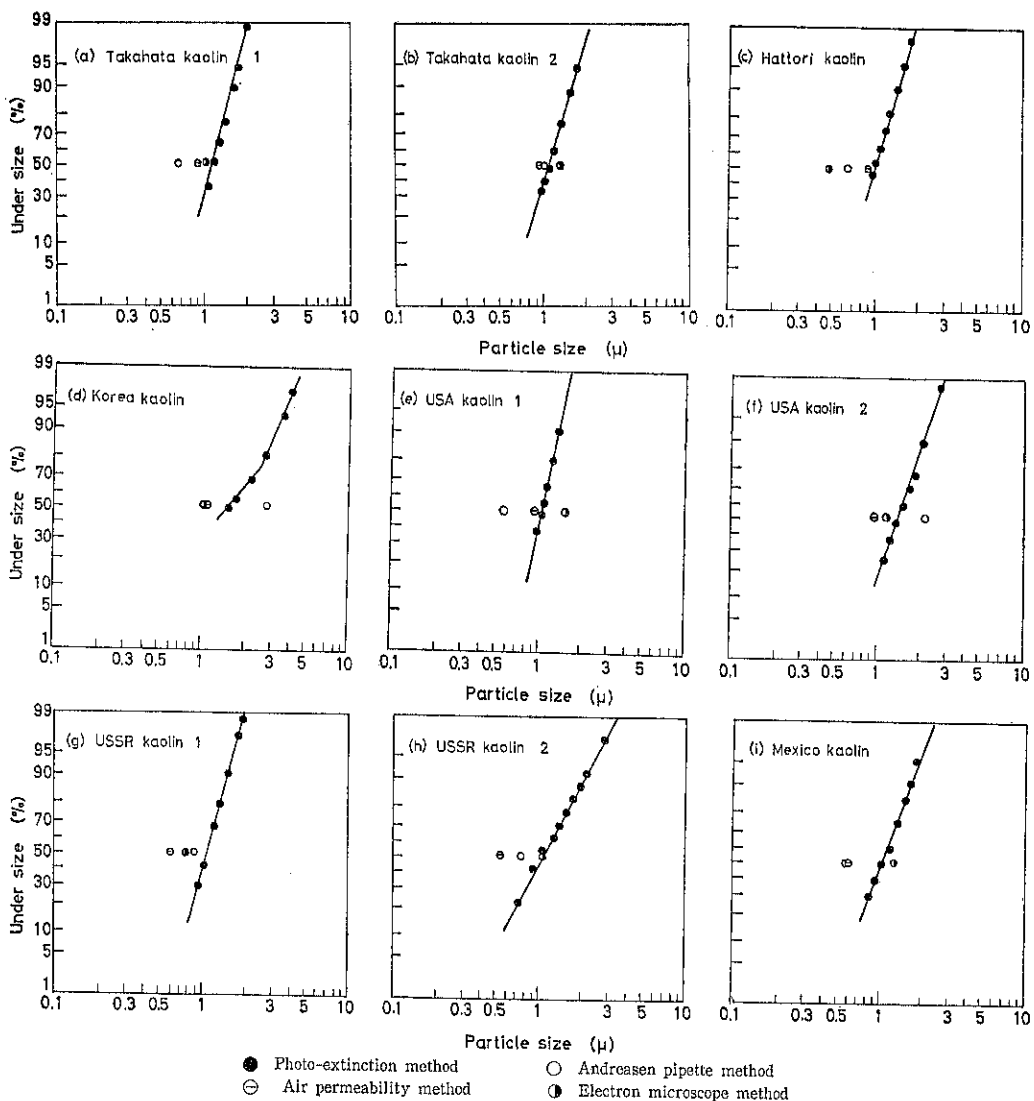


Fig. 3 各国産カオリンの粒度分布

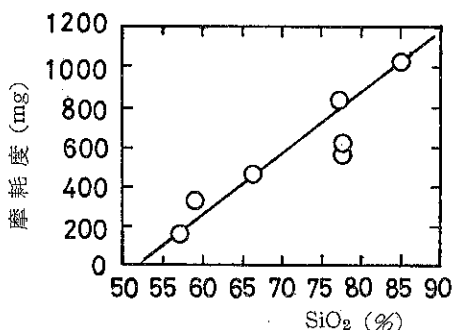


Fig. 4 摩耗度におよぼす SiO<sub>2</sub> 含有量の影響

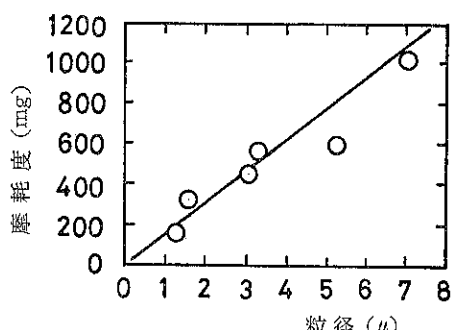


Fig. 5 石英を多く含むカオリンの摩耗度におよぼす粒径の影響

Table 4 カオリン鉱物の物理的性質

	国産カオリン1	米国産カオリン1	国産カオリン2	米国産カオリン2	国産カオリン3
ゆるみ見掛け密度(g/cm <sup>3</sup> )	0.617	0.600	0.328	0.273	0.180
固め "	1.129	0.959	0.675	0.682	0.480
動的 "	0.849	0.730	0.510	0.520	0.370
圧縮度 (%)	45.34	37.43	51.41	59.97	62.50
安息角 (°)	52.7	44.4	49.7	42.7	47.1
スパチュラ角 (°)	65.0	66.6	66.7	65.1	69.7
凝集度 (%)	5.92	34.47	6.40	41.25	53.92
流动性指数	40.5	40	38.5	35	31
崩潰角 (°)	24.0	24.5	36.7	24.9	32.3
差角 (°)	28.7	19.9	18.0	17.8	14.8
分散度 (%)	72.5	8.6	28.0	9.0	34.0
噴流性指数	86	63.5	60.5	58.5	58.5

ンの物理的性質、Carr 流動性指数および噴流性指数の評価は Table 4 の通りである<sup>31)</sup>。

#### 4.8 摩耗係数

カオリン鉱物の摩耗性は Valley 摩耗試験機によって

測定される。この方法は必ずしも正確な再現性を与えないが、摩耗度の評定値として使用されている。

筆者らは各種粘土鉱物の摩耗性を Valley 試験機を用いて研究した<sup>32)</sup>。カオリン鉱物の摩耗性はその種類、

Table 5 ジークライト製品の特性

品名 項目	MC	PF	NG	GSM	摘要	
水分	4.0% ↓	2.0% ↓	1.0% ↓	0.5% ↓	赤外線水分計 (105°C-1h)	
pH	8~9.5	4~6	4~6	4~6	pH メーター (20% solid)	
残渣	0.05% ↓ (325M) ↓	0.1% ↓ (325M) ↓	0.5% ↓ (250M) ↓	1.0% ↓ (250M) ↓	標準篩 (JIS)	
白色度	88% ↑	85% ↑	77% ↑	73% ↑	P C B 白色度計 (ホトボルト・ リフレクション)	
粒度	+5μ -2μ	5% ↓ 72% ↑	+15μ -5μ	10% ↓ 75% ↑	30% ↓ 15% ↓	アンドレアゼン ビペット法
化学分析	SiO <sub>2</sub> Al <sub>2</sub> O <sub>3</sub> Fe <sub>2</sub> O <sub>3</sub> CaO TiO <sub>2</sub> Ig loss	56~58% 28~30% 0.5% ↓ 0.3% ↓ 0.05% ↓ 7~9%	68~75% 18~20% 0.4% ↓ 0.3% ↓ 0.07% ↓ 4~5.5%	89~90% 5~6% 0.3% ↓ 0.2% ↓ — 1.5~2%	90~92% 4~5% 0.3% ↓ 0.2% ↓ — 1.2~1.7%	重量法 キレート法 光電比色法 キレート法 光電比色法 重量法
仮比重	0.20~0.35	0.30~0.40	0.50~0.60 0.55~0.65	0.60~0.65 0.65~0.75	農業公定法	
吸油量	50~55cc/100g	25~30cc/100g	—	—	顔料試験法 (アマニ油)	
X線判定	カオリナイト(K) セリサイト(S)	K S > Q(石英)	K S ≪ Q	K S ≪ Q	ガイガーフレックス X線分析	
包装形態	3P紙袋25kg入 フレコンパック 1t入	3P紙袋25kg入 フレコンパック 1t入	3P紙袋25kg入 フレコンパック 1t入	3P紙袋25kg入 フレコンパック 1t入	ワンウェイパック 1t入	

不純物、粒度などによって大きく影響を受ける。Fig.4は摩耗性におよぼす  $\text{SiO}_2$  の含有量、Fig.5は粒径の影響である。

カオリン鉱物の摩耗性は散弾法や筆者らの研究した攪拌法によっても測定できる<sup>33)34)</sup>。

#### 4.9 粘 度

カオリン懸濁液の粘度を比較するためには、十分に分散した濃厚な水溶液についてなるべく2つ以上の剪断速度の下で測定する必要がある。米国や英国産のコーチングカオリンについては71%の高濃度で Brookfield 粘度計による測定が行なわれている。

わが国の測定の1例としてB型粘度計を用いカオリン濃度60 wt % (分散剤、ピロ磷酸ナトリウム、対カオリン0.5 wt %)において6 r.p.m., 60 r.p.m で測定されている。

低濃度のカオリン懸濁液の粘度はオストワルド粘度計では測定することができる。カオリンにモンモリロナイトが含まれると粘度は増大する<sup>35)</sup>。

#### 4.10 pH

製紙用のカオリン懸濁液のpHは一般に微酸性であり、化学的に脱色したカオリンのpHは通常4.0~6.0位である。分散性を良くするためにアルカリの解離剤を加えたもののpHは8.0~9.5である。

カオリン鉱物懸濁液のpHはガラス電極pHメーターで例えば固体分濃度20%で測定される。コーチング用カオリンは強力な還元剤などによって脱色されているから、これら薬品が極微量カオリンの中に残っていてもpH値に大きく影響する。

Table 5 は板谷産カオリン鉱物を湿式精製分級して得られた製品の特性値である。

### 5. カオリンの利用

近年、製紙用コーチングおよびフィラー用カオリンに関する研究が進み、その基本的性質が明らかになるにつれて、従来の応用面ばかりでなく新しい用途が開けてきた。以下、カオリンの主なる利用の面について述べる。

#### 5.1 製 紙

普通の紙はパルプを主成分とし、サイズ剤、充てん剤その他を配合して抄紙される。紙に充てん剤を入れることによりコストの低減、寸法の安定性、紙面の平滑度、光沢性、印刷効果を向上させる。しかし、紙力を弱めるために包装用紙にはあまり多く使われていない。

充てん剤を添加した紙はそれだけでは未だ最高の印刷に適するほどの平滑度が十分でない。このため、紙の表面をさらに白色度が高い細かいカオリンをカゼイン、澱粉、ラテックスなどの接着剤とともに分散させた水溶性

塗料で薄膜状にコートし、カレンダーにて紙面の平滑性と光沢を与える。こうすることにより印刷インキの吸収も均一になり印刷効果も向上する。

#### 5.2 プラスチック充てん剤

カオリンは珪酸アルミニウム顔料として塗料、顔料の充てん剤として広く利用されているが、有機系溶剤中のねれが悪く分散しにくいので実用面が限定されている。このため、カオリンの表面改質法が研究されている<sup>36)</sup>。

処理方法としては湿分を1%以下にした0.5 μm の水ひしたカオリンに重量比で1%の1級アルキルアミンの酢酸塩を加えてスチーム・ジェットミル中で粉碎する。アルキル鎖は C<sub>4</sub>~C<sub>8</sub> を含んでいるものが適している。処理したカオリンはポリエステル樹脂の充てん剤として用いることができる。

塩化ビニル電線の絶縁性の低下は、塩化ビニル樹脂および配合剤、着色剤などに含まれている微量の不純物および熱分解によって生成する塩化水素が最も大きな要因と考えられる。したがって、塩化ビニル樹脂の体積抵抗率を向上させるためには、この遊離イオンを固定するような物質を配合させることができるのである。

カオリンを500~800°Cで焼成すると構造水が脱出し、もとの結晶構造がなれば崩壊し多数の活性中心を生じ、この部分に遊離のイオンが吸着固定され絶縁向上効果が発揮されるものと考えられる。また、焼成処理は有機物を分解し白色度を向上させ、微粒のカオリンコロイドの焼成によって粒度をやや粗くし分散しやすくする利点がある。このカオリンの焼成は低周波流動焙焼法を利用することにより促進される<sup>37)</sup>。

Table 6 は JIS K 6723 (軟質塩化ビニルコンパウンド) により混練性、試料の色、体積抵抗率と向上率、熱安定性および加熱変化について行なった試験結果である。

国産カオリンを焼成して得られた焼成カオリンの諸性質は殆んど良好であることがわかった。体積抵抗率については、一般に国産の焼成カオリンを添加したビニルコンパウンドは米国産の Clay # 30 にくらべて悪い。その原因はカオリンを湿式精製する際に残留する微量の不純物と考えられるが詳細は明らかでない。しかし、国産のカオリンの焼成物でも絶縁電線製造の際の原料として期待できるものもあり、一部実際に使用された。

高橋<sup>38)</sup>はカオリン鉱物を乾式および湿式磨碎しその構造変化をX線回折、示差熱分析、電子顕微鏡法などによって研究した。この変化はメカノケミストリーとして興味があり、多量に有効な表面改質ができるようになれば工業的に利用できるようになると思われる。

Table 6 ビニルコンパウンドの諸性質

試料	混練性	試料の色	熱安定性(min)	加熱変化	分散	体積抵抗率 $\Omega \text{ cm}$		絶縁向上倍数	
						30°C	60°C	30°C	60°C
A F	○	○	240	○	□	$1.1 \times 10^{14}$	$2.7 \times 10^{12}$	2.0	2.9
K 1	○	○	285	○	○	$1.2 \times 10^{14}$	$5.0 \times 10^{12}$	2.2	5.5
S C	○	□	240	○	×	$1.0 \times 10^{14}$	$2.2 \times 10^{12}$	1.8	2.4
T 1	○	○	300	○	○	$1.1 \times 10^{14}$	$2.8 \times 10^{12}$	2.0	3.1
T F	○	○	203	○	×	$5.3 \times 10^{14}$	$2.7 \times 10^{13}$	9.0	29.4
Clay 30	○	○	222	○	○	$6.3 \times 10^{14}$	$2.8 \times 10^{13}$	11.5	30.5
Blank	○	○	—	○	○	$5.5 \times 10^{13}$	$9.2 \times 10^{11}$	1	1

○ 良 □ やや良 × 悪い

最近、カオリン鉱物を遠心型回転ボールミル装置を用いて改質する試みがなされ、カオリンの表面に微細な金層粉（ステンレス粉、銀粉）を吸着させ特殊な導電性顔料が製造された<sup>39)</sup>。

### 5.3 ゴムの充てん剤<sup>40)</sup>

ゴムの充てん剤としては二層構造のカオリン鉱物が用いられる。カオリン鉱物は未加硫のゴムの生地を硬くし、加硫ゴムに高いモジュラス、引張り強さおよび耐摩耗性を与えるハードクレーとそれほど強度、耐摩耗性を示さないソフトクレーがある。

ハードクレーとソフトクレーは成分的には殆んど差が認められないが、粒径分布、粒子の形状、吸着能などの点で相違がある。

### 5.4 烹業原料

カオリン鉱物を湿式成形し焼成したものは陶器として日常生活で広く使用されている。

カオリン質鉱物を乾式成形し、これを焼成すると湿式法によるものより寸法精度、品質の高い製品を得ることができる<sup>41)</sup>。

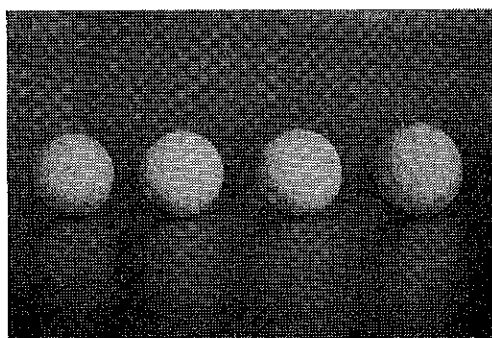


Photo. 12 カオリン質粘土の乾式成形品

Photo. 12 はカオリン質素地を球状粒子とするため噴霧乾燥し、これをゴム型に入れて液体中で乾式成形した

ものである。（成形圧力は写真左より1000, 500, 250, 100 Kg/cm<sup>2</sup>）

カオリン質鉱物は硼珪酸ガラス（Eガラス）などの製造原料として使用することができる。

純粋なカオリンを電気溶融し高速の空気流によって吹き飛ばして纖維状にしたものは、優れた断熱性と耐熱性を備えている。

Table 7 カオリン繊維の諸性質

使用 温 度	°C	1260
融 点	°C	1760
纖 織 の 径	μm	平均 2.8
纖 織 の 長 さ	mm	最長 250 平均 100
真 比 重	g/cm <sup>3</sup>	2.56
比 热	kcal/kg°C	0.255 (常温～982°C)
引張り強さ	kg/mm <sup>2</sup>	133.6
硬 度 (モース)		6
ショット(粒子)含有率 %		8
化 学 組 成 %		
Al <sub>2</sub> O <sub>3</sub> (アルミニナ)		45.1
SiO <sub>2</sub> (シリカ)		51.9
Fe <sub>2</sub> O <sub>3</sub> (酸化第二鉄)		1.3
TiO <sub>2</sub> (チタニヤ)		1.7
MgO (マグネシア)		微量
CaO (カルシア)		0.1
Na <sub>2</sub> O (アルカリ)		0.2
耐 侵 食 性	冷水, 热水, 海水 酸 アルカリ	全く影響されない。 弗酸, 硫酸以外の酸に 殆んで侵されない。 僅かに侵される。

Table 7 はカオリン繊維の諸性質を示したものである。

カオリン繊維はパネル工法による大型熱処理炉の築炉、徐冷カバー、溶接作業における温度急変の調節、溶

接部分の歪みの発生防止、膨張代の充てん、焼成炉インナーカバー・ガスシール、オリフィスリングの断熱などに広く使用されている<sup>42)</sup>。

### 5.5 無機化合物製造原料

群青は一種の硅酸塩で、古くからウルトラマリンとして知られている。

カオリン、ソーダ灰、硫黄、木炭を粉碎混合して空気を断つて500~700°Cで数時間加熱すると生成する。組成比によって青緑色、純青色、紫青色となる。耐久性は強いが酸には非常に弱い<sup>43)</sup>。

カオリン鉱物 ( $\text{Al}_2\text{O}_3 \cdot 2\text{SiO}_2 \cdot 2\sim 4\text{H}_2\text{O}$ ) は純度が高いものが得やすいので、ゼオライトAの合成に適している。原料を約500°Cで加熱処理しメタカオリンに変えてからアルカリとともに加熱して結晶化させる。この方法によってゼオライトAばかりではなくゼオライトX、ゼオライトYも合成できる。

結晶度の低いハロイサイトおよびアロフェンを原料としてもゼオライトAが合成できる。この場合、原料の結晶度が低いので反応性に富み直接アルカリとともに大気圧下で加熱するだけでゼオライトAが生成する<sup>44)</sup>。

### 5.6 化粧品配合剤

カオリンは大きな被覆力をもち汗を吸収するから皮膚の鎮静、冷却の作用を持っている。タルクと混ぜるとその輝きを消すことができる。しかし、すべりが悪いので15%内外の混合割合にとどめられている。

良質な微粉状カオリン（オスモカオリン）は粗製のカオリンを適当な電解質を含む水中に分散させ、懸濁した微粒子のみを電気泳動によって集めてつくられる。

### 5.7 医薬品配合剤

カオリン鉱物は粘土鉱物の中では小さな塩基置換容量を持っており、1~10 meq/100 g程度である<sup>45)46)</sup>。この性質を利用して胃散中に配合されたことがある。

また、消炎、鎮痛のパッピング<sup>47)</sup>に配合されている。

### 5.8 農薬粉剤

カオリンは農薬の有効成分に希釈剤として加えられる。なお、希釈剤の性質として粒度分布、見掛け密度、流動性、固着性、経時安定性などが重要である。

### 5.9 その他

カオリンは上述の他、 $\text{SiO}_2-\text{Al}_2\text{O}_3$ 系触媒および担体、研磨剤（カオリンと遊離の石英の混合物）、クレンザー、鉛筆の芯<sup>48)</sup>製造の原料などとして用いられる。

また、濁度測定標準試料として用いられる<sup>49)</sup>。

## 6. おわりに

カオリン鉱物を主体とした粘土を人類は極めて古くか

ら使用している。例えば、粘土質の地球の表面にコンクリートとガラスなどからできた家を建て、食物をつくり陶器の食器を使用し食事をし、カオリンをコートした紙を使用し印刷物を読み生活している。

カオリン資源は世界的に見れば未だ十分な埋蔵量があるが、わが国では良質なカオリン資源に年々乏しくなっている。このため、残された資源の特性に応じた有効な利用は極めて重要であると考えられる。

最後に貴重な資料の一部を提供くださったジークライト化学礦業株式会社に厚くお礼申し上げる。

## 文 献

- 1) TAPPI Monograph Series No. 20, : Paper coating pigments (1958).
- 2) 田中 稔、橋詰源蔵、松井 博：“排煙脱硫工程からのセッコウウイスカーについて” 材料, 26, [289] 309~318 (1977).
- 3) 大蔵省関税局貿易統計閲覧室資料
- 4) 通産大臣官房資源エネルギー統計資料
- 5) ジークライト化学礦業KK：会社案内
- 6) Zeeklite Chemical & Mining Co : Zeeklite products guide.
- 7) 高坂彬夫：“板谷産ゼオライトの特性と利用” 粉碎, [20] 127~142 (1975).
- 8) 前田立一：粉体工学ハンドブック, 754, 朝倉書店 (1965).
- 9) 吉岡光典、遠藤義一郎：“粘土鉱物の分類、特性および用途” 新しい工業材料の科学A-5, 236, 金原出版 (1966).
- 10) 篠崎平馬、高坂彬夫、京極恒由、佐藤幸作、中村操：“小型液体サイクロンの濃縮および分級性能” 化学工学, 25, [5] 329~333 (1961).
- 11) 高坂彬夫、佐々木正芳、篠崎平馬：“超小型液体サイクロンの原液の処理能力” 化学工学, 28, [11] 952~956 (1964).
- 12) 高坂彬夫、安部保志、窪 一義、高坂知勝：“ある液体サイクロンの性能について” 材料, 16, [164] 326~330 (1967).
- 13) 高坂彬夫、北浦 徹、柿本十郎：“超小型液体サイクロンの濃縮および分級性能” 化学関係学協会連合東北大会 要旨集, (化学工学) 23~24 (1969).
- 14) 高坂彬夫、青木孝史：“水ひ式液体サイクロンの性能” 化学工学協会 第35年会要旨集II, 113~115 (1970).
- 15) 高坂彬夫、遠藤二男、木村義行：“カオリン鉱物の湿式遠心分級” 材料, 20, [213] 706~710 (1971).
- 16) 河嶋千尋：“粘土とその利用” 64, 112, 朝倉書店

- (1958). “電子顕微鏡の理論と応用Ⅲ” 丸善(1960).
- 17) 日本粉体工業協会, 粉体工学研究会編: “粉体物性図説” 産業技術センター (1975).
  - 18) 高坂彬夫, 大門芳雄: “カオリン鉱物の湿式摩擦” 材料, 21, [225] 512~515 (1972).
  - 19) 高坂彬夫: 湿式摩擦による微粉体の製造, 粉体と工業, 3, [11] 42~49 (1971).
  - 20) G. W. Brindley : “X-ray identification and crystal structures of clays and clay minerals” 51 ~131 (1961).
  - 21) 岩井津一: “本邦産堆積源カオリンの X線回折にみられる特徴” 堆積源のカオリン鉱物についての討論資料, 16~25 (1967).
  - 22) G. W. Brindley and M. Nakahira : Nature, 181, 133 (1958).
  - 23) W. D. Kingery : “Introduction to ceramics,” John Wiley (1960).
  - 24) P. Murray and J. White : Trans. Brit. Ceram. Soc., 54, 151 (1955).
  - 25) 高坂彬夫, 大門芳雄, 遠藤二男: “塩化ビニルフィラー用としてのカオリン鉱物” 材料, 19, [201] 543 ~549 (1970).
  - 26) 高坂彬夫: “微粉体の粒度測定技術” 粉碎, [21], 40 ~49 (1976).
  - 27) 高坂彬夫, 安部保志: “遠心式光透過法による粘土鉱物の粒度分布測定” 材料, 17, [177], 570~573 (1968).
  - 28) 高坂彬夫, 姫 義清: “遠心式光透過法によるカオリン鉱物の粒度分布測定” 材料, 18, [189], 526~530 (1969).
  - 29) D. Dollimore, T. A. Horridge and R. Robinson, : “The bulk volumes of some related siliceous materials”, Powder Technology, 7, 39~43(1973).
  - 30) 細川鉄工所: パウダーテスター取扱説明書
  - 31) 高坂彬夫, 越地広昭: “カオリンおよび天然ゼオライトの流動性と噴流性” 第13回粉体に関する討論会要旨集, 105~107 (1975).
  - 32) 高坂彬夫, 遠藤二男, 木村義行: “粘土鉱物スラリーによる材料の摩耗” 化学工学協会, 第38年会要旨集, 131~133 (1973).
  - 33) 高坂彬夫, 柴田孝雄, 西田吉克: “スラリーによる材料の摩耗” 材料, 22, [238], 709~712 (1973).
  - 34) 高坂彬夫: “材料の湿式摩擦” 日本材料科学会学術講演要旨集, 25~26 (1974).
  - 35) 高坂彬夫, 木村義行: “微粉体—液体系の粘性” 材料, 15, [150] 138~141 (1968).
  - 36) 小石真純, 角田光雄: 粉体の表面化学, 160~161, 日刊工業新聞社 (1975).
  - 37) 河嶋千尋, 濱高信雄, 高坂彬夫: “低周波によるカオリンの流動ばい焼” 化学工学協会東北地方大会講演 (1966).
  - 38) 高橋 浩: “カオリン鉱物の磨碎に関する研究” 工業協会誌, 67, [10] C348~C354 (1959).
  - 39) 武林 敬, 山崎全一, 小石真純: “遠心回転ボールミル法によるカオリンーステンレス系顔料の製造” 第28回コロイドおよび界面化学討論会講演要旨集, 3B17 (1975).
  - 40) 久保輝一郎, 水渡英二, 中川有三, 早川宗八郎編: 粉体 “理論と応用” 792~795 丸善 (1962).
  - 41) 同上: 754~757.
  - 42) イソライト工業 KK : Kaowool ceramic fiber, Bulletin-127.
  - 43) 浅原照三: 解説工業化学, 99, 共立出版 (1964).
  - 44) 原 伸宜, 高橋 浩編: ゼオライト—基礎と応用” 48~49 (1975).
  - 45) 渡辺 裕: “粘土の塩基置換容量の測定法” 粘土科学, 1, [1] 23~26 (1961).
  - 46) H. van Olphen : “An introduction to clay colloid chemistry” John Wiley (1963).
  - 47) 棚田成紀, 横本三郎: カオリンパックの塑性粘度変動について, 材料, 21, [225] 598~601 (1972).
  - 48) 持田 茂: “鉛筆工業と粘土” 粘土科学, 1, [2~3] 65~69 (1961).
  - 49) 藏持科学器械製作所: 標準カオリンカタログ (1977).

## 参考資料

# ニューマ・エスカレータによる粉粒体の連続加熱操作について

Continuous Heating of Particles with Pneuma-Escalator

篠原 邦夫\*

Kunio Shinohara

## 1. はじめに

ニューマティック・エスカレータは、粉体の輸送、供給のみならず流通式気固接触装置としても利用することができ、実際に細川鉄工所でエスカレート・ドライヤーとして商品化されている<sup>1)</sup>。本装置の特徴は、数m/secという比較的低風速で上方へも輸送でき<sup>2)</sup>、かつ粒子の滞留時間分布を装置寸法や操作条件によってかなり自由に変化させることができる<sup>3)</sup>点にある。さらに、気固接触操作を通じて種々の利点の出てくることが期待される。そこで、粒子の予熱はもとより、粉粒体の乾燥や熱分解などの同時操作を行なう際に不可欠な本装置の伝熱特性について、実験的に検討したので、設計や操作の一参考資料として報告する。ここでは、特に設計の目安として容易に参照できるように、総括的ではあるが、まず作成した粒子温度の実験式の一例を示し、次に通常比較に用いられる見掛けの伝熱係数によって操作条件の効果を示し、最後にその伝熱係数の内容について若干の考察を述べる。なお、さらに詳細な解析については、別報<sup>4)</sup>を参照されたい。

## 2. 実験装置と方法

粉体試料としてTable 1に示すガラスピーブを用い、

Fig. 1に示す実験装置（本体の主な寸法は、Table 1に示す）によって伝熱実験を行なった。本装置では、加熱空気をフィルターを通して下方から送り、粒子をニューマ・エスカレータ本体の右端上方から供給すると、粒子

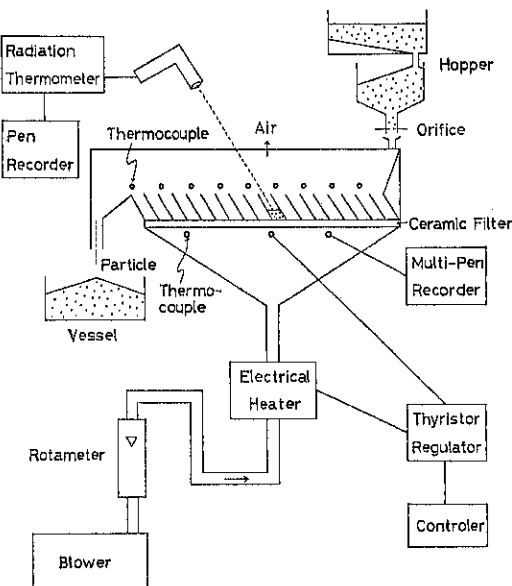


Fig. 1 Experimental equipment.

Table 1 Particle Properties and Dimension of Pneuma-Escalator

Glass Beads	; $d_p = 358.0 \times 10^{-6}$ (m), $\rho_p = 2520.0$ (kg/m <sup>3</sup> ), $C_p = 0.18$ (kcal/kg°C)
Pneumatic Escalator	; $l = 6.27 \times 10^{-2}$ (m), $b = 6.00 \times 10^{-3}$ (m), $D = 2.00 \times 10^{-2}$ (m), $\theta_p = 53.0$ (°), $L = 0.587$ (m), $W = 2.01 \times 10^{-2}$ (m), $N = 18$ (—)
Operational Conditions ; $24.5 \leq Q(\text{m}^3/\text{hr}) \leq 84.0$ , $7.4 \leq F(\text{kg}/\text{hr}) \leq 47.0$ , $151.0 \leq T_{ai}(\text{°C}) \leq 367.0$	

\* 北海道大学工学部合成化学工学科  
(〒060 札幌市北区北13条西8丁目)  
Tel. (011) 711-2111 (内) 6593

は傾斜仕切板に沿って吹き上げられて次々と左方へ運ばれながら加熱される。簡単に実験の手順を述べると、まずフィルター下方の空気温度と風量Qを設定して、装置全体が定常状態になったら、フィルター上方の熱電対によって入口空気温度  $T_{ai,n}$  を測定する。その後、オリフィスを通して粒子を一定流量Fで供給し、再び定常になった時、上方の熱電対は見掛け上、出口空気温度  $T_{ao,n}$  を示す。そこで、空気と粒子の供給を同時に止めて、装置の各セル内の粒子表面温度  $T_{p,n}$  を輻射温度計ですばやく測定した後、装置内の粒子のホールドアップHを秤量する。

こうして得られた粒子温度の測定値は、3.節で作成される実験式によって任意の操作条件、Q, F,  $T_{ai}$  の粒子加熱効果を直接知るのに役立ち、またホールドアップの実験値は、4.節で行なう本装置の伝熱係数の算出に必要である。

### 3. 粒子温度と操作条件の関係

入口空気温度  $T_{ai,n}$  のセルによる分布がほぼ一定になるニューマ・エスカレータでは、粒子温度  $T_{p,n}$  は、Fig. 2 に示すように粒子供給口のセルから順に上昇し、 $T_{ai,n}$  に漸近する。また出口空気温度  $T_{ao,n}$  も同様に変化するが、粒子温度よりは常に高く、nが無限大では、 $T_{ao,n}=T_{p,n}=T_{ai,n}$  となるはずである。

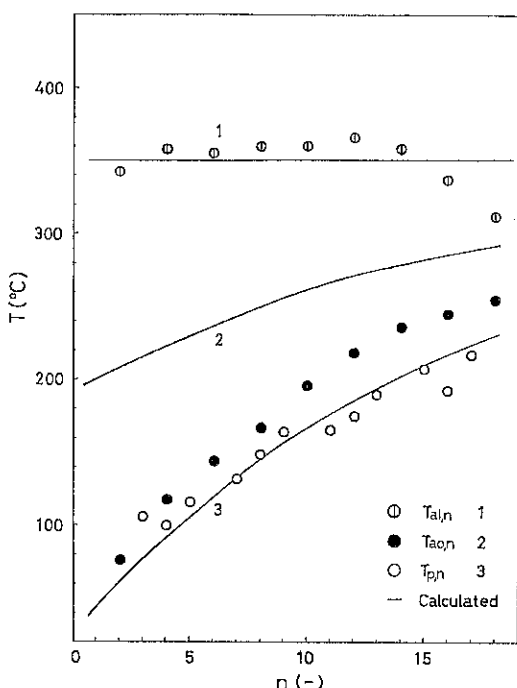


Fig. 2 Change in air and particle temperature along the filter in Pneumatic Escalator.

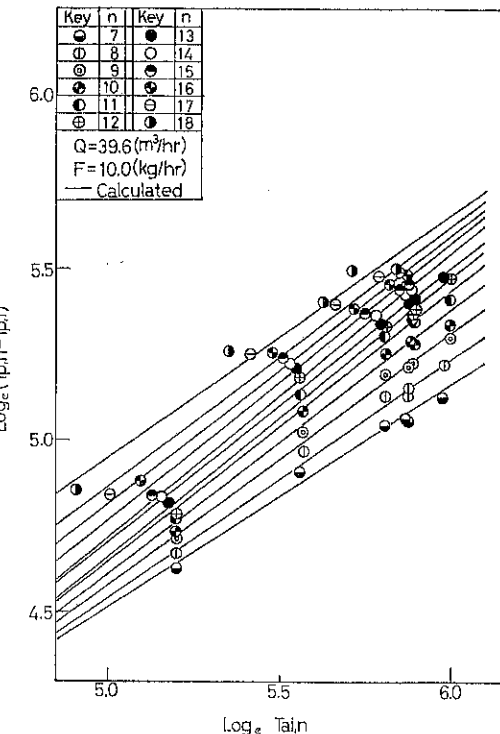


Fig. 3 Effect of inlet air temperature on particle temperature.

まず操作変数として、入口空気温度  $T_{ai,n}$  のみを変化して各セルについてそのペキを求めたのが、Fig. 3 である。これは、セルによって多少  $T_{ai,n}$  が異なるため、最初に  $T_{ai,n}$  のペキを決めた。そうすると、一定操作条件下で粒子温度  $T_{p,n}$  のセルによる変化が、Fig. 4 のように semi-log プロットでほぼ直線にのせることができた。当然のことながら、入口空気温度が高い程、また粒子供給口からのセルの順に粒子温度が上昇することを示している。次に、操作条件として粒子供給量Fの効果を見たのが Fig. 5 で、 $T_{p,n}$  はFの増加により低下することがわかる。さらに、Fig. 6 で風量Qとともに粒子温度が上昇することを示している。結局、この実験範囲内で利用できる粒子温度の実験式として、次式が得られた。

$$T_{p,n} = T_{pi} + 1.003 T_{ai,n}^{0.757} \cdot e^{0.050n} \cdot F^{-0.526} \cdot Q^{0.400} \quad (1)$$

ただし、 $T_{pi}$  は粒子の初期温度で、通常は室温とほぼ同じになっている。無論、室温の空気で粒子は加熱されないから ( $T_{pi}=T_{ai,n}$ )、数学的には(1)式は不完全であるが、補内するには充分役立つ。Fig. 7 は、最終的に(1)式による計算値(縦軸)と実験値(横軸)を比較した図である。

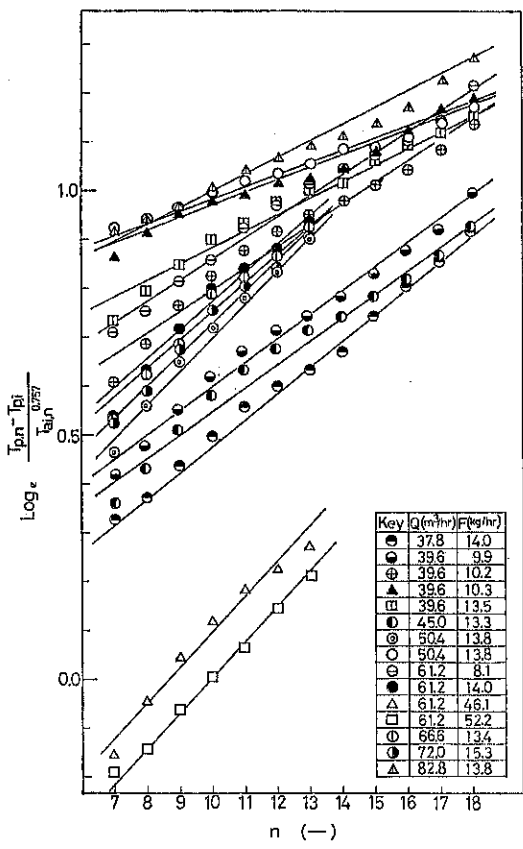


Fig. 4 Variation of particle temperature with the number of cell.

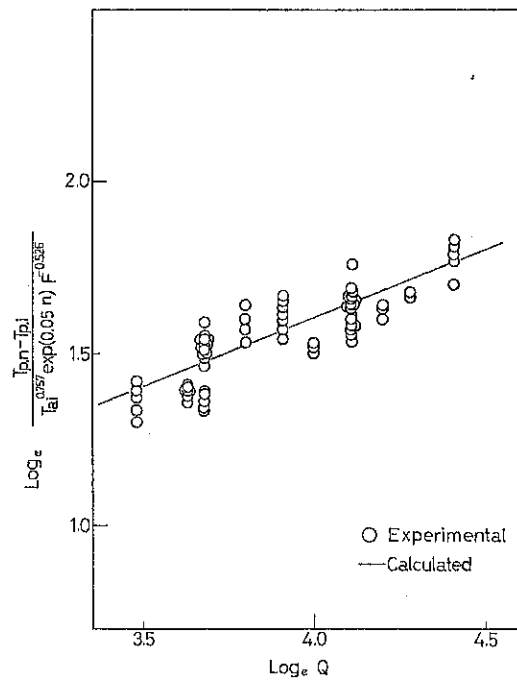


Fig. 6 Effect of air flow rate on particle temperature.

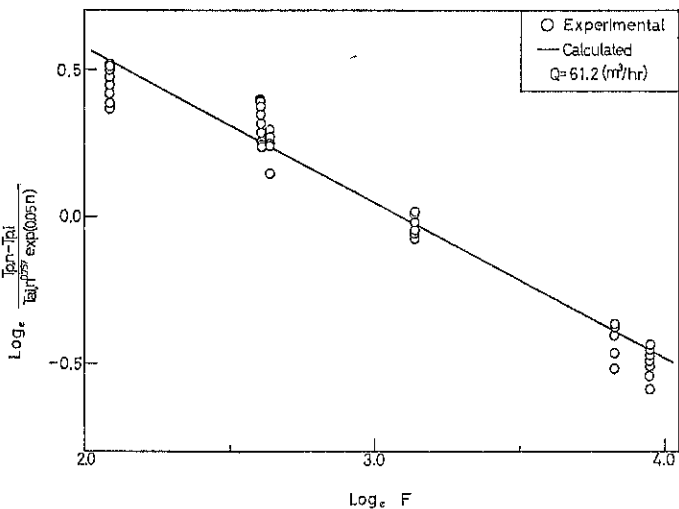


Fig. 5 Effect of solids feed rate on particle temperature.

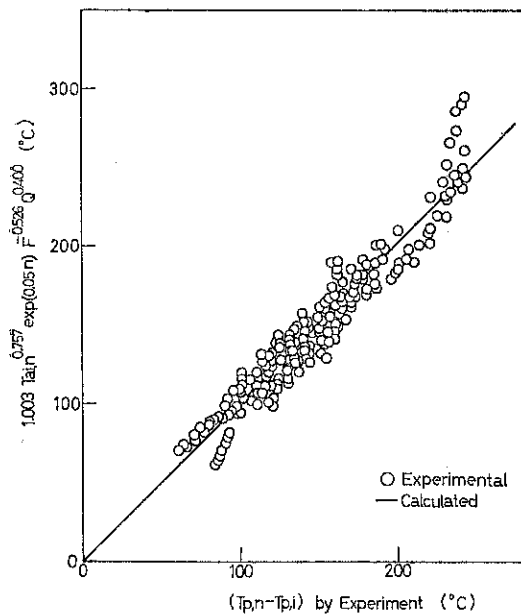


Fig. 7 Comparison of data with experimental equation of particle temperature.

#### 4. 伝熱特性

実際、ニューマ・エスカレータによる任意の操作条件下での粒子温度は、直接(1)式で目安が立つが、伝熱装置としての評価は、やはり従来どうり伝熱係数によるのが適当であろう。そこで、上述の粒子温度の実験式と全く独立に伝熱特性を検討した。

粒子温度の測定値からニューマティックエスカレータの見掛けの伝熱係数  $h_n$  を算出するため、熱収支と伝熱速度を表現すると、以下のようになる。

##### 4.1 热収支

一般に  $n$  番目のセル内での粒子の温度上昇に費やされた熱量  $q$  は、

$$q = F \cdot C_p \cdot (T_{p,n} - T_{p,n-1}) \quad (2)$$

(2)式の熱量の分だけ空気の温度低下があるから

$$q = C_a \cdot (T_{ai,n} - T_{ao,n}) \cdot Q \rho_a / N \quad (3)$$

ただし、 $C_p$ 、 $C_a$  は、それぞれ粒子および空気の比熱で、 $\rho_a$  は空気の密度である。

空気および壁面と粒子間の見掛けの伝熱係数を  $h_n$  とし、各セル内での粒子の完全混合と壁面のほぼ同じ輻射伝熱係数を仮定して、有効温度差として空気のセルの入口、出口における平均粒子温度との対数平均温度差  $\Delta T_{em,n}$  をとると、 $n$  番目のセルにおける伝熱速度式は、粒子表面を伝熱面積として次式のように書き表わすことができる。

$$q = h_n \cdot \Delta T_{em,n} \cdot \frac{S_w H}{N} \quad (4)$$

ただし

$$\Delta T_{em,n} = \frac{T_{ai,n} - T_{ao,n}}{\ln \left( \frac{T_{ai,n} - T_{p,n}}{T_{ao,n} - T_{p,n}} \right)} \quad (5)$$

ここで、セル出口の空気温度  $T_{ao,n}$  は、(2)式と(3)式から粒子温度によって(6)式で表わすことができる。

$$T_{ao,n} = T_{ai,n} - \frac{NFC_p}{Q \rho_a C_a} \cdot (T_{p,n} - T_{p,n-1}) \quad (6)$$

#### 4.2 伝熱係数

各セルにおける伝熱係数は、一般に(3)式と(4)式から

$$h_n = \frac{Q \rho_a C_a}{S_w H} \cdot \log_e \frac{T_{ai,n} - T_{p,n}}{T_{ao,n} - T_{p,n}} \quad (7)$$

しかし本実験では、熱電対をセルの 1 cm 上方に側壁を通して水平に挿入してあるため、セルから吹き飛ばされてきて熱電対に衝突する（低温）粒子によって出口空気温度  $T_{ao,n}$  は正確に測定されない。そこで輻射温度計によって粒子温度  $T_{p,n}$  のみを測定して伝熱係数  $h_n$  を算出するため、(6)式を(7)式に代入して  $T_{ao,n}$  を消去すると、

$$h_{p,n} = -\frac{Q \rho_a C_a}{S_w H} \cdot \log_e \left[ 1 - \frac{NFC_p}{Q \rho_a C_a} \cdot \left( \frac{T_{p,n} - T_{p,n-1}}{T_{ai,n} - T_{p,n}} \right) \right] \quad (8)$$

もし、ニューマティック・エスカレータ全体での粒子の見掛けの流れ方向（フィルターの長さ方向）で、入口空気温度  $T_{ai,n}$  と伝熱係数  $h_{p,n}$  がほぼ一定とみなせる場合には、(8)式を変形して  $T_{p,n}$  について展開すると、セルによる粒子温度の変化は(9)式で表わされ、平均伝熱係数  $h_{pv}$  は(10)式のように誘導できる。

$$T_{p,n} = \frac{T_{p,i}}{(1+K)^n} + \left\{ 1 - \frac{1}{(1+K)^n} \right\} \cdot T_{ai} \quad (9)$$

ただし、(9)式中の  $K$  は、単なる置き換えで

$$K = \frac{Q \rho_a C_a}{NFC_p} \left( 1 - e^{-\frac{S_w H}{Q \rho_a C_a} \cdot h_{pv}} \right)$$

Fig. 2 の計算曲線は、(9)式と(6)式によって、それぞれ描いたものである。

$$h_{pv} = -\frac{Q \rho_a C_a}{S_w H} \cdot$$

$$\log_e \left[ 1 - \frac{NFC_p}{Q \rho_a C_a} \left\{ \left( \frac{T_{ai} - T_{p,i}}{T_{ai} - T_{p,n}} \right)^{\frac{1}{n}} - 1 \right\} \right] \quad (10)$$

(10)式から、理論的には、任意のセルにおける粒子温度  $T_{p,n}$  を一ヶ測定すれば平均的な伝熱係数  $h_{pv}$  が求まり、(6)式と(9)式から出口空気と粒子のセルによる温度変化が計算され、装置設計の際の手軽な目安になる。この際、(1)式の粒子温度に関する実験式も参考になるであろう。

### 4.3 伝熱特性の無次元化表示

伝熱係数  $h_{p,i}$  に及ぼす操作条件の効果をみるために、まず風量  $Q$  のみを変えて、いずれもセル番号 8 から 11（本装置内の粒子の流れ長さの中心付近で、Fig. 2 に示すように入口空気温度も伝熱係数もほぼ一定）の粒子温度を測定して、Nusselt 数と Reynolds 数の関係としてプロットしたのが Fig. 8 である。ただし、無次元

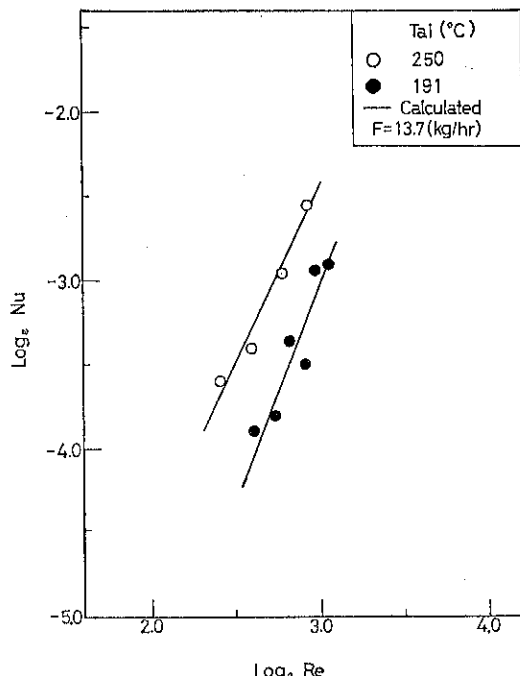


Fig. 8 Nu vs. Re plots.

数に含まれる空気の物性値は、セルの入口と出口の空気温度の算術平均値に対応し、かつ  $h_{p,i}$  同様、四ヶのセルの平均値である。また風速  $U$  は空塔速度である。予期した通り、風量とともに伝熱係数が増大した。次に、風量を一定にして粒子供給量  $F$  を増すと、Fig. 9 に示すように  $Nu$  数が増大する。Fig. 10 は、入口空気温度の効果をみたもので、やはり  $T_{ai}$  によってわずかに  $Nu$  数が増加することを示している。これらは、いずれも直接操作条件に対応して  $Nu$  数を記述しているので、セル内の粒子のホールドアップ  $H$  が操作変数の組合せで変動し<sup>2)</sup>、伝熱機構が複雑で、単純な対流伝熱が支配的とか、壁面と粒子間の伝導伝熱や輻射伝熱が効いているなどと判断できない。特に、 $F$  や  $T_{ai}$  のペキが小さいのは、効果がないというより、その効き方の複雑さを暗示していると考えられる。あえて推測すれば、 $Q$  は対流、 $F$  は伝導、 $T_{ai}$  は輻射の効果をより強く示しているかもしれない。これら全てのデータを  $R_e$  数に対して整理

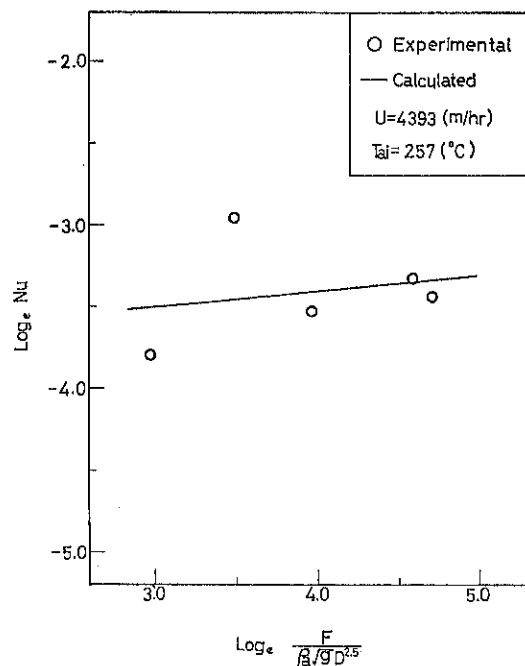


Fig. 9 Nu vs. ( $F/\rho_a \sqrt{gD^{2.5}}$ ) plots.

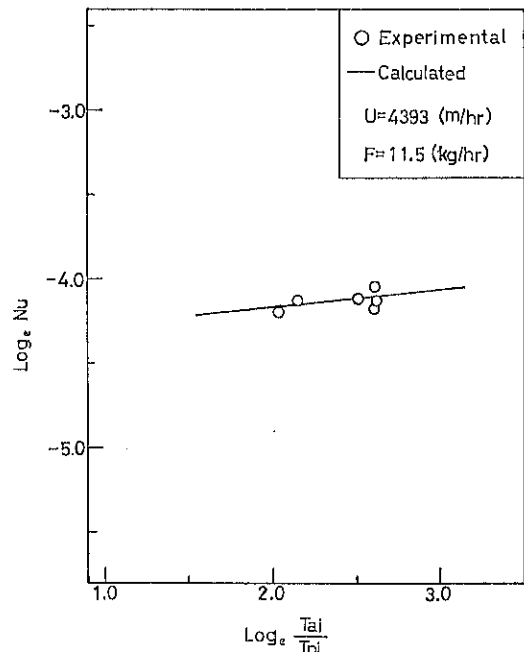


Fig. 10 Nu vs. ( $T_{ai}/T_{pi}$ ) plots.

し、伝熱係数の無次元化表示したのが Fig. 11 で、図中の直線は、得られた実験式<sup>1)</sup>である。

$$N_u = 3.26 \times 10^{-5} R_e^{2.31} \cdot$$

$$\left( \frac{F}{\rho_a \sqrt{g D^{2.5}}} \right)^{0.005} \cdot \left( \frac{T_{ai}}{T_{p,i}} \right)^{0.099} \quad [1]$$

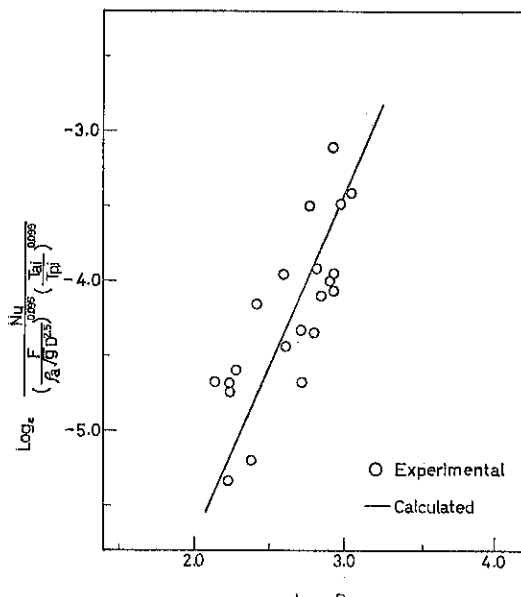


Fig. 11 Correlation of data with dimensionless equation of heat transfer.

ただし、 $N_u = h_p \cdot d_p / k_a$ ,  $R_e = d_p \cdot U \cdot \rho_a / \mu_a$ ,  $d_p$  は粒子径,  $D$  はセルの傾斜仕切板の間隔である。

#### 4.4 伝熱係数の内容について

ニューマティック・エスカレータにおけるセル内部および各セル間の飛翔粒子の極めて複雑な軌跡を見ても明らかのように<sup>3)</sup>、伝熱係数の内容も数値的に分離して見積ることは容易でない。例えば、対流、伝導、輻射の効果をそれぞれ順に次式のように定義してみる。

$$h_{p,n} = h_{cv,n} + \left( \frac{k_a}{B} \right)_n + \frac{\sigma\phi}{2} (T_{p,n} + 273)^3 \times (T_{ri}^3 + T_{ro}^3 + T_{ri}^2 + T_{ro}^2 + T_{ri} + T_{ro} + 2)_n \quad (12)$$

ただし、 $h_{cv,n}$  は対流伝熱係数、 $B$  は有効接触距離で、 $(k_a/B)_n$  は伝導伝熱係数、 $\sigma$  はステファン-ボルツマン定数、 $\phi$  は角関係や反射率、透過程などを含む係数、 $T_r$  は式で定義される無次元温度で、右辺第三項目は  $n$  番目のセルにおける入口と出口での輻射伝熱係数の算術平均値である。

$$T_r = \frac{T_a + 273}{T_p + 273} \quad (13)$$

$B$  は  $h_{cv}$  と同様、操作条件で変化するであろうから、

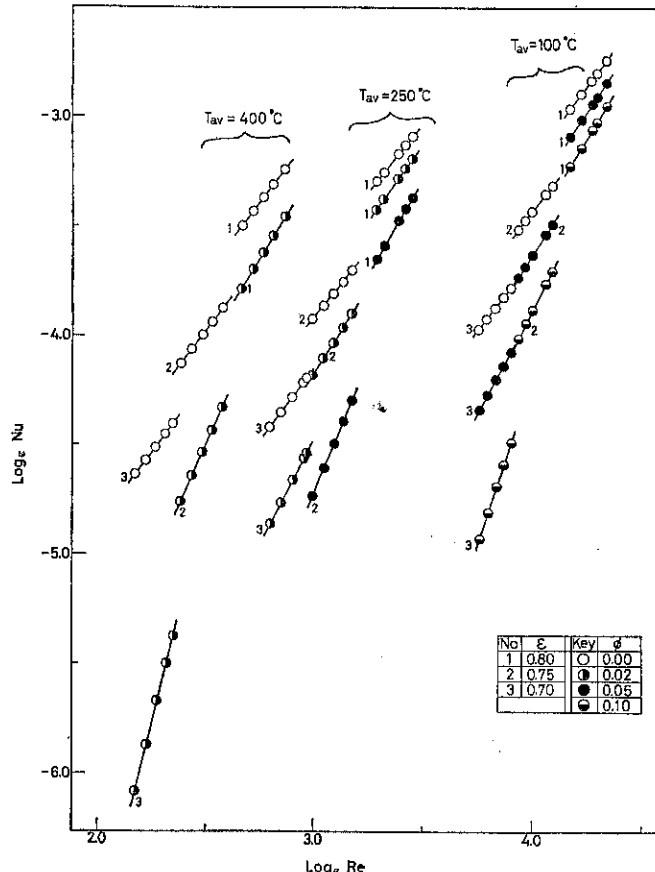


Fig. 12 Effect of particle concentration within a cell and radiation on Nu vs. Re's relation.

実験値から対流と伝導伝熱係数を分離することはできない。そこで、輻射の項の値だけ  $h_{p,n}$  から差し引いて、できるだけ対流伝熱の効果を顕著にして单一粒子の場合と比較しやすく整理したのが、Fig. 12 に示す計算結果である。すなわち、 $N_u$  数には  $(h_{cv} + k_a/B)$  を使用している。実際この作図に当っては、粒子の輸送式<sup>2)</sup>と粒子温度の実験式<sup>4)</sup>が必要であり、計算手順については省略する。係数  $\phi$  の数値は、0 から 1 の間であろうが、未知なので二、三変えてみた。空気温度の異なる線が一本にまとまらず、輻射の機構が単純でないのか、それとも伝導伝熱の機構が複雑で対流伝熱係数  $h_{cv}$  に比較して結構大きく効いているのかわからない。本装置の伝熱特性を考える際の何かの参考になれば幸いである。

## 5. おわりに

ニューマティック・エスカレータを粉粒体の連続加熱装置として利用する場合の操作や設計の参考資料として、粒子温度の実験式および伝熱係数の無次元化表示式を作成し、伝熱係数の内容について若干の考察を試みた。得られた伝熱係数の測定値から、ニューマティック・エスカレータは、例えば従来の回転乾燥機などとほぼ同じ、ないしは一ヶタ大きな伝熱係数をもっており（粒子温度測定値で計算しても）、輸送、供給と伝熱の同時操作に充分役立つものと期待される。

### 記号

B :	伝導伝熱に関する粒子一壁面間の有効伝導距離	[m]
b :	ニューマ・エスカレータ本体の傾斜仕切板の厚さ	[m]
C :	比熱	[kcal/kg°C]
D :	傾斜仕切板間の距離	[m]
$d_p$ :	粒子径	[m]
e :	自然対数の底	[—]
F :	粒子供給流量	[kg/hr]
g :	重力加速度	[m/hr <sup>2</sup> ]
H :	ニューマ・エスカレータ内の粒子のホールドアップ	[kg]
h :	粒子と空気あるいは壁面間の見掛けの伝熱係数	[kcal/m <sup>2</sup> hr°C]
K :	(9)式に含まれる係数	[—]
k :	熱伝導率	[kcal/m·hr°C]

L :	ニューマ・エスカレータ内の粒子の全流れ長さ	[m]
$\ell$ :	傾斜仕切板の長さ	[m]
N :	ニューマ・エスカレータ内のセルの総数	[—]
$N_u$ :	粒子径基準のヌッセルト数	[—]
n :	ニューマ・エスカレータの粒子供給口からのセルの番号	[—]
Q :	風量	[m <sup>3</sup> /hr]
q :	伝熱量	[kcal/hr]
R <sub>e</sub> :	粒子径基準のレイノルズ数	[—]
S <sub>w</sub> :	粒子の重量基準の比表面積	[m <sup>2</sup> /kg]
T :	空気ないしは粒子の温度	[°C]
$\Delta T_{em}$ :	各セルの入口と出口での空気と粒子の対数平均温度差	[°C]
T <sub>r</sub> :	(9)式で定義される無次元化温度	[—]
U :	フィルターの有効面積を通過する空塔基準の風速	[m/hr]
W :	ニューマ・エスカレータの垂直側壁間の距離	[m]
$\epsilon$ :	セル内の粒子の平均空隙率	[—]
$\theta_p$ :	仕切板の傾斜角	[°]
$\mu$ :	粘度	[kg/m·hr]
$\rho$ :	密度	[kg/m <sup>3</sup> ]
$\sigma$ :	ステファンボルツマン定数	[kcal/m <sup>2</sup> hr°C <sup>4</sup> ]
$\phi$ :	角関係も含めた有効輻射率	[—]

### 添字

a :	空気
c <sub>v</sub> :	対流
i :	入口
n :	セル番号
o :	出口
p :	粒子
v :	平均

### 参考文献

- 1) 横山、中川、彼谷：粉碎、No. 20, 99 (1975)
- 2) Shinohara, K. and Tanaka, T.: J. Chem. Eng. Japan, 5, 279 (1972)
- 3) Shinohara, K., Hayashi, K. and Tanaka, T.: ibid, 6, 447 (1973)
- 4) Shinohara, K., Yasuda, A. and Tanaka, T.: ibid. に投稿中

## 粉碎機の系譜

Roots of Pulverizers

沢畠 恭\*  
Yasushi Sawahata

昭和32年の秋から33年一杯にかけてのおよそ1年半の私は、ボールミルのあの脹やかな音に取囲まれての毎日であった。今の試験用ダスト、当時の試験用粉体 JIS Z 8901の2種と3種の試作研究には、ボールミルとアンドレアゼンピペット、それにロジンラムラー線図が欠くことのできない3種の神器であった。

ほんのちょっとした糸口から、まず3種の調製に成功し、間もなく2種の製法も判つてからは気楽なもので、1年もの間ああでもない、こうでもないと模索したことか嘘のように、関東ローム系の7種、8種も併せて相当量の規格粉体を造りもしたし、その一部は粉体工学研究会の粒度測定シンポジウムの共通試料としても提供することができるようになった。今からちょうど20年昔のことである。

試験用粉体にケリを付けて私の仕事は粉粒体の混合操作に变成了。ボールミルはボールを抜かれて水平回転円筒形混合機となり、時には磁製ボールの代りにプラスチック球が混合の助媒という名称で加えられました。大小4種類の円筒の外に、2次元形式のものも含めて5種類のV形混合機も仲間入りした。これら9種類の装置を用いた実験も、何通かの論文として報告され、この仕事も10年ほど前に一段落をつけた。

それ以来、再び細かい粉体を作り出す実験が私の仕事の中に加わった。同体摩擦法による超微粉体の生成とか、乳鉢や擂解機を用いての摩碎、摩碎や圧壊で生ずる新生表面の吸着特性や、ある種の摩碎粒子から放射されるEEの実験などがそれである。

このような摩碎や粉碎などの仕事をいろいろな方法で行ってみると、どうも原始的な道具ほど原理的な側面を持っており、その原理的な一面に原点を求めてそこから

種々構想を巡らしてゆくと、現在使われている様々な粉碎機の原型ができ上ってくるように思われる。それだけに、きわめて単純な原理と機構に適当な付加的要素を与えてうまく機械化していくば、これから必要とされるであろう様々な粉碎機への要求を充して機能する、新しい構成の粉碎機も発明されるのではないかと考えられるし、粉碎屋にとってはそのような方向で物を考えてみることが必要ではないかと考えている昨今である。

アダムとイブが使ったであろう石槌と石皿は、人類の発明した最古の粉碎機である。彼等がこれをどう使ったかは推測の域に止まるとしても、人間の手や腕の動きを考えれば、槌の上下動、往復動あるいは回転動によつて、穀物や木の実の搗碎や摩碎がなされていたことは想像するに難しくはない。粉体工学研究会誌の四分法のカットとしても使われているエジプト第5王朝(B.C.2500)時代の粉挽き女イティの像に用いられているサドルストーンは、その姿からみて往復動の摩碎であり、この方式は現在でも白ナイル上流スーガン南部のヌバ山脈の麓に住むヌバ族の女のもちこし粉の製造に継承されている。

それで、この一組の石槌と石皿、どこの博物館でもその一隅には展示してあることであろう一本の石塊と一枚の石板の、それぞれの形状を適当に変形し、石槌の動きに若干の操作を与えてみるとどうなるであろうか。もちろん、何がしかの付加的な機構を別に付け加えることが許されなければならないまいが、乳鉢を手で挽きながら、粉碎機の系譜を私なりに単純に考えてみたのが本稿である。

まずは2個の石塊を、ほぼ平面で接觸する2枚の石板に変えてみる。上下に重ねた2枚の板の、上側の板に往復動を与えるならば、それは先述したイティの像となりヌバ族の粉ひきとなる。あるいはこの石板を円形に加工して中央に回転軸を設け、把手を付けて上側の円板を回転させる構造とすれば石臼となり、摺り臼ができる。石槌と石皿は、このような構造変化をへて今日でも有用

\* 富山大学工学部化学工学科  
(〒933 高岡市中川園町1番1号)  
Tel (0766) 21-2510 (代)

な食品加工専用の粉碎機になったのではなかろうか。

2枚の石板は平面接触である必要はない。時には曲面接触の方が効果的な場合もある。石臼の系列は湿式のコロイドミルへと発展していく途筋を示している。

もしも、接触する2枚の石板の間に、粉にするべき食品を供給することなく、適当に圧力を加えておいて空白を挽くという操作を考えれば、それこそ現在我々が実験している往復動及び回転式の同体摩擦法そのもので、単位時間当りの生成量は少ないにしても、0.2~0.3ミクロンといった機械的方法ではぎりぎり限界のほぼ均一な粉碎粉が作れるということになる。

石槌の形を長円錐台形に洗練したのが乳棒である。使っているうちに凹む石皿の痛みが、半球形状に深まれば乳鉢である。外形を整え、乳棒をモータードライブにすれば機械乳鉢すなわち攪拌攪解機となり、現在では要部を真空に引けるようにしたものもある。乳鉢は、手挽きであれモータードライブであれ、その容器の大きさの割には沢山の碎料を装入する訳にはいかないが、少量のものを短時間に細かく磨碎するには適當した粉碎機である。

更に変形の度合を進めてみよう。乳棒を丸めてボールにし、乳鉢の深さを伸ばして円筒化したものの中に封じ込める。攪解機と同様、乳棒が複数で良いようにボールもまた複数で一こうにかまわない。かくして封じ込められたボールは碎媒と名付けられ、封じ込めた円筒の回転に併なって円筒内での上昇落下を繰返すことになる。これがボールミルである。この先をハイスウィグ式や振動ミルにもっていくにはそれ程の手間はかかるまい。

石槌の上下運動が搗碎効果をもつ。臼の中で上下動する立杵の構成はもはやでき上る。杵をモーター駆動にすればスタンプミルである。木製の立杵は、我国では静岡の登呂遺跡からの出土品があり、中国には“木を切りて杵となし、地を掘りて臼となし、杵臼の利以て万民を救う”と易の繫辭伝に見られる。堯舜の時代である。

スタンプミルの杵を、先程のボールミル同様に臼の中へ封じ込めよう。スタンプの上下動は、封じ込められた容器内では外部から駆動される回転動に置換えられなければならない。これでハンマーミルの原形ができ上る。シュレッダーやチョッパー形式のもの、ディスインテグレーターの構造には、いま一步になる。

一本の石槌と一枚の石皿は、その形態を変化させ若干のカラクリを付加することで様々な粉碎機に変身できた。

しかし、咀碎機であり粗碎機であるジョークラッシュヤ

ーはこの系譜には乗せる訳にはゆくまい。この機械の発想の原点は人間や動物の口器の働きであり、やはり鋼の時代の産物と見るのが至当である。

“備前すり鉢 放っても割れぬ”という歌の文句がある。擂盆あるいは雷盆と記してスリバチと読み、縁起をかつげば当り鉢となる。雷の字を当てるのは、その音が雷鳴に似た処に依るとされている。和漢三才図会にも“その擂盆備前より生ずるもの良しとする”とあり、“江戸にてすり鉢……奥州にてライパン……”とは物類称呼の記述である。

擂盆に用いる木の棒をすりこぎ、別名当り棒という。古来、山椒の木を以て最上とし、大分県深耶馬温泉の土産品である。

北越雪譜の著者鈴木牧之翁は秋山村をスケッチして、“薬缶、土瓶、雷盆などいずれの家にもなく…”と記した。今から150年昔の貧しい山村である。現在、都会生活の台所には、この秋山村と同じようにすり鉢やすりこ木の数が、やはり少なくなっていることであろう。現代の都会生活が貧しいからではないにしても、もしも都会に住む人々の多くが、偶々宿った旅館の朝食の生卵の小鉢や、旅先で飛込んだそば屋の山かけの丼の形にしかこのすり鉢に接しられないとしたならば、それは人類の祖先が発明した素晴らしい粉碎機本来の味わいを失なうことであり、心淋しいことではなかろうか。

再び日常の仕事の中に粉碎が加わって、乳鉢の中に生成する淡いピンク色のルビーの粉を眺めながら、ふと考えてみた粉碎機の系譜、牽強附会な私の言葉には読者の批判が必要であろう。

稿末に筆者の手がけた最近の粉碎関係の論文題名を掲げてみた。御参考に供して頂ければ幸である。

- 1) “同体摩擦法による超微粉体の生成”：粉体工学研究会誌, 10, 316 (1973).
- 2) “同体摩擦法による超微粉体の生成に及ぼす操作条件の影響”：材料, 22, 689 (1973).
- 3) “Exo-electron Emission from Ground Powder of Rocks at Room Temperature”：Sci. Paper I. P. C. R., 67, 93 (1973).
- 4) “磨碎粒子の吸着特性”：材料, 24, 649 (1975).
- 5) “手挽き乳鉢磨碎に関する一・二の知見”：粉体工学研究会誌, 12, 579 (1975).
- 6) “固体新生表面の液相吸着特性”：材料, 25, 623 (1976).

## 参考資料

# 試験用ダストの発生方法

Methods of Generating Dusts for Industrial Testing

山下 憲一\*  
Kenichi Yamashita

## 1. はじめに

日本粉体工業協会で試験用ダストや基準粉体などからなる標準粉体<sup>1)</sup>の頒布を始めてから最早5年を経過しようとしている。

その間に標準粉体は、Table 1.1 に示すようにエアフィルタ、集じん装置、分級機などのダストに対する除じん、集じん、分級、輸送などの特性試験、および各種計器や機器の動作試験、または摩耗試験、さらには微粒子測定器の校正試験、実験用動物の暴露試験などの広範囲な分野で用いられてきた。

このように、標準粉体を必要とする分野では、標準粉体を大気じん相当として試験研究に供することが殆んどなので、ユーザーが始めて標準粉体を使用する際、大気中または気流中にどのように発生すればよいのか戸惑う場合が多く、その使用方法についての問い合わせが日本粉体工業協会を通して大へん多い。

試験用ダストの発生機については、すでに SAE 推奨規格<sup>2)</sup>、AFI 規格<sup>3)</sup>、BS<sup>4)</sup>などでそれぞれ定められており、わが国においても20数年以前から、同規格相当品が自動車用のエアクリーナや換気用パネル形エアフィルタなどの汎用性試験に使用してきた。

しかしながら、これまでのところダスト発生機についての JIS の規定もなく、同発生機の完成品の市販品もないまま今日に至り、これを必要とするユーザーは、その都度内外の文献<sup>5)~8)</sup>をより所としてダスト発生機を自家製造したり、或いは関連する市販の機器を購入して、これらを組合せ完成品として使用してきたのが実情である。したがって、現在でもなお、ダスト発生機の入

手上、使用上の不便は解決されていない状態であるといえる。

いまさら申すまでもなく、試験用ダストを大気中や気流中に発生させて集じん試験、摩耗試験などをを行う際に、ダストが十分に分散している場合と、分散が不十分で粒子が凝集している場合とでは試験結果が大幅に異ってくることが考えられよう。すなわち、集じん試験でいえば、気流中でダストの分散が良好でないと、粒子は気流に同伴されにくく、むしろ凝集して粗粒子となるため気流から分離しやすくなることなどがあげられる。また、摩耗試験の場合は、ダストが十分に分散しないと機器の摺動部への粒子の混入状態が異なってくることなどがあげられ、いずれの場合でも再現性を有する試験結果が期待できなくなる。

このように、ダストを必要とする諸性能試験においては、ダストの発生状態が試験の精度に直接影響を及ぼしているといつても過言でない。しかしながら、この種の研究報告<sup>5), 6)</sup>が比較的少ないので、気流中におけるダストの分散状態の測定方法が容易でないことが先ず第一にあげられるが、そのほかに、ダストの発生状態が集じん性能に直接影響しないといわれてきたためと思われる。

当室では、これまで試験用ダストを規定濃度で一様に発生できるダスト発生機の開発を目標として、内外で用いられているダスト発生機を集め、それらのダスト発生機を用いて気流中にダストを発生し、粒径分布や濃度分布の測定方法を研究してきた。

ここでは、内外で使用されている各種ダスト発生機の紹介と、当室手持ちの代表的ダスト発生機の実測例を説明し、試験用ダストを使用される各位の参考に供したいと思う。なお、試験用ダストの規格<sup>10)</sup>に新たに加えられたエアロゾル（液滴微粒子）の発生方法は次回にゆずることにし、その種類と適用例の紹介にとどめたい。

\* 工業技術院 機械技術研究所  
(〒189 東京都東村山市富士見町5-12-2)  
Tel (0423) 93-9231 内線 (286)

Table 1.1 内外における試験用ダストの適用例

適用例	内 容	使 用 ダ 斯 ト	適 用 規 格
除じん、集じん試験	(1)自動車用、建設機械用エアクリーナー (2)換気用パネル形エアフィルタ (3)防じんマスク (4)集じん装置 (5)その他	SAE ; Fine, Coarse, JIS ; 7種, 8種等 AFI 規定ダスト JIS 15種等 石英ダスト	SAE <sup>2)</sup> , BS <sup>11)</sup> , JIS <sup>12)</sup> (自動車用エアクリーナ試験方法) AFI <sup>3)</sup> , BS <sup>4)</sup> , JIS <sup>13)</sup> (換気用パネル形エアフィルタ) JIS <sup>14)</sup> (防じんマスク)
摩耗、耐久性能試験	(1)内燃機関、及び同部品類 (2)シートベルト (耐久性能) (3)ランプ類 (気密試験) (4)航空機機器類 (環境試験) (5)その他	SAE ; Fine, JIS ; 2種, 3種, 7種, 8種 石英ダスト SAE, セメント, JIS ; 6種(セメント) JIS ; 2種, 3種相当	O.E.C.D 標準テストコード <sup>15)</sup> (農業用及び園芸用小型エンジン試験) オーストラリヤ規格 <sup>16)</sup> SAE <sup>17)</sup> , JIS <sup>18)</sup> (自動車用ランプ類) MIL <sup>19)</sup> (航空機、軍用機器の環境試験法)
粉粒体機器の校正試験	(1)標準ふるい (2)粉粒度測定器 (3)流动性試験器 (4)その他	炭化けい素等の各種	JIS <sup>20)</sup> (標準ふるい) JIS <sup>21)</sup> 研磨材の粒度の試験方法
渕過、耐久性能、校正試験 (油空圧機器、オイルフィルタ)	(1)油圧機器類の耐久試験 (2)油、空圧フィルタの渕過粒度試験 (3)油中微粒子自動測定器の校正 (4)自動車用オイルフィルタの渕過性能 (5)自動車用フィエルフィルタ試験	SAE ; Fine, JIS ; 3種, 8種 SAE ; Fine, JIS ; 8種等	JIS ; 8種 ISO <sup>22)</sup> , NFPA <sup>23)</sup> (油圧用機器の耐久試験) JIS <sup>24)~25)</sup> (油圧用、空気用フィルタ) JIS <sup>26)</sup> (作動油中の微粒子測定方法(計数法)) JIS <sup>27)</sup> (自動車用オイルフィルタ試験方法) JIS <sup>28)</sup> (自動車用フィエルフィルタ試験方法)

## 2. 内外における試験用ダストの適用例

### 2.1 試験用ダストの適用例

Table 1.1は、内外における試験用ダストの各種試験への適用例を示したものである。

Table 1.1において、除じん及び集じん試験では内外において最も多くの規格が定められ、試験用ダストの種類や粒径分布、化学組成などの特性とともに、除じん、集じん装置の性能試験を行う際のダスト濃度がそれぞれ規定されている。

機械、計器類の摩耗試験、耐久性能試験用のダストは、現在のところ JIS では自動車用ランプ類の気密試験用として普通ポルトランドセメントがきめられているが、その外のものは規定がないので、海外向けの輸出品またはアメリカ軍への受注品等に対しては、相手国の規格が次のように準用されている。たとえば、航空機関係は MIL 規格<sup>19)</sup>、内燃機関関係は O.E.C.D 規格<sup>15)</sup>、シ

ートベルト関係はオーストラリヤ規格<sup>16)</sup>にもとづいて性能試験が行われている。

粉粒体機器の校正試験では、研磨材が JIS 規格<sup>20),21)</sup>で規定されている。なお、現在のところ特に規定はないが、粉粒度測定器の校正試験用として JIS の試験用ダスト<sup>10)</sup>がよく用いられている。

油空圧機器類の渕過試験、耐久性能試験<sup>22),23)</sup>では、油中のコンタミナントとして、JIS の 8種<sup>10)</sup>、SAE の Fine<sup>2)</sup>などのダストが用いられている。ダストを空気流中に一様に発生するのと同様に、油圧用フィルタ、燃料フィルタ、オイルフィルタの渕過性能試験、及び油中微粒子測定器の校正の際には、油中にダストを均一に分散した状態で機器のラインに流すことが最も重要とされている。

### 2.2 試験用エアゾルの適用例

前項の試験用ダストのような固体微粒子では、粒径の一番細かいもので約 10 μm 以下であり、これ以下の粒

Table 1.2 内外における標準粉体（エアロゾル）の適用例

適用例	内 容	使用エアロゾル	適用規格
除じん、集じん試験	(1)超高性能エアフィルターの汎過性能	13種 DOP, ステアリン酸(単分散粒子)	MIL <sup>32)</sup> BS <sup>4)</sup> (超高性能をエアフィルタ試験方法)
	(2)超高性能エアフィルターの汎れ	14種, DOP (多分散粒子)	MIL <sup>32)</sup> (超高性能エアフィルタ試験方法)
	(3)高性能エアフィルターの汎過性能	14種, DOP (多分散粒子)	
	(4)放射性エアロゾル用高性能エアフィルターの汎過性能	13種, DOP, ステアリン酸	JIS <sup>31)</sup> (放射性用高性能エアフィルタ試験方法)
	(5)メンブレン(薄膜)フィルタの汎過性能	ポリスチレンラテックス	
機器の校正試験	(1)光散乱式微粒子計数器の校正	13種, ステアリン酸(単分散粒子)	JIS <sup>29)</sup> (光散乱式微粒子計数器)
	(2)光散乱式微粒子濃度測定器の校正	13種, ステアリン酸(単分散粒子)	JIS <sup>37)</sup> (大気中の浮遊粒子状物質自動計測器)

径のものを固体微粒子で作ることは困難なので、数  $\mu\text{m}$  以下のものに対しては一般にエアロゾルが用いられる。

Table 1.2 は、内外におけるエアロゾルの各種試験への適用例を示したものである。

Table 1.2において、エアロゾルには単分散粒子と多分散粒子の二種類があり、前者は粒径が  $0.3 \mu\text{m}$  でよく揃っており、原子力用フィルタ、クリンルーム用超高性能エアフィルタ、及び光散乱式粒子計数器<sup>29)</sup>の校正用として JIS でそれぞれ定められている。後者は粒径  $3 \mu\text{m}$  以下のものであるが、これは、高性能エアフィルタの汎過性能試験、及び超高性能エアフィルタの空気汎れ試験として定められている<sup>30)</sup>。

エアロゾルの発生方法は、内外の規格<sup>4), 10), 31), 32)</sup>で定められているが、現在のところ、サブミクロン粒子に対する粒径分布の測定方法が必ずしも確立されていると

はいいがたい段階なので、厳密な意味では未だ問題点が残されている。

エアロゾルは、このほかにポリスチレンラテックス、鉛などの金属ヒューム及び塩化ナトリウムなどの塩ヒュームも発生できる<sup>4), 33~35)</sup>。

### 3. 内外における代表的ダスト発生機の種類と内容

Table 2 は、内外における代表的なダスト発生機を示したものである。

Table 2 に示した殆どのものは、先に述べたとおり自動車用エアクリーナ及び空気調和用フィルタの汎過性能試験用として、SAE 推奨規格<sup>2)</sup>、AFI 規格<sup>3)</sup>、BS<sup>4)</sup>、JIS<sup>12), 18)</sup>などで規定され、今日もなお使用されている

Table 2 内外における代表的な試験用ダスト発生機

発生方法	器種、型式	ダスト濃度 C(g/m <sup>3</sup> )	適用例又は関連規格
定量吹上げ法	B.M 型	可変	B.M <sup>86)</sup> (労働衛生、エアフィルタ)
	AFI 型	0.1 目標	AFI <sup>3)</sup> , JIS <sup>18)</sup> (換気用パネル形エアフィルタ)
	SAE, I 型	1 目標	SAE <sup>2)</sup> , JIS <sup>12)</sup> (自動車用エアクリーナ試験方法)
	SAE, II 型	1 目標	" "
定量落下法	定量落下型	可変	通常、管路の吸引風速が 5 m/S 以上の場合適用できる。
	分散機型	"	特に、JIS の規定はないが、現在、一般に最も多く使用されているもの。
	吹付け型	"	"
	エジェクタ型	"	"
	BS, I 型	1 目標	BS <sup>11)</sup> (自動車用エアクリーナ試験方法)
定量送出法	BS, II 型	0.1 目標	BS <sup>4)</sup> (換気用パネル型エアフィルター)
	回転ドラム型	0.1 目標	実験用動物の暴露試験等に適用 <sup>38)</sup>

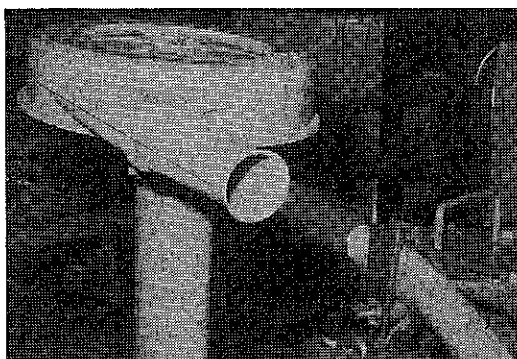
ものである。

これらのダスト発生機は、容器に一定量の試験用ダストを入れ、ダストの上面に乾燥状態の圧縮空気を吹きあてて発じんさせる方法と、容器に入れたダストを常に一定量流出落下させ、これに乾燥した圧縮空気を吹きあてて発じんさせる二方法がとられている。

いま便宜上、前者を定量吹上げ法、後者を定量落下法ということにする。内外におけるダスト発生機は、これら両者のいずれかといってまちがいないといえる。

定量吹上げ法は、歯車又はピストンの回転速度と圧縮空気とを可変してダスト濃度が加減できるようになっており、定量落下法では、一様に流出落下するダストの流量と、これを受けるエジェクタの圧縮空気の圧力を加減してダスト濃度が可変できるようになっている。

なお、両者ともにダストを発生する際には圧縮空気中の水分を十分に除去して、ダストの表面や、一定量流出落下するダストに吹きあてることが必須条件となっている。脱湿機等を用いない場合、ダストは圧縮空気中の水分や油分の影響で凝集して分散しにくくなり、一様にダストを発生することができなくなる。



左上…自動車用エアクリーナ  
右下…発生機よりのダスト気流  
**Fig. 1** 試験用ダストを用いた自動車用エアクリーナの汎過性能試験

Fig. 1 は、試験用ダストの発生状況を示したものである。次に、各機種ごとのダスト発生機の概略的な機構と内容は次項のとおりである。

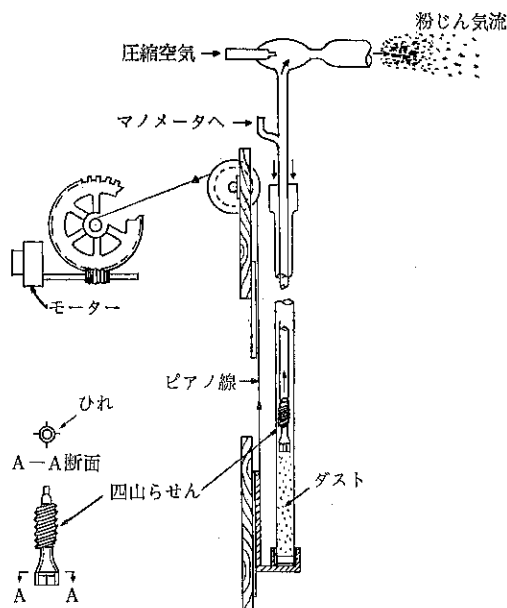
### 3.1 吸上げ式ダスト発生機

**3.1.1 B.M型** B.M型は Fig. 2.1~2.2 に示すように、エジェクタに圧縮空気を通し、のど部の静圧の低下により容器中のダストを吸上げ、これに圧縮空気を吹きあててダスト発生するようになっている。

ダスト濃度は、ダスト容器の上昇速度を変えることによ



**Fig. 2.1** B.M型ダスト発生機



**Fig. 2.2** B.M型のダスト発生機構

よって変化できる。また、ダスト吸上げ管の先端には Fig. 2.2 に示すように螺旋状の溝がきってあり、ダストの吸上げを容易にするようになっている。

**3.1.2 AFI型** AFI型は Fig. 3.1~3.2 に示すように、ダスト容器の移動と斜形歯に加工された歯車の回転にともない、ダストを吸込口に運び、これに圧縮

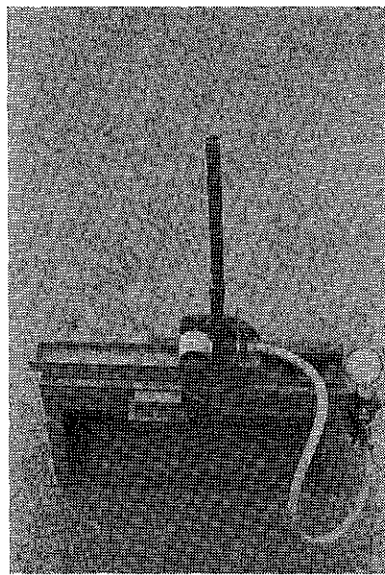


Fig. 3.1 AF I型ダスト発生機

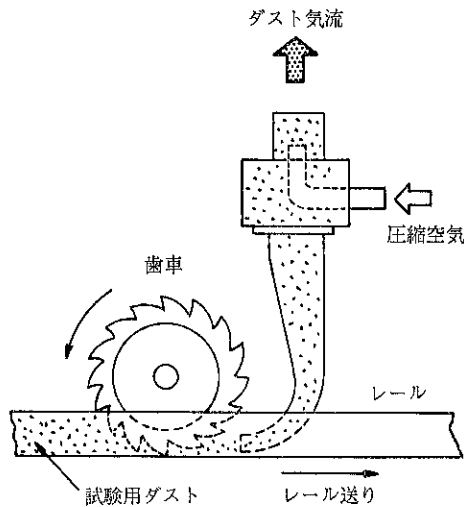


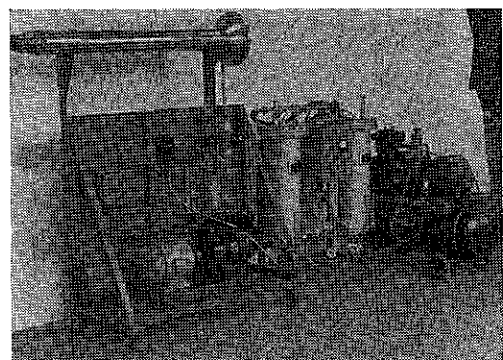
Fig. 3.2 AF I型のダスト発生機構

空気を吹きあててダスト気流を作るようにになっている。

なお、ダスト濃度は、ダスト容器の移動と歯車の回転速度及び圧縮空気を加減することにより可変できる。

このダスト発生機は、試験条件によって必要とする量のダストを容器に入れて試験し、試験終了時にすべてのダストを発生し終わっていることを特長としている。

**3.1.3 SAE I型** このダスト発生機は Fig. 4.1 ~4.2 に示すように、透明な円筒管に充填したダストをピストンで押し上げつつ、円筒管壁にあけられたノズルから圧縮空気をダスト表面に吹きあてるによりダス



左…ダスト発生機 中央…脱湿器 右…空気圧縮機

Fig. 4.1 SAE I型ダスト発生機

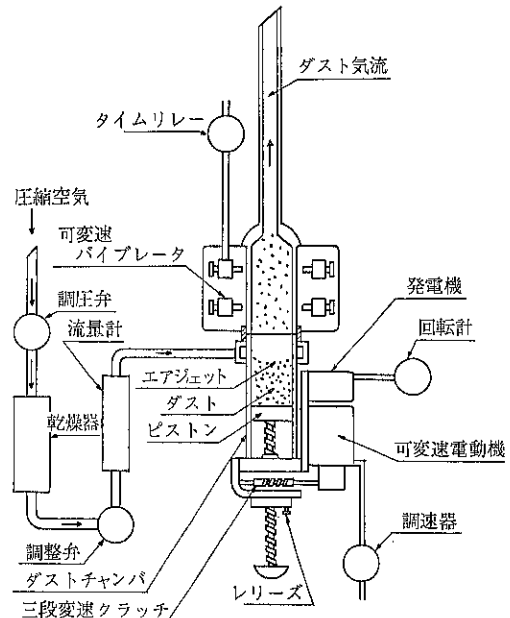


Fig. 4.2 SAE I型のダスト発生機構

ト気流を作り、大気中又は気流中に導びくようになっている。

ダスト濃度は、ピストンの上昇速度及び圧縮空気を加減して変えられるようになっている。また、円筒管壁には飛散したダストが付着しやすいので、これを防ぐために小型振動器が取り付けてある。

**3.1.4 SAE II型** このダスト発生機は Fig. 5.1 ~5.2 に示すように、容器の回転上昇にともない、容器中のダストを中央の吸上げ管より濃厚ダスト気流として上昇させ、これに、さらに圧縮空気を吹きあてて分散させダスト気流を作るようにになっている。

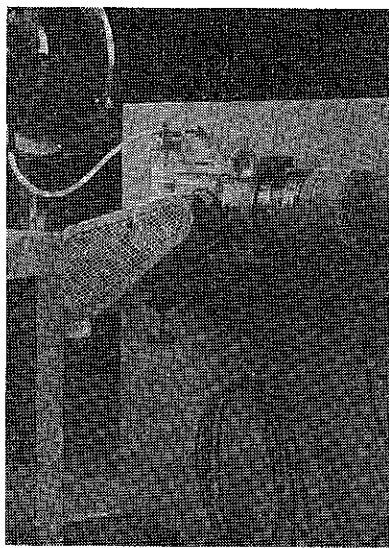


Fig. 5.1 SAE II型ダスト発生機

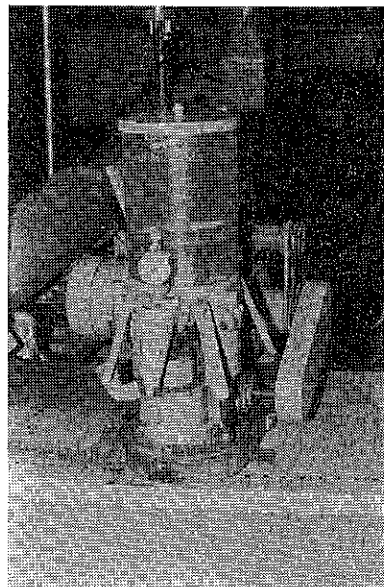


Fig. 6.1 ダスト定量供給機

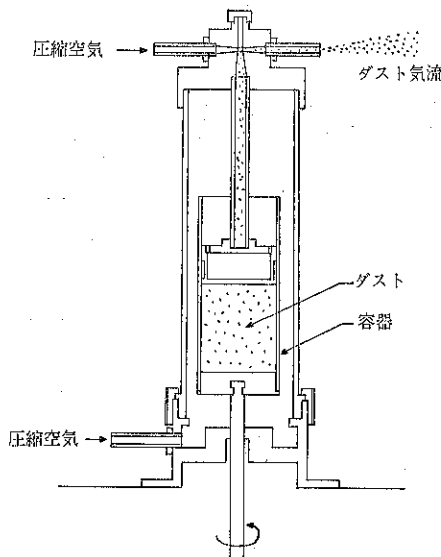


Fig. 5.2 SAE II型のダスト発生機構

吸上げ管の下端外側の3箇所に溝及び細孔が切ってあり、気流はダストを伴い容器の回転上昇にしたがって濃厚ダスト気流として吸上げ管を上昇し、これに吸上げ管上部のエジェクタにより濃厚ダスト気流が分散するようになっている。

### 3.2 定量落下式ダスト発生機

**3.2.1 定量落下式ダスト供給機** Fig. 6.1～6.2は、定量落下式ダスト供給機の代表例を示したものである。

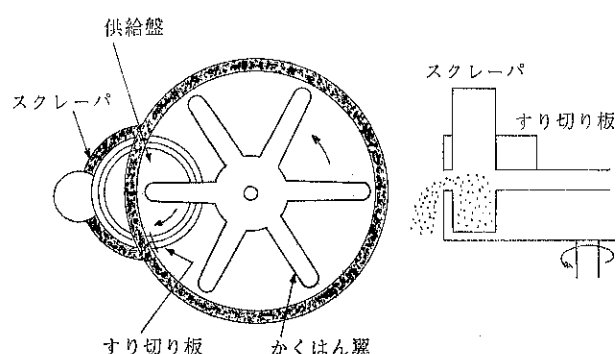


Fig. 6.2 定量供給機のダスト流出機構

これらは、粉体微量供給機として一般に用いられているものをダスト供給機として応用したものである。したがって、この種のものは電磁フィーダー型の比較的簡単なものから、微量供給できる各種があり、市場品として一般に入手できる\*。

ただし、定量落下式ダスト供給機は、一定量のダストを流出落下させるだけのものであるから、そのままではダストは分散しないので、その点注意を要する(ただし、おおよそ 4 m/s 以上の空気流中で始めて発じんしていく)。

\* ダスト定量供給機はここに示したものだけでなく、供給精度の高いシクロンフィーダ(株細川鉄工所製)、マイクロフィーダ(株三協電業製)、降下スクラーパ式ダスト供給機(協和精工株製)などがある。

したがって、この種のものをダスト発生機として使用する場合は、次項に述べるようにエジェクタなどのダスト分散器を併用することによって始めてその機能が發揮できる。

Fig. 6.1～6.2 は、定量供給機として最も普及しているものの例であるが、これは透明な円筒内に充填したダストを6枚のかくはん翼によって充填の程度を一定にして、次にかくはん翼と逆回転している供給盤の溝に充填

し、さらに溝の中のダストをすり切り板によって一定深度にすり切り、スクレーパの差込みによって定量供給できるようになっている。ダストの供給量はスクレーパの差込み深さ、及び供給盤の回転速度を変えることによって可変できる。

### 3.2.2 分散機型ダスト発生機 Fig. 7.1～7.2は、分散機型ダスト発生機を示したものである。

Fig. 7.1 からわかるように、このダスト発生機はジュースミキサーの一部を改良して耐摩耗性のかくはん羽根、ダスト投入口及び排出口を取付けたものである。使

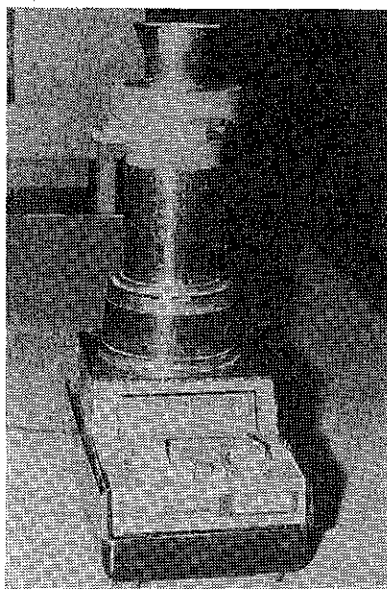


Fig. 7.1 分散機型ダスト発生機

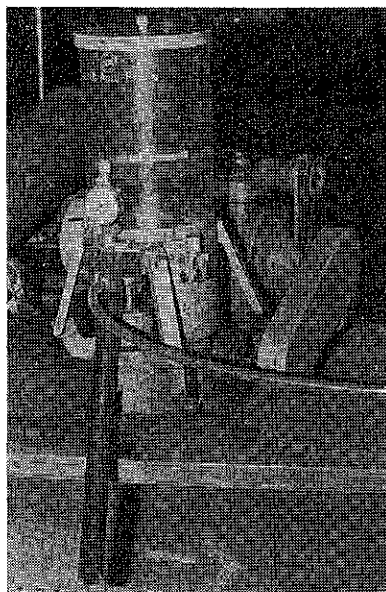


Fig. 8.1 吹付け型ダスト発生機

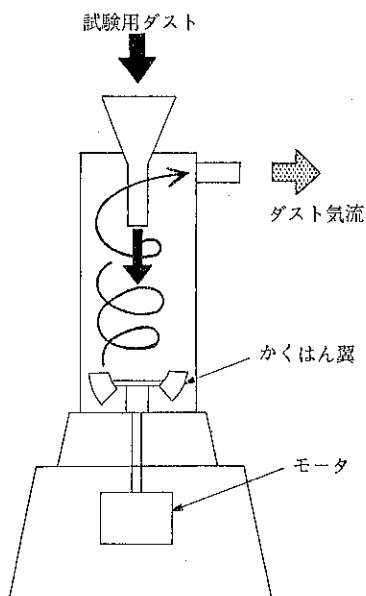


Fig. 7.2 分散機型のダスト発生機構

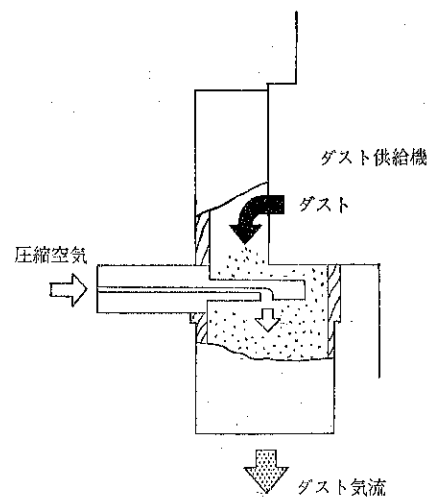


Fig. 8.2 吹付け型のダスト発生機構

用にあたっては、ダスト投入口よりダストを一定量ずつ供給すれば、かくはん羽根の回転によって分散されたダストが排出口よりダスト気流となって排出されるようになっている。

この型式のものは他のダスト発生機と異なり、圧縮空気を必要としないので、装置が大がかりにならず、定量供給機との組合せで任意の場所で手軽に使用できることを特長としている。

**3.2.3 吹付け型ダスト発生機** 吹付け型ダスト発生機は、定量落下式ダスト供給器のダストの流入落下する供給部に圧縮空気を導入し、ダスト気流を発生させるようになっている。

Fig. 8.1～8.2 は、吹付け型ダスト供給機と同供給機の圧縮空気の導入部を示したものである。これからもわかるように、他のダスト発生機に比較して最も簡単なダスト発生機といえる。

**3.2.4 エジェクタ型ダスト発生機** エジェクタ型ダスト発生機は Fig. 9.1～9.2 に示すようにきわめてシンプルな構造のものである。各種の定量供給器より供給されるダストを投入口より受け、これに乾燥状態の圧縮空気を吹きあてて発じんするようになっている。

Fig. 9.2 からわかるように、管路はダストの流入する部分で絞られ、ジェットポンプとなるためダストが十分に分散される。

#### 4. 代表的ダスト発生機の性能の測定例

先に述べたとおり、試験用ダストは主として集じん装置の汎通性試験に用いられるが、その際のダストの発生条件は集じん装置の種類や容量の大小によって異なる。

集じん装置の吸入空気の風速は一般的にいって、空気調和用フィルタでは  $1 \sim 3 \text{ m/s}$ 、自動車用エアクリーナーでは  $4 \sim 6 \text{ m/s}$ 、集じん装置では  $5 \sim 10 \text{ m/s}$  の範囲とみてよい。それぞれのダスト濃度は、空気調和用フィルタ



左…管路 中央…エジェクタ 右…定量発生機

Fig. 9.1 エジェクタ型ダスト発生機

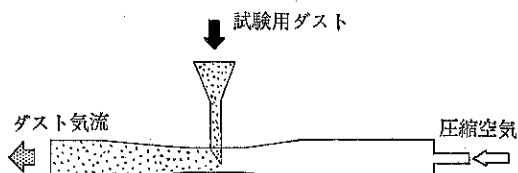


Fig. 9.2 エジェクタ型のダスト発生機構

が  $10 \sim 100 \text{ mg/m}^3$ 、自動車用エアクリーナーが  $1 \text{ g/m}^3$ 、集じん装置が  $5 \sim 10 \text{ g/m}^3$  の範囲である。

ここでは、この種の試験に最も用いられている試験用ダスト 7 種（関東ローム、細粉）、8 種（関東ローム、微粉）及び 11 種（関東ローム、超微粉）を使用し、これらのダストが Fig. 10 に示す実験装置の管路内で十分に分散しているかを調べた。

管路内における平均風速は  $5, 10, 15 \text{ m/s}$  一定とし

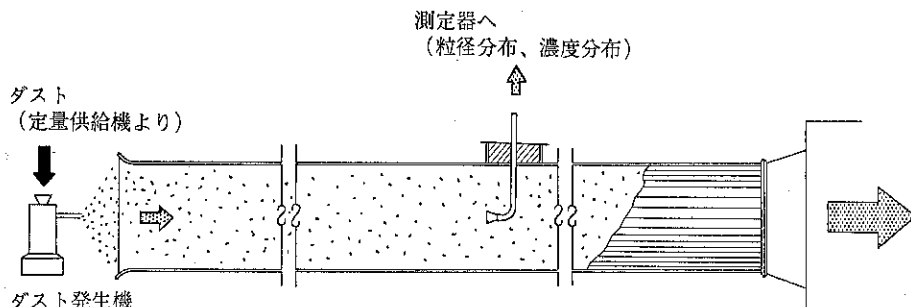


Fig. 10 実験装置概略図

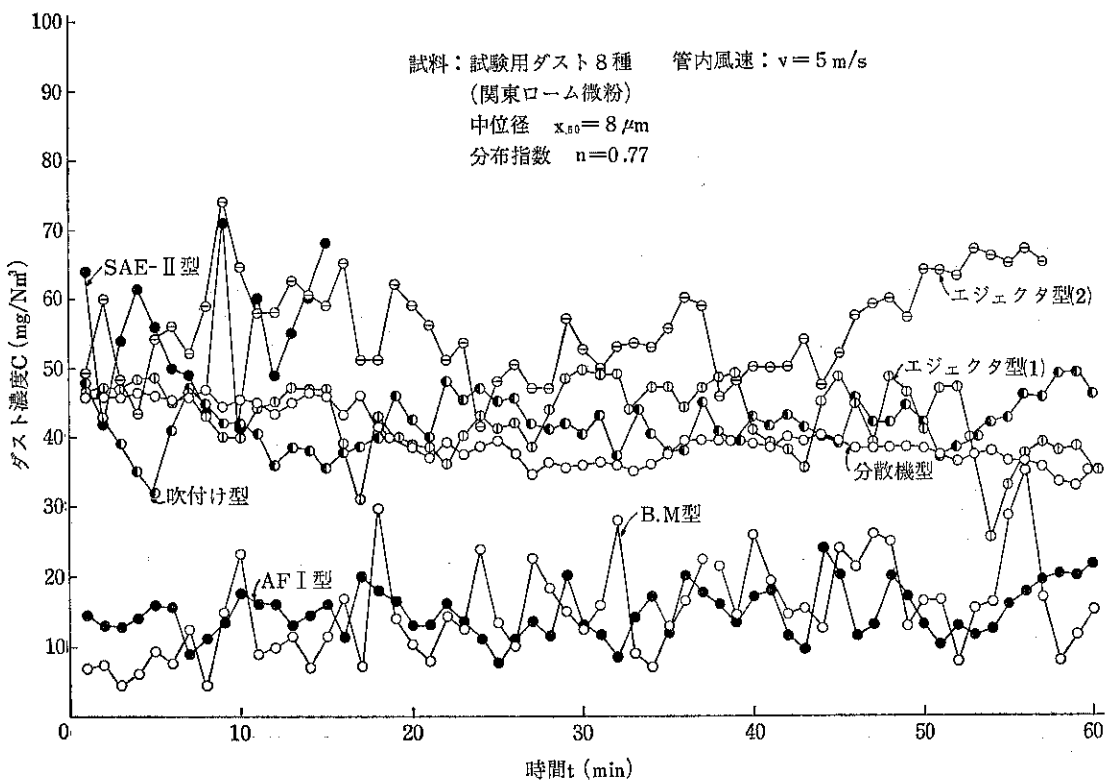


Fig. 11.1 ダスト濃度の時間的変化

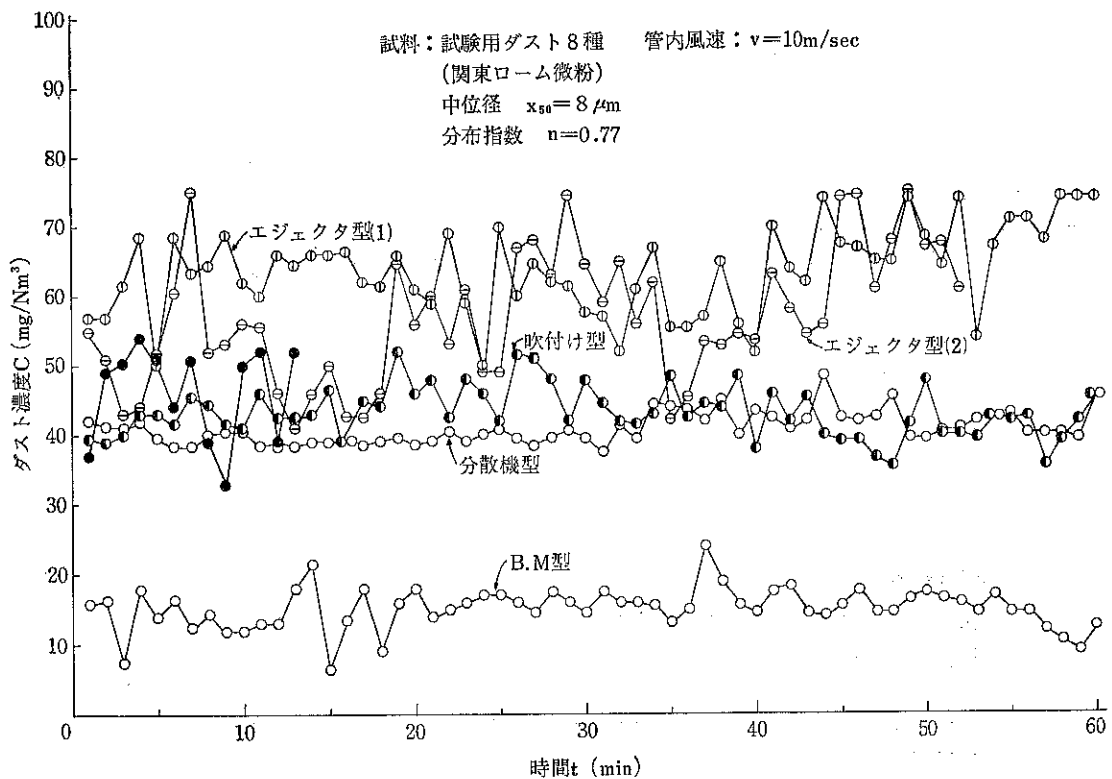


Fig. 11.2 ダスト濃度の時間的変化

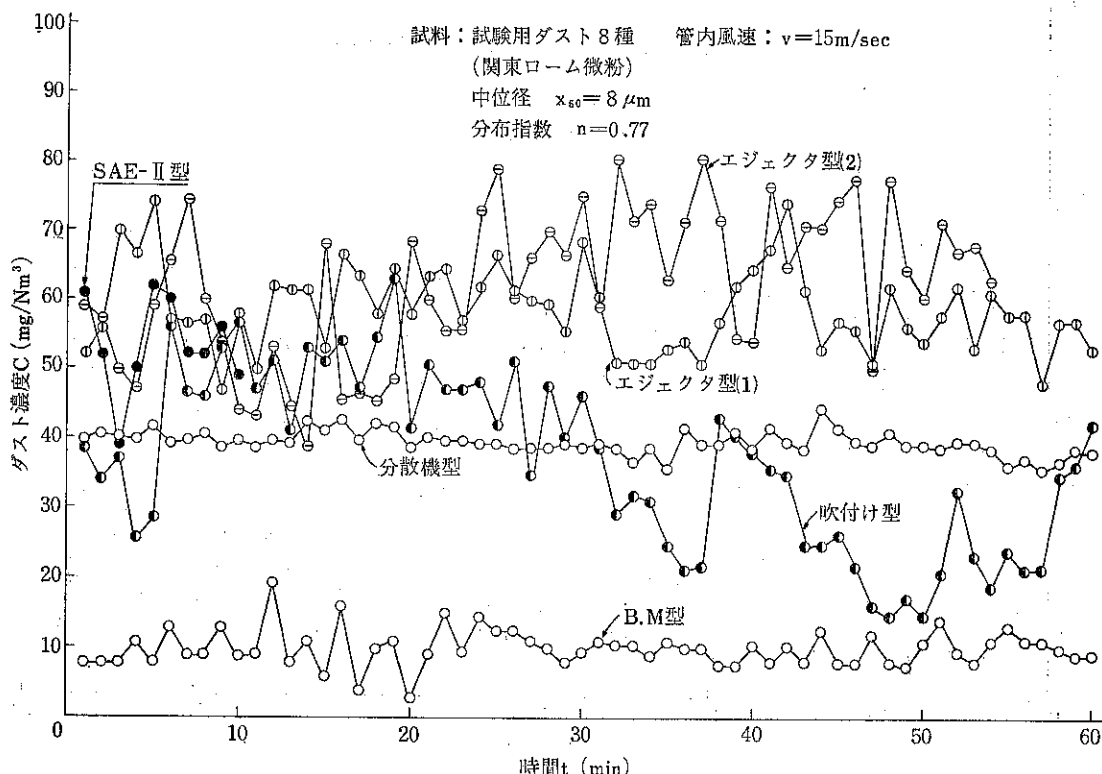


Fig. 11.3 ダスト濃度の時間的変化

て、吸入空気流中に各種のダスト発生機により、ダスト濃度  $100 \text{ mg}/\text{Nm}^3$  の状態で発生し、このダスト気流を等速吸引してダストの分散状態を濃度分布と粒径分布とから求めた。なお、濃度分布はダスト濃度連続測定器を用い、粒径分布はカスケードインパクタを用いた。

Fig. 11.1~11.3 は、各種のダスト発生機より、粒径分布の異なる 7 種、8 種及び 11 種の 3 種類の試験用ダストを、管路内風速 5, 10, 15 m/s 中に発生し、それぞれの風速におけるダスト気流を、管路内の中心部分よりダスト濃度連続測定器により等速吸引して、ダスト濃度を瞬間的かつ連続的に測定した結果である。

これらの結果から、ダスト発生機の各機種の特長は概要次のとおりであることがわかった。

#### 4.1 ダスト濃度

##### 4.1.1 定量吹上げ法

(1) B.M型 B.M型は微量のダスト発じん用として作られたものであるため、他のダスト発生機に比較してダスト濃度がいく分低いので、ここでは、ダスト容器の巻上げ速度を  $v=29 \text{ mm}/\text{min}$  と最大にして発じんしたが、ダスト濃度  $20 \text{ mg}/\text{Nm}^3$  が限界で、使用時間は 2 hr 程度まで可能であった。

Fig. 11.1~11.3 の実験結果からもわかるように、ダスト濃度はかなり一様であり、発じん機として良好なものといえるが、容器内へのダストの充填時のタッピング状態によって、多少濃度のばらつきができることが判明した。したがって、この種のダスト発生機は、試験用ダストの特性と発生機の機能を十分に習熟することによって発生の精度を高めることは可能といえる。また、ダスト容器やらせん溝を大形化すれば高濃度のダストを発生することもできよう。

(2) A.F.I型 A.F.I型は、空気調和用フィルタの試験用として作られた関係もあり、B.M型と同様にダスト濃度がいく分低い。

この機種は、容器へのダストの充填状態により、ダスト濃度が異なってくることが認められた。実際の使用にあたって特に注意を要することは次のとおりであった。

すなわち、ダストを発生する場合、レールで容器とともに運ばれるダストを歯車によりダスト吸上げ口まで運ぶが、その際、ダストが入りすぎると歯車に次第にダストが付着して発じんしなくなるということである。本実験中でも刷毛を用いて歯車に過剰に付着したダストをたえず払い落しながらダストを発生した。

(3) S.A.E.II型 今回の実験に用いた S.A.E.II型

は小容量のものであるため、 $100 \text{ mg/Nm}^3$  の濃度で使用時間が 15~20 min 程度であった\*。

Fig. 11.1~11.3 からわかるように、SAE II型は各種ダスト発生機中ダスト濃度のばらつきが最も大きいことが認められた。

これは、容器へのダストの充填の程度及び圧縮空気の調整加減の影響によるものと思われる。先に JIS の試験用ダストの解説に示した<sup>10)</sup>この機種のものはダストの分散性が外のどの機種よりも優れていたので、容器へのダストの充填の程度が直接濃度分布の精度に影響することが認められ、今後、容器へのダストの充填方法を十分検討する必要があることがわかった。

#### 4.1.2 定量落下法

先に述べたとおり、定量落下法におけるダスト発生機は、ダスト定量供給機とダスト発生器との組合せである。したがって、この種の発生機ではダストの供給量を定量供給機で調整し、定量落下するダストへ吹きあてる空気量は圧縮空気の圧力を変えるか、若しくはモーターの回転数を変えることによって調整できるようになっている。

(1) 吹付け型 このダスト発生機は、Fig. 14.1~14.3 からわかるように、一定のダスト濃度を保つことが困難のようである。試験用ダストが 7 種、8 種、11 種と細かくなるにしたがい、その傾向が著しいことが認められた。その原因是、圧縮空気の吹出し口及びダスト供給口の部分に、使用時間の経過とともにダストが付着、堆積していくためである。したがって、この対策としては、ダストの発生部にたえず適正な振動をあたえてダストの付着、堆積を防止することである。

(2) 分散機型 分散機型のモーターの回転数は低速、中速、高速の 3 種類があるが、中速が本実験条件に最も適しているので、ここではモーターの速度を中速一定とした。

その結果、Fig. 11.1~11.3 に示すように、この機種は 11 種を除く、7 種、8 種に対して各種ダスト発生機中最も分散性がよいことが認められた。

なお、分散機内へのダストの付着はきわめて少なく、圧縮空気を必要としないので取扱い易いのがこの機種の特長といえるが、使用が長時間にわたる場合モーターが加熱するのでその点注意が必要である。

\* この SAE II型は容量  $80 \text{ cm}^3$  の小型なので、現在は容量  $600 \text{ cm}^3$  の中型のものを作り使用している。

(3) エジェクタ型 エジェクタ型は分散機型と同様に定量供給機との組合せで用いられる。

発生器の構造がシンプルであるにもかかわらず、粒度の異なる 7 種、8 種、11 種の各種ダストに対して分散性が比較的よいことが認められた。

ダスト濃度のばらつきの大きいところもあるが、これは、エジェクタの漏斗部へのダストの付着が原因のようである。漏斗のダスト流入落下部分を滑りやすい形状、又は材質にすることによって、このばらつきはいく分改善されるものと思われる。

### 5. 代表的ダスト発生機の性能比較

代表的ダスト発生機の性能を調べるために、これまでの実験結果からダスト濃度の変動率を求めたり、粒径分布を求めて相互に比較した。

#### 5.1 ダスト濃度による比較

ダスト濃度の変動率は、 $7$ (機種) $\times 3$ ( $5, 10, 15 \text{ m/s}$  の各吸入空気速度) $\times 3$ (7 種、8 種、11 種の 3 種類のダスト) = 63 実験例より次式から求めた。

$$F(\%) = \sqrt{\frac{1}{T} \sum_{t=1}^T (C_t - \bar{C})^2 / \bar{C}}$$

ここに、 $F$  : 変動率(%)

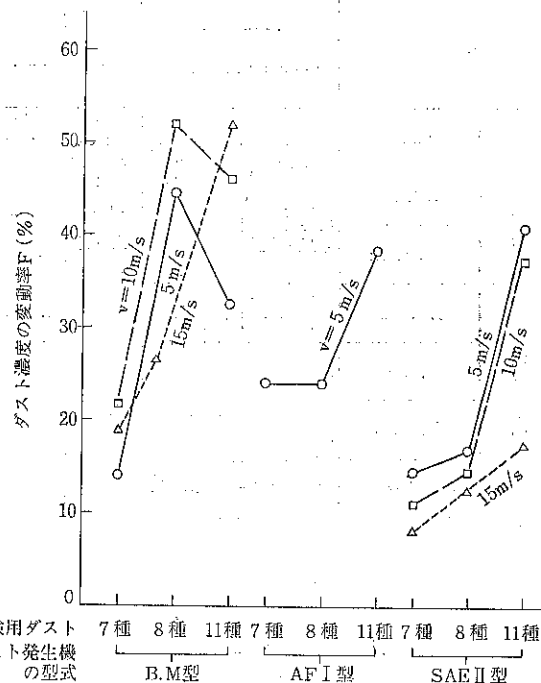


Fig. 12.1 ダスト濃度の変動率(定量吹上げ法)

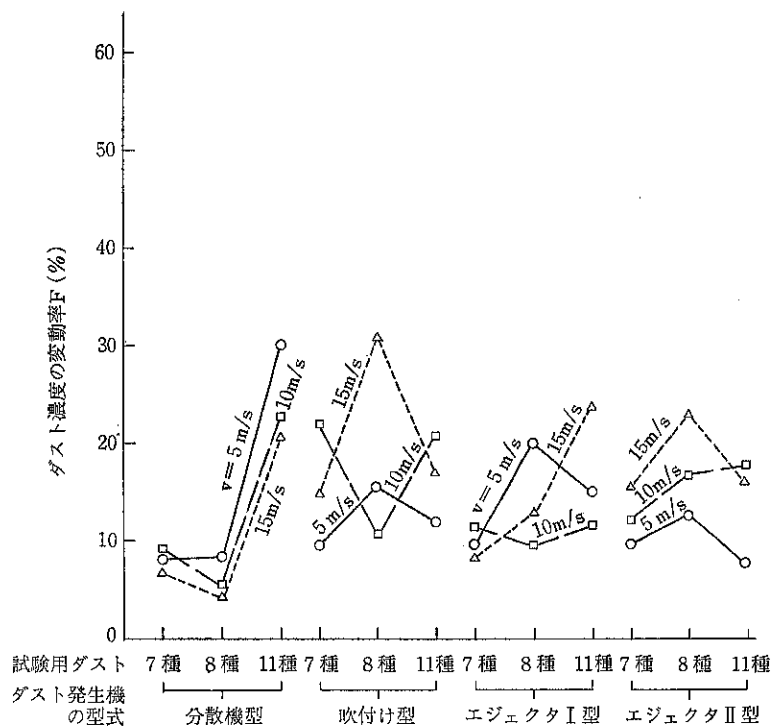


Fig. 12.2 ダスト濃度の変動率（定量落下法）

Table 3 各種ダスト発生機の性能検定結果

発生方式及び型式		使用機器 (ダスト発生機の組合せ)	性能						備考	
			濃度	使用時間	注意事項		試験用ダストに対する分散性			
定量吹上げ法	B.M型	本体 + 空気圧縮機(脱湿機付)	低 (数粒程度) 130cm <sup>3</sup> までのダスト 発生可能		ダストを十分に乾燥して使用する	○	×	×	×	分散性の記号は次の変動率の値を示すものである。  記号   変動率(%) ○   0~10 ○   10~20 △   20~30 ×   30~40
	AF I型		低 (可変) 200cm <sup>3</sup> までのダスト 発生可能	前車へのダストの付着に注意		△	△	×	×	
	SAE-II型		低~高 (可変) 100cm <sup>3</sup> までのダスト 発生可能			○	○	△	○	
定量落下法	分散機型	定量供給機 + 分散機		約1hまで	モーターの加熱に注意	○	○	△	△	
	吹付け型	定量供給機 空気圧縮機 エジェクタ	低~高 (可変)	制限なし	空気吹付け部へのダストの付着に注意	○	○	○	△	
	エジェクタI型	吹付け型 (エジェクタI型 エジェクタII型)	空気圧縮機は脱湿機付		エジェクタの漏斗部へのダストの付着に注意	○	○	○	○	
	エジェクタII型					○	○	○	-	

$C_t$  : t分におけるダスト濃度(mg/Nm<sup>3</sup>)

$\bar{C}$  : 平均ダスト濃度(mg/Nm<sup>3</sup>)

これらの結果は、Fig.12.1～12.2に示すとおりである。Fig. 12.1より、定量吹上げ法によるダスト濃度の変動率は10～30%の範囲であって、この方法に含まれる型

式のダスト発生機では機器の取扱いに十分熟知しない限り変動率10%以内に定量発じんすることは困難であることがわかった。この傾向は7種、8種、11種とダストの粒度が細かくなるほど顕著である。

定量落下法ではそのほとんどが、20%以内の変動率で

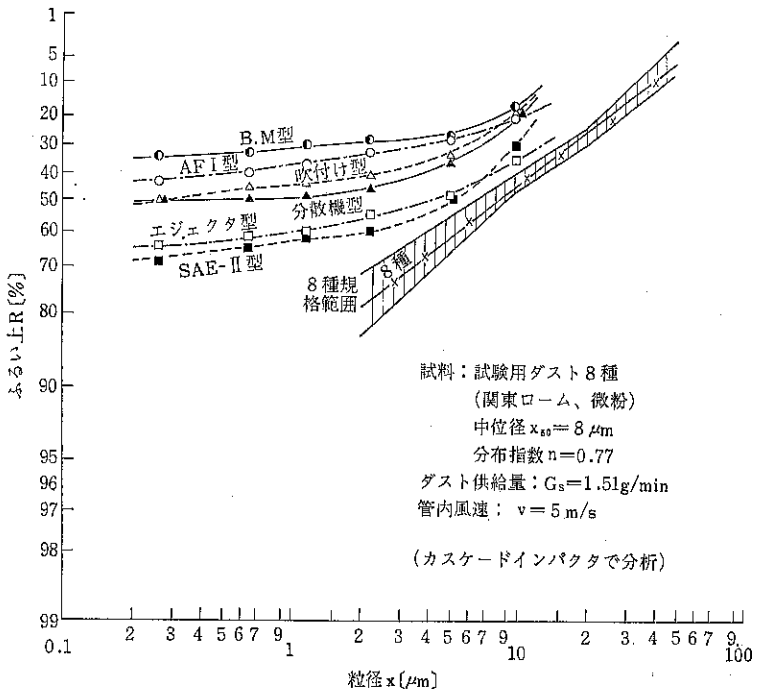


Fig. 13 ダスト気流中における粒径分布の比較

発じんできることができた。

この方法は定量吹上げ法と異なり、粒度の細かい11種に対しても比較的分散性がよいことも認められた。なお、分散機型は11種に対しては分散が良好でないが、7種および8種に対しては最高の定量性があるといえる。

Table 3 は、参考までに当室で取扱った代表的ダスト発生機の性能の測定結果を一覧表にまとめたものである。

## 5.2 粒径分布による比較

ダスト濃度を求めた際と同様に、代表的ダスト発生機を用いて、試験用ダスト8種(関東ローム、微粉)を実験装置の管路内の平均風速5, 10, 15 m/sの空気流中に発生し、管路の上部、中心部、下部の3箇所よりそれぞれ等速吸引して粒径分布を求めた。

その結果、風速が速い方が規定粒径分布に近く、さらに、管路の中心部から下部の方が規定粒径分布に近いことが確認された。規定粒径分布に近いものは、試験用ダストが気流中で十分に分散されているためであり、規定粒径分布より細かいものは、試験用ダストの粗粒部分がすでに落下しており、一様な分散状態でないためと考えられる。

Fig. 13 は、平均風速5 m/sのダスト気流を管路の中

心部より採取して各種ダスト発生機の粒径分布をカスケードインパクタにより調べた結果である。

この結果によると、SAE II型やエジェクタ型は規定粒径分布に近く、ASTM型やAFI型は規定のものより細かい粒径分布を示すことが認められた。

## 参考文献

- 1) 山下憲一; “標準粉体の紹介” 粉碎, No. 20, 143~150(1975).
- 2) SAE Hand Book “Air Cleaner Test Code”, 829 (1973).
- 3) Air Filter Institute, “Code for Testing Air Cleaning Device Used in General Ventilation Section 1, revision (1956).
- 4) BS 2831, “Methods of Test for Air Filters Used in Air Conditioning and General Ventilation” (1971).
- 5) 井伊谷鈴一; “二、三の粉塵発生装置の試作とその特性について” 粉体工学研究会資料, No. 25.
- 6) 井伊谷鈴一; 新版集塵装置, 84~89日刊工業新聞社 (1963).
- 7) Leslie Silverman and Charles E. Billings; “Methods of Generating Solids Aerosols”

- Journal of APICA, Vol. 6, No. 2, 1~8 (1956).
- 8) 山下憲一, “標準ダストについて” 潤滑, 13 [10] 547 ~555 (1968).
  - 9) 増田弘昭, 倉橋 泰, 広田満昭, 井伊谷鋼一; “テーブルフィーダーによる微量定量供給” 化学工学論文集, 2, [3], 286~290 (1976).
  - 10) “試験用ダスト” JIS Z 8901—1974.
  - 11) BS 1701, “Specification for Air Filters for Air supply to Internal Combustion Engines and Compressors Other Than for Aircraft”. (1970).
  - 12) “自動車用エアクリーナ試験方法” JIS D 1612—1976.
  - 13) “換気用パネル形エアフィルタ” JIS B 9908—1971.
  - 14) “防じんマスク” JIS T8151—1972.
  - 15) O. E. C. D. “Standard Code for The Official Testing of Small Engines Used in Agriculture and Commercial Horticulture”, C (69) 1 (Final) (1967).
  - 16) Australian Standard E 35, Part II—1970.
  - 17) SAE Hand Book, “Test for Motor Vehicle Lighting Device and Components”—SAE J 575 e, 750 (1973).
  - 18) たとえば, “自動車用ランプ類” JIS D 5500—1969.
  - 19) MIL-STD 810 C—1975. ((註)環境試験方法).
  - 20) “標準ふるい” JIS Z 8801—1976.
  - 21) “研磨材の粒度の試験方法” JIS R 6002—1973.
  - 22) ISO/TC 181/SC 6 (WG 1~3), “Multi-pass Method for Evaluating The Filtration Performance of a fine Hydraulic Fluid Power Filter Element”,—1973.
  - 23) NFPA/T 3.9, 18 “Method of Establishing the Flow Degradation of Hydraulic Fluid Power Pumps When Exposed to Particulate Contaminant”, Approved as NFPA Recommended Standard, —1976.
  - 24) “油圧用フィルタ” JIS B 8356—1969.
  - 25) “空気圧用フィルタ” JIS B 8371—1970.
  - 26) “作動油中における微粒子の測定方法(計数法)” JIS B 9920—1976.
  - 27) “自動車用オイルフィルター試験方法” JIS D 1611—1976.
  - 28) “自動車用フィルルフィルター試験方法” JIS D 1617—1978.
  - 29) “光散乱式粒子計数器” JIS B 9921—1976.
  - 30) たとえば, “空気清浄装置性能試験方法”, 日本空気清浄協会, JACA No. 10 B—1977.
  - 31) “放射性エーロゾル用高性能エアフィルタ” JIS Z 4812—1975.
  - 32) MIL-STD-282 (1956).
  - 33) 本間克典; “標準粒子の発生方法” 空気清浄, 9 [5] 28~40 (1971).
  - 34) 井伊谷研究室; “ラテックス・エーロゾルの発生装置” 粉体工学研究会誌, 5 [3] 42 (1968).
  - 35) Morton Corn and Nurtan A. Esmen : Hand Book on Aerosols, “Chapter 2, Aerosol Generation”, 9~39 GCA/Technology Division, GCA Corporation (1976).
  - 36) H. H. Schrenk ; Testing and Design of Respiratory Protective Devices, U. S. Bur. Mines. Inf. Circ. 7086 (1939).
  - 37) “大気中の浮遊粒子状物質自動計測器” JIS B 7954—1974.



## フローメトロン\*の供給精度について

浦山 清\*\* 藤井 謙治\*\*  
Kiyoshi Urayama Kenji Fujii

## 1. はしがき

粉粒体供給装置、フロートロンに流量検出部を組込んで、流量の自動制御ができるようになしたフローメトロンについては前号〔粉碎、No. 21, (1976) 76~83p〕で紹介したが、今回は二三の粉粒体についてその供給精度を測定したので簡単に報告する。

## 2. 測定方法

試料として、ポリエチレンおよびポリスチレンペレット(3 mm 球状)、これらの微粉、さらに砂粒と炭酸カルシウムを用いた。

測定は、フローメトロンで粉粒体を流出させておきその流量変動を記録計で記録とともに、フローメトロン下部から排出される粉粒体を容器で1分間受けその重量を求め、1分間の平均流量を算出する方法をとった。同一条件での流量測定は、15回おこないその測定値から、自動制御運転時の供給誤差標準偏差 $\sigma$ を求め定量性について検討した。

また、制御の効果を見るために同一条件で、制御した場合と制御しない場合の実験もおこなって両者を比較した。

## 3. 測定結果と考察

誤差の標準偏差 $\sigma$ と供給量の関係を Fig. 1 に示す。粉粒体の性状にもよるが、一般的に供給量の増加にしたがって誤差が減少する傾向がある。また図中の右縦軸には、誤差の  $3\sigma$  値を示す。フローメトロンの供給誤差はほぼ正規分布をなすと考えられ、 $3\sigma$  値の信頼度は 99.7 % である。供給量が 100 kg/hr~600 kg/hr 程度の範囲

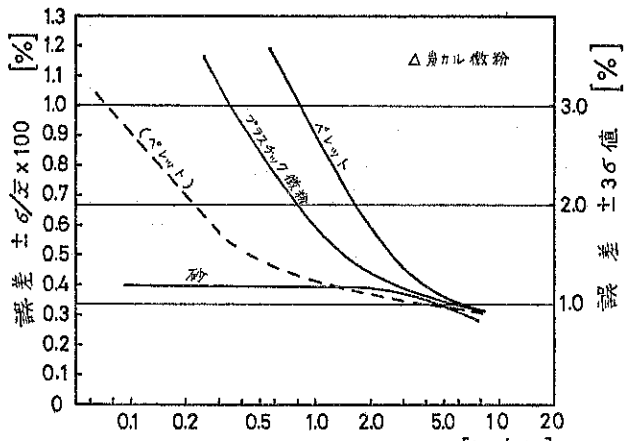


Fig. 1 流量と誤差

で誤差 ( $3\sigma$  値) は  $\pm 1 \sim 2\%$  以内でありその信頼度も非常に高い。

図中に破線で示した (ペレット) の場合は、微量供給用の 3 カ所あるいは 6 カ所排出筒 (Fig. 2 参照) を付設した場合である。これは、フロートロン振動台から落下する粉粒体が全量流量検出板に衝突するように排出口を数カ所に限定したものであり、供給精度向上の効果は著しい。



Fig. 2 3 カ所排出筒

また砂粒のような流動性の良い粒度の均一な粉粒体において、供給精度は高いが、炭酸カルシウムのような凝集性のある微粉にたいしてはさらに検討する必要がある。

Fig. 3 には、フローメトロンで自動制御機構を用いて

\* 本機は昭和51年10月、フローマスターの商品名で発表されたが、今回、フローメトロンと改称された。

\*\* 細川粉体工学研究所

(〒753 枚方市招提田近1-9)

Tel. (0720) 57-3721

#### 4. あとがき

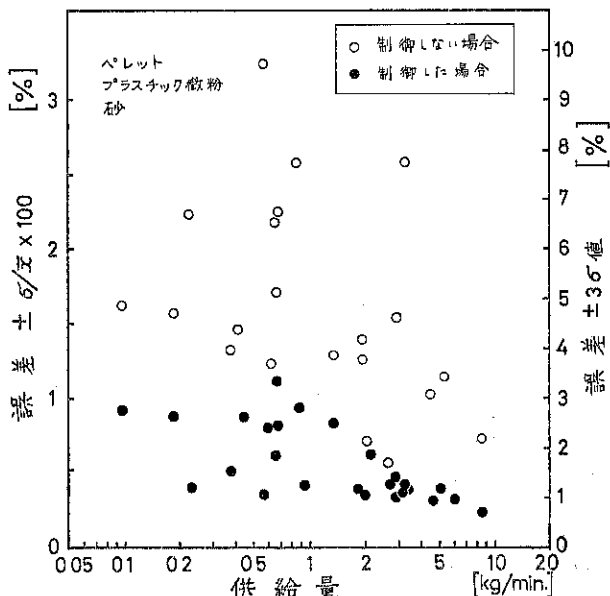


Fig. 3 制御の効果

粉粒体を供給した場合と制御機構を用いない場合との、供給誤差の比較を示す。この実験結果から、本機の制御機構が定量性向上させるために十分その機能を果していると言える。

フローメトロンの供給精度について測定結果を簡単にまとめると次のような。

1) フローメトロンの流量制御機構は、供給精度を向上させる著しい効果がある。

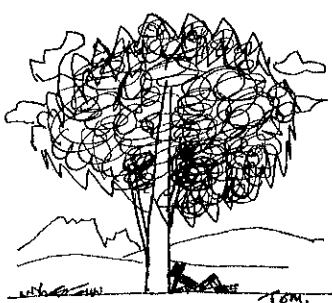
2) 供給誤差は、一般的粉粒体の場合供給量が  $100 \text{ kg/hr} \sim 600 \text{ kg/hr}$  の範囲で  $\pm 1 \sim 2\%$  ( $3\sigma$  値) 以内である。

3) 微量供給時の定量性向上対策として、3カ所(6カ所)排出管が大きな改善効果をもつ。

供給誤差については、粉粒体の性質や流量により変化するが、フローメトロンは一連の粉体プロセス中の供給機や排出機として十分信頼性のある装置と考えられる。

制御機構には、流量検出部からの信号を增幅し、流量設定値と比較してフロートロンの振動出力部にフィードバックする方法を用いている。この応答の時定数は、現在4段階に変更できるが、粉粒体の性質によって最も適した時定数を選ぶことも供給精度を上げるために必要であると考えられる。

現在、積算回路の組込みと流量のデジタル表示化の実験中であり、今後さらに定量性の向上あるいは適用範囲の拡大についての検討を重ねたい。



## 新製品紹介

# 産業分野における製造環境の清浄化

## —ハイクリーンユニット、ハイクリーンコレクターの有用性—

環境事業部\*

産業分野における生産工場での生産製品の品質確保と向上の点から、製造環境の清浄化は、最近特に重要視されてきている。工場内の限定された作業区域の清浄化を計画する場合、規模内容等によっては空調（この場合は冷暖房）システムに取り入れて計画すると設備は増大し無駄を生じ、非常に高価な投資となりがちである。またそれに伴い保守管理面も複雑となってくる。限定された作業区域で局所的に高い清浄度を要求されたり、特定の室のみ清浄度を高める場合、これらを対象に空調（冷暖房）設備に関係なく要求の清浄度を満足さす目的で開発されたのがハイクリーンユニットであり、その清浄区域で粉塵が発生する場合、集塵し更に無塵無菌に近い空気まで浄化して循環供給し作業環境を清浄化する目的で開発されているのが、ハイクリーンコレクターである。

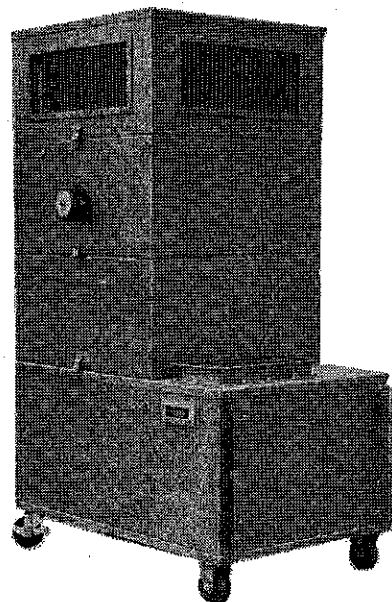


Fig.1 ハイクリーンユニット

Table 1 ハイクリーンユニット標準仕様

型式		HCL			
仕様		30 H	50 H	30 M	50 M
処理風量	m <sup>3</sup> /min	25	50	25	50
外型寸法	mm	1,000×700×2,150H	1,600×700×2,150H	1,000×700×1,750H	1,600×700×1,750H
ファン	kW	1.5	2.2	1.5	1.5
電源		AC 200 V, 3φ, 50 又は 60 Hz			
フィルター		中性能フィルター (NBS 85%) HEPA フィルター (DOP 99.97%)		中性能フィルター (NBS 85%)	
附属品		差圧計, キャスター			
ダクト接続寸法 (ダクト接続使用時)		400 <sup>W</sup> ×250 <sup>H</sup>	500 <sup>W</sup> ×300 <sup>H</sup>	400 <sup>W</sup> ×250 <sup>H</sup>	500 <sup>W</sup> ×300 <sup>H</sup>

\* ホソカワ環境エンジニアリング(株)

(〒573 枚方市招提田近1-9)

Tel (0720) 55-2221 (代)

## 1. ハイクリーンユニット

ホソカワ環境エンジニアリング（株）で開発されたハイクリーンユニットの外形写真を Fig. 1 に、その仕様を Table 1 に示す。

粉塵の発生の少ない製造環境の清浄化を計る場合、室内に設置しユニット下方より室内空気を吸込み、ラフィルター、中性能フィルター、そして HEPA フィルターを経て無塵無菌に近い空気をユニット上部より周辺に送風して清浄度を高める。米国連邦基準または米国 NASA の規格クラス 100,000 以内を必要とする場合は、ハイクリーンユニットの処理風量が室内換気回数に換算して 20 回/時以上になるように選定せねばならない。クラス 10,000 以内を希望の場合は本ユニットの吹出側よりダクトで層流吹出ユニット（ラミベント）または、層流吹出ユニットを内蔵したクリーンブースに接続する事によりクリーンルーム、バイオクリーンルームが形成される。

Fig. 2 に設置例を示す。

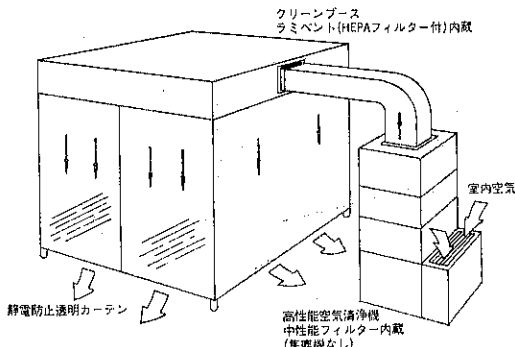


Fig. 2 高性能空気清浄機十クリーンブース

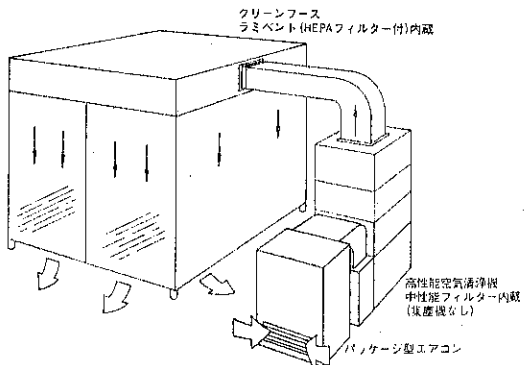


Fig. 3 高性能空気清浄機十パッケージ型エアコン十クリーンブース

クリーンブース内は必要に応じて同規格クラス 100 までの達成が可能である。某医薬品製造所でのクリーンブ

Table 2 LV型クリーンブースのダスト濃度測定結果

機種…ハイクリーンユニット、HCL-50H型、

処理風量 30m<sup>3</sup>/min

クリーンブース LV-3型、ブース内寸法

3,200×2,200×2,000H

測定位置…クリーンブース内軟膏充填作業位置

項目	時間(min)	微粒子数(ヶ/立方呎、0.5μ)
運転開始前		325,910
ブース起動	(分)	
	-10	2,160
	-8	180
	-5	180
	-3	230
作業者 3名入室	0	250
衣服清掃		
作業準備	5	15
作業(充填)開始		0
作業中	11	10
小作業		
	20(分)	0

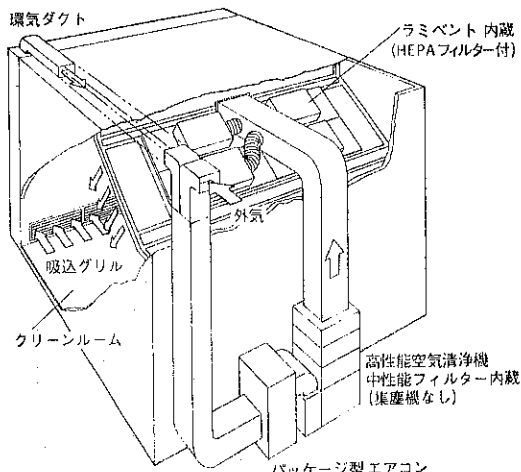


Fig. 4 高性能空気清浄機十パッケージ型エアコン十クリーンブース

ース内の浮遊塵埃の濃度測定結果を Table 2 で示す。

また、クリーンブース内を単独に冷暖房を希望する場合は必要に応じた空調機（例えばパッケージ型エアコン）を設置し、空調機の出口空気を本ハイクリーンユニットの吸込側に接続する事により可能である。この場合の設置例を Fig. 3, Fig. 4 に示す。

## 2. ハイクリーンコレクター

Fig. 5はハイクリーンコレクターの外形写真、Table 3はその仕様である。

前記のハイクリーンユニットに集塵機構（当社トリット事業部のキャビネットコレクター）を内蔵し、静圧の高い特殊ファンを採用している。従来、薬塵粉塵等対象

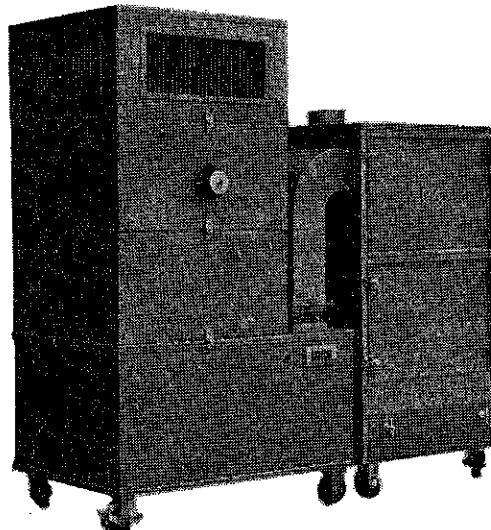


Fig. 5 ハイクリーンコレクター

の集塵機は、室内空気を集塵後室外に排出されていたのが殆んどである。この場合、室内が空調（冷暖房）をしていた場合は非常に大きいエネルギーの損失となっている。一例として室内空気を毎時 $1,800\text{m}^3$  ( $30\text{m}^3/\text{分}$ ) キャビネットコレクターに吸込み集塵した後室外に排出した場合は、当然それに見合う外気の導入が必要である。その外気を冷房時の室温まで冷却するには毎時 15,000 kcal 以上の熱量が必要であり、これをパッケージ型エアコンで検討すると 3.75 kW~55 kW 程度の圧縮機を内蔵した機種が必要となる。また暖房時に外気 0°C を室温 (20°C) まで加熱するには毎時 18,000 kcal 以上の熱量が必要となる。その上、これが異物の混入を避

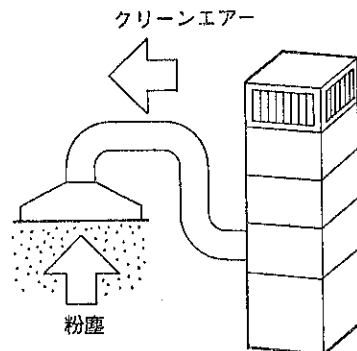


Fig. 6

Table 3 ハイクリーンコレクター標準仕様

型 式 仕 様		H D C		H D C L			
		30 H	30 M	30 H	50 H	30 M	50 M
処理風量	m <sup>3</sup> /min	25	25	25	50	25	50
外形寸法 幅×奥行	mm	700×700	700×700	1,800×700	2,700×700	1,800×700	2,700×700
本体 高さ	mm	2,650	2,250	2,150	2,150	1,750	1,750
集塵ユニット 高さ	mm	750	750	750	1,500	750	1,500
ファンモーター	kW	2.2	2.2	2.2	3.7	2.2	3.7
電源		A. C 200V		3φ	50 又は 60 Hz		
フィルター	集塵用沪布	15 m <sup>2</sup>	15 m <sup>2</sup>	15 m <sup>2</sup>	25 m <sup>2</sup>	15 m <sup>2</sup>	25 m <sup>2</sup>
	N B S 85%	N B S 85%		N B S 85%		N B S 85%	
	HEPA フィルター	D O P 99.97%	D O P 99.97%		D O P 99.97%		D O P 99.97%
ダストパン容量 (集塵ユニット)	ℓ	55	55	55	150	55	150
附 属 品		差圧計、キャスター					
ダクト接続寸法 (ダクト接続使用時)	mm	400×250	400×250	400×250	500×300	400×200	500×300

ければならぬ清浄区域の場合は導入空気の清浄化が加わってくる。

本ハイクリーンコレクターはこのような場合に対処して薬塵粉塵を集塵した後、更に中性能フィルター、HEPA フィルターで無塵無菌に近くまで済過して室内に循環さ

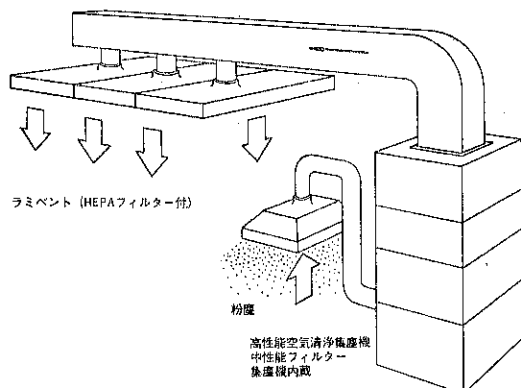
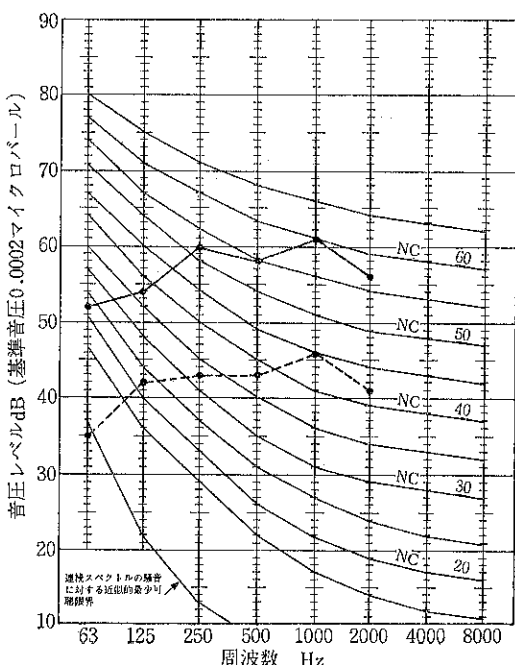


Fig. 7 高性能空気清浄集塵機+ラミベント

Table 4 ハイクリーンコレクター  
HDCL-30H 型運転騒音

測定場所…工場内  
マイク位置…吹出グリル前方 1,000 m,  
高さ FL + 1,100 m  
記号… - - - 噪騒音  
— 運転音



せ、室内清浄度を高める目的で開発され期待に応えている。前記のハイクリーンユニットと同様、ユニット上部より直接室内に送風する事も可能であり、ダクトで層流吹出ユニット(ラミベント)に接続し送風する事により、容易にクリーンルーム、バイオクリーンルームが形成される。Fig. 6, Fig. 7, Fig. 8 にその設置例を示す。

Table 4 は HDCL-30H 型の運転騒音測定データーで

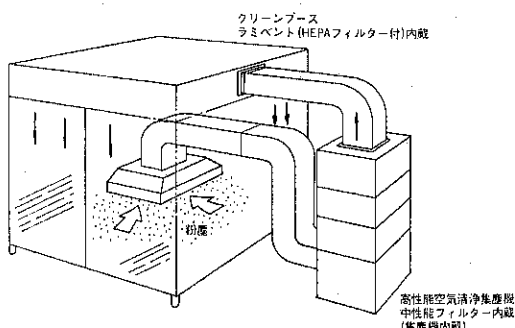


Fig. 8 高性能空気清浄集塵機+クリーンベース

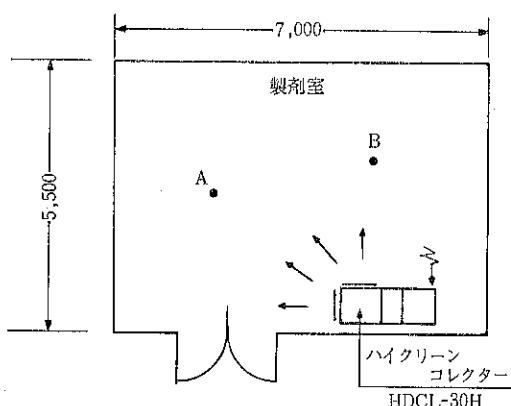
室容積  $5.5m \times 7m \times 3m = 115m^3$

ハイクリーンコレクター HDCL-30H,

処理風量  $2.5m^3/min (1,500m^3/h)$

換気回数  $1,500/115 = 13R/h$

測定点 高 FL + 1,000 H



	微粒子、数ヶ/立方呎、C F	
	A	B
運転前	2,853,000	2,724,500
運転 30 分後	43,500	54,000
運転 2 時間後	32,800	41,200

Fig. 9 製剤室、粉塵濃度測定結果(内服固定剤)

ある。

某医薬品製造所で本ハイクリーンコレクター HDCL-30H 型を設置し測定した浮遊塵埃の測定結果を Fig. 9 に示す。この例は、ハイクリーンコレクターを内服固定剤製剤室内に設置し、ユニット上部の吹出グリルより直接室内に送風使用されている。

ここで重要な事は、いかに高度なクリーンルーム、バ

イオクリーンルームが設備面で形成されても、作業者の管理とルーム内の生産設備、工程中の取扱い、取扱い容器、工具及び取付具、作業動線その他が充分に配慮され管理されて始めて清浄区域として存在すると言う事である。作業者の発塵防止対策（健康管理、作業衣、マスク、頭巾、靴、持込物品等の管理）、作業者又は製品の出入対策など何れも欠かす事のできない問題である。

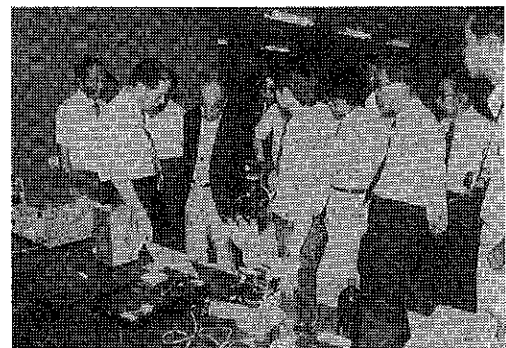
## 豆ニュース

### 第11回粉体工学に関する講演討論会開催

#### 一工学に応用できる粉体物性のつかまえ方と実演一

恒例の「粉体工学に関する講演討論会」が去る8月5日粉体技術談話会主催のもと株細川鉄工所枚方事務所5階会議室において開催された。本講演討論会も11回目を数え、今回は“粉体物性”をテーマとして取り上げ、各大学の研究室で独自に開発された各種測定装置を出品して頂き、その実演を通してつかみようのない粉体の物性をどのように規定し、またこれをどのように実用するかについて解説していただいた。粉体工学を専門にしておられる第一線の各大学の研究設備が一堂に会することはまたとない機会でもあり、80名を越える多数の出席者が熱心に講演に耳を傾け、実演に目をとめ、活発なる質疑応答がなされ午後5時拍手と共に終了した。

内部摩擦係数の測定  
大阪府立大学助教授 宮南 啓氏



各種測定機による実演

(出品測定装置)

- (1) 限外顕微鏡およびVTRによる粒径測定装置  
(大府大吉田研究室)
  - (2) カスケードインパクター (京大井伊谷研究室)
  - (3) パウダーテスター (細川粉体工学研究所)
  - (4) グラフペン座標解析装置
  - (5) 引張式付着力測定器
  - (6) 顕微鏡写真撮影装置
  - (7) 貫入度試験機 (同志社大三輪研究室)
  - (8) 一面剪断試験機 (大府大矢野研究室)
  - (9) リング式剪断試験機 (参考出品、細川粉工研)
  - (10) 回転型流動性測定装置
  - (11) 球形選別機
  - (12) 荒川式付着力測定機
- 総括討論 司会 京都大学教授 吉岡直哉氏  
閉会挨拶 株細川鉄工所副社長 細川明彦氏

プログラム	
開会挨拶	京都大学名誉教授
講演 粉体技術談話会々長	中川 有三氏
講演 粉体物性の測定とその意義について	京都大学化学研究所 荒川 正文氏
講演 限外顕微鏡によるエアロゾルの粒径測定	大阪府立大学教授 吉田 哲夫氏
講演 カスケードインパクター	京都大学教授 井伊谷鋼一氏
講演 粉体の貫入度測定試験	同志社大学助手 日高 重助氏
講演 パウダーテスターによる流動性の測定	細川粉体工学研究所 水井 克也氏
講演 微粉体の付着強度の測定およびグラフペンによる粒度測定	名古屋大学教授 神保 元二氏
講演 一面剪断試験機による剪断過程曲線および	

## 新製品紹介

# ランミックス・システム

〔表紙説明〕

化学システム事業本部\*

## 1. 概要

固体混合機には、操作上で回分式と連続式とがある。連続式では、スクリュー、パッグミル或いはリボンブレンダーのオーバーフロー型などのような低速回転の機械かくはく型混合機と、ラッシュミキサー、フロージェット或いはタービュライザーのような高速回転の機械かくはん型混合機とがある。

一般に前者は供給粉体の粗混合に用いられ、そのあとに仕上混合機を配することが多く、後者は供給粉体に滞留時間を与えずに、瞬間に分散、混合を完結するものであるから、鉛物砂のように流動性のよいものは別として通常は定量フィーダが装備されなければ連続混合機と言えない面があり、また混合が瞬間的であるから混合結果を察知してすぐ制御するのがむつかしいかと思う。

細川粉体工学研究所では本誌 No. 18 (1973年) に既に初期的機構を発表して以来研究を重ね、

「原料の供給速度に定量性をもたせ、粉体の滞留量を制御しながら、やや中速度 (48 r/m~240 r/m) で回転する堅型かくはん羽根をもった混合機—ランミックス一内で、連続的に混合を進行させ、混合度を色調で判別しうる場合には、カラーコーダで連続的に着目成分を検出し、制御して、常に安定した混合製品を連続的にうる。」

「ランミックス・システム」を開発した。これを'77 化学プラントショー展示し、以後弊事業部にてユーザー各位のテストの御要求におこたえすることになったので、ここに多少の解説を加える。

## 2. ランミックス・システムの特徴

- 完全な自動化、連続化が可能となり、人手が省ける。
- 連続化により装置が小型化になり、特に大容量の

混合に適している。

3) 特殊な形状の、かくはん羽根を用いているので、連続混合でおこりがちのショートパスやバックミキシングがなく均一な混合ができる。

4) 混合機内の滞留量や、かくはん羽根の回転速度の調節が容易であるから、混合原料の性状、混合の目的などに応じて最適な操作条件の設定が迅速にとれる。

5) 混合の度合をカラーコーダーで判定できる場合に混合製品の品質管理が容易である。

6) システム全体は外気に対して閉の回路になっているから、発じんの心配がない。

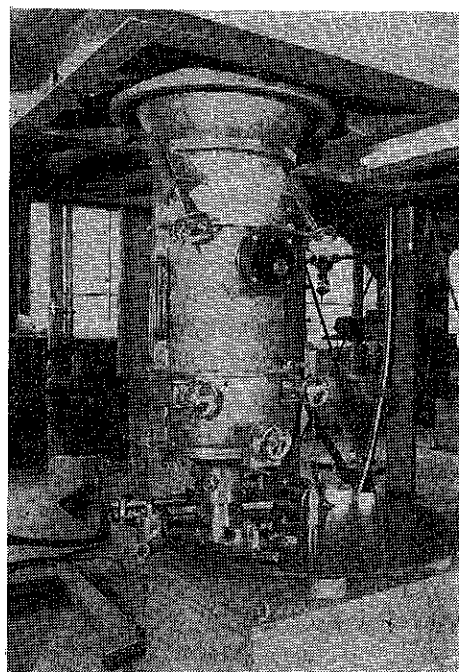


Fig. 1 ランミックス・システム

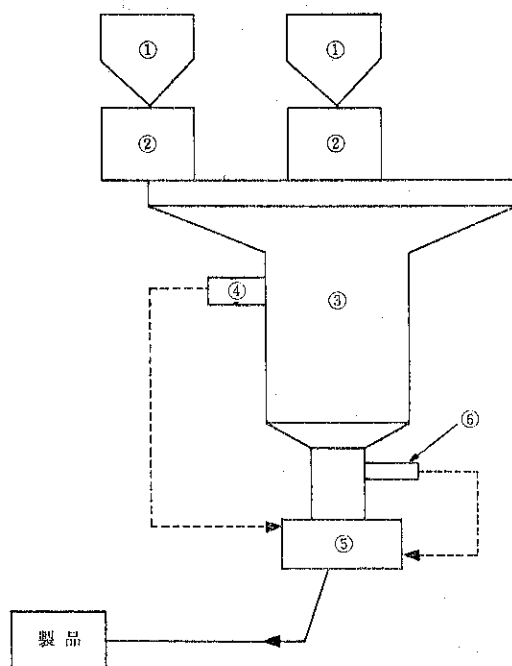
## 3. ランミックス・システムのフローと構成主要機について

Fig. 1 にランミックス・システムの外観を示した。

\* (株)細川鉄工所  
(〒573 放市方招提田近1丁目9)  
Tel (0720) 55-2221 (代)

本システムのフローシートを Fig. 2 に示す。原料ホッパー①にためられた粉体は、定量供給制御器フローメトロン②で供給量をコントロールされて、混合機ランミックス③に供給され、ここで最適の操作条件で連続的に混合されて、ランミックスの底部から連続的に排出される。なお、ランミックス本体にはレベル計④をとりつけて、滞留量のコントロールを行っている。

またランミックスの排出部にカラコーダ⑥をとりつけて、混合度を色調でチェックして、混合度が異常のときは混合粉体を系外に排出したりすることもできる。以下構成主要機器について記す。



①原料ホッパー ②供給制御装置（フローメトロン）  
③ランミックス ④レベル検出機 ⑤排出機  
⑥カラコーダ

Fig. 2 ランミックスのフローシート

### 1) 原料の定量供給機

微量成分の添加のときにはミクロン・フィーダ、或いはライブビンフィーダなどを用いることもできるが、通常の原料供給にはフローメトロンを使用する。

フローメトロンは供給精度が高く、一般的な微粉体の場合に±2%以下の精度が保て、供給量の設定が簡単で応答速度が早く良好な動特性をもった定量供給機であり、かつ粉体流量の指示や記録などもとれる。

仕様

使用電源 AC 100~110 V.

流量検出方式 ストレインゲージ方式  
供給能力範囲 30~1,000 kg/Hr.

### 2) ランミックス

本システムの主体をなす連続混合機で、供給された粉体のショートパスや、バックミキシングのおこらぬような堅型のかくはん羽根によって、機内滞留粉体を連続的にかくはんし混合してゆくものである。滞留量は本体にとりつけるレベル計の位置の変更で調整できる。

仕様

動力	2.2 kW × 4 P, 無段变速
回転数	48~240 R/M
有効混合容積	Max. 60 ℥
混合比	1 : 10 程度

### 3) カラコーダ

本機は比色式混合度測定機であり、本システムでは混合製品のオンラインでの品質の監視用として用いられている。

本機は連続的に流れている粉体面にプローブを装着して、プローブ内に光伝せんいによって光を導入し、粉体面で反射する光を同じプローブ内にある受光用光伝せんいにより、コントローラーボックス内の光検出部へ戻して、その反射率を測定するものである。

なお、このように光源をコントローラーボックス内に内蔵しているので、測定部での温度上昇がなく、また漏電の危険もない。またフィルターの色調をかえることにより、広い範囲の色質に適用できる。また記録計をとりつければオンラインで混合製品の品質を連続計測し記録にのこすことができる。

仕様

電源	単相 AC 100V.
消費電力	230 VA
記録計	出力端子 0~10mV.
フィルタ	N (なし), G (グリーン) B (ブルー), R (レッド) 以上の4種

### 4. ランミックス・システムの適用分野

本システムは飼料、農薬、食品、合成樹脂、薬業、セメント、化粧品、化学工業等広い分野において、多量生産工程への連続混合の適用は多々あると思っている。

おわりに、ユーザー各位の御指摘、御指導によって、本システムをよりよきものへと伸長させてゆきたいと思っておりますので、本誌をかりてよろしくお願ひ申上げる次第である。

## 新製品紹介

### ホソカワ／マイクロ パルスエアー LP シリーズ

第二環境システム事業本部\*

ホソカワ／マイクロ パルスエアーは発売開始後既に15年を経過し、販売実績は10,000台をはるかにオーバーし、その性能の優秀性については広く知られているところです。我々はこれら過去の実績をジャンプ台とし、より高性能で、より安価な集塵機の開発を進めてまいりましたが、今日ここに、新しいタイプのパルスエアーLPシリーズの誕生を見るにいたりました。

#### 1. ニュータイプ、パルスエアーLPシリーズとは

従来のパルスエアーは、フェルト製汎用布を使用しパルスジェット方式の汎用洗浄機構をもった、ハイエネルギータイプの汎用式集塵機（パッケージフィルター）ですが、LPシリーズは、ハイエネルギータイプパッケージフィルタ

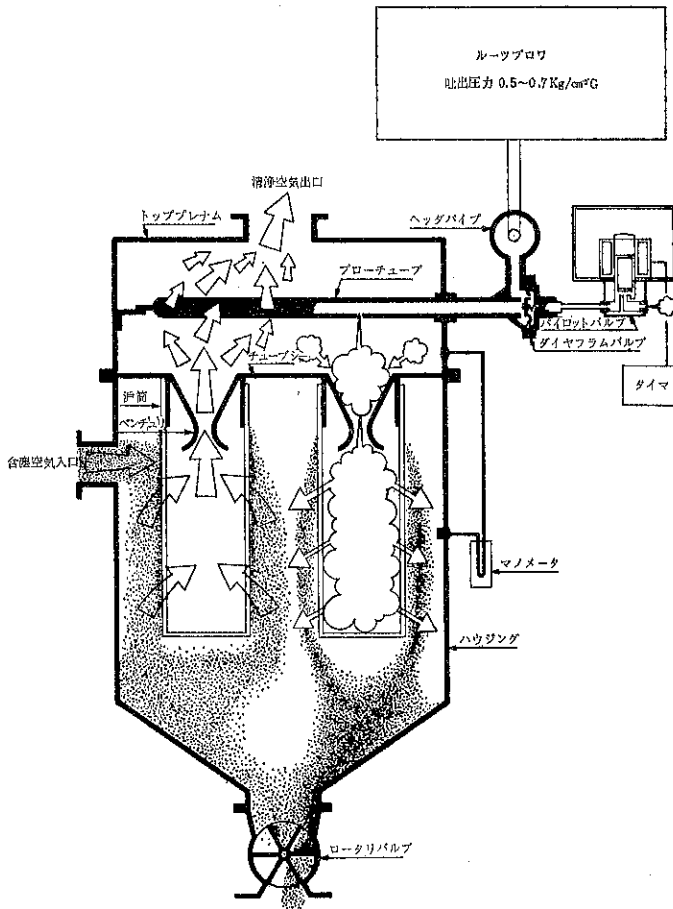


Fig. 1 ホソカワ／マイクロ パルスエア LP の構造

\* (株)細川鉄工所  
(〒573 枚方市招提田近1丁目9)  
Tel (0720) 55-2221 (代)

ーの長所をより延ばし、ローエネルギー（沪布洗浄空気圧力 0.5~0.7 kg/cm<sup>2</sup>G）タイプの長所との相乗効果をねらったニュータイプのパルスエアーです。

LPシリーズの最も大きな特徴は、沪布洗浄機構と沪布の改良により、処理風量が 1 m<sup>2</sup> 当り 5~10m<sup>3</sup>/min が可能となったことです。

用途は小麦粉、飼料、木粉などの比較的扱い落し易い粉塵処理に最適です。

## 2. 機構 (Fig. 1 参照)

Fig. 1 にホソカワ/マイクロパルスエア LP の構造を示しました。

含塵空気は上部入口から圧送、または吸引によってハ

ウジング内に入ります。

粉塵は沪筒表面に附着し、沪過された清浄空気は沪筒内を通って上部出口より排気されます。沪筒表面に附着した粉塵は、パルスポンプ方式の新しい洗浄機構により、連続的に払い落され下部ホッパーより排出されます。

新しい沪布洗浄装置は沪筒上部に設けられたブローチューブから低圧空気 (0.5~0.7 kg/cm<sup>2</sup>G) を瞬間に噴射させ、そのショックによる振動と外面に向って逆流する空気で附着する粉塵を効果的に払い落します。

## 3. LP シリーズの仕様

ホソカワ/マイクロ パルスエア LP シリーズの仕様および寸法を Table 1 に示した。

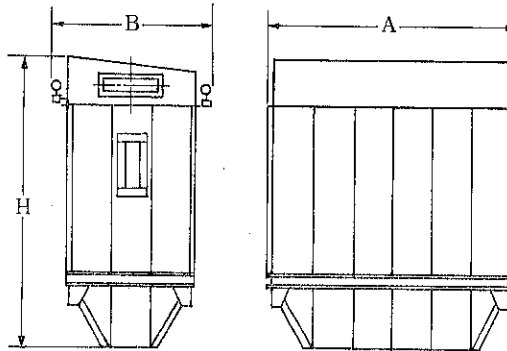
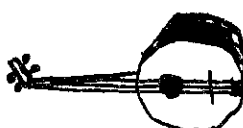


Table 1 LP シリーズの仕様と寸法

仕様	型式	P-48-6LP	P-1C1LP	P-1C1-24LP	P-1C1-48LP	P-1C2LP	P-1C2-24LP	P-1C2-48LP	P-1C3LP	P-1C4LP	P-1C5LP
沪過面積	m <sup>2</sup>	31.6	47.4	63.2	79.0	94.8	110.5	126.3	142.1	189.5	236.9
沪布数量	本	48	72	96	120	144	168	192	216	288	360
電磁弁数量	個	12	18	24	30	36	42	48	54	72	90
標準必要空気量	ℓ/min	700	1,000	1,200	1,500	1,800	2,000	2,500	2,800	3,700	4,700
標準耐圧度		430	430	430	430	430	430	430	430	430	430
概略寸法	A mm	1,370	1,980	2,590	3,200	3,810	4,420	5,030	6,250	8,080	9,910
	B mm	2,670	2,670	2,670	2,670	2,670	2,670	2,670	2,670	2,670	2,670
	H mm	4,300	4,300	4,300	4,300	4,300	4,300	4,300	4,300	4,300	4,300
概略重量	kg	1,460	1,790	2,120	2,550	3,080	3,410	3,840	4,270	5,560	6,850



## 新製品紹介

# ダクト中における火粉検知装置

—ホソカワ／ミクロン ルミ・アラーム—

第二環境システム事業本部\*

## 1. 概要

プラスチック工業、有機合成工業、粉末金属工業、合板工業、製粉飼料工業などの製造工程における粉碎、移送、篩分、攪拌など外部から機械的な作用を与える場合、また、粉体物質の乾燥、混合、分級、計量などをを行う工程では発火爆発の危険が多く存在します。粉じんの発火爆発は、物質自身で常温で酸化発熱する一部の金属類を除くと、発火源の存在が必要あります。このように粉じん爆発の核となる“火粉”をできるかぎり初期に、またできるかぎり小さな火粉の状態にあるものを早期に発見するため新しく開発いたしましたのが“ホソカワ／ミクロン ルミ・アラーム”です。

“ホソカワ／ミクロン ルミ・アラーム”は空気中に浮遊する微小な“火粉”を高感度（検知時間 0.003 sec）に検知することができるため、空気輸送中のダクト（風速 20 m/sec の場合、火粉の軌跡は 60 mm で検知）やタンク等に取付けて使用されます。

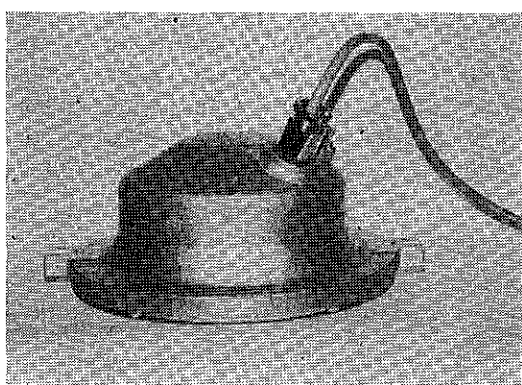


Photo. 1 ホソカワ／ミクロン ルミ・アラーム

\* (株)細川鉄工所  
(〒573 枚方市招提田近1丁目9)  
Tel (0720) 55-2221 (代)

## 2. 構成

Fig. 1 にホソカワ／ミクロン ルミ・アラームの構成例を示した。すなわち本機は検知部、ミキシングボックス、増幅部および制御部からなっております。

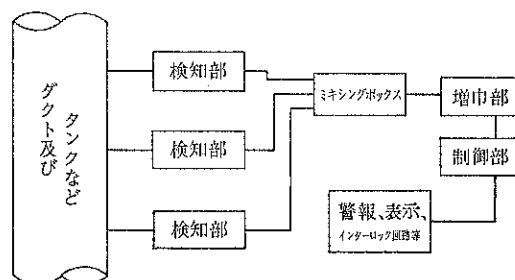


Fig. 1 ホソカワ／ミクロン ルミ・アラームの構成例

## 3. 検知部

検知部は光電変換検出素子として、光電子増倍管（以後PMTと略す）を使用しています。PMTが他の光検出器と大きく異なる点は検出器自体に、高利得、高速で低雑音の増倍部をもっていることです。



Fig. 2 PMTの機構

PMTは、光電陰極、集束電極、多段2次電子増倍を行なうダイノード群、および最後に増倍された光電流を取出す陽極からなっています。

動作機能をFig. 2について説明しますと、光が光電陰極面0に入ると、光電子が放出され、この電子が集束電極と第1、第2ダイノードによってできる電界に集束されて、第1ダイノードの2次電子面に衝突し、2次電子面から数個の2次電子が放出されます。

これらの数個の2次電子は各々が第2、第3……第10ダイノードによって次々と同様に増倍され、最後には始めの光電子流の数の約100万倍に増倍されて、格子形の陽極から取り出されます。

#### 4. ミキシングボックス

ミキシングボックスは、検知部を数個一度に取付ける場合、検知部からの配線を集約するものです。

#### 5. 増巾部

PMTの陽極から取り出された、光電子流から確実に制御出力を得るための増巾回路です。

#### 6. 制御部

制御部は増巾部からの制御信号により、警報、表示、計数、記録、インターロック等の機能を果すための制御機器、検出器を制御するのに必要なスイッチ、パイラットランプ、テストスイッチ、端子盤等をまとめたものです。

#### 7. 動 作

制御部の設計によって種々の制御機能を持たせること

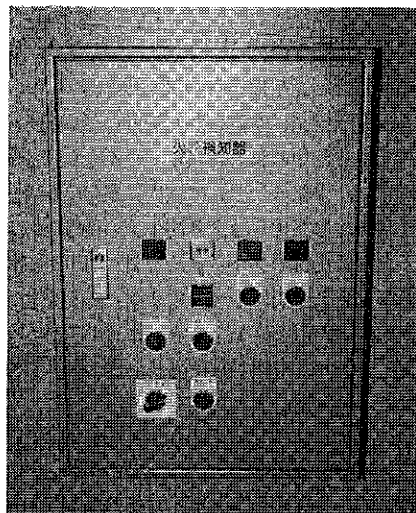


Photo. 2 ルミ・アラームの制御ボックス

ができますが、標準的な一例を示すと次のようになります。検知部で火粉を検知しますと、PMTの陽極から取り出される光電子流を増巾部で制御に必要な大きさの出力に増巾され、制御部に送られ、制御部の検知ランプと負荷ランプが点灯します。

これと同時に下記の様な動作機能（オプション）を持たすことができます。

- ① 警報（ベル、サイレン、回転灯等）
- ② 装置の停止（粉碎機、プロワ、乾燥機等）
- ③ ダンバ作動（空気配管の切替、製品排出口の切替等）
- ④ 消火装置の作動（ハロゲンガス、CO<sub>2</sub>ガス等の放出）

#### 8. 標準仕様

入力電源	AC 100/110 V 200/220 V 50/60 Hz
消費電力	50 VA
検出波長	可視全域 380~760 nm
受光時間	0.003 sec (MIN)
受光感度	0.5 μLm 以上
ガス温度	150°C (MAX)
設置場所	検知部 ミキシングボックス 屋内外 増巾部、制御部 屋内
検知部数量	丸ダクトで垂直管の場合 300 φ 以下 1ヶ 300 φ ヲコエ 400 φ 以下 2ヶ 400 φ ヲコエ 550 φ 以下 3ヶ 550 φ ヲコエ 800 φ 以下 4ヶ 800 φ ヲコエ 1,000 φ 以下 5ヶ

上記数量は、含塵濃度 50 g/A m<sup>3</sup> 以下の場合で、50 g/A m<sup>3</sup> 以上の場合は、特殊設計となります。

## 製品紹介

### 大型ホソカワ/トリットキャビネットコレクター

トリット事業部\*

局所集塵用として好評を博しているホソカワ/トリット キャビネットコレクターの大型機が開発され、各種の分野で採用されるようになりました。ここにその一端を紹介致します。

#### ◎大型キャビネットコレクターの構造

本機の構造は小型機と全く同一で、1本が約1m<sup>2</sup>の汎過面積を有する封筒型沪布が多数本機内に懸吊され小さなスペースで大きな汎過面積を確保しています。沪筒に附着したダストは手動もしくは電動型のシェーカーバーにより払い落されます。ケーシングは、ダストパン型とホッパー型があり用途によって使い分けられます。またファンは、各種サイズのものを任意に取り付けられますので、捕集する粉塵の性質により汎過風速を適当に選ぶことができます。

#### ◎触媒再生装置への利用

触媒を再利用する為に使用済触媒を細い分け不純物等を取り除く工程で発生する粉塵を除去する為に用いられていますが、この装置はFig. 1 のように節機と本機を一つの台車の上にのせ自由に移動できるようにしています。これは工場内数ヶ所から出で来る使用済触媒を工場内あちこち運びまわることなく効率よく処理し、本装置使用後は倉庫の中に保管し、工場スペースを有効に活用しています。

このような利用方法が採用できるのは、本機の重心が低く転倒の心配が全くない為で、本例と同じ様に本機を台車にのせ移動させつつ集塵機として用いられている例に電車の台車を圧力空気で掃除する気吹き作業、焼成炉のレンガ取り替え時の発塵防止等があります。

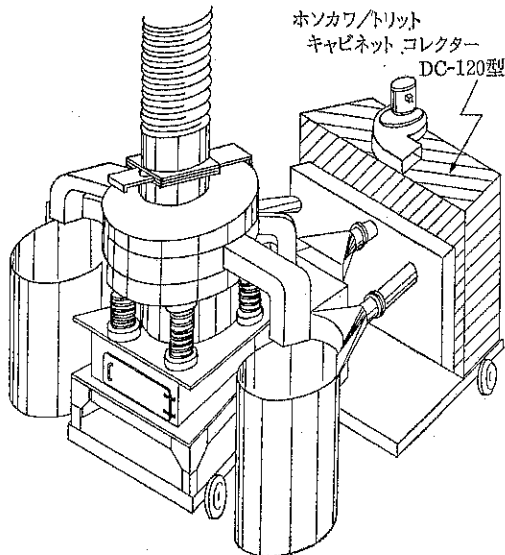


Fig. 1 大型ホソカワ/トリット キャビネットコレクターの応用例（触媒再生装置への利用）

#### ◎食パン成型工程の集塵

充分熟成したパン生地から空気を抜き食パン型へ流し込む作業は普通完全に空調された天井の低い室の中で行なわれており工程中の打ち粉（ひっつかないように生地に振りかける小麦粉のこと）は室内に飛散し床や天井に附着し作業環境を悪化させ食品衛生上も問題となるばかりでなく、冷暖房機のフィルターを目づまりさせ冷暖房能力を低下させる原因にもなります。この打ち粉を回収する為に他型式のパックフィルターに比し高さが低いと言う特長を生かして本機が採用され、環境改善にその偉力を発揮しています。

この他、高さが低いと言う特長がかわ製薬会社のGMP対策の空調設備に天井の低い機械室の中へ組み込まれ45,000m<sup>3</sup>/Hもの空気を処理する大型機を設計し採用されました。

\* ホソカワ環境エンジニアリング㈱

(〒573 枚方市招提田近1-9)

Tel (9720) 55-2221

◎大型ホソカワ/トリットキャビネット  
コレクターの仕様

→応 Table 1 に示しましたサイズのものを標準型と

して製作していますが、御希望により500m<sup>2</sup>位迄のものを設計製作いたします。

Table 1 標準型式仕様（ホッパー型）

型式 仕様		DC-120		DC-130			DC-140		
汎用面積	m <sup>2</sup>	40		80			120		
風量	m <sup>3</sup> /min	60	80	80	110	140	110	140	170
所要動力	kW	3.7	5.5	5.5	7.5	11	7.5	11	15
概略寸法 (mm)	幅	1780			1780			2750	
	奥行	720			1480			1480	
	高さ	2800			2800			3850	

注 1. ダストパン型もあります。

2. 自動払落し式もあります。

特許一言メモ

特許協力条約（PCT）\*

特許の外国出願は、希望する国ごとにそれぞれ出願手続きがなされて来た。したがって、同じ内容の出願明細書を各国の審査官が一生懸命に審査するわけで、出願人とお役所のトータルの手間ひまは大変なものとなっていいる。

そこで各国がPCTに加わることにより、どこか一ヶ所で審査して希望する外国の特許権を得られるようにす

るのがこのPCTであり、その準備には（外国）出願手続きの書類と審査資料を各国で統一することが必要となる。すでにアメリカ、西ドイツがこれを批准しており、わが国は来年度中（1978年）には発効が予想されている。（M.N）

\* (PCT : Patent Cooperation Treaty の略)



# ホソカワ ニュース

## ○組織変更

- 昭和52年1月5日、現代の複雑な状勢に対応すべく会社組織を一部変更しました。
- (1)統括事業本部に技術部を新設する。
  - (2)第二環境システム事業本部の開発課は、新しいシステムを開発販売するプロジェクト的組織とする。
  - (3)第二環境システム事業本部のサービス課を枚方工場より分離する。
  - (4)第二環境システム事業本部枚方工場の生産管理課は、生産管理関係業務を統合する組織である。(旧工務課、倉庫係、資材係)
  - (5)第二環境システム事業本部枚方工場製造課進行係を廃止する。
  - (6)粉体システム事業本部の大坂技術課、東京技術課を各大阪営業課、東京営業課に統合する。
  - (7)粉体システム事業本部大阪工場部品サービス課を部品課に改称し、同製造課を製造一課と製造二課に分ける。
  - (8)第一環境システム事業本部を営業係と技術係に分ける。

## ○ガス吸着装置の製作販売を開始

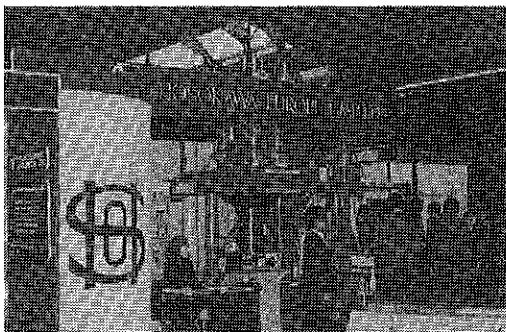
昭和52年1月、武田薬品工業㈱の技術協力により活性炭によるガス吸着装置の製作販売を開始しました。

この装置は、活性炭によって、硫化水素、亜硫酸ガス、窒素酸化物などの有害ガスや悪臭ガスを効果的に吸着し、清浄化します。又有用な有機溶剤ガスを回収します。

## ○POWTECH '77 に出品

世界の粉体機器の専門展示会であるパウテック'77が3月15日～17日の3日間、英国で開催されました。

当社より連続混合装置ランミックスシステム及び分級



捕集装置をホソカワ、ヨーロッパを通じて出品し、展示実演をいたしました。パウテックの機関紙にも掲載されるなど、非常に好評を博しました。

## ○ホソカワ環境エンジニアリング㈱高性能空気清浄集塵機を開発

昭和52年4月、当社の関連会社である、ホソカワ環境エンジニアリング㈱が、菓座、粉塵対策用に高性能空気清浄集塵機、ハイクリーンコレクター・ハイクリーンユニットを開発し販売を開始しました。この装置は、クリーンルーム内の発塵による汚染空気の再循環が可能で、屋外に排出される必要もなく、エネルギーの節約ができ、応用分野も多方面に渡るなど、数多くの特長を有しています。

## ○輸送機デイスクリエレベータ、技術提携契約締結

昭和52年5月にオランダのケインケンベルグ社と粉粒体輸送機、デイスクリエレベータの技術提携契約を締結しました。

本機は、粉粒体を高所へ輸送するための縦型連続コンベアで、自浄性があるため、粉粒体の堆積がないなどの数々の特長を有しています。

## ○日本鋳物協会第91回講演大会、鋳物展示会

とき：昭和52年5月28日～5月30日

ところ：京都市勧業館

小間数：1小間

出品機種 サンドターボ パネル展示

## ○西独、デュッセルドルフへ出品

昭和52年8月28日～9月1日まで、西独のデュッセルドルフで、LNG展が開催されました。当社と大阪ガス㈱の共同開発の超低温粉碎装置、リンレックスを紹介し、非常な好評を博しました。

## ○'77防災システム機器展

とき：昭和52年9月8日～9月12日

ところ：大阪国際見本市港会場

小間数：1小間

出品機種 火粉検知装置 ルミアラーム 実演展示

## ○'77化学プラント・ショー

とき：昭和52年9月26日～9月30日

ところ：晴海・東京国際貿易センター

小間数：8小間

出品機種

①連続混合装置 ランミックスシステム及分級捕集装置  
(実演展示)

②火粉検知装置 ルミアラーム (実演展示)

③沪過式集塵機 ミニパルスエアー F T P 12-2

④小型集塵機 コンビコレクター DC 80 & #106

⑤ステンレス沪布 “ナスロン” (フェルト、織布) 当社



と日本精線株の共同開発の製品。

化学プラント・ショーは世界的にも有名な展示会であり、今回で第11回目であります。

当社は新製品の連続混合装置ランミックスシステム及び分級捕集装置と火粉検知装置ルミアラームの実演展示を行い、引合件数も多く、非常に盛況でした。

## “粉碎”誌編集委員会

### 編集委員会査読委員

査読委員長	大阪府立大学教授	矢野 武夫氏
査 読 委 員	京都大学名誉教授	中川 有三氏
“ ”	大阪府立大学教授	吉田 哲夫氏
“ ”	京 都 大 学 教 授	井伊谷鋼一氏
“ ”	京 都 大 学 教 授	吉岡 直哉氏 (御年令順)

## 編 集 後 記

### 編 集 部

\*このところ本誌発行日が予定より遅れ、投稿いただいた諸先生方およびご熱心な読者諸兄には申訳なく心よりお詫び申し上げます。

\*近年粉体工学を志す研究者が多くなり、粉体物性の関心も高まっているようです。本号巻頭言で荒川先生が述べられているように粉体の正体が漠然とながら“見えて”きています。

\*しかばらこの物性をどのように測り、どのように利用したらよいかという観点から“粉粒体物性の測定”をテーマに「第11回粉体工学に関する講演討論会」が去る8月5日開かれ、各大学の研究設備が一堂に会し、実演を通じ活発なる討議がなされ盛会裡に終了しました。

\*この掲載に付く粉体の物性に関し、本号において「粉粒体の物性とその測定」と題し特集を組みました。しかし、このテーマを設定して各著者に原稿を依頼したものではなく、関連ある記事原稿を集めて特集としました関係

上、テーマの意図から少し外れているものもあると思います。賢明なる読者のご批判、御鞭撻をお願いいたします。

\*石油ショックに端を発した不況の波は一向におさまらずもなく、唯一の頼みの綱であった輸出も昨今の円高により一段と厳しい経済情勢となり、読者諸兄は各々の立場で奮闘されていると存じます。明日の日本丸の行方が本当に“見える”日はいつなのでしょう？

### 原 稿 募 集

“粉碎”誌の原稿を募集いたします。粉体工学に関する研究報告、技術報告、総説、参考資料、文献紹介、随筆など特徴ある記事をふるって御投稿されるようお願いします。ご一報いただきましたら、原稿用紙をお送りいたします。

次号発行予定 昭和53年9月末日

原 稿 締 切 昭和53年5月末日

“粉碎” No.22 1977年 秋季号

昭和52年11月25日 印刷

昭和52年11月30日 発行

編集発行責任者 横山藤平

(非売品)発行所 細川粉体工学研究所

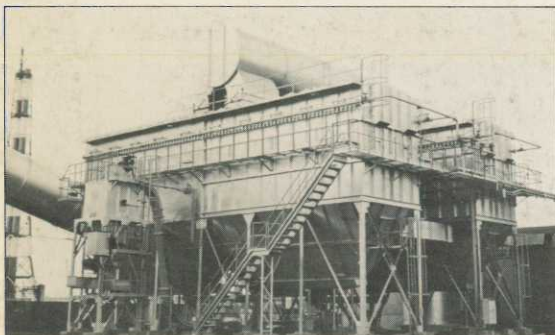
大阪府枚方市招提田近1丁目9

印刷所 ナニワ印刷株式会社

大阪市北区川崎町38

# 粉体処理機器で世界に伸びるホソカワ

## 単位装置からシステムエンジニアリングまで――



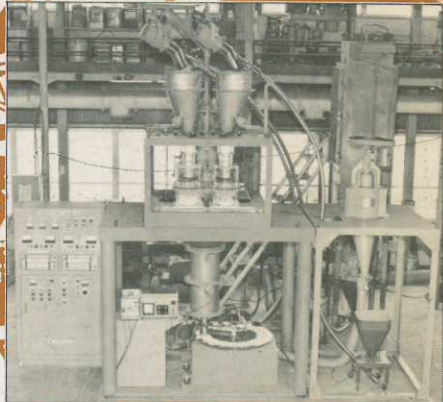
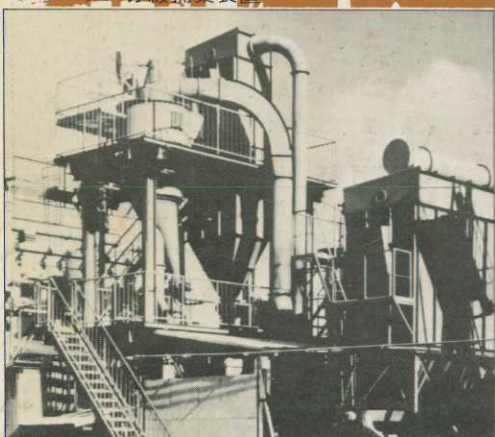
●電弧炉建屋集塵装置



●連続粉体混合装置



●コーカス分級捕集装置



様々な特性を持つ粉体は、その姿を変えながら私たちの生活と深い関わり合いを持っています。ホソカワは、各種粉碎機、分級機、混合機、乾燥機、集塵装置、輸送装置など、粉体処理に関する単位装置からシステムエンジニアリングまで、あらゆる産業の発展に幅広く貢献し、今後もこの粉体の分野を中心として技術開発に力を注ぎ、あらゆる需要にお応えしていきます。

**ホソカワ**

 株式会社 細川鉄工所

〒573 大阪府枚方市招提田近1丁目9番地  
〒105 東京都港区虎ノ門1丁目2番20号(第19森ビル)  
電話 / 大阪(06)55-2221・東京(03)503-2231